

საქართველოს ტექნიკური უნივერსიტეტი

ელგუჯა ყაბანეიშვილი

პიონიერული დამუშავების

ციფრული დამუშავება

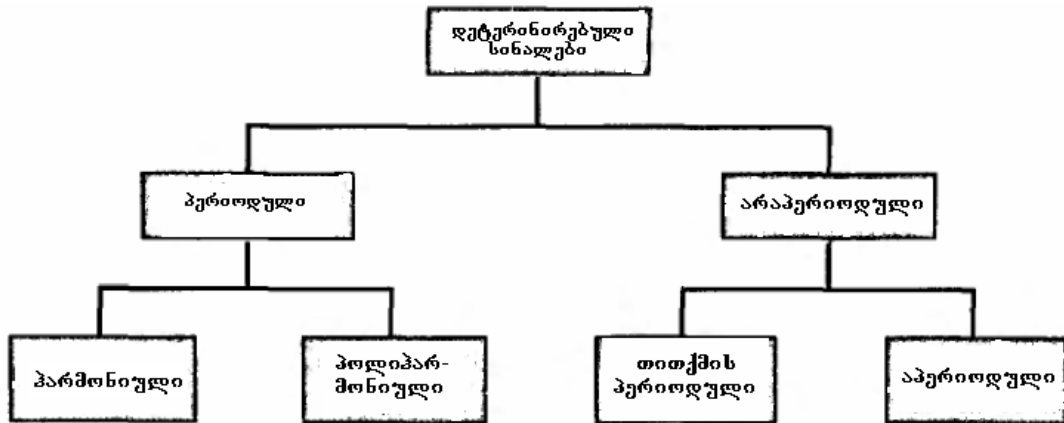
ლექციების პურსი



თბილისი 2013

1.2 დეტერმინირებული სიგნალების კლასიფიკაცია.

დეტერმინირებული სიგნალების კლასიფიკაცია წარმოდგენილია შემდეგ ნახაზზე:



პერიოდულ სიგნალების მიეკუთვნებიან პარმონიული და პოლიპარმონიული სიგნალები. პარმონიულ სიგნალებს მიეკუთვნებიან ტრიგონომეტრიული ფუნქციები (სინუსი, კოსინუსი). სინუსოიდური სიგნალი აღიწერება შემდეგი მათემატიკური დამოკიდებულებით:

$$x(t) = A \sin(2\pi f_0 t + \varphi) = A \sin(\omega_0 t + \varphi)$$

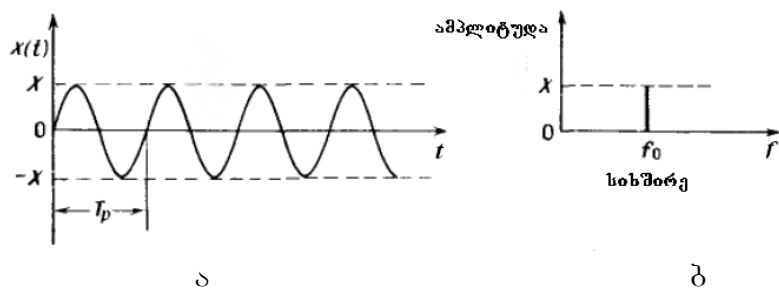
სადაც A - ამპლიტუდა და f_0 სიგნალის ციკლური სიხშირე პერიოდში $\omega = 2\pi f_0$ -კუთხური სიხშირე რადიანებში, φ - საწყისი ფაზური გუთხე რადიანებში. სინუსოიდის რხევის პერიოდი ტოლია:

$$T = \frac{1}{f_0} = \frac{2\pi}{\omega_0}$$

პრაქტიკულ კვლევებში ხშირად ფაზურ გუთხეს იღებენ $\varphi = 0$ ტოლს ან სულაც უგულებელყოფენ, მაშინ გვექნება:

$$x(t) = A \sin(2\pi f_0 t)$$

ასეთი სინუსოიდის რეალზაცია წარმოდგენილია ნახ. 1.1ა და მისი შესაბამისი სკექტრი ნახ. 1.1ბ. აქ $A = 1$.



ნახ. 1.1

პოლიპარმონიული სიგნალები ზუსტად იმეორებენ თავიანთ მნიშვნელობებს გარკვეული დროით ინტერვალის შემდეგ ე.ი.

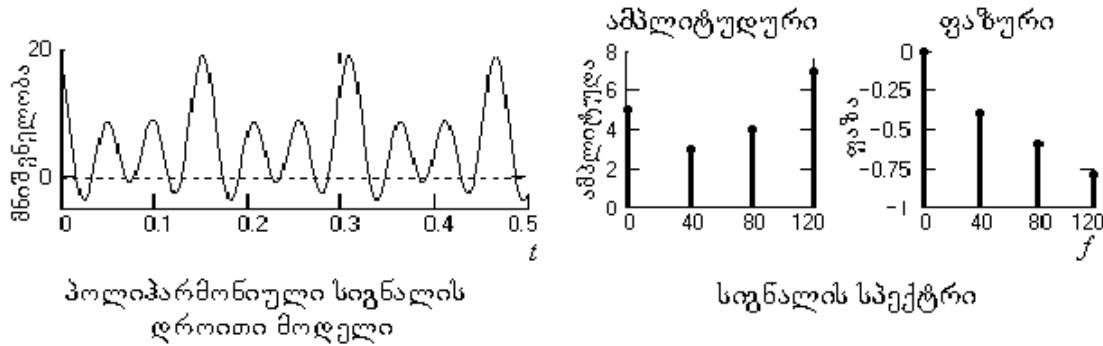
$$x(t) = x(t \pm nT), \quad n = 1, 2, 3, \dots \quad (1.1)$$

ე. ყუბანევიშვილი ბიოსიგნალების ციფრული დამუშავება

პოლიპარმონიული სიგნალები წარმოადგენენ პერიოდულ სიგნალების ყველაზე გავრცელებულ ჯგუფს და აღიწერებიან პარმონიული რხევების ჯამის სახით

$$x(t) = \sum_{k=0}^N A_k \sin(\omega_k t + \varphi_k), \quad k = 0, 1, 2, \dots$$

ქვემოთ მოყვანილ ნახ. 1.2 წარმოდგენილია პოლიპარმონიული სიგნალის მაგალითი თოხი მდგენელით და შესაბამისი ამპლიდტუდური და ფაზური სპექტრებით.



ნახ. 1.2

ამ სიგნალის მათემატიკური მოდელი ანუ ფორმულა შემდეგია:

$$x(t) = \sum_{k=0}^3 A_k \cos(2\pi f_k t + \varphi_k) \quad (1.2)$$

სადაც $A_k = (5, 3, 4, 7)$ - პარმონიული რხევის ამპლიტუდებია, $f = (0, 40, 80, 120)$ -პარმონიული მდგენელების სიხშირეებია, ხოლო $\varphi_k = (0, -0.4, -0.6, -0.8)$ შესაბამისი საწყისი ფაზური წანაცვლებებია.

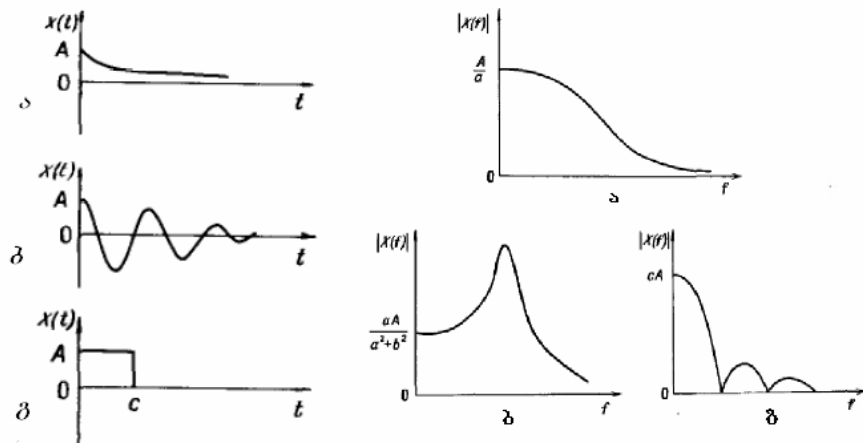
ამრიგად, ნებისმიერი ფორმის სიგნალი შეიძლება წარმოვიდგინოთ ძირითადი რხევის სიხშირის $f_0 = \frac{1}{T}$ ან $\omega_0 = \frac{2\pi}{T}$ ჯერადი სიხშირეების პარმონიული რხევების ჯამით. ასევე უნდა შევნიშნოთ, რომ პერიოდული სიგნალების სპექტრი დისკრეტულია.

თითქმის პერიოდული სიგნალები ძალზე წააგავენ პოლიპარმონიულ სიგნალებს. მაგრამ თუ სიგნალი შექმნილია სხვადასხვა სიხშირის ორი ან მეტი პარმონიული სიგნალების ჯამისაგან, მაშინ ასეთი სიგნალი არ იქნება პერიოდული. პერიოდული იქნება მხოლოდ იმ შემთხვევაში, როცა ნებისმიერი ორი სიხშირის ფარდობა იქნება რაციონალური რიცხვი. ამ შემთხვევაში არსებობს ძირითადი (ფუნდამენტალური) სიხშირე, რომელიც აკმაყოფილებს (1.1) განტოლებას. აქედან გამომდინარე სიგნალი

$$x(t) = A_1 \sin(2t + \varphi_1) + A_2 \sin(3t + \varphi_2) + A_3 \sin(7t + \varphi_3)$$

პერიოდულია, რადგან $2/3$, $2/7$, და $3/7$ რაციონალური რიცხვებია (ფუნდამენტალური პერიოდი უსასრულოდ დიდია). თითქმის პერიოდული სიგნალები განისაზღვრებიან (1.2) გამოსახულებით და მათ სპექტრიც დისკრეტულია.

აპერიოდული სიგნალები წარმოადგენენ არაპერიოდული სიგნალების ძირითად ჯგუფს და განისაზღვრებიან ნებისმიერი დროითი ფუნქციებით. აპერიოდულ სიგნალებს მიეკუთნებიან გარდამავალი (იმპულსური) სიგნალები, რომლებიც წარმოდგენილი არიან ნახ. 1.3 - ზე თავიანთი სპექტრებით.



ნაბ. 1.3

სადაც $|X(f)|$ სპექტრის მოდულია.

1.3 სიგნალის ენერგია და სიმძლავრე

დავიწყოთ ენერგიის და სიმძლავრის ფიზიკური ცნებებით. თუ R წინაღობის რეზისტორს მოვდებთ მუდმივ ძაბვას, მაშინ რეზისტორის გამოყოფილი სიმძლავრე ტოლია:

$$P = \frac{U^2}{R}$$

T დროის განმავლობაში რეზისტორი გამოყოფს თბურ ენერგიას, რომელიც ტოლია:

$$E = \frac{U^2 T}{R}$$

დაგუშვათ იგივე რეზისტორს მოვდეთ არა მუდმივი, არამედ $x(t)$ სიგნალი. რეზისტორში გაბნეული სიმძლავრე, დამოკიდებულია დროზე ანუ ამ შემთხვევაში საქმე გვაქვს მყისიერ სიმძლავრესთან

$$P(t) = \frac{x^2(t)}{R}$$

იმისთვის, რომ გამოვთვალოთ T დროის განმავლობაში გამოყოფილი ენერგია საჭიროა მყისიერი სიმძლავრის ინტეგრირება

$$E = \int_0^T x^2(t) dt = \frac{1}{R} \int_0^T x^2(t) dt$$

თუ შემოვიტანო სიმძლავრის საშუალო მნიშვნელობის ცნებას, მასში

$$\bar{P} = \frac{E}{T} = \frac{1}{RT} \int_0^T x^2(t) dt$$

ყველა ამ ფორმულაში შედის R წინაღობა, მაგრამ თუ ენერგიას და სიმძლავრეს გავნიხილავთ არა როგორც ფიზიკურ სიდიდეებს, არამედ როგორც სიგნალების შესადარებელ საშუალებას, მაშინ ეს პარამეტრი შეგვიძლია ფორმულიდან გამოვრიცხოთ (ჩავთვალოთ, რომ $R=1$), მაშინ ჩვენ ვდებულობთ

ა. ყუბანეიშვილი ბიოსიგნალების ციფრული დამუშავება

ოპერაციების შესრულებით, თანაც აქცენტი კეთდება გამტარუნარიანობის მაღალ სიჩქარეზე. სტანდარტული მიკროპროცესორების სტრუქტურები ვერ აკმაყოფილებენ სიგნალის ციფრული დამუშავების მახასიათებლებს. სწორედ ამან გამოიწვია ახალი პროცესორების შექმნა, რომელთა სტრუქტურა განკუთვნილია სპეციალურად სიგნალის ციფრული დამუშავების ოპერაციების შესრულებისათვის. ახალ პროცესორებს ანუ ჩიპებს გააჩნიათ შემდეგი თავისებურებები:

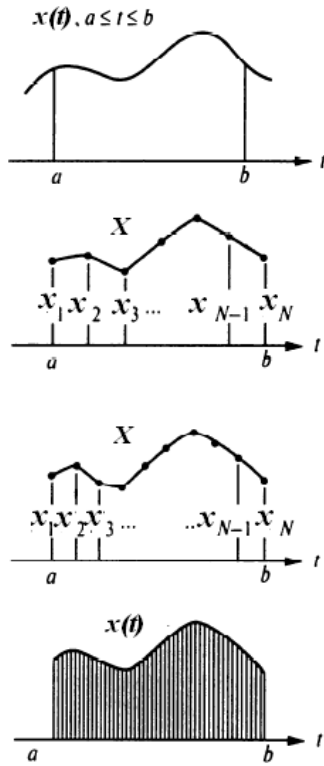
- ჩაშენებული მამრავლები, რომლებიც განკუთვნილნი არიან სწორაფად მოახდინონ გამრავლების ოპერაციები;
- ცალკე მეხსიერება პროგრამების და მონაცემების შესანახად;
- ბრძანებებში არსებული ციკლები, რომლებიც გამოიყენებიან განშტოებების და ციკლების შექმნისათვის. ასეთი ბრძანებები მნიშვნელოვნად ამცირებენ ციკლების რაოდენობას;
- საკმაოდ დიდი სისტრაფე. მაგალითად, *TMS320C25* პროცესორის ტაქტური სიხშირე 40 მგპ, ხოლო ერთი ტაქტის სიჩქარე – 100ნანოწამია;
- კონვეინერული დამუშავების გამოყენება, რაც იწვევს ბრძანებების შესრულების დროის შემცირებას და სისტრაფის ზრდას.

ახალი ჩიპები სწორაფი და მრავალფუნქციონალურები არიან. დღეისათვის ზოგიერთ ჩიპს შეუძლია მცოცავი მძიმით არითმეტიკული მოქმედებების შესრულება, შეიცავენ მიმდებრობითი გადაცემის არხებს, გაფართოებული მეხსიერების არეს, ტაიმერებს და წყვეტის მრავალდონიან სისტემებს.

1.5 სიგნალის მათემატიკური წარმოდგენა

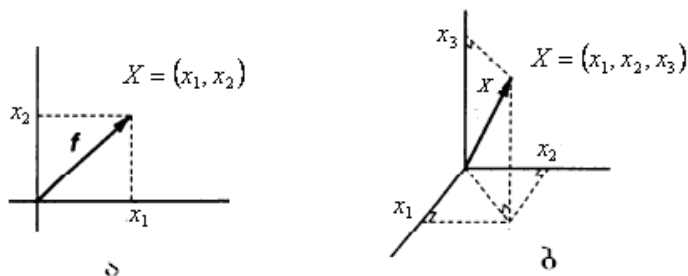
როგორც ვიცით, ანალოგური სიგნალი გარდაიქნება დისკრეტულ სიგნალად, სადაც ანალოგები წარმოდგენილია ციფრულ ფორატში. თუ დროის რაიმე $[a, b]$ ინტერვალში $x(t)$ ანალოგურ სიგნალს წარმოვადგენთ დისკრეტულ ფორმაში $x(\Delta t)$, $n=1, 2, \dots, N$ და მას ჩავწერთ როგორც $X = (x_1, x_2, \dots, x_N)$ ვექტორის სახით, მაშინ x_1, x_2, \dots, x_N დისკრეტული ანალოგები $x(t)$ სიგნალის კომპონენტები იქნებიან.

საწყისი სიგნალის აღდგენა დამოკიდებულია N სიდიდეზე ანუ დისკრეტიზაციის Δt ინტერვალზე. რაც უფრო შევამცირებოთ Δt -ს, მით უფრო გაიზრდება N და მით უფრო კარგად წარმოვადგენთ საწყის სიგნალს. თუ $N \rightarrow \infty$, მაშინ X ვექტორი გადაიქცევა $x(t)$ სიგნალად (ნახ. 1.4).



ნახ. 1.4

ორგანზომილებიან ვექტორს, რომელიც მოთავსებულია ორგანზომილებიან სივრცეში, ანუ სიბრტყეზე, შეესაბამება რომელიმე წერტილს სიბრტყეზე (ნახ. 1.5).



ნახ. 1.5

ასევე სამგანზომილებიან სივრცეში X ვექტორს შეესაბამება მხოლოდ ერთი წერტილი (ნახ. 1.5). ანალოგიურად N განზომილებიან ვექტორს შეესაბამება ერთი წერტილი N – განზომილებიან ცივრცეში $X = (x_1, x_2, \dots, x_N)$, მაგრამ მათი გეომეტრიული წარმოდგენა შეუძლებელია.

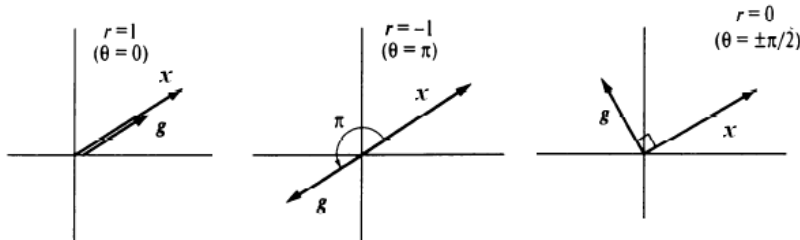
თუ წარმოგადგენთ უსასრულოდ დიდ განზომილების N სივრცეს, მაშინ $x(t)$ უწყვეტ სიგნალს ამ სივრცეში შეესაბამება ერთი წერტილი. ამ უსასრულო განზომილების სივრცეს ფუნციის სივრცე ეწოდება.

ამრიგად, ნებისმიერი $x(t)$ სიგნალი შეგვიძლია განვიხილოთ როგორც N – განზომილებიანი ვექტორი X , რომლის კომპონენტებია x_1, x_2, \dots, x_N და რომელსაც N – განზომილებიან ცივრცეში შეესაბამება ერთი წერტილი.

N – განზომილებიან სივრცეში შეესაბლებელია განისაზღვროს ვექტორის სიგრძე, მანძილი ორ ვექტორს შორის, კუთხე ვექტორებს შორის და სკალარული

ა. ფუნქციის ბიოსიგნალების ციფრული დამუშავება

ე. კორელაციის კოეფიციენტი r აღნიშნავს X და Y გექტორებს შორის კავშირის ძალას, მათ შორის კუთხის სიდიდის საშუალებით. ასე მაგალითად, თუ $\theta=0$, მაშინ r აღწევს მაქსიმალურ მნიშვნელობას $r=1$. კუთხის ზრდასთან ერთად r მცირდება. როცა $r=0$, მაშინ $\langle X, Y \rangle = 0$ ანუ X და Y გექტორები ურთიერთპენდიკულარები არიან (ნახ. 1.7).



ნახ. 1.7

გექტორის კომპონენტების გამოყენებით ორ გექტორს შორის სკალარული ნამრავლი ტოლია: $\langle X, Y \rangle = x_1 y_1 + x_2 y_2$. გექტორის თავისთავზე სკალარული ნამრავლი ტოლია: $\langle X, X \rangle = x_1^2 + x_2^2 = \|X\|^2$, რაც გვიჩვენებს სკალარულ ნამრავლსა და გექტორის ნორმას შორის კავშირს.

ჩვენ უკვე ვიცით ორგანზომილებიან სივრცეში გექტორებს შორის სკალარული ნამრავლი და მათ შორის მანძილი. ეხლა განვიხილოთ X გექტორი n განზომილებიან სივრცეში. $X = (x_1 x_2 \dots x_n)^T$ გექტორის ნორმა განისაზღვრება შემდეგი ფორმულით:

$$\|X\| = \sqrt{x_1^2 + x_2^2 + \dots + x_n^2} = \sqrt{\sum_{k=1}^n x_k^2}$$

იმისათვის, რომ მრავალგანზომილებიან სივრცეში X გექტორის ნორმა არ იყოს დამოკიდებული სივრცის n განზომილებაზე, იყენებენ შემდეგ გამოსახულებას:

$$\|X\| = \sqrt{\frac{1}{n} \sum_{k=1}^n x_k^2}.$$

n განზომილებიან სივრცეში მანძილი ორი X და Y გექტორს შორის განისაზღვრება შემდეგი ფორმულით:

$$d(X, Y) = \|X - Y\| = \sqrt{\sum_{k=1}^n (x_k - y_k)^2},$$

ხოლო სკალარული ნამრავლი

$$\langle X, Y \rangle = x_1 y_1 + x_2 y_2 + \dots + x_n y_n = \sum_{k=1}^n x_k y_k.$$

თუ განვიხილავთ ფუნქციის სივრცეს, მაშინ $x(t)$, ($a \leq t \leq b$) ფუნქციის ნორმა ტოლია:

$$\|x(t)\| = \sqrt{\int_a^b x^2(t) dt}.$$

როგორც ამ ფორმულიდან ჩანს, რაც უფრო დიდია ინტერვალი, მით უფრო დიდია ნორმის მნიშვნელობა. ამის თავიდან აცილებისათვის უფრო მიზანსეწონილია ფუნქციის ნორმის გამოთვლის შემდეგი გამოსახულება:

$$\|x(t)\| = \sqrt{\frac{1}{b-a} \int_a^b x^2(t) dt}.$$

მანძილი $x(t)$ და $y(t)$ ფუნქციებს შორის განისაზღვრება ფორმულით:

$$d(x(t), y(t)) = \sqrt{\frac{1}{b-a} \int_a^b [x(t) - y(t)]^2 dt},$$

ეს თანაფარდობა ხშირად გამოიყენება საშუალო კვადრატული ცდომილების განისაზღვრისათვის. ორ $x(t)$ და $y(t)$ ფუნქციებს შორის სკალარული ნამრავლი ტოლია:

$$\langle x(t), y(t) \rangle = \frac{1}{b-a} \int_a^b x(t) y(t) dt$$

ხოლო $x(t)$ ფუნქციის თავისთავზე სკალარული ნამრავლი ტოლია:

$$\langle x(t), x(t) \rangle = \frac{1}{b-a} \int_a^b x^2(t) dt = \|x(t)\|^2.$$

თუ ფუნქციის სიგრცეში $x(t)$ და $y(t)$ ფუნქციებს შორის არსებობს კუთხე, მაშინ კორელაციის კოეფიციენტი განისაზღვრება შემდეგი გამოსახულებით:

$$r = \frac{\frac{1}{b-a} \int_a^b x(t) y(t) dt}{\sqrt{\frac{1}{b-a} \int_a^b x^2(t) dt} \sqrt{\frac{1}{b-a} \int_a^b y^2(t) dt}}.$$

აქაც კორელაციის კოეფიციენტი დებულობს მნიშვნელობებს $[-1, 1]$ ინტერვალიდან. რაც უფრო მეტია r – ის მნიშვნელობა აბსოლუტური სიდიდით, მით უფრო დიდია კავშირი ფუნქციებს შორის, ანუ სხვა სიტყვებით ისინი უფრო მსგავსები არიან.

თუ $x(t)$ და $y(t)$ ფუნქციები ურთიერთპერპენდიკულარული არიან, მაშინ მათი სკალარული ნამრავლი ნულის ტოლია, ე.ი. $\langle x(t), y(t) \rangle = 0$. მაგალითად ორი $x(t) = t$ და $y(t) = 1$ ფუნქცია $[-1, 1]$ ინტერვალში ურთიერთპერპენდიკულარული არიან. მართლაც $\langle t, 1 \rangle = \int_t^1 t dt = \frac{t^2}{2} \Big|_0^1 = 0$.

1.6 კომპლექსური სიგნალები

კომპლექსური სიგნალების თეორია ეფუძნება კომპლექსური რიცხვების გამოყენებას. კომპლექსური სიგნალები, რომლებიც წარმოდგენილი არიან კომპლექსური რიცხვებით, ფართოდ გამოიყენებიან მეცნიერებისა და ტექნიკის პრაქტიკულად ყველა სფეროში. აქედან გამომდინარე, ჯერ გავიხსენოთ კომპლექსური რიცხვის ცნება.

ა. ყუბანევიშვილი ბიოსიგნალების ციფრული დამუშავება

1. კომპლექსური რიცხვები. განვიხილოთ უმარტივესი კვადრატული განტოლება $x^2 + 1 = 0$, რომლის ამონას სენია $x = \sqrt{-1}$. საზოგადოდ ნამდვილ რიცხვთა სიმრავლეში არ არსებობს ლურჯი სარისხის ფესვი უარყოფით რიცხვიდან. ამიტომ მათემატიკაში შემოიტანეს ახალი სიდიდე $j = \sqrt{-1}$, რომელსაც წარმოსახვითი ერთეული უწოდეს.

განვიხილოთ შემდეგი კვადრატული განტოლება $x^2 + 2x + 5 = 0$, რომლის ამონას სენია

$$\begin{aligned} x &= \frac{-2 \pm \sqrt{4 - 4 \cdot 5}}{2} = \frac{-2 \pm \sqrt{-16}}{2} = \frac{-2 \pm \sqrt{16 \cdot (-1)}}{2} = \frac{-2 \pm \sqrt{16\sqrt{-1}}}{2} = \\ &= \frac{-2 \pm 4\sqrt{-1}}{2} = -1 \pm 2\sqrt{-1} = -1 \pm 2j \end{aligned}$$

განტოლების ამონას სენები $-1 + 2j$ და $-1 - 2j$ წარმოადგენენ კომპლექსურ რიცხვებს, რომელთაც გააჩნიათ შემდეგი სახე: $a + jb$, სადაც a – რიცხვის ნამდვილი ნაწილია, ხოლო b – წარმოსახვითი.

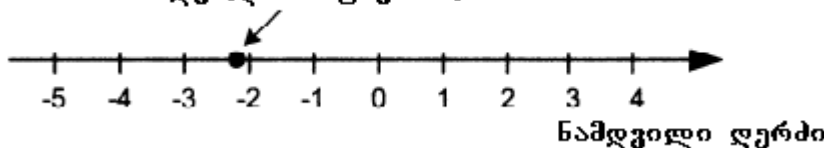
შენიშვნა. $y = x^2 + 2x + 5$ გრაფიკი არ გადაკვეთს ox დერძს, ამიტომ $x^2 + 2x + 5 = 0$ განტოლებას არ გააჩნია ნამდვილი ფესვები.

ცხადია, რომ

$$j^2 = (\sqrt{-1})^2 = -1; \quad j^3 = j^2 j = (-1)j = -j; \quad j^4 = j^2 j^2 = (-1)(-1) = 1.$$

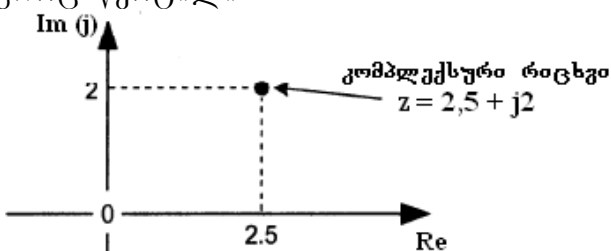
თუ ნამდვილი რიცხვი შეიძლება წარმოვადგინოთ წერტილის სახით კოორდინატთა ერთგანზომილებიან ღერძზე (ნახ. 1.8),

ნამდვილი რიცხვი -2,2



ნახ. 1.8

მაშინ კომპლექსური რიცხვის წარმოსადგენად გვჭირდება ორგანზომილებიანი სიბრტყე, რომელსაც გააჩნია ერთი ნამდვილი დერძი და ერთი კომპლექსური. ქვემოდ მოყვანილ ნახ. 1.9 ნახაზზე ნაჩვენებია კომპლექსური z რიცხვი, სადაც ის წარმოდგენილია როგორც წერტილი.



ნახ. 1.9

კომპლექსური რიცხვები შეიძლება განლაგებული იყვნენ ნებისმიერ ადგილზე ორგანზომილებიან სიბრტყეზე, რომელსაც კომპლექსური სიბრტყე ეწოდება. კომპლექსურ სიბრტყეს გააჩნია როგორც ნამდვილი (R_e) ასევე წარმოსახვითი (I_m) დერძები. მაგალითად, ნახ. 1.9-ზე კომპლექსური რიცხვი $z = 2,5 + j2$ წარმოდგენილია წერტილი სახით, რომელიც არ მდებარეობს არც ნამდვილ და არც წარმოსახვით დერძზე. ჩვენ ამ წერტილში შეგვიძლია მისვლა

თუ კოორდინატთა სათავედან ნამდვილ დერძზე გადავზომავთ $+2,5$ ერთეულს, ხოლო წარმოსახვით დერძზე $+2$ ერთეულს.

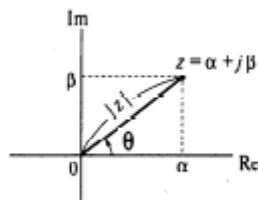
ამრიგად, კომპლექსური z რიცხვი ზოგადად გამოისახება ნამდვილი და წარმოსახვითი სიდიდით (ნახ. 1.10). არსებობს კომპლექსური რიცხვის ჩაწერის რამდენიმე სახე. ასე მაგალითად:

$$- \text{ალგებრული ფორმა } z = \alpha + j\beta; \alpha = \operatorname{Re}(z), \beta = \operatorname{Im}(z) \quad (1.5)$$

$$- \text{ტრიგონომეტრიული ფორმა } z = \cos(\theta) + j\sin(\theta); \quad (1.6)$$

$$- \text{პოლარული კორდინატების ფორმა } z = e^{j\theta}, \quad (1.7)$$

სადაც $|z| = \sqrt{\alpha^2 + \beta^2}$ და მას ეწოდება z რიცხვის აბსოლუტური მნიშვნელობა ან მოდული, $\theta = \arctg \frac{\beta}{\alpha}$ და იგი წარმოადგენს z რიცხვის არგუმენტს.



ნახ. 1.10

თუ (1.6) და (1.7) გაუტოლებთ ერთმანეთს, მივიღებთ ეილერის ცნობილ ფორმულას:

$$e^{j\theta} = \cos \theta + j \sin \theta. \quad (1.8)$$

თუ (1.8) ფორმულაში j -ს მაგივრად ჩავსვამთ $-j$ -ს, მაშინ მივიღებთ:

$$e^{-j\theta} = \cos \theta - j \sin \theta. \quad (1.9)$$

თუ მიღებულ (1.8) და (1.9) ფორმულებიდან განვსაზღვრავთ $j \sin \theta$ მნიშვნელობებს

$$j \sin \theta = e^{j\theta} - \cos \theta$$

$$j \sin \theta = \cos \theta - e^{-j\theta}$$

და მიღებულ განტოლებებს გაუტოლებთ ერთმანეთს და ამოგხსნით კოსინუსის მიმართ, მაშინ მივიღებთ:

$$\cos \theta = \frac{1}{2} (e^{j\theta} + e^{-j\theta}). \quad (1.10)$$

ანალოგიური გზით მიიღება სინუსისათვის

$$\sin \theta = \frac{1}{2j} (e^{j\theta} - e^{-j\theta}). \quad (1.11)$$

მიღებულ (1.10) და (1.11) ფორმულებს ეილერის იგვეობას უწოდებენ.

ისმება კითხვა, რის საფუძველზე ვლებულობთ კომპლექსური სიდიდის წარმოდგენას ნატურალური ლოგარითმის e ფუძის საშუალებით? ამისათვის $e^{j\theta}$ სიდიდე გავშალოთ ტეილორის მწკრივად

$$\begin{aligned} e^{j\theta} &= 1 + j\theta + \frac{(j\theta)^2}{2!} + \frac{(j\theta)^3}{3!} + \frac{(j\theta)^4}{4!} + \frac{(j\theta)^5}{5!} + \frac{(j\theta)^6}{6!} + \dots = \\ &= 1 + j\theta - \frac{\theta^2}{2!} - j \frac{\theta^3}{3!} + \frac{\theta^4}{4!} + j \frac{\theta^5}{5!} - \frac{\theta^6}{6!} + \dots \end{aligned} \quad (1.12)$$

თუ დავაკვირდებით (1.12) მწკრივს ადგილად შევნიშნავთ, რომ კენტი წევრები ქმნიან კოსინუსის მწკრივად გაშლას

$$\cos(\theta) = 1 - \frac{\theta^2}{2!} + \frac{\theta^4}{4!} - \frac{\theta^6}{6!} + \dots,$$

ხოლო ლურჯი წევრები წარმოადგენენ სინუსის ფუნქციის მწკრივად გაშლას

$$j \sin(\theta) = j\theta - j \frac{\theta^3}{3!} + j \frac{\theta^5}{5!} - \dots,$$

ე.ო. ვდებულობთ (1.8) ფორმულას. თუ (1.8) ფორმულაში ჩავსვამთ $\theta = \pi/2$, მაშინ მივიღებთ:

$$e^{j\pi/2} = \cos(\pi/2) + j \sin(\pi/2) = 0 + j \cdot 1, \quad \text{ე.ო.} \quad e^{j\pi/2} = j.$$

კომპლექსური სიდიდის პოლარულ კოორდინანტებში წარმოდგენა სასარგებლოა შემდეგი მიზეზების გამო:

- ამარტივებს მათემატიკურ გამოთვლებს;
- გარდაქმნის რთულ სიგნალებს მარტივ კომპლექსურ რიცხვების შეკრებაზე (ვექტორული შეკრება);
- ჩაწერის ყველაზე მოკლე ფორმაა.

განვიხილოთ მაგალითი. ვთქვათ გვინდა ორი $z_1 = \cos(\theta) + j \sin(\theta)$ და $z_2 = \cos(2\theta) - j \sin(2\theta)$ კომპლექსური რიცხვის გადამრავლება.

$$\begin{aligned} z_1 z_2 &= [\cos(\theta) + j \sin(\theta)][\cos(2\theta) - j \sin(2\theta)] = \\ &= \cos(\theta)\cos(2\theta) + \sin(\theta)\sin(2\theta) + j[\sin(\theta)\cos(2\theta) - \cos(\theta)\sin(2\theta)] \end{aligned}$$

თუ ფუნქციების ნამრავლისათვის გამოვიყენებთ ტრიგონომეტრიულ იგივეობებს, მაშინ მივიღებთ:

$$\begin{aligned} z_1 z_2 &= \frac{1}{2}[\cos(-\theta) + \cos(3\theta) + \cos(-\theta) - \cos(3\theta)] + j \frac{1}{2}[\sin(3\theta) + \sin(\theta) - \sin(3\theta) + \sin(-\theta)] = \\ &= \cos(-\theta) + j \sin(-\theta) = \cos(\theta) - j \sin(\theta) \end{aligned}$$

გაცილებით მარტივია ამ პროცედურის ჩატარება პოლარული ფორმის გამოყენებით, მართლაც

$$z_1 z_2 = e^{j\theta} e^{-j2\theta} = e^{-j\theta} = \cos(\theta) - j \sin(\theta).$$

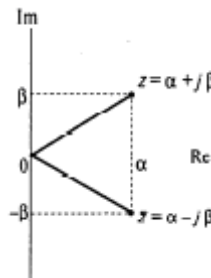
ამრიგად. ზოგადად ორი კომპლექსური სიდიდის ნამრავლი ტოლია:

$$z_1 \cdot z_2 = |z_1| e^{j\theta_1} |z_2| e^{j\theta_2} = |z_1| |z_2| e^{j(\theta_1 - \theta_2)},$$

ხოლო ორი კომპლექსური რიცხვის ფარდობა გვაძლევს

$$\frac{z_1}{z_2} = \frac{|z_1|}{|z_2|} e^{j(\theta_1 - \theta_2)}$$

ორ $z = \alpha + j\beta$ და $z^* = \alpha - j\beta$ კომპლექსურ რიცხვებს კომპლექსურად შეუდლებულები ეწოდებათ.



ნახ. 1.11

ცხადია, რომ

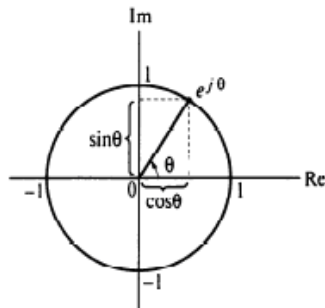
$$z + z^* = 2\alpha = 2 \operatorname{Re}(z)$$

$$z - z^* = 2\beta \operatorname{Im}(z)$$

$$z \cdot z^* = (\alpha + j\beta)(\alpha - j\beta) = \alpha^2 + \beta^2 = |z|^2$$

უნდა აღვნიშნოთ, რომ $z^2 |z|^2$ განსხვავებული სიდიდეებია. მაგალითად, თუ $z = j$ და $\alpha = 0, \beta = 1$ $z^2 = -1$, მაშინ $|z|^2 = 1$.

დაუშვათ წერტილი მოთავსებულია კომპლექსური სიბრტყის ერთნულოვან წრეში ისე, რომ ამ წერტილის კოორდინატთა სათავესთან შეერთების წრფე ნამდვილ დერძთან ადგენს θ კუთხეს, ისე, როგორც ეს ნაჩვენებია (2.12) ნახაზზე.



ნახ. 1.12

ერთნულოვან წრეში წერტილის კოორდინატები შეიძლება ასე წარმოვადგნოთ: $\cos \theta + j \sin \theta$. ეილერის ფორმულის თანახმად

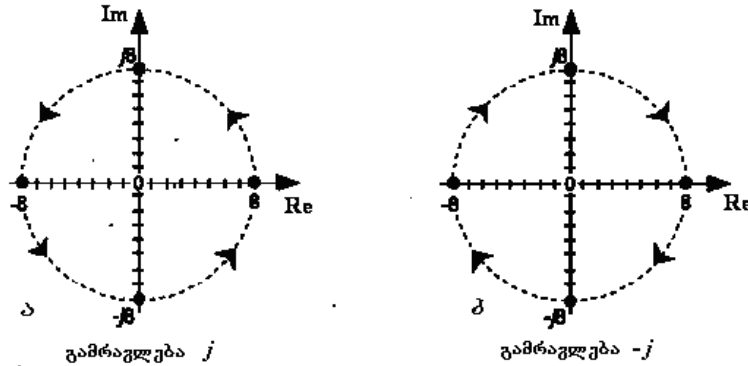
$$\cos \theta + j \sin \theta = e^{j\theta}$$

სადაც e წარმოადგენს ნატურალური ლოგარითმის ფუძეს და განისაზღვრება შემდეგნაირად:

$$e = \lim_{n \rightarrow \infty} \left(1 + \frac{1}{n}\right)^n = 2,71828\dots \quad |e^{j\theta}| = 1.$$

j შეგვიძლია განვიხილოთ არა როგორც რიცხვი, არამედ რიცხვებზე მოქმედი ოპერაცია. კერძოდ, j ოპერატორი აღნიშნავს კომპლექსური რიცხვის მობრუნებას 90° -ით სათათის ისრის მოძრაობის საწინააღმდეგო მიმართულებით.

ნამდვილ დერძზე მდებარე ნებისმიერი რიცხვის j -სთან ნამრავლი გვაძლევს წარმოსახვით მნიშვნელობას, რომელიც მდებარეობს კომპლექსური სიბრტყის წარმოსახვით დერძზე (ნახ. 1.13)

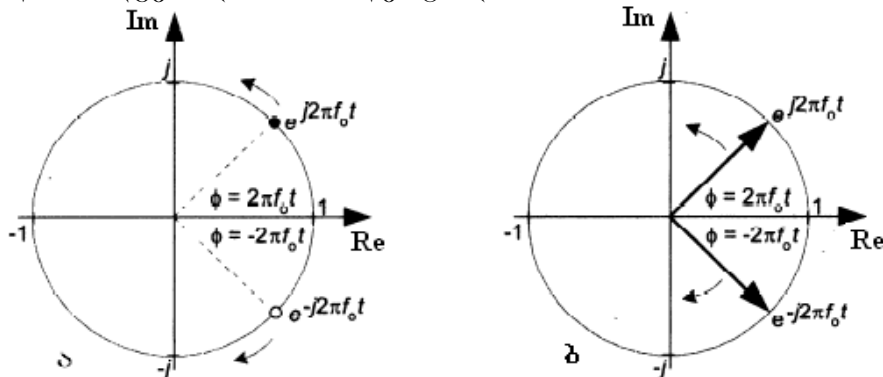


ნახ. 1.13

როგორც ნახ. 1.13ა-დან ჩანს, თუ $+8$ -ს გავამრავლებთ j -ზე, მაშინ მივიღებთ $+j8$ წარმოსახვით რიცხვს, რომელიც მდებარეობს წარმოსახვით ღერძის დადგებით ნაწილზე, ე.ი. მოხდა $+8$ რიცხვის 90° -ით მობრუნება. ანალოგიურად, თუ $+j8$ გავამრავლებთ j -ზე, მაშინ ხდება კიდევ ერთი მობრუნება 90° -ით და მივიღებთ -8 რიცხვს, რომელიც მდებარეობს ნამდვილი ღერძის უარყოფით ნაწილში. თავის მხრივ, -8 რიცხვის ნამრავლს j -ზე მივყევართ კიდევ 90° -ით შემობრუნებაზე და მივიღებთ $-j8$ რიცხვს, რომელიც მდებარეობს წარმოსახვით ღერძის უარყოფით ნაწილზე და ა.შ.

ამრიგად, ნებისმიერი რიცხვის j -ზე გამრავლება იძლევა შედეგს საათის ისრის მოძრაობის საწინააღმდეგო მიმართულებით (ნახ. 1.13ა), რომელიც 90° -ით არის დაძრული, ხოლო თუ რიცხვს გავამრავლებთ $-j$ -ზე, მაშინ შედეგი მიიღება 90° -ით დაძრული, ოდონდ საათის ისრის მოძრაობის მიმართულებით (ნახ. 1.13ბ).

2. კომპლექსური სიგნალის ცნება. კომპლექსური სიგნალი წარმოადგენს დროზე დამოკიდებულ ორგანზომილებიან სიგნალს, რომელიც შეიცავს ნამდვილ და წარმოსახვით ნაწილებს. განვიხილოთ რიცხვი, რომლის მოდული ერთის ტოლია და რომლის ფაზური კუთხე იცვლება დროში. ეს კომპლექსური რიცხვი ნახ. 1.24ა-ზე წარმოდგენილია $e^{j2\pi f_0 t}$ წერტილით.

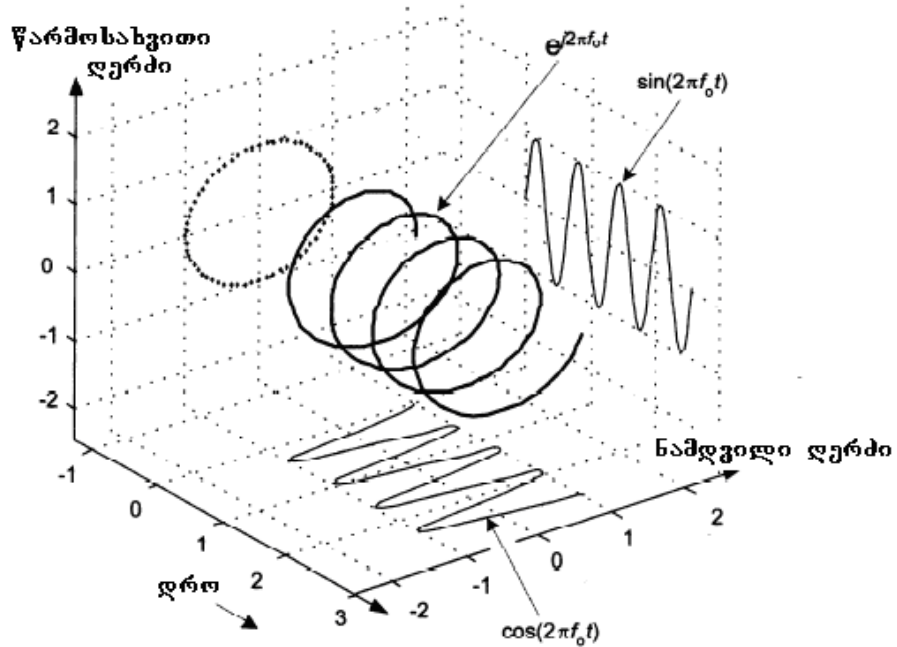


ნახ. 1.14

დროის ზრდასთან ერთად კომპლექსური რიცხვის ფაზური კუთხეც იზრდება და რიცხვი კომპლექსურ სიპრტყეზე კორდინატთა სათავის მიმართ საათის ისრის მოძრაობის საწინააღმდეგოდ შემოწერს წრეს. ნახ. 1.24ა-ზე ნაჩვენებია ეს რიცხვი დაფიქსირებული დროის გარკვეულ მომერტებში. ასე მაგალითად, თუ $f_0 = 2\text{Hz}$, მაშინ წერტილი წრეს წამში შემოუვლის ორჯერ. რაც შეეხება $e^{-j2\pi f_0 t}$ კომპლექსურ რიცხვს (ნახაზზე თეთრი წერტილი) იგი მოძრაობს საათის ისრის მოძრაობის მიმართულებით და მისი ფაზური კუთხე დროის ზრდასთან ერთად ხდება უფრო უარყოფითი.

ორ კომპლექსურ $e^{j2\pi f_0 t}$ და $e^{-j2\pi f_0 t}$ გამოსახულებას კომპლექსურ სიგნალს უწოდებენ, რომელსაც გააჩნია ნამდვილი და წარმოსახვითი ნაწილები და ორივე წარმოადგენს დროის ფუნქციას. $e^{j2\pi f_0 t}$ და $e^{-j2\pi f_0 t}$ სიგნალები შეიძლება წარმოვადგინოთ როგორც ვექტორები, რომლებიც მოძრაობები ურთიერთსაწინააღმდეგო მიმართულებით (ნახ. 1.14ბ). ზოგჯერ კომპლექსურ სიგნალს კვადრატულ სიგნალსაც უწოდებენ.

ნახ. 1.15-ზე წარმოდგენილია $e^{j2\pi f_0 t}$ კომპლექსური სიგნალის ტრაექტორია სამგანზომილებიან სივრცეში, სადაც ის აღწერს დროზე დამოკიდებულ თავის მოძრაობის ტრაექტორიას.



ნახ. 1.15

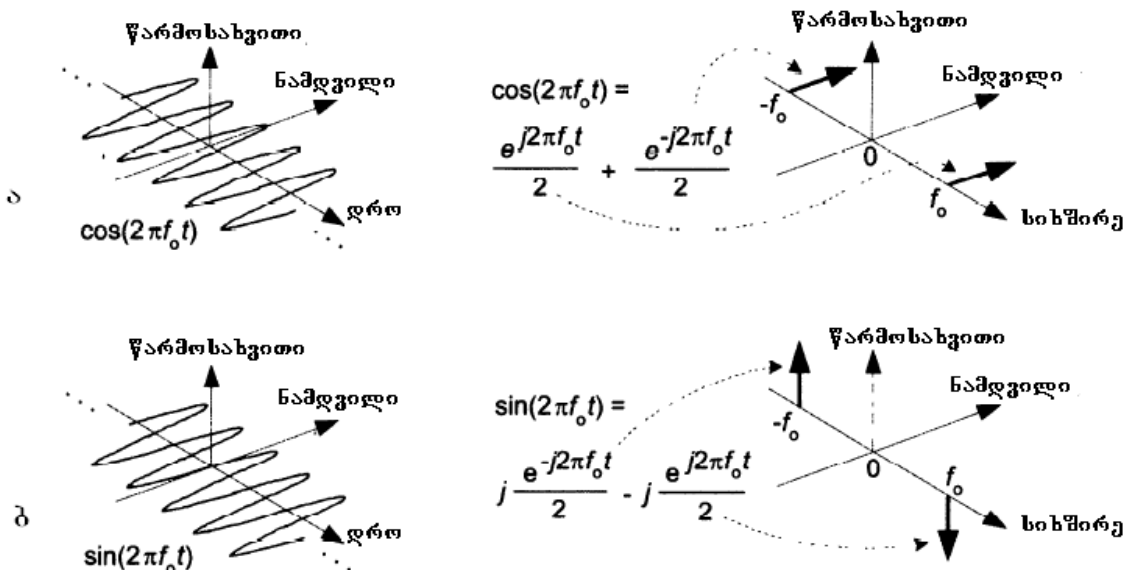
ნახ. 1.15-ზე წარმოდგენილი $e^{j2\pi f_0 t}$ კომპლექსური სიგნალის ნამდვილი და წარმოსახვითი ნაწილები ნაჩვენებია როგორც სინუსის და კოსინუსის პროექციები, რაც კიდევ უფრო ნათელ ხდის ეილერის ფორმულის (1.8) თანაფარდობას.

ამრიგად, კომპლექსური $e^{j2\pi f_0 t} = \cos(2\pi f_0 t) + j\sin(2\pi f_0 t)$ სიგნალი არ წარმოადგენს მათემატიკურ აბსტრაქციას. იგი შედგება ნამდვილ და წარმოსახვით სიგნალებისაგან. j ოპერატორის საშუალებით ეს ორი სიგნალი შეგვიძლია განვიხილოთ, როგორც ორთოგონალური სიგნალები, ე.ო. მათ შორის კუთხე 90° ტოლია. (1.10) და (1.11) ფორმულები თანახმად გვექნება:

$$\cos(2\pi f_0 t) = \frac{1}{2}(e^{j2\pi f_0 t} + e^{-j2\pi f_0 t}), \quad \sin(2\pi f_0 t) = \frac{1}{2j}(e^{-j2\pi f_0 t} - e^{j2\pi f_0 t}). \quad (1.13)$$

მიღებული გამოსახულები (1.13) წარმოადგენენ კოსინუსოიდალური და სინუსოიდალური კომპლექსური სიგნალების სტანდარტულ გამოსახულებებს.

3. კომპლექსური სიგნალები სიხშირულ არეში. კომპლექსური სიგნალების სიხშირულ არეში წარმოსადგენად განვიხილოთ ნამდვილი კოსინუსოიდალური და სინუსოიდალური სიგნალების წარმოდგენა როგორც დროით ასევე სიხშირულ არეებში (ნახ. 1.16).



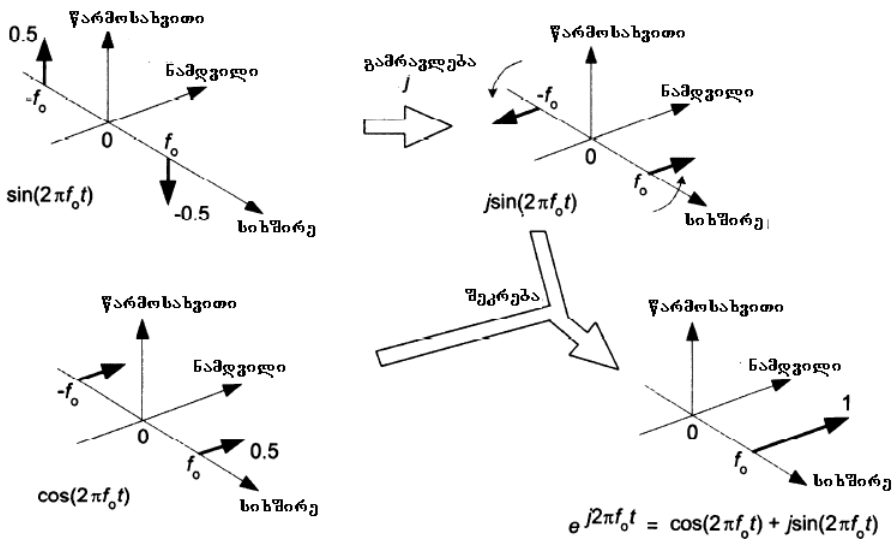
ნახ. 1.16

ნახ. 1.16ა-ზე წარმოდგენილია ნამდვილი კოსინუსოიდალური და სინუსოიდალური სიგნალები, ხოლო ნახ. 1.15ბ-ზე ნაჩვენებია სიხშირულ არეში მათი კომპლექსური წარმოდგენა. მსხვილი ისარი არ წარმოადგენს ფაზით ბრუნვის მიმართულებას, ის აღნიშნავს სიხშირულ არეში სპექტრული იმპულსების მიმართულებას.

როგორც ნახაზიდან ჩანს, $\cos(2\pi f_0 t)$ სიგნალს გააჩნია ნამდვილი სპექტრი. ეს იმიტომ ხდება, რომ $\cos(2\pi f_0 t)$ სიგნალი დროით ლურჯი ფუნქციაა $\cos[2\pi f_0(-t)] = \cos(2\pi f_0 t)$. ე.ი. დროის უარყოფით t მნიშვნელობებისთვის კოსინუსის მნიშვნელობები დადებითი t დროის მნიშვნელობების ტოლია. რაც შეეხება $\sin(2\pi f_0 t)$ სიგნალს იგი კენტი ფუნქციაა და მისი სპექტრი წარმოსახვითია, რადგან უარყოფითი t დროს მნიშვნელობები ტოლია შებრუნებული ნიშნის დადებითი t დროის მნიშვნელობებისა. ე.ი. $\sin[2\pi f_0(-t)] = -\sin(2\pi f_0 t)$. აქედან გამომდინარე, $\sin(2\pi f_0 t)$ სიგნალს სპექტრი უველთვის წარმოსახვითია.

მაგალითისათვის განვიხილოთ ეილერის ფორმულის რეალიზაცია კომპლექსური სიხშირის არეში., რომელიც წარმოდგენილია შემდეგ ნახაზზე:

ა. ეუბანეიშვილი ბიოსიგნალების ციფრული დამუშავება



დასაწყისისათვის ნამდვილ სინუსოიდალურ $\sin(2\pi f_0 t)$ სიგნალს ვამრავლებთ j -ზე და შემდეგ მას უმატებთ იგივე სიხშირის ნამდვილ კოსინუსოიდალურ $\cos(2\pi f_0 t)$ სიგნალს, რომლის შედეგადაც ვღებულობთ ერთ კომპლექსურ ექსპონანტას $e^{j2\pi f_0 t}$, რითაც გრაფიკულად დასტურდება ეილერის იგივეობა.

4. უარყოფითი სიხშირის ცნება. უარყოფითი სიხშირე წარმოადგენს არა ფიზიკურ, არამედ აბსტრაქტულ, მათემატიკურ ცნებას, რომელიც გამოიყენება კომპლექსური სიდიდეების წარმოსადგენად. უარყოფითი სიხშირის გამოყენება აუცილებელია როცა ჩვენ გვინდა ნამდილი სიგნალის წარმოდგენა კომპლექსური ფორმის სახით.

გავიხსენოთ, რომ უარყოფითი რიცხვები დაკავშირებულია მიმართულებასთან. კერძოდ, კოორდინატთა სათავის მიმართ დადებითი რიცხვები მიმართული არიან მარჯვნივ, ხოლო უარყოფითი რიცხვები მარცხნივ. რაც შეეხება სიხშირეს აქ საწმე უფრო რულადაა.

ნახ. 1.14-ზე წარმოდგენილ $e^{j2\pi f_0 t}$ სიგნალს უწოდებენ დადებითი სიხშირის მქონე კომპლექსურ ექსპონენტას იმიტომ, რომ იგი საწყისი კოორდინანტის სათავის მიმართ f_0 სიხშირით დადებითი მიმართულებით მოძრაობს წრიულად ანუ საათის ისრის მოძრაობის საწინააღმდეგოდ. ანალოგიურად, $e^{-j2\pi f_0 t}$ სიგნალს უწოდებენ უარყოფითი სიხშირის მქონე კომპლექსურ ექსპონენტას იმიტომ, რომ იგი საწყისი კოორდინატის სათავის მიმართ f_0 სიხშირით წრიულად მოძრაობს უარყოფითი მიმართულებით ანუ საათის ისრის მოძრაობის მიმართულებით.

როგორც ვხედავთ, უარყოფითი სიხშირე განისაზღვრება მხოლოდ სიხშირულ არეში. რაც შეეხება დროით არეს, შეიძლება ითქვას, რომ აქ უარყოფითი სიხშირეები ფიზიკურად არ არსებობენ.

1.7 კორელაციური ფუნქციები

კორელაციური ანალიზი სპექტრულ ანალიზთან ერთად სიგნალების თეორიაში თამაშობს დიდ როლს. მისი მთავარი მიზანია სხვადასხვა

ა. ყუბანენიშვილი ბიოსიგნალების ციფრული დამუშავება

სიგნალების მსგავსების ზომის რაოდენობრივი განსაზღვრა. ამისთვის გამოიყენება კორელაციური ფუნქცია.

ორი შემთხვევით პროცესებს შორის ან ერთი შემთხვევითი პროცესის მნიშვნელობებს შორის წრფივი კავშირის დასადგენად გამოიყენება კორელაციური ფუნქციები. არსებობს კორელაციური ფუნქციების ორი სახე. ავტოკორელაციური და ურთიერთკორელაციური ფუნქციები.

ავტოკორელაციური ფუნქცია. დაუშვათ მოცემულია $\{X\}$ შემთხვევითი სტაციუნარული პროცესის რეალიზაცია $x(t)$ რომელსაც გააჩნია სასრულო ენერგია, განვხილოთ ინტეგრალი

$$R_{xx}(\tau) = \int_{-\infty}^{\infty} x(t)x(t+\tau)dt \quad (1.6)$$

რომელიც აკავშირებს $x(t)$ რეალიზაციის მნიშვნელობებს t და $t+\tau$ დოის მომენტებში. τ -ს უწოდებენ ძვრას. (1.6) ფუნქციას ავტოკორელაციური ფუნქცია ეწოდება. ავტოკორელაციურ ფუნქციას გააჩნია შემდეგი თვისებები:

1. ავტოკორელაციური ფუნქცია $R_{xx}(\tau)$, როცა $\tau = 0$ ტოლია სიგნალის ენერგიისა, ე.ო.

$$R_{xx}(0) = \int_{-\infty}^{\infty} x^2(t)dt = E_x .$$

2. $R_{xx}(\tau)$ ფუნქცია თავისი τ არგუმენტის მიმართ ყოველთვის ლუწი ფუნქციაა, ე.ო. $R_{xx}(\tau) = R_{xx}(-\tau)$;

3. $\tau = 0$ დროს აგტოკორელაციური ფუნქცია აღწევს თავის მაქსიმალურ მნიშვნელობას ე.ო. $R_{xx}(\tau) \leq R_{xx}(0)$;

4. τ - ს აბსოლიტური სიდიდის ზრდისას ხდება სიგნალის ენერგიის ჩაქრობა, ე.ო. $\lim_{|\tau| \rightarrow \infty} R_{xx}(\tau) = 0$.

5. თუ $x(t)$ რეალიზაცია არ შეიცავს გარკვეულ თავისებურებებს, მაგალითად დელტა-ფუნქციის სახით, მაშინ $R_{xx}(\tau)$ ფუნქციას წყვეტა არ გააჩნია ე.ო. იგი უწყვეტი ფუნქციაა.

მაგალითისთვის განვიხილოთ მართკუთხა იმპულსის ავტოკორელაციური ფუნქციის განსაზღვრა:

$$- \text{ როცა } 0 \leq \tau \leq T, \text{ მაშინ } R_{xx}(\tau) = \int_{-\tau}^T A^2 dt = A^2(T - \tau);$$

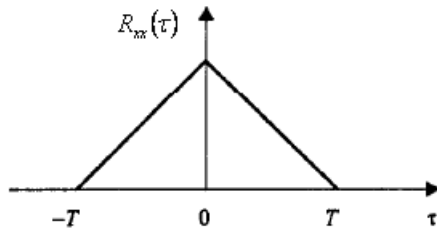
$$- \text{ როცა } -T \leq \tau < 0, \text{ მაშინ } R_{xx}(\tau) = \int_{-\tau}^T A^2 dt = A^2(T + \tau);$$

$$- \text{ როცა } |\tau| > T, \text{ მაშინ } R_{xx}(\tau) = 0.$$

თუ ამ შედეგებს გავაერთიანებოთ მაშინ გვექნება:

$$R_{xx}(\tau) = \begin{cases} A^2(T - |\tau|), & |\tau| \leq T \\ 0, & |\tau| > T \end{cases}$$

მართკუთხა იმპულსის ავტოკორელაციური ფუნქცია წარმოდგენილია შემდეგ ნახაზზე:



პერიოდული სიგნალების დროს და ზოგადად T პერიოდის უსასრულო ენერგიის მქონდე ნებისმიერი სიგნალისთვის ავტოკორელაციური ფუნქცია განისაზღვრება შემდეგი გამოსახულებით:

$$R_{xx}(\tau) = \frac{1}{T} \int_{-\frac{T}{2}}^{\frac{T}{2}} x(t)x(t+\tau)dt,$$

რომელსაც გააჩნია შემდეგი თვისებები:

1. როცა $\tau = 0$, მაშინ $R_{xx}(\tau)$ ტოლია არა ენერგიისა, არამედ სიგნალის საშუალო სიმძლავრისა ე. ი.

$$R_{xx}(\tau) = \frac{1}{T} \int_{-\frac{T}{2}}^{\frac{T}{2}} x^2(t)dt = \bar{p}$$

2. ფუნქციის ლურჯობა შენარჩუნებულია, ე. ი. $R_{xx}(\tau) = R_{xx}(-\tau)$;
3. $R_{xx}(\tau)$ მნიშვნელობა როცა $\tau = 0$ კვლავ წარმოადგენს მაქსიმალურ მნიშვნელობას. ე. ი. $R_{xx}(\tau) \leq R_{xx}(0)$;
4. პერიოდული სიგნალის ავტოკორელაციური ფუნქცია წარმოადგენს იგივე სიხშირის პერიოდულ სიგნალს ანუ $R_{xx}(\tau) = R_{xx}(\tau+T)$;
5. თუ სიგნალი არ შეიცავს დელტა-ფუნქციას მაშინ მისი ავტოკორელაციური ფუნქცია უწყვეტ ფუნქციას წარმოადგენს.

მაგალითისთვის განვიხილოთ $x(t) = A \cos(\omega_0 t + \varphi_0)$ პერიოდული სიგნალის ავტოკორელაციური ფუნქცია. კორელაციური ინტეგრალი განისაზღვრება იმის გათვალისწინებით, რომ ასეთი სიგნალის პერიოდი ტოლია $\frac{2\pi}{\omega_0}$ სიდიდისა.

$$R_{xx}(\tau) = \frac{\omega_0}{2\pi} \int_{-\frac{\pi}{\omega_0}}^{\frac{\pi}{\omega_0}} A \cos(\omega_0 t + \varphi_0) A \cos(\omega_0(t-\tau) + \varphi_0) dt = \frac{A^2}{2} \cos(\omega_0 \tau).$$

როგორც ვხედავთ პარმონიული სიგნალის ავტოკორელაციური ფუნქცია პარმონიულ ფუნქციას წარმოადგენს. მეტად მნიშვნელოვან ფაქტს წარმოადგენს ის, რომ მიღებული შედეგი არ არის დამოკიდებული პარმონიული სიგნალის საწყის ფაზაზე. (φ პარამეტრი შემდეგში აღარ არის წარმოდგენილი).

ურთიერთკორელაციური ფუნქცია. თუ მოცემულია ორი $\{X(t)\}$ და $\{Y(t)\}$ სტაციონალური შემთხვევითი პროცესის $x(t)$ და $y(t)$ რეალიზაციები, მაშინ კორელაციური ფუნქცია განისაზღვრება შემდეგი ფორმულით:

$$R_{xy}(\tau) = \int_{-\infty}^{\infty} x(t)y(t+\tau)dt$$

რომელსაც ურთიერთკორელაციური ან კროსკორელაციური ფუნქცია ეწოდება და რომელიც აკაგშირებს $x(t)$ რეალიზაციის t დროის მნიშვნელობას $y(t)$ რეალიზაციის $t + \tau$ დროის მნიშვნელობასთან.

ცხადია, რომ როცა ორივე სიგნალი ერთნაირია, მაშინ ავტოკორელაციური ფუნქცია წარმოადგენს კროსკორელაციური ფუნქციის კერძო შემთხვევას. ე.ი. $x(t) = y(t)$. მაგალითისთვის განვიხილოთ მართკუთხა და სამკუთხა იმპულსების ურთიერთკორელაციური ფუნქცია. ე.ი. მოცემულია

$$x(t) = \begin{cases} A, & 0 \leq t \leq T \\ 0, & t < 0, t > T \end{cases}$$

$$y(t) = \begin{cases} A \frac{t}{T}, & 0 \leq t \leq T \\ 0, & t < 0, t > T \end{cases}$$

– როცა $0 \leq \tau \leq T$, მაშინ მივიღიებთ: $R_{xy}(\tau) = \int_0^T A^2 \frac{t - \tau}{T} dt = \frac{A^2}{2T} (T - \tau)^2$;

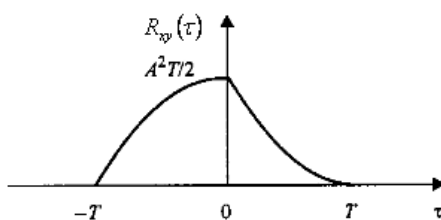
– როცა $-T \leq \tau \leq 0$, მაშინ $R_{xy}(\tau) = \int_0^{T+\tau} A^2 \frac{t - T}{T} dt = \frac{A^2}{2T} (T - \tau^2)$;

– როცა $|\tau| > T$, მაშინ $R_{xy}(\tau) = 0$.

თუ ამ შედეგებს გავაერთიანებთ მაშინ გვექნება:

$$R_{xy}(\tau) = \begin{cases} \frac{A^2}{2T} (T - \tau)^2, & 0 \leq \tau \leq T \\ \frac{A^2}{2T} (T^2 - \tau^2), & -T \leq \tau < 0 \\ 0, & |\tau| > T \end{cases}$$

მითითებული ურთიერთკორელაციური ფუნქცია წარმოდგენილია შემდეგ ნახაზზე:



ურთიერთკორელაციურ ფუნქციას გააჩნია შემდეგი თვისებები:

1. $|R_{xy}(\tau)| \leq \sqrt{E_x E_y}$, სადაც E_x და E_y შესაბამისად $x(t)$ და $y(t)$ რეალიზაციების ენერგიებია;

2. გააჩნია ანტიმეტრიის თვისება ანუ თუ $x(t)$ და $y(t)$ რეალიზაციებს ადგილებს შევუცვლით მაშინ $R_{xy}(-\tau) = R_{yx}(\tau)$;

3. $R_{xy}(\tau)$ ფუნქციებისათვის არ არის აუცლებელი რომ იგი აღწევდეს მაქსიმუმს $\tau = 0$ წერტილში;

4. $|\tau|$ გაზრდისას სასრული ენერგიის სიგნალების ურთიერთკორელაციური ფუნქციის მნიშვნელობა ნულისაკენ მიისწრაფვის ე.ი. $\lim_{|\tau| \rightarrow \infty} R_{xy}(\tau) \rightarrow 0$;

5. თუ $x(t)$ და $y(t)$ რეალიზაციები არ შეიცავენ დელტა-ფუნქციას, მაშინ მათ ურთიერთკორელაციურ ფუნქციას არ გააჩნია წყვეტა ე.ი. იგი უწყვეტი ფუნქციაა.

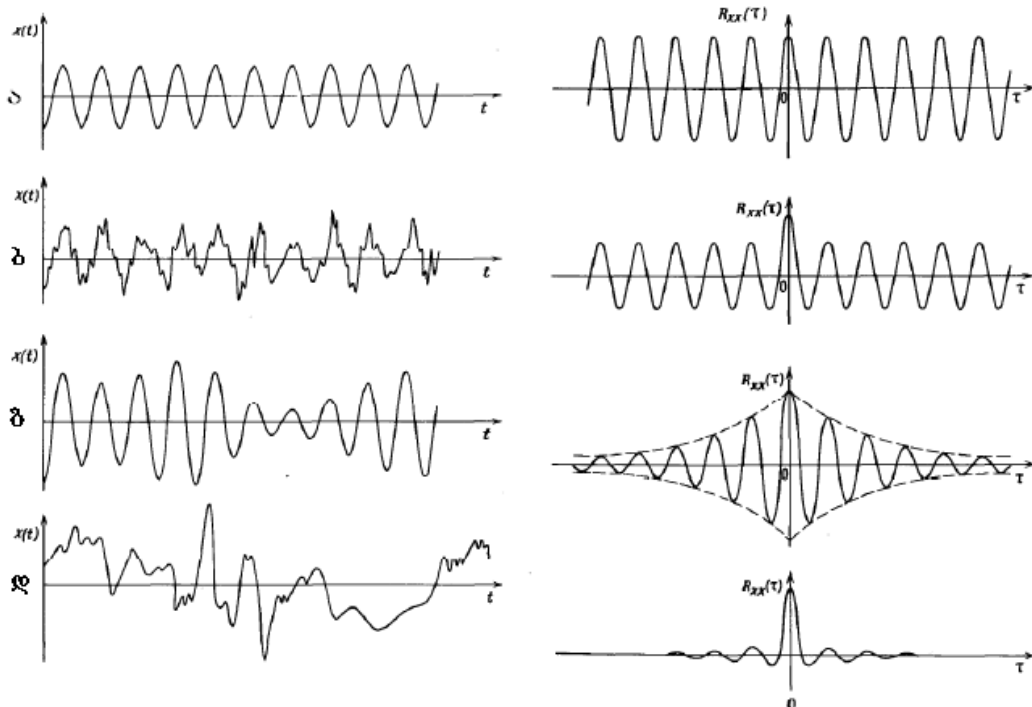
პერიოდული სიგნალებისავის ურთიერთკორელაციური ფუნქციის ცნება ზოგადად არ გამოიყენება გარდა იმ შემთხვევისა როცა $x(t)$ და $y(t)$ ფუნქციებს გააჩნიათ ერთნაირი პერიოდი.

კორელაციის ინტერვალი. როგორც აღვნიშნეთ, შემთხვევითი პროცესის კორელაციის ფუნქცია τ ძვრის გაზრდასთან ერთად მიისწრაფვის ნულისაკენ. რაც უფრო სწრაფად შემცირდება $R(\tau)$ ფუნქცია, მით უფრო ნაკლებია სტატისტიკური კავშირი შემთხვევითი სიგნალის დროში დაძრულ ორ მყისიერ მნიშვნელობას შორის.

შემთხვევითი პროცესის რეალიზაციის ცვლილების სიჩქარის მახასიათეველს წარმოადგენს კორელაციური ინტერვალი τ_k რომელიც განისაზღვრება შემდეგნაირად:

$$\tau_k = \frac{1}{R_{xx}(0)} \int_0^\infty |R_{xx}(\tau)| d\tau$$

კორელაციური ფუნქციის ინტერპეტაცია. განვიხილოთ ოთხი ტიპიური შემთხვევითი პროცესის რეალიზაციები (ნახ. 1.17): პარმონიული პროცესი (ა), პარმონიულ პროცესს დამატებული ფართოზოლიანი შემთხვევითი ხმაური (ბ), ვიწროზოლიანი შემთხვევითი პროცესი (გ), ფართოზოლიანი შემთხვევითი პროცესი (დ) და მათი შესაბამისი ავტოკორელაციური ფუნქციები



ნახ. 1.17

ჰარმონიული პროცესის ავტოკორელაციური ფუნქცია არის კოსინუსოидა, რომლის ამპლიტუდა ტოლია ჰარმონიული პროცესის საშუალო სიდიდის კვადრატისა. ამ პროცესისათვის დამახასიათებელია ის, რომ ადვილია დროის ნებისმიერი მომენტისათვის პროცესის სიდიდის ზუსტი წინასწარმეტყველება.

ფართოზოლიანი შემთხვევითი ხმაურის ფონზე ჰარმონიული პროცესის ავტოკორელაციური ფუნქცია ტოლია ჰარმონიული რხევის კორელაციური ფუნქციისა და ფართოზოლიანი შემთხვევითი ხმაურის კორელაციური ფუნქციების ჯამისა და ორგორც ნახაზიდან ჩანს ავტოკორელაციური ფუნქცია სწრაფად უახლოვდება მის კოსინუსოიდალურ ნაწილს. ეს გვაძლევს იმის საშუალებას, რომ დროის საკმაოდ დიდ დიაპაზონში მოვახდინოთ პროცესის მომავალი სიდიდეების საკმაოდ ზუსტი პროგნოზირება.

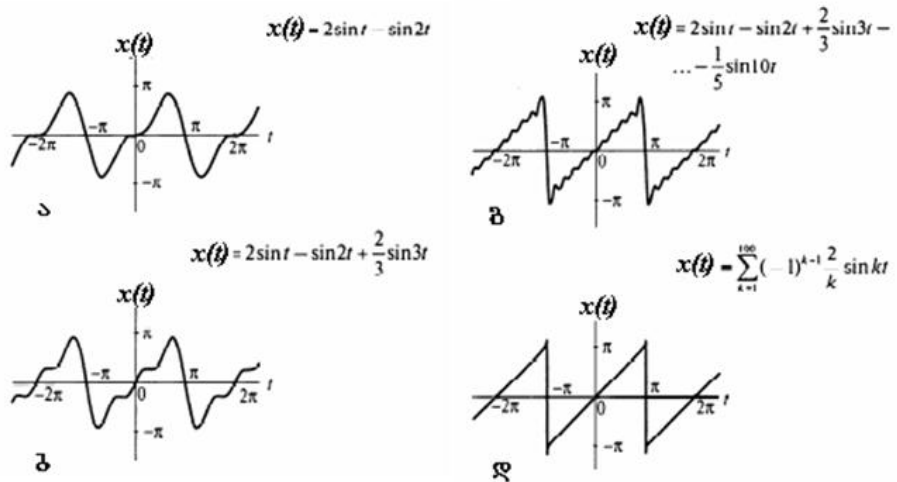
ვიწროზოლიანი პროცესის დროს ავტოკორელაციური ფუნქცია ნელა მიღევადია. ასეთი პროცესის მომავალი სიდიდის პროგნოზირების სიზუსტე უფრო მცირეა, ვიდრე ჰარმონიული პოცესისა და რაც უფრო იზრდება *t* პროგნოზირების ცდომილებაც იზრდება.

ფართოზოლიანი პროცესის შემთხვევაში ავტოკორელაციური ფუნქცია სწრაფად მიღევადია. ამ შემთხვევაში პროცესის მომავალი სიდიდის პროგნოზირება თითქმის შეუძლებელია. მართლაც, თუ საწყის რეალიზაციას (დ) დავაკვირდებით შევნიშნავთ, რომ პროცესს გააჩნია ქაოტიურად განვითარების ტენდეცია, რაც შეუძლებელს ხდის დროით დაცილებულ სიდიდეების პროგნოზირებას.

2. ფურიეს ანალიზი

2.1 ფურიეს მწერივები

ფრანგმა მათემატიკოსმა ფურიემ (1768-1830) წამოაყენა ჰიპოთეზა რომლის თანახმად ბუნებაში არ არსებობს ფუნქცია, რომ არ შეიძლებოდეს მისი გაშლა ტრიგონომეტრიული მწერივების სახით. მართლაც, ნებისმიერი პერიოდული სიგნალი შეიძლება დაიშალოს სხვადასხვა სიხშირეების სინუსოიდებად ან პირიქით, სხვადასხვა სიხშირეების სინუსოიდების აჯამვით შესაძლებელია სასურველი ფორმის სიგნალის მიღება. განვიხილოთ მაგალითი. ქვემოთ მოყვანილ 2.1ა ნახაზზე წარმოდგენილია $x(t)=2\sin t - \sin 2t$ ფუნქციის გრაფიკული გამოსახულება, რომელიც წარმოადგენს ორი ტრიგონომეტრიული ფუნქციის ჯამს.



ნახ. 2.1

$x(t)$ ფუნქციას დაუმატოთ ერთი წევრი და მივიღებთ ახალ სამწევრიან მწკრივს

$$x(t) = 2 \sin t - \sin 2t + \frac{2}{3} \sin 3t$$

რომლის გრაფიკული გამოსახულება წარმოდგენილია ნახ. 2.1ბ-ზე. კიდევ დაუმატოთ რამოდენიმე წევრი მივიღებთ ახალ ტრიგონომეტრიულ მწკრივს, რომლიც 10 წევრისაგან შედგება (ნახ. 2.1გ)

$$\begin{aligned} x(t) = & 2 \sin t - \sin 2t + \frac{2}{3} \sin 3t - \frac{1}{2} \sin 4t + \frac{2}{5} \sin 5t - \frac{1}{3} \sin 6t + \frac{2}{7} \sin 7t - \\ & - \frac{1}{4} \sin 8t + \frac{2}{9} \sin 9t + \frac{1}{5} \sin 10t \end{aligned}$$

მიღებული ტრიგონომეტრიული მწკრივის კოეფიციენტები აღვნიშოთ b_k -თი, სადაც k მთელი რიცხვია. თუ ყურადღებით დავაკვირდებით შევნიშნავთ, რომ ეს კოეფიციენტები შეიძლება აღიწეროს შემდეგი დამოკიდებულებით:

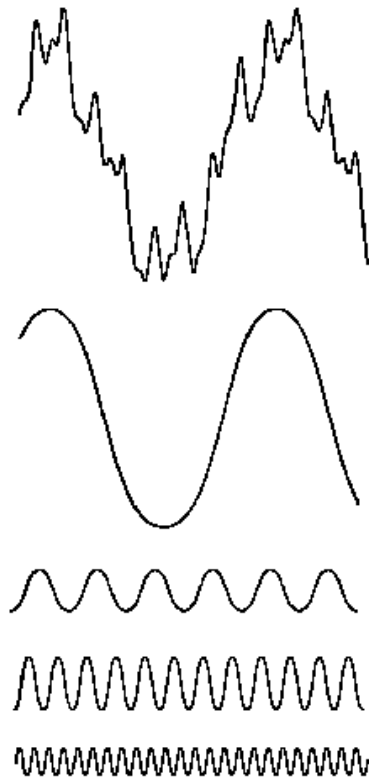
$$b_k = (-1)^{k-1} \frac{2}{k},$$

მაშინ $x(t)$ ფუნქცია შეიძლება ასე წარმოვადგინოთ:

$$x(t) = \sum_{k=1}^M b_k \sin kt$$

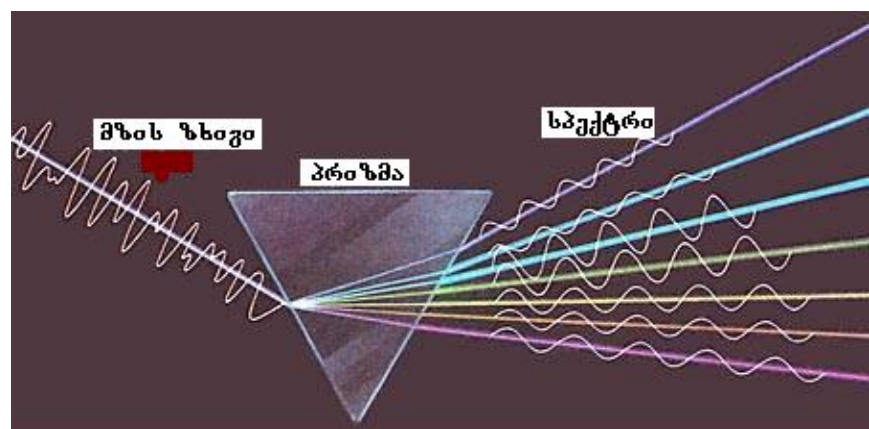
b_k კოეფიციენტები წარმოადგენები კ კუთხური სიხშირის სინუსოიდების ამპლიტუდებს. ნახ. 2.1გ-ზე წარმოდგენილია შემთხვევა, როცა $k = 10$, ე.ი. $M = 10$. თუ M - ს გავზრდით 100-მდე, მივიღებთ $x(t)$ ფუნქციის გრაფიკს (ნახ. 2.1დ), რომელიც ფორმით უახლოვდება ხერხისებურ ფუნქციას. ამ მაგალითის საფუძველზე შეიძლება გავაკეთოდ დასკვნა ფურიეს პიპოთეზის სამართლიანობაზე.

ნახ. 2.2 ნაჩვენებია სიგნალის დაშლა სხვადასხვა სიხშირის სინუსოიდებად.



ნახ. 2.2

სამყაროში ბევრია მოვლენები, რომლებიც შეიძლება წარმოვადგინოთ სხვადასხვა სიხშირეების რხევების სახით. მაგალითისათვის განვიხილოთ თეთრი ფერის სიგნალი. ფიზიკიდან ცნობილია, რომ თუ თეთრი ფერის სხივს გავატარებთ პრიზმაში, მაშინ მივიღებთ შვიდი ფერის სპექტრს (ნახ. 2.3).



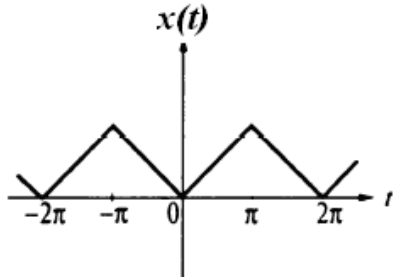
ნახ. 2.3

ეს იმიტომ ხდება, რომ პრიზმის მინის გარდატეხის კოეფიციენტი იცვლება ელექტრომაგნიტური ტალღის სიგრძის ცვლილებასთან ერთად. სწორედ ეს შედეგი ერთხელ კიდევ გვიჩვენებს ფურიეს ჰიპოთეზის სამართლიანობას ანუ თეთრი ფერი არის სინათლის სხვადასხვა სიგრძის ტალღების ჯამი.

ამრიგად, სიგნალის დაშლა სხვადასხვა სიხშირეების მდგრელებად საშუალებას გვაძლევს დავადგინოთ მოცემული სიგნალის წარმოშობა, ანუ სხვა

სიტყვებით, ჩვენ შეგვიძლია სიგნალის წარმოშობაზე ინფორმაციის მიღება. ასეთი ანალიზის მეთოდს სპექტრული ანალიზი ან ფურიეს ანალიზი ეწოდება.

ზემოთ მოყვანილ მაგალითში ხერხისებრივი ფუნქციის $x(t) = t$, $-\pi \leq t \leq \pi$ ფურიეს მწკრივებად გაშლისას გამოყენებული იყო მხოლოდ სინუსები. მაგრამ, თუ ავიდებთ $x(t) = |t|$ ფუნქციას (ნახ. 2.4)

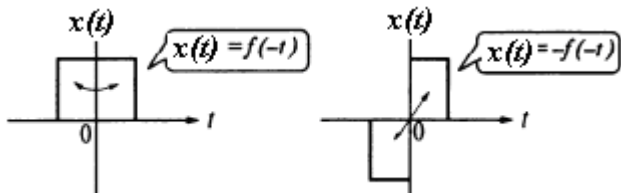


ნახ. 2.4

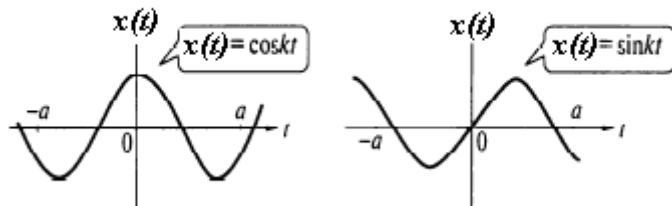
და გავშლით ფურიეს მწკრივად აღმოჩნდება, რომ ამ შემთხვევაში სინუსები გაქრებიან და რჩება მხოლოდ კოსინუსები, ე.ი მივიღებთ:

$$x(t) = \frac{\pi}{2} - \frac{\pi}{4} \left(\cos t + \frac{1}{9} \cos 3t + \frac{1}{25} \cos 5t + \dots \right)$$

მივაქციოთ ყურადღება $x(t) = |t|$ ფუნქციას, რომელსაც გააჩნია შემდეგი თვისება: $x(t) = x(-t)$ ანუ ის სიმეტრულია ორდინატის ღერძის მიმართ. ასეთ ფუნქციებს ლურჯი ფუნქციები ეწოდებათ. ხერხისებრივ ფუნქციას გააჩნია შემდეგი თვისება: $x(t) = -x(-t)$ ანუ ის სიმეტრიულია ათვლის წერტილის მიმართ. ასეთ ფუნქციებს კენტ ფუნქციებს უწოდებენ. ქვემოთ მოყვანილ ნახაზზე ნაჩვენებია კენტი და ლურჯი ფუნქციებს შორის განსხვავება.



ცხადია, რომ $\cos kt$, $k = 0, 1, 2, \dots$ ლურჯი ფუნქციაა, ხოლო $\sin kt$ - კენტი (ნახ. 2.5)



ნახ. 2.5

ადგილად მტკიცდება, რომ ინტეგრალი კენტი $x(t)$ და ლურჯი $y(t)$ ფუნქციების ნამრავლიდან ნულის ტოლია, ე.ი.

$$\int_{-\infty}^{\infty} x(t)y(t)dt = 0.$$

დასკვნის სახით შეგვიძლია ჩამოვაყალიბოთ: **ლურის ფუნქციის ფურიეს მწკრივი შედგება მხოლოდ კოსინუსებისგან, ხოლო კენტი – სინუსებისგან.**

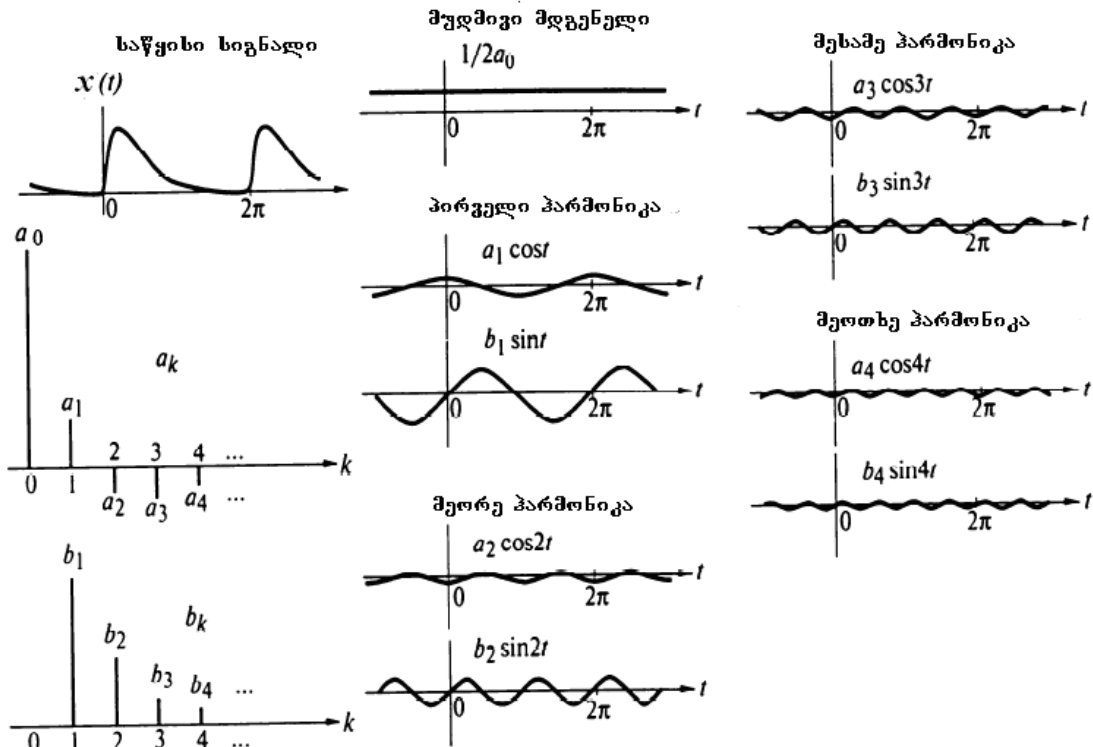
ზოგადად პერიოდული $x(t)$ ფუნქცია შეიძლება წარმოვადგინოთ შემდეგნაირად:

$$\begin{aligned} x(t) &= \frac{a_0}{2} + a_1 \cos t + a_2 \cos 2t + a_3 \cos 3t + \dots + b_1 \sin t + b_2 \sin 2t + b_3 \sin 3t + \dots \\ &= \frac{a_0}{2} + \sum_{k=1}^{\infty} (a_k \cos kt + b_k \sin kt), \end{aligned} \quad (2.1)$$

სადაც a_0, a_k, b_k ფურიეს კოეფიციენტები ეწოდებათ. სიგნალის ასეთ წარმოდგენას ფურიეს მწკრივად გაშლა ეწოდება. ზოგჯერ ასეთ წარმოდგენას ფურიეს მწკრივად ნამდვილ გაშლას უწოდებენ, ხოლო კოეფიციენტებს - ფურიეს ნამდვილ კოეფიციენტებს. ტერმინი „ნამდვილი“ შემოაქვთ იმიტომ, რომ განვასხვაოთ ფურიეს მწკრივის კომპლექსური გაშლისგან.

(2.1) თანაფარდობის ყველაზე დიდი პერიოდის რხევას ეწოდება **ძირითადი (ფუნდამენტური)** სიხშირის რხევა ანუ პირველი ჰარმონიკა. რხევას, რომლის პერიოდი ძირითადი პერიოდის ნახევარია, ეწოდება მეორე ჰარმონიკა. რხევას, რომლის პერიოდი ძირითადი პერიოდის მესამედია, ეწოდება მესამე ჰარმონიკა და ა.შ.

როგორც (2.1) ფორმულიდან ჩანს, a_0 წარმოადგენს მუდმივ სიდიდეს, რომელიც $x(t)$ ფუნქციის საშუალო მნიშვნელობის ტოლია. ქვემოდ მოყვანილ ნახაზზე წარმოდგენილია სიგნალი და მისი ფურიეს მწკრივად გაშლა ნამდვილ მდგენელად და სხვადასხვა სიხშირეების ჰარმონიკებად.



პირველი ჰარმონიკა წარმოადგენს პერიოდულ სიგნალს 2π პერიოდით. სხვა სიხშირეებსაც გააჩნიათ 2π პერიოდის ჯერადი პერიოდები.

ა. ყუბანეიშვილი ბიოსიგნალების ციფრული დამუშავება

2.2 ფურიეს მწკრივების ზოგადი წარმოდგენა

აქამდე $x(t)$ ფუნქცია მოცემული იყო t დროის $[-\pi; \pi]$ ინტერვალში ზოგადად T პერიოდის მქონე სიგნალის ფურიეს მწკრივად გაშლისათვის უნდა გამოვიყენოთ $[-T/2; T/2]$ დროის ინტერვალი. თუ $[-\pi; \pi]$ ინტერვალს გავზრდით (ან შევამცირებოთ) $[-T/2; T/2]$ ინტერვალამდე, მაშინ პირველი პარმონიკის პერიოდი T იზრდება (ან მცირდება) 2π -დან T -დან. რადგან ამ გარდაქმნის ჯერადობა $T/2\pi$ ტოლია, ამიტომ პირველი პარმონიკა მიიღებს შემდეგ სახეს:

$$\cos\left(\frac{2\pi}{T}t\right), \sin\left(\frac{2\pi}{T}t\right), k\text{-ური პარმონიკისათვის გვექნება: } \cos\left(\frac{2\pi}{T}kt\right), \sin\left(\frac{2\pi}{T}kt\right).$$

მაშინ $x(t)$ ფუნქციის ფურიეს მწკრივად გაშლა შეიძლება ასე წარმოვადგინოთ:

$$x(t) = \frac{a_0}{2} + \sum_{k=1}^{\infty} \left[a_k \cos\left(\frac{2\pi}{T}kt\right) + b_k \sin\left(\frac{2\pi}{T}kt\right) \right] \quad (2.2)$$

თუ პირველი პარმონიკის კუთხურ სიხშირეს აღვნიშნავთ $\omega_0 = \frac{2\pi}{T}$, მაშინ (2.2)

გამოსახულება მიიღებს შემდეგ სახეს:

$$x(t) = \frac{a_0}{2} + \sum_{k=1}^{\infty} [a_k \cos(\omega_0 kt) + b_k \sin(\omega_0 kt)] \quad (2.3)$$

ფორმულაში შემავალ $k\omega_0$ სიდიდეებს უწოდებენ პარმონიკებს, რომლებიც k ინდექსით ინომრებიან და მათ k -ური პარმონიკა ეწოდებათ.

ფურიეს მწკრივში a_k და b_k კოეფიციენტები განისაზღვრებიან შემდეგნაირად:

$$\begin{aligned} a_k &= \frac{2}{T} \int_{-T/2}^{T/2} x(t) \cos(k\omega_0 t) dt \quad k = 0, 1, 2, \dots \\ b_k &= \frac{2}{T} \int_{-T/2}^{T/2} x(t) \sin(k\omega_0 t) dt \quad k = 0, 1, 2, \dots \\ a_0 &= \frac{2}{T} \int_{-T/2}^{T/2} x(t) dt. \end{aligned}$$

a_0 წარმოადგენს სიგნალის მუდმივ მდგენელს, რომელიც დროზე არ არის დამოკიდებული და იგი ტოლია T პერიოდში სიგნალის საშუალო მნიშვნელობისა. ინტეგრირების საზღვრები არ არის აუცილებელი იყოს $[-T/2; T/2]$. იგი შეიძლება იყოს ნებისმიერი T სიგრძის ინტერვალიდან, მაგალითად 0-დან T -დან 0-მდე. თუ $x(t)$ ლუწი ფუნქციაა, მაშინ უვალა $b_k = 0$ და ფურიეს მწკრივის ფორმულაში მხოლოდ კოსინუსის მდგენელები რჩებიან. თუ $x(t)$ კენტი ფუნქციაა, მაშინ ფორმულაში მხოლოდ სინუსები რჩებიან.

2.3 ფურიეს მწკრივის წარმოდგენის ნამდვილი ფორმა

ფურიეს მწკრივის წარმოდგენა სინუსების და კოსინუსების ჯამის სახით ქმნის გარკვეულ უხერხულობას, რადგან ყოველი აჯამვის k ინდექსს შესაბამება ორი მდგრენელი სინუსი და კოსინუსი. რადგან თითოეულ პარმონიკას გააჩნია ამპლიტუდა A_k და საწყისი ფაზა, ამიტომ ფურიეს კოეფიციენტები შეგვიძლია ჩავწეროთ შემდეგნაირად:

$$a_k = A_k \cos \varphi_k, \quad b_k = A_k \sin \varphi_k$$

რადგან $A_k = \sqrt{a_k^2 + b_k^2}$, $\operatorname{tg} \varphi_k = \frac{b_k}{a_k}$ და თუ მათ ჩავსვამთ (2.3) ფორმულაში, მაშინ მივიღებთ ფრო მოსახერხებელ ფორმულას:

$$x(t) = \frac{a_0}{2} + \sum_{k=1}^{\infty} A_k \cos(k\omega_0 t + \varphi_k) \quad (2.4)$$

თუ $x(t)$ ლურჯი ფურიეს, მაშინ φ_k ფაზა მიიღებს ნულოვან და π მნიშვნელობებს, ხოლო თუ $x(t)$ კენტი ფურიეს, მაშინ φ_k ფაზის შესაძლო მნიშვნელობები $\pm \frac{\pi}{2}$ ტოლია.

2.4 ფურიეს მწკრივის წარმოდგენის კომპლექსური ფორმა

თუ ფურიეს მწკრივის წარმოდგენის ნამდვილი ფორმის ფორმულაში (2.4) $\cos(k\omega_0 t + \varphi_k)$ სიდიდეს ეილერის ფორმულით (1.10) წარმოვადგენთ, მაშინ მივიღებთ ფურიეს მწკრივის წარმოდგენის კომპლექსურ ფორმას:

$$x(t) = \frac{a_0}{2} + \sum_{k=1}^{\infty} A_k \cos(k\omega_0 t + \varphi_k) = \frac{a_0}{2} + \sum_{k=1}^{\infty} \frac{A_k}{2} [\exp\{jk\omega_0 t + j\varphi_k\} + \exp\{-jk\omega_0 t - j\varphi_k\}]$$

მუდმივი მდგრენელი $a_0/2$ შეიძლება განვიხილოთ როგორც მწკრივის წევრი ნულოვანი ნომრით. მაშინ ეილერის ფორმულის თანახმად მივიღებთ ფურიეს მწკრივის ჩაწერის კომპლექსურ ფორმას:

$$x(t) = \sum_{k=-\infty}^{\infty} C_k e^{-j k \omega_0 t}$$

მწკრივის კომპლექსური კოეფიციენტები დაკავშირებულია A_k ამპლიტუდებთან და φ_k ფაზებთან შემდეგი მარტივი თანაფარდობებით:

$$C_k = \frac{1}{2} A_k e^{j\varphi_k}, \quad A_k = 2|C_k|, \quad \varphi_k = \arg(C_k)$$

მარტივად გამოისახება სინუს-კოსინუსიანი მწკრივის a_k და b_k კოეფიციენტებთან კავშირი

$$C_k = \frac{a_k}{2} - j \frac{b_k}{2}, \quad a_k = 2 \operatorname{Re}(C_k), \quad b_k = -2 \operatorname{Im}(C_k)$$

აქედან გამომდინარეობს კომპლექსური ფურიეს მწკრივის კოეფიციენტების განსაზღვრის ფორმულა.

$$C_k = \frac{1}{T} \int_{-\tau/2}^{\tau/2} x(t) e^{-j\omega_k t} dt \quad (2.5)$$

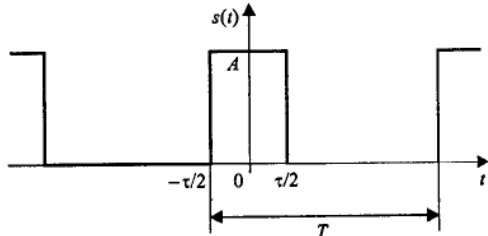
თუ $x(t)$ ლური ფუნქციაა, მაშინ კოეფიციენტები იქნებიან ნამდვილი რიცხვები, ხოლო თუ $x(t)$ კენტი ფუნქციაა, მაშინ კოეფიციენტები იქნებიან წარმოსახვითი.

ფურიეს მწკრივის ამპლიტუდური პარმონიკების ერთობლიობას ეწოდება ამპლიტუდური სპექტრი, ხოლო ფაზების ერთობლიობას - ფაზური სპექტრი.

2.5 ფურიეს მწკრივად გაშლის მაგალითები

1. მართვული იმპულსების თანმიმდევრობა

მართვული იმპულსების თანმიმდევრობა წარმოდგენილია შემდეგ ნახაზზე:



სადაც $A - \tau$ ხანგრძლიობის მართვული იმპულსის ამპლიტუდაა, T – გამეორების პერიოდია. რადგან მოცემული სიგნალი ლური ფუნქციაა, ამიტომ

$$a_k = \frac{2}{T} \int_{-\tau/2}^{\tau/2} A \cos\left(\frac{2\pi k}{T}t\right) dt = \frac{2A}{\pi k} \sin\left(\frac{\pi k \tau}{T}\right).$$

T პერიოდის ფარდობას იმპულსის ხანგრძლივობასთან ეწოდება იმპულსის სიმეჩხერე, როემლიც აღინიშნება q სიმბოლოთი, ე.ი. $q = \frac{T}{\tau}$ თუ ამ პარამეტრს შევიტანოთ ფურიეს მწკრის კოეფიციენტების განსაზღვრის ფორმულაში და შემდეგ ფორმულას დავიყვანოთ $\frac{\sin x}{x}$ სახემდე, გვექნება:

$$a_k = \frac{2A}{\pi k} \sin\left(\frac{\pi k}{q}\right) = \frac{2A}{q} \frac{\sin\left(\frac{\pi k}{q}\right)}{\frac{\pi k}{q}} \quad (2.6)$$

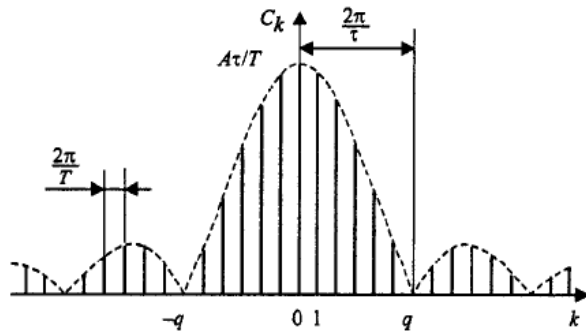
ხშირად სიმეჩხერის მაგივრად იყენებენ მის შებრუმებულ $\frac{\tau}{T}$ სიდიდეს, რომელსაც შევსების კოეფიციენტი ეწოდება.

მიღებულ გამოსახულებიდან ჩანს, რომ როცა $x \rightarrow 0$, $\frac{\sin x}{x} \rightarrow 1$. ეხლა შესაძლებელია მართვული იმპულსების თანმიმდევრობის ჩაწერა ფურიეს მწკრივის სახით.

ა. ყუბანეიშვილი ბიოსიგნალების ციფრული დამუშავება

$$x(t) = \frac{A}{q} + \sum_{k=1}^{\infty} \frac{2A}{\pi k} \sin\left(\frac{\pi k}{q}\right) \cos\left(\frac{2\pi k}{T}t\right)$$

ფურიეს მწკრივის ამპლიტუდების პარმონიკები $\frac{\sin x}{x}$ გამოსახულების კანონით დამოკიდებული არიან პარმონიკის რიგით ნომერზე. ფურიეს მწკრივის კოეფიციენტები $\frac{2\pi}{T}$ არმოდგენილია ნახ. 2.12 -ზე:



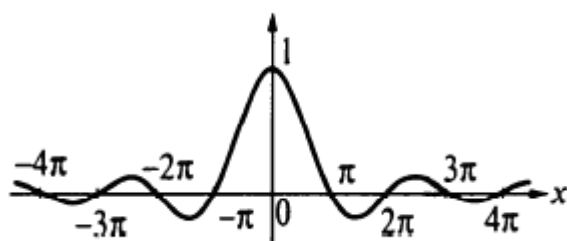
ნახ. 2.12

როგორც ნახაზიდან ჩანს, მართკუთხა იმპულსების თანმიმდევრობის სპექტრში სიმებხერის ჯერადობის პარმონიკები არ არიან, რადგან მათი ამპლიტუდები ნულის ტოლია. მანძილი ორ მეზობელ პარმონიკებს შორის $2\pi/T$ სიდიდის ტოლია. სპექტრის რხევის სიგანე, რომელიც იზომება სიხშირის ერთეულში ტოლია $2\pi/\tau$ ანუ იმპულსის ხანგრძლივობის შებრუნებული სიდიდისა. რაც უფრო მოკლეა სიგნალი, მით უფრო ფართოა მისი სპექტრი.

თუ ფურიეს კოეფიციენტების განსაზღვრის ფორმულაში შემოვიტანო $\pi k/q = x$ აღნიშვნას, მაში (2.6) ფორმულა მიიღებს შემდეგ სახეს:

$$a_k = \frac{2A}{q} \frac{\sin x}{x}$$

$\frac{\sin x}{x}$ ფუნქცია გრაფიკულად წამოდგენილია შემდეგ ნახაზზე:

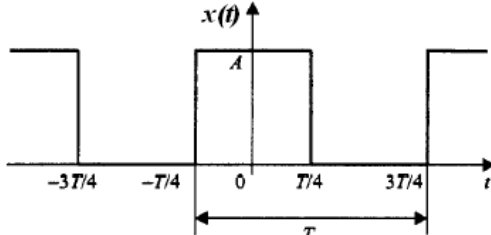


ნახ. 2.13

ეშირად ამ ფუნქციას უწოდებენ ამორჩევის (ერთეულოვანი ანათვლის) ფუნქციას.

2. მეანდრა.

მართკუთხის იმპულსების თანმიმდევრობის კერძო შემთხვევას წარმოადგენს მეტად მნიშვნელოვანი სიგნალი, რომელსაც მეანდრა ეწოდება. მეანდრა წარმოადგენს ისეთი მართკუთხის იმპულსების თანმიმდევრობას, რომელთაც გააჩნიათ ორის ტოლი სიმებხსრე და ამის გამო იმპულსის ხანგრძლიობა და იმპულსებს შორის ინტერვალი ერთმანეთის ტოლია (ნახ. 2.14).



ნახ. 2.14

თუ (2.6) ფორმულაში ჩავსვამო $q = 2$, მაშინ მივიღებთ:

$$a_k = A \frac{\sin(\pi k/2)}{\pi k/2} = \begin{cases} A, & k = 0, \\ 0, & k = 2m, m \neq 0, \\ \frac{2A}{\pi k}, & k = 4m+1 \\ -\frac{2A}{\pi k}, & k = 4m-1 \end{cases}$$

როგორც ვხედავთ, მეანდრას სპექტრში მხოლოდ პერიოდული ფურიეს მარმნიკები იმყოფებიან. აქედან გამომდინარე, მეანდრას წარმოდგენა ფურიეს მწკრივის სახით შემდეგია:

$$x(t) = \frac{A}{2} + \frac{2A}{\pi} \left[\cos\left(\frac{2\pi}{T}t\right) - \frac{1}{3} \cos\left(3\frac{2\pi}{T}t\right) + \frac{1}{5} \cos\left(5\frac{2\pi}{T}t\right) - \dots \right]$$

მეანდრას პარმონიულ მდგრელებს გააჩნიათ ცვალებადი ნიშნის ამპლიტუდები, რომლებიც პარმონიკის ნომრების პროპორციულია.

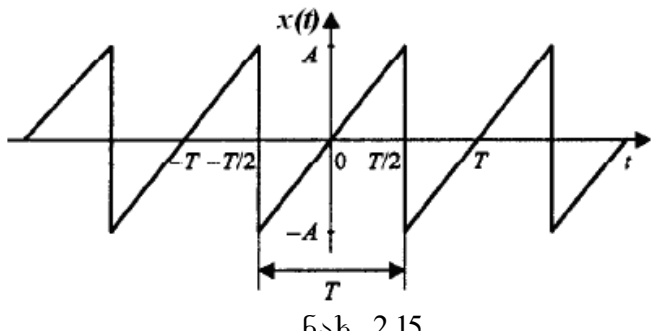
3. ხერხისებრივი სიგნალი.

ხერხისებრივი სიგნალი, რომელიც წარმოდგენილია ნახ. 2.15 აღიწერება შემდეგი წრფივი ფუნქციით:

$$x(t) = \frac{2A}{T} (t - kT), \quad (k - \frac{1}{2})T < t \leq (k + \frac{1}{2})T$$

ხერხისებრივი სიგნალი წარმოადგენს კენტ ფუნქციას, ამიტომ მისი ფურიეს მწკრივი შედგება მხოლოდ სინუსების მდგრელებისაგან

$$x(t) = \frac{2A}{\pi} \left(\sin\left(\frac{2\pi}{T}t\right) - \frac{1}{2} \sin\left(2\frac{2\pi}{T}t\right) + \frac{1}{3} \sin\left(3\frac{2\pi}{T}t\right) - \frac{1}{4} \sin\left(4\frac{2\pi}{T}t\right) + \dots \right)$$

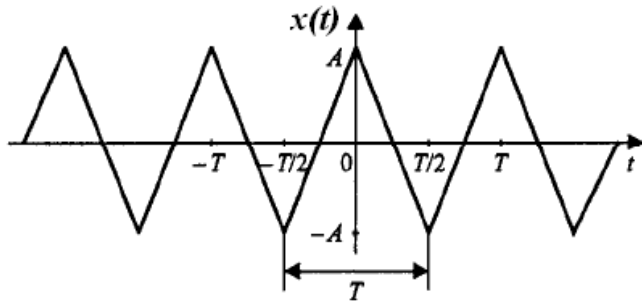


ნახ. 2.15

ზემოდ მოყვანილ მართკუთხა და ხერხისებრივი პერიოდული სიგნალებისათვის არის ერთი საერთო თვისება, კერძოდ პარმონიკების ამპლიტუდები მათი რიგითი k ნომრის გაზრდისას მცირდებიან k –ს პროპორციულად.

4. სამკუთხა იმპულსების თანმიმდევრობა

სამკუთხა იმპულსების თანმიმდევრობა, რომელიც წარმოდგენილია შემდეგ ნახაზზე:



წარმოადგენს პერიოდულ სიმეტრიულ ფუნქციას, რომელსაც აქვს შემდეგი სახე:

$$x(t) = A \left(1 - 4 \frac{|t - kT|}{T} \right), \quad \left(k - \frac{1}{2} \right) T \leq t < \left(k + \frac{1}{2} \right) T$$

რადგან $x(t)$ სიგნალი ლურჯია, ამიტომ ფურიეს მწკრივში იქნება მხოლოდ კოსინუსების მდგენელები

$$x(t) = \frac{8A}{\pi^2} \left[\cos\left(\frac{2\pi}{T}t\right) + \frac{1}{3^2} \cos\left(3\frac{2\pi}{T}t\right) + \frac{1}{5^2} \cos\left(5\frac{2\pi}{T}t\right) + \dots \right].$$

ფურიეს კოეფიციენტები განისაზღვრებიან შემდეგნაირად:

$$a_k = \frac{2}{T} \int_{-T/2}^{T/2} A \left(1 - 4 \frac{|t|}{T} \right) \cos\left(\frac{2\pi k}{T}t\right) dt = \frac{4A}{(\pi k)^2} \left(1 - (-1)^k \right) = \begin{cases} 0, & k = 2m \\ \frac{8A}{(\pi k)^2}, & k = 2m+1 \end{cases}$$

როგორც ვხედავთ, სამკუთხა პერიოდული სიგნალის ამპლიტუდის პარმონიკები მცირდებიან პარმონიკის ნომრის კვადრატის პროპორციულად. ეს მიგვანიშნებს იმაზე, რომ სპექტრის ჩაქრობის სიჩქარე დამოკიდებულია სიგნალის სიგლუვის ხარისხზე. მართკუთხა და ხერხისებრ სიგნალებს გააჩნიათ პირველი რიგის წყვეტა (ნახტომი), სადაც სპექტრში მონაწილეობს $\frac{1}{k}$ მამრავლი. სამკუთხა სიგნალი წარმოადგენს უწყვეტ ფუნქციას (თუმცა მის

ა. ყუბანეიშვილი ბიოსიგნალების ციფრული დამუშავება

პირველ წარმოებულს გააჩნია წყვეტები) და მისი ფურიეს მრავივის ამპლიტურ პარმონიკებს გააჩნიათ $\frac{1}{k^2}$ მდგენელი.

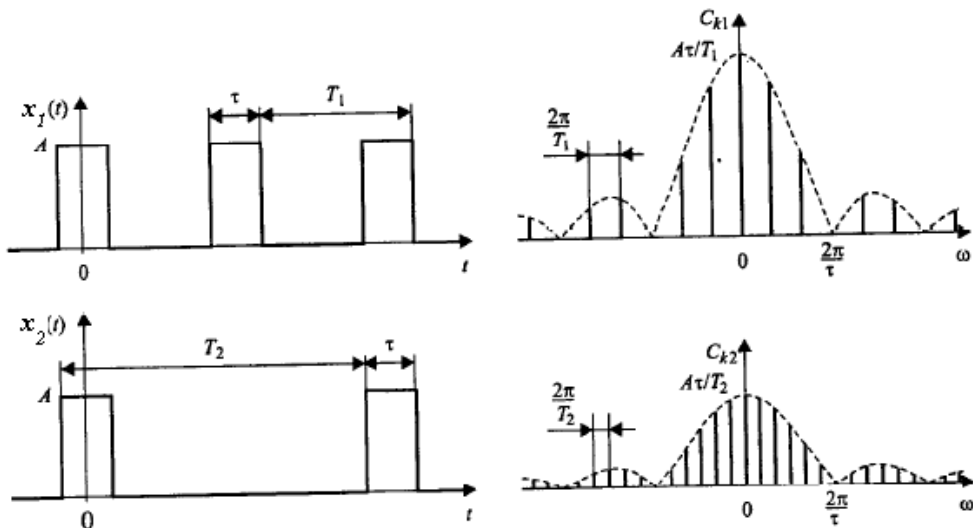
2.6 ფურიეს გარდაქმნა

ფურიეს გარდაქმნა წარმოადგენს არაპერიოდული სიგნალების სპექტრული ანალიზის ინსტრუმენტს, თუმცა მისი გამოყენება შესაძლებელია პერიოდული სიგნალებისთვისაც.

ფურიეს მრავილან ფურიეს გარდაქმნაზე გადასვლის თვალსაჩინოებისათვის განვიხილოთ თანმიმდევრული პერიოდული იმპულსების ფურიეს მრავილი. შემდეგ ერთეულოვანი იმპულსების ფორმის შეუცვლელად გავზარდოთ იმპულსის გამეორების T პერიოდი და კვლავ განვსაზღვროთ ფურიეს მრავილის კოეფიციენტები ჩვენთვის ცნობილი (2.5) ფორმულით:

$$C_k = \frac{1}{T} \int_{-\frac{T}{2}}^{\frac{T}{2}} x(t) e^{-jk\omega_0 t} dt.$$

როგორც ამ ფორმულიდან ჩანს, საჭიროა იგივე ინტეგრალის გამოთვლა ოდონდ სისშირეების უფრო მჭიდრო განლაგებისათვის $\omega_k = k\omega_0$. ამ შემთხვევაში ინტეგრირების ზღვრების შეცვლა არავითარ როლს არ თამაშობს. ქვემოთ მოყვანილ ნახაზზე ნაჩვენებია მართკუთხა იმპულსების თანმიმდევრობის სისშირის პერიოდის ორჯერ გაზრდის შემთხვევა:



ნახ. 2.15

ამრიგად, პერიოდის გაზრდასთან ერთად ფურიეს მრავილის პარმონიკები განლაგდებიან ერმანეთის მიმართ უფრო მჭიდროდ. ამ დროს (2.5) ინტეგრალის სახე არ იცვლება. თუ ჩვენ T -ს გავზრდით უსასრულოდ ე.ი. $T \rightarrow \infty$, მაშინ სპექტრის პარმონიკები უფრო მჭიდროდ განლაგდებიან მთელი სისშირული ღერძის მიმართ, ხოლო მათი ამპლიტუდების მნიშვნელობები მცირდებიან ნულამდე.

არაპერიოდული სიგნალების სპექტრული ანალიზის დროს ხდება ფურიეს კომპლექსური მწკრივის კოეფიციენტების განსაზღვრის ფორმულის მოდიფიცირება შემდეგნაირად:

- სიხშირე დისკრეტულად ცვლადი სიდიდე აღარ არის, ის ხდება გარდაქმნის უწვეტი პარამეტრი. (2.5) ფორმულაში $k\omega_0$ იცვლება ω -თი;

- ფორმულაში გამოირიცხება $1/T$ მამრავლი;

- გამოთვლების შდეგად C_k კოეფიციენტების ნაცვლად ვდებულობთ $X(\omega)$ სიხშირის ფუნქციას, რომელიც $x(t)$ სიგნალის სპექტრული ფუნქცია ან სპექტრული სიმკვრივის ფუნქცია ეწოდება.

ამრიგად (2.5) ფორმულის მოდიფიკაციას მივყევართ ფურიეს ინტეგრალამდე

$$X(\omega) = \frac{1}{2\pi} \int_{-\infty}^{\infty} x(t) e^{-j\omega t} dt \quad (2.7)$$

რომლსაც დროითი $x(t)$ ფუნქცია გადაფავს სიხშირულ $X(\omega)$ ფუნქციაში და მას ფურიეს პირდაპირი გარდაქმნა (ან სპექტრი) ეწოდება. ფურიეს პირდაპირი გარდაქმნა მოკლედ შეიძლება ასე ჩაიწეროს: $X(\omega) = F[x(t)]$.

ფურის გარდაქმნა შექცევადია ე.ი გააჩნია უკუ გარდაქმნა, რომლის შედეგად $X(\omega)$ სიხშირული ფუნქციიდან მიიღება $x(t)$ საწყისი ფუნქცია

$$x(t) = \frac{1}{2\pi} \int_{-\infty}^{\infty} X(\omega) e^{j\omega t} d\omega. \quad (2.8)$$

ეს გარდაქმნა მოკლედ ასე შეიძლება ჩაიწეროს: $x(t) = F^{-1}[X(\omega)]$. ოუ კუთხეური ω სიხშირის ნაცვლად გამოვიყენებთ $f = \frac{\omega}{2\pi}$ ციკლურ სიხშირეს, მაშინ მივიღებთ:

$$X(f) = \int_{-\infty}^{\infty} x(t) e^{-j2\pi f t} dt \quad \text{და} \quad x(t) = \int_{-\infty}^{\infty} X(f) e^{j2\pi f t} dt$$

უნდა აღვნიშნოთ, რომ ზოგადად $X(f)$ წარმოადგენს სიხშირის კომპლექსურ ფუნქციას, რომელიც შეგვიძლია წარმოვადგინოთ როგორც ნამდვილი და წარმოსახვითი მდგენელების ჯამი:

$$X(f) = X_R(f) - jX_I(f)$$

სადაც

$$X_R(f) = |X(f)| \cos \varphi(f) = \int_{-\infty}^{\infty} x(t) \cos(2\pi f t) dt$$

$$X_I(f) = |X(f)| \sin \varphi(f) = \int_{-\infty}^{\infty} x(t) \sin(2\pi f t) dt$$

$X(f)$ ფუნქცია შეგვიძლია წარმოვადგინოთ პოლარულ კორდინატებში

$$X(f) = |X(f)| e^{-j\varphi(f)},$$

სადაც $|X(f)|$ წარმოადგენს ამპლიტუდურ სპექტრს, ხოლო $\varphi(f)$ ფაზურ სპექტრს.

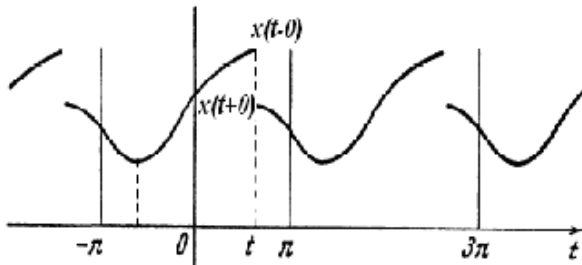
იმისათვის, რომ ფურიეს გარდაქმნა გამოვიყენოთ სიგნალი უნდა აკმაყოფილებდეს შემდეგ მოთხოვნებს:

- უნდა სრულდებოდეს დირიხლეს პირობა;

- სიგნალი უნდა იყოს აბსოლუტურად ინტეგრებადი. ეს იმას ნიშნავს რომ სიგნალის მოდულიდან ინტეგრალი უნდა იყოს სასრული მნიშვნელობის.

$$\int_{-\infty}^{\infty} |x(t)| dt < \infty \quad (2.9)$$

დირიბლეს პირობით სიგნალი არ უნდა შეიცავდეს მეორე რიგის წყვეტას (უსასრულობაში მიმავალი ფუნქციის შტოებით), ან წყვეტა უნდა იყოს სასრულო რაოდენიბის (ნახ. 2.16).



ნახ. 2.16

თუ $x(t)$ ლუწი ფუნქციაა, მაშინ, ისევე როგორც ფურიეს მწვრივის დროს, სკექტრი იქნება ნამდვილი ფუნქცია და შესაბამისად იგი იქნება ლუწი ფუნქცია. თუ $x(t)$ ფუნქცია კენტია, მაშინ $X(f)$ ფუნქცია იქნება კენტი და წარმოსახვითი.

2.7 ფურიეს ფინიტური გარდაქმნა

თუ $x(t)$ წარმოადგენს სტაციონარული შემთხვევითი პროცესის (სიგნალის) რეალიზაციას, რომელიც განსაზღვრულია $[-\infty; \infty]$ ინტერვალიდან t -ს ნებისმიერი მნიშვნელობისათვის, მაშინ სრულდება შემდეგი პირობა:

$$\int_{-\infty}^{\infty} |x(t)| dt = \infty$$

აქედან გამომდინარე, $x(t)$ ფუნქციის ფურიეს გარდაქმნა არ არსებობს, რადგან (2.9) უტოლობა არ სრულდება. აქედან უნდა შევნიშნოთ, რომ არავითარი დაკვირვებები (გაზომვები) არც ლაბორატორიულ და არც ბუნებრივ პირობებში შეუძლებელია ჩავატაროთ უსასრულოდ ანუ t -ს ნებისმიერი ნიშვნელობისათვის.

რეალურად $x(t)$ რეალიზაციაზე გაზომვები ხდება რაღაც სასრულო T დროის განმავლობაში. ასე რომ, $X(f)$ სკექტრული ფუნქციის შეფასება ხდება ფურიეს ფინიტური გარდაქმნით, რომელსაც აქვს შემდეგი სახე:

$$X_T(f) = X_T(f, T) = \int_0^T x(t) e^{-j2\pi ft} dt$$

ამრიგად, შეზღუდული სიგრძის სტაციონარული შემთხვევითი სიგნალის ფურიეს ფინიტური გარდაქმნა ყოველთვის არსებობს, რადგან სრულდება (2.8) პირობა.

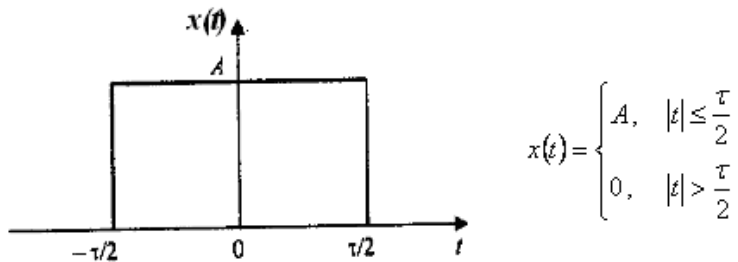
2.8 ფურიეს გარდაქმნის მაგალითები

1. მართკუთხა იმპულსი

მართკუთხა იმპულსის ფურიეს გარდაქმნა წარმოადგენს ერთ-ერთ მნიშვნელოვან ოპერაციას სიგნალების ციფრული დამუშავების დროს. იგი

ა. ყუბანეიშვილი ბიოსიგნალების ციფრული დამუშავება

ფართოდ გამოიყენება დისკრეტიზაციის თეორიაში, სპექტრულ ანალიზში და განსაკუთრებით ციფრული ფილტრების პროექტირების დროს. განვიხილოთ კოორდინატთა სათავის მიმართ სიმეტრიული მართხული იმპულსი:

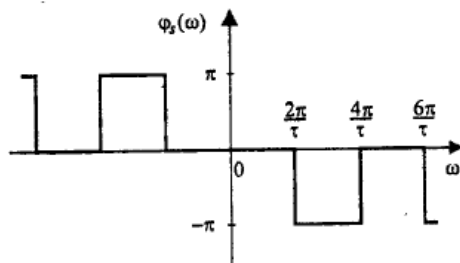


ნახ. 2.17

განვსაზღვროთ სპექტრული ფუნქცია

$$X(\omega) = \int_{-\tau/2}^{\tau/2} A e^{-j\omega t} dt = -\frac{A}{j\omega} e^{-j\omega t} \Big|_{-\tau/2}^{\tau/2} = \frac{2A}{\omega} \cdot \frac{e^{j\omega\tau/2} - e^{-j\omega\tau/2}}{2j} = \frac{2A}{\omega} \sin\left(\frac{\omega\tau}{2}\right) = A\tau \frac{\sin\left(\frac{\omega\tau}{2}\right)}{\frac{\omega\tau}{2}}$$

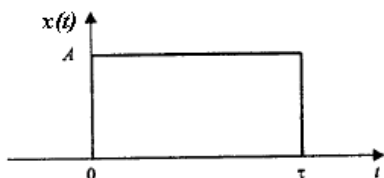
როგორც ვხედავთ, სპექტრი წარმოადგენს $\frac{\sin x}{x}$ ფუნქციის სახეს (ნახ. 2.13), ხოლო ფაზურ სპექტრი წარმოდგენილია ნახ. 2.18-ზე.



ნახ. 2.18

როგორც ვხედავ, ფაზური სპექტრი დებულობს მხოლოდ 0 ან π მნიშვნელობას. გარდა ამისა, სპექტრული ფუნქცია $|X(\omega)|$ ნულოვან სიხშირეზე ტოლია იმპულსის ფართობისა $A\tau$.

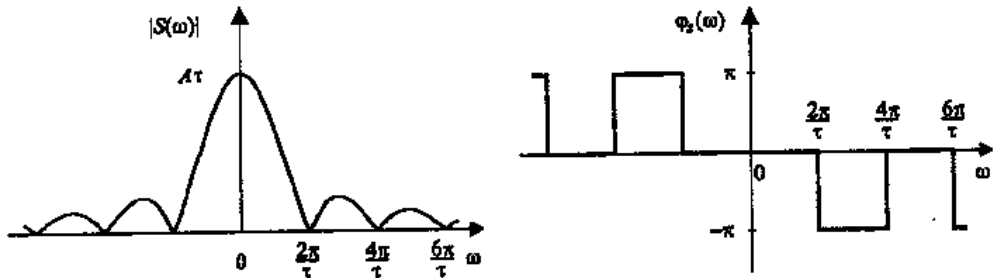
ეხლა განვიხილოთ თუ რა შეიცვლება, როდესაც ხდება იმპულსის დაძვრა τ დროით, როგორც ეს წარმოდგენილია შემდეგ ნახაზზე:



ნახ. 2.19

განვსაზღვროთ ფურიეს გარდაქმნა და ავაგოთ ამპლიტუდური და ფაზური სპექტრები

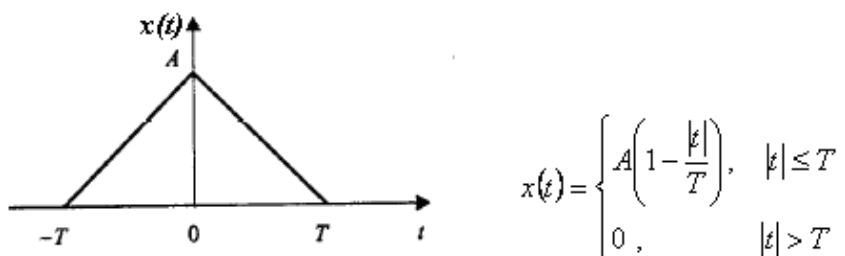
$$X(\omega) = \int_0^\tau A e^{-j\omega t} dt = \frac{A}{j\omega} (1 - e^{-j\omega\tau}) = A\tau \frac{\sin\left(\frac{\omega\tau}{2}\right)}{\frac{\omega\tau}{2}} \exp\left\{-j\frac{\omega\tau}{2}\right\}$$



ნახ. 2.20

როგორც ვხედავთ, იმპულსის დროით დამკრის შედეგად მისი ამპლიტუდური სპექტრი რჩება იგივე, ხოლო ფაზური სპექტრი დროში განიცდის ძვრას, რომელიც წრფივად არის დაკავშირებული სისტირესთან. ამპლიტუდური სპექტრის $|X(\omega)|$ გრაფიკული გამოსახულებიდან ჩანს, რომ იგი ω -ს ზრდასთან ერთად ნელ-ნელა განიცდის ჩაქრობას. ამიტომ საჭირო ხდება სპექტრის ეფექტური სიგანის ცნების შემოტანა. როგორც გრაფიკული გამოსახულებიდან ჩანს, სპექტრს ეფექტური სიგანედ შეიძლება მივიღოთ მთავარი რხევის სიგანე ანუ $2\pi/\tau$, რომელიც უკუპროპორციულია იმპულსის ხანგრძლიობისა.

2. სიმეტრიული სამკუთხა იმპულსი

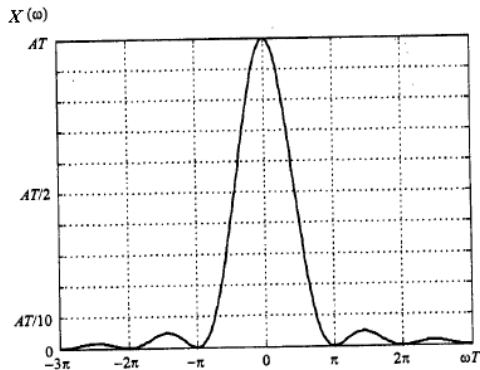


ნახ. 2.21

განვხაზდვროთ სპექტრული ფუნქცია:

$$X(\omega) = \int_{-T}^T A\left(1 - \frac{|t|}{T}\right) e^{-j\omega t} dt = AT \frac{\sin^2(\omega T/2)}{(\omega T/2)^2}$$

რომლის ამპლიტუდურ სპექტრს აქვს შემდეგი სახე:



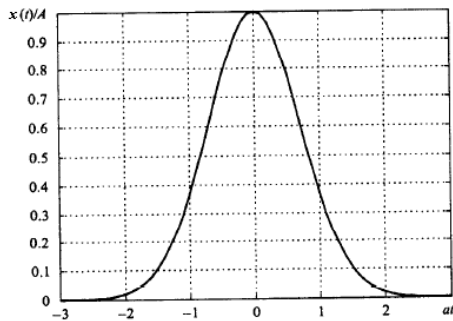
ნახ. 2.22

როგორც ამ გრაფიკიდან ჩანს, სპექტრის ეფექტური სიგანე ტოლია $2\pi/T$, ისევე როგორც მართკუთხი იმპულსის დროს, მაგრამ სიგნალის ხანგრძლივობა ორჯერ მეტია ($2T$).

როგორც ვხედავთ, სპექტრული ფუნქცია $\tilde{X}(\omega)$ წარმოადგენს არაუარყოფით ნამდვილ ფუნქციას, ამიტომ ფაზური სპექტრი ამ შემთხვევაში ნულის ტოლია და მისი გრაფიკის აგება უაზრობაა.

3. გაუსის იმპულსი

გაუსის იმპულსი $x(t) = A e^{-a^2 t^2}$ მეტად მნიშვნელოვან სიგნალს წარმოადგენს, რომელსაც ორივე დროითი დერძის მიმართ გააჩნია უსასრულო ხანგრძლივობის შტოები.

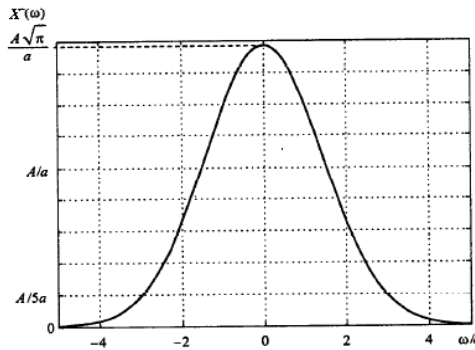


ნახ. 2.23

განვსაზღვროთ სპექტრი

$$X(\omega) = \int_{-\infty}^{\infty} A e^{-a^2 t^2} e^{-j\omega t} dt = \frac{A\sqrt{\pi}}{a} \exp\left\{-\frac{\omega^2}{4a^2}\right\}$$

რადგან სიგნალი ლური ფუნქციაა, ამიტომ მისი სპექტრი ნამდვილია და გრაფიკულად წარმოვადგენთ მხოლოდ ამპლიტუდურ სპექტრს.



ნახ. 2.24

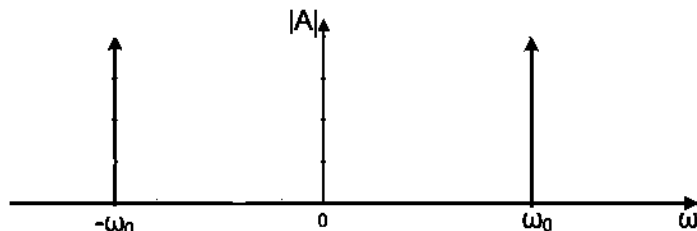
გაუსის იმპულსის მნიშნელოვან თვისებას წარმოადგენს ის, რომ მისი სპექტრი აღიწერება გაუსის ფუნქციით.

4. პარმონიული სიგნალი.

განვიხილოთ ფუნქცია $x(t) = A \cos(\omega_0 t + \varphi)$, სადაც A – ამპლიტუდაა, ω_0 – კუთხეური სიხშირე, φ – საწყისი ფაზა. მოვახდინოთ $x(t)$ სიგნალის ფურიეს გარდაქმნა.

$$\begin{aligned}
 X(\omega) &= \int_{-\infty}^{+\infty} f(t) \exp(-j\omega t) dt = \int_{-\infty}^{+\infty} A \cos(\omega_0 t + \varphi) \exp(-j\omega t) dt = \\
 &= \frac{A}{2} \int_{-\infty}^{+\infty} \exp(j\omega_0 t + j\varphi) \exp(-j\omega t) dt + \frac{A}{2} \int_{-\infty}^{+\infty} \exp(-j\omega_0 t - j\varphi) \exp(-j\omega t) dt = \\
 &= \frac{A}{2} \int_{-\infty}^{+\infty} \exp(j\varphi) \exp[-j(\omega - \omega_0)t] dt + \frac{A}{2} \int_{-\infty}^{+\infty} \exp(-j\varphi) \exp[-j(\omega + \omega_0)t] dt = \\
 &= \frac{A}{2} \exp(j\varphi) \int_{-\infty}^{+\infty} \exp[-j(\omega - \omega_0)t] dt + \frac{A}{2} \exp(-j\varphi) \int_{-\infty}^{+\infty} \exp[-j(\omega + \omega_0)t] dt = \\
 &= A \pi \exp(j\varphi) \delta(\omega - \omega_0) + A \pi \exp(-j\varphi) \delta(\omega + \omega_0)
 \end{aligned}$$

როგორც ვხედავთ, პარმონიული სიგნალის ფურიეს გარდაქმნის შედეგი წარმოადგენს $\pm \omega_0$ სიხშირეზე წყვილ დელტა-ფუნქციას. პარმონიული სიგნალის ამპლიტუდური სპექტრი მოცემულია შემდეგ ნახაზზე:



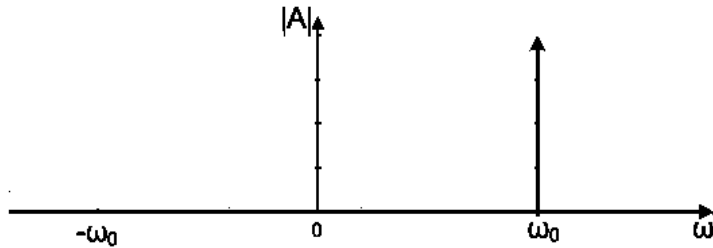
6. კომპლექსური ექსპონენტა.

განვიხილოთ კომპლექსური ფუნქცია $x(t) = A e^{j\omega_0 t}$ და მისი ფურიეს გარდაქმნა

ა. ყუბანეიშვილი ბიოსიგნალების ციფრული დამუშავება

$$\begin{aligned} X(\omega) &= \int_{-\infty}^{+\infty} f(t) \exp(-j\omega t) dt = \int_{-\infty}^{+\infty} A \exp(j\omega_0 t) \exp(-j\omega t) dt = \\ &= A \int_{-\infty}^{+\infty} \exp(-j(\omega - \omega_0)t) dt = 2A\pi\delta(\omega - \omega_0) \end{aligned}$$

როგორც ვხედავთ, კომპლექსური გესპონენტის სპექტრული ფუნქცია (ჰარმონიული სიგნალისაგან განსხვავებით) შეიცავს მხოლოდ ერთ დელტა-ფუნქციას, რომელიც წარმოდგენილია შემდეგ ნახაზზე:



2.9 ფურიეს გარდაქმნის ძირითადი თვისებები

განვიხილოთ ფურიეს გარდაქმნის ზოგიერთი თვისება.

1. წრფილია. დაუშვათ $X_1(\omega)$ და $X_2(\omega)$ წარმოადგენენ $x_1(t)$ და $x_2(t)$ სიგნალების ფურიეს გარდაქმნებს:

$$X_1(\omega) = F[x_1(t)], \quad X_2(\omega) = F[x_2(t)]$$

ფურიეს გარდაქმნა წრფილია, თუ სრულდება შემდეგი ტოლობა:

$$F[a_1x_1(t) + a_2x_2(t)] = a_1X_1(\omega) + a_2X_2(\omega), \quad a_1, a_2 = \text{const}$$

ე.ო. სიგნალის სპექტრი, რომელიც მიღებულია ორი $a_1x_1(t)$ და $a_2x_2(t)$ სიგნალების ჯამისაგან, ტოლია ამ სიგნალების სპექტრების ჯამისა. მართლაც

$$\begin{aligned} F[a_1x_1(t) + a_2x_2(t)] &= \int_{-\infty}^{\infty} [a_1x_1(t) + a_2x_2(t)] e^{-j\omega t} dt = \\ &= a_1 \int_{-\infty}^{\infty} x_1(t) e^{-j\omega t} dt + a_2 \int_{-\infty}^{\infty} x_2(t) e^{-j\omega t} dt = a_1X_1(\omega) + a_2X_2(\omega) \end{aligned}$$

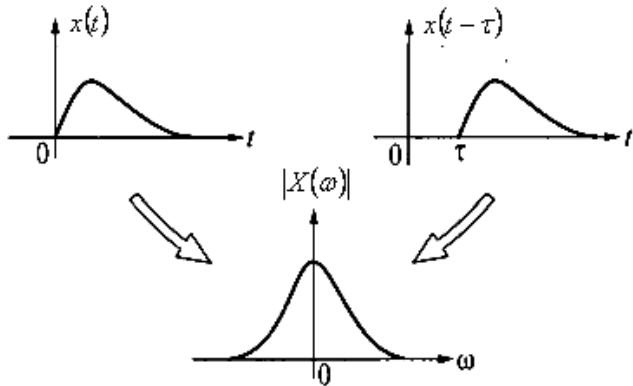
2. დაყოვნება. განვიხილოთ თუ როგორ მოქმედებს სპექტრულ ფუნქციაზე სიგნალის დროში დაყოვნება. ვთქვათ τ არის დაყოვნების დრო, მაშინ $x(t - \tau)$ ფუნქციის ფურიეს გარდაქმნა ტოლია:

$$F[x(t - \tau)] = \int_{-\infty}^{\infty} x(t - \tau) e^{-j\omega t} dt .$$

შემოვიტანოთ აღნიშვნა $u = t - \tau$, მაშინ გვექნება:

$$F[x(t - \tau)] = \int_{-\infty}^{\infty} x(u) e^{-j\omega(u + \tau)} du = e^{-j\omega\tau} \int_{-\infty}^{\infty} x(u) e^{-j\omega u} du = e^{j\omega\tau} X(\omega)$$

უნდა აღინიშნოს, რომ სიგნალის ძვრისას $|e^{-j\omega\tau}X(\omega)|=|X(\omega)|$ ამპლიტუდური სპექტრი არ იცვლება, იცვლება მხოლოდ ფაზური სპექტრი, რომელიც დამატებით იძენს სიხშირესთან წრფივად დამოკიდებულ რთულობებს (ნახ. 2.25).



ნახ. 2.25

3. დროის დერძის მასშტაბის ცვლილება. თუ საწყის $x(t)$ სიგნალში დროის მასშტაბს შევცვლით ისე, რომ t არგუმენტი მრავლდებოდეს რაიმე a მუდმივაზე, მაშინ $x(at)$ სიგნალის სპექტრი განისაზღვრება შემდეგნაირად:

$$F[x(at)] = \int_{-\infty}^{\infty} x(at) e^{-j\omega t} dt.$$

შემოვიტანოთ ახალი ცვლადი $u=at$, მაშინ $dt = \frac{1}{a} du$. თუ $a>0$, მაშინ

$$F[x(at)] = \frac{1}{a} \int_{-\infty}^{\infty} x(u) e^{-j\frac{\omega}{a} u} du = \frac{1}{a} X\left(\frac{\omega}{a}\right)$$

როცა $a<0$, მაშინ

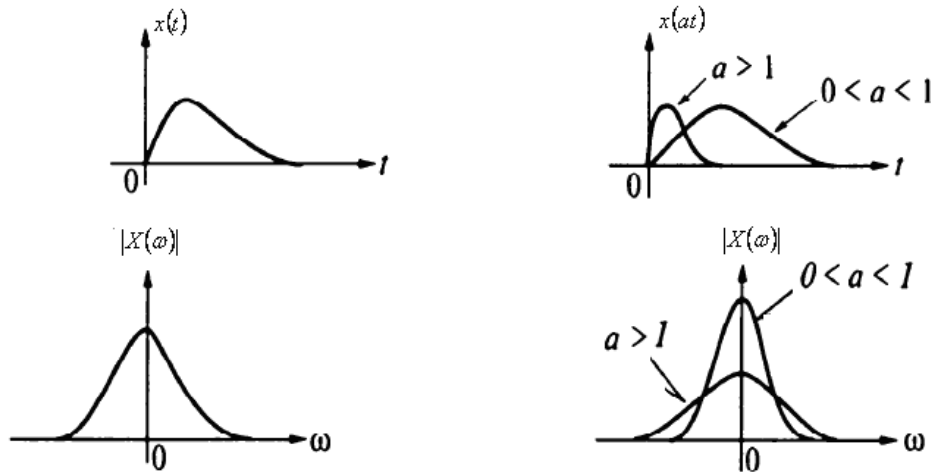
$$F[x(at)] = \frac{1}{a} \int_{-\infty}^{\infty} x(u) e^{-j\frac{\omega}{a} u} du = -\frac{1}{a} X\left(\frac{\omega}{a}\right)$$

თუ ამ თრ გამოსახულებას გავაერთიანებთ, მაშინ მივიღებთ:

$$F[x(t)] = \frac{1}{|a|} X\left(\frac{\omega}{a}\right).$$

თუ $|a|<1$ მაშინ $x(t)$ სიგნალი გაიშლება a -ჯერ, ამიტომ სიგნალის სიხშირეები აღმოჩნდებიან დაბალსიხშირის არეში და შესაბამისად სპექტრი სიხშირის დერძის მიმართ იცუმშება, მაშინ როდესაც თრდინანტა დერძის მიმართ იზრდება $\frac{1}{|a|}$ - ჯერ.

თუ $|a|>1$, მაშინ სიგნალის სიხშირე იზრდება, რაც იწვევს აბსცისათა დერძის მიმართ სპექტრის გაფართოებას, ხოლო თრდინანტა დერძის მიმართ სპექტრის შეცუმშვას (ნახ. 2.26).



ნახ. 2.26

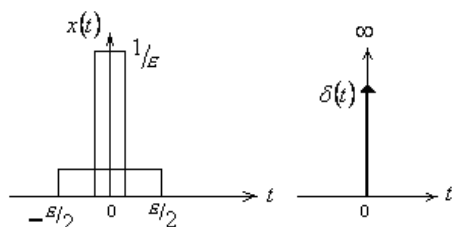
4. პარსაველის ტოლობა. პარსაველის თეორემა სამართლიანია არა მარტო ფურიეს მწერივისათვის, არამედ ფურიეს გარდაქმნისათვისაც. პარსაველის თეორემის თანახმად ენერგია სიხშირულ და დროით არეებში ერთნაირია, რაც გამოისახება შემდეგი ტოლობით:

$$\int_{-\infty}^{\infty} |x(t)|^2 dt = \frac{1}{2\pi} \int_{-\infty}^{\infty} |X(\omega)|^2 d\omega .$$

2.10 დელტა – ფუნქცია და თეორი ხმაური

დელტა – ფუნქცია და თეორი ხმაური არის ორი მსგავსი და ამასთან სხვადასხვა სიგნალი, რომლებიც ფართოდ გამოიყენებიან სიგნალების ანალიზისათვის.

დელტა-ფუნქცია. ფურიეს გარდაქმნასთან მჭიდროდ არის დაკავშირებული დელტა-ფუნქციის ცნება. განვიხილოთ $t = 0$ წერტილის მიმართ სიმეტრიული მართკუთხა $x(t)$ ფუნქცია, რომლის სიგანეა ε , ხოლო სიმაღლე $1/\varepsilon$:



ნახ. 2.27

ცხადია, რომ $x(t)$ ფუნქციით შემოსაზღვრული ფართობი ერთის ტოლია. დაუშვათ, რომ $x(t)$ ფუნქციის სიგანე კლებულობს, ხოლო მისი სიმაღლე ისე იზრდება, რომ შენარჩუნებული იყოს ფართობის ერთთან ტოლობის პირობა. თუ გადავალოთ ზღვარზე $\varepsilon \rightarrow \infty$, მაშინ საქმე გვაძვს მართკუთხა იმპულსთან, რომლის სიმაღლე მიისწრაფის უსასრულობისაკენ, ხოლო ფართობი რჩება ერთის ტოლი. თუ ამ იმპულს აღვნიშნავთ $\delta(t)$ სიმბოლოთი, მაშინ გვექნება:

ა. ყუბანეიშვილი ბიოსიგნალების ციფრული დამუშავება

$$\delta(t) = \begin{cases} \infty, & t=0 \\ 0, & t \neq 0 \end{cases} \quad \int_{-\infty}^{\infty} \delta(t) dt = 1.$$

$\delta(t)$ იმპულს დელტა - ფუნქცია ან დირაკის ფუნქცია ეწოდება. ზოგადად, დელტა ფუნქცია წარმოადგენს მათემატიკურ აბსტრაქციას. ფიზიკურად იგი არ არსებობს, მაგრამ პრაქტიკულ კვლევებში ის ცვლის მაღალი ინტენსივურობის მოკლე იმპულსებს.

$\delta(t)$ ფუნქცია მნიშვნელოვან როლს ასრულებს სიგნალების დამუშავების თეორიაში. მის ერთ-ერთ მნიშვნელოვან თვისებას წარმოადგენს მისი ე.წ. გაფილტვრის თვისება. ეს იმაში მდგომარეობს, რომ თუ დელტა - ფუნქცია არის ინტეგრალის ქვეშ როგორც ერთ-ერთი მამრავლი, მაშინ ინტეგრირების შედეგი ტოლია ინტეგრალის ქვეშ არსებული სხვა გამოსახულების მნიშვნელობისა იმ წერტილში, სადაც დელტა - ფუნქცია იმყოფება, ე.ი.

$$\int_{-\infty}^{\infty} x(t)\delta(t-t_0)dt = x(t_0),$$

სადაც $x(t)$ უწყვეტი ფუნქციაა, $\delta(t-t_0)$ ისეთი დელტა - ფუნქციაა, რომელიც მიღებულია დროით დერძნე დელტა - ფუნქციის t_0 სიდიდით წანაცვლებით. $t=t_0$ წერტილში დელტა - ფუნქცია ნულის ტოლია. ამრიგად სწორია შემდეგი თანაფარდობა:

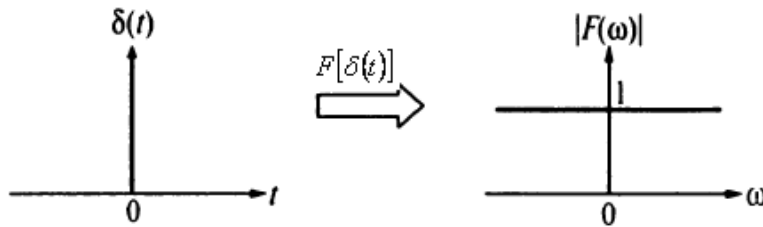
$$\int_{-\infty}^{\infty} x(t)\delta(t-t_0)dt = \int_{-\infty}^{\infty} x(t_0)\delta(t-t_0)dt = x(t_0) \int_{-\infty}^{\infty} \delta(t-t_0)dt = x(t_0)$$

ამ გამოსახულებიდან ჩანს, რომ ინტეგრალის სიდიდე t_0 წერტილში $x(t_0)$ სიდიდის ტოლია. ინტეგრირების ზღვრები არ არის აუცილებელი იყოს უსასრულო.

განვიხილოთ დელტა - ფუნქციის ფურიეს გარდაქმნა

$$X(\omega) = \int_{-\infty}^{\infty} \delta(t) e^{-j\omega t} dt = e^{-j\omega 0} = 1.$$

დელტა ფუნქციის სპექტრი მუდმივი სიდიდეა ანუ თანაბარი სიდიდისაა სისშირის უსასრულო არეში, ე.ი. დელტა - ფუნქციას გააჩნია უსასრულო მცირე ხანგრძლივობა, ხოლო მისი სპექტრი უსასრულოდ დიდია (ნახ. 2.28).



ნახ. 2.28

მიღებული შედეგებიდან გამომდინარეობს, რომ დელტა - ფუნქცია შეიძლება ჩაგრილოთ ფურიეს უკუგარდაქმნის საშუალებით შემდეგნაირად:

$$\delta(t) = \frac{1}{2\pi} \int_{-\infty}^{\infty} e^{j\omega t} d\omega.$$

მიღებული თანაფარდობა მეტად მნიშვნელოვანია სიგნალების დამუშავების თეორიაში. თუ განვიხილავთ $\delta(t)$ ფუნქციის ფურიეს უკუგარდაქმნას, მივიღებთ:

ა. ყუბანეიშვილი ბიოსიგნალების ციფრული დამუშავება

$$\int_{-\infty}^{\infty} \delta(t) e^{j2\pi ft} dt = e^0 = 1.$$

აქედან ჩანს, რომ მუდმივი სიდიდის ფურიეს გარდაქმნა არის ნულოვანი სიხშირის დელტა-ფუნქცია. რადგან დელტა-ფუნქციის სპექტრი მუდმივი სიდიდეა, ამიტომ მუდმივი სიდიდის სპექტრი დელტა-ფუნქციის სიხშირის ტოლია, მართლაც

$$X(\omega) = \int_{-\infty}^{\infty} A e^{-j\omega t} dt = 2\pi A \delta(\omega).$$

მიღებული შედეგიდან გამომდინარეობს, რომ უსასრულოდ წარმოდგენილ სიგნალს გააჩნია უსასრულოდ ვიწრო სპექტრი.

თეორი ხმაური. თეორი ხმაური ეწოდება სტაციონარულ შემთხვევით პროცეს, რომლის სპექტრული სიმკრივის ფუნქცია ყველა სიხშირისათვის მუდმივია. ე.ი. $S(\omega) = S_0 = \text{const}$. ვინერ-ხინჩინის თეორემის თანახმად, თეორი ხმაურის კორელაციური ფუნქცია წარმოადგენს დელტა-ფუნქციას

$$R(\tau) = \frac{S_0}{2\pi} \int_{-\infty}^{\infty} e^{j\omega\tau} d\omega = S_0 \delta(\tau).$$

ე.ი. $R(\tau) = 0$ გარდა $\tau = 0$ წერტილისა. თეორი ხმაურის დისპერსია უსასრულოდ დიდი სიდიდეა.

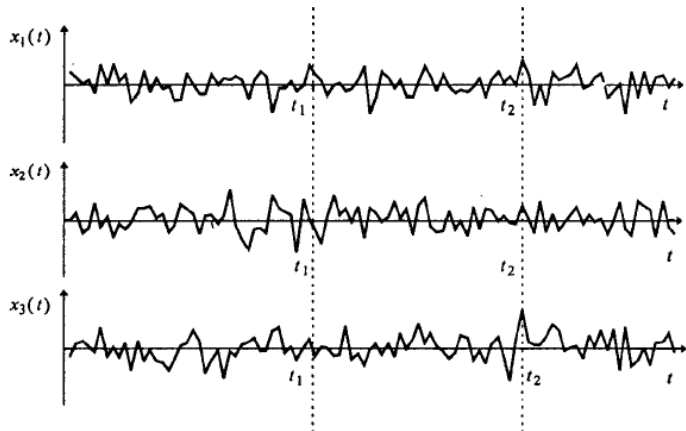
თეორი ხმაური წარმოადგენს აბსტრაქტულ მათემატიკურ ცნებას და ფიზიკურად იგი არ არსებობს. ეს შეიძლება აკსენათ დისპერსიის უსასრულობით. მაგრამ, ანალოგური სიგნალისაგან განსხვავებით, დისკრეტული სიგნალის თეორი ხმაურის დისპერსია არ წარმოადგენს უსასრულო სიდიდეს (დელტა-ფუნქციის სასრულობის გამო), ამიტომ ასეთი თეორი ხმაურის რეალიზება ფიზიკურად შესაძლებელია.

3. შემთხვევითი სიგნალები

როგორც უკვე აღვნიშნეთ, ბუნებაში მიმდინარე რეალური ფიზიკური მოვლენები დროზე დამოკიდებული პროცესებია, რომლებიც აღიწერებიან შემთხვევითი ფუნქციების სახით. დროზე დამოკიდებული ერთი ცვლადის შემთხვევით ფუნქციას ეწოდება შემთხვევითი პროცესი, რომელიც აღინიშნება $\{X(t)\}$ სიმბოლოთი. შემთხვევითი პროცესის სრული წარმოდგენისათვის საჭიროა მოცემული იყოს მისი რეალიზაციები ანუ ანსამბლი $x_i(t)$, $i = 1, 2, 3, \dots$. შემთხვითი სიგნალების სახით. ტექნიკურ ლიტერატურაში ტერმინები „შემთხვევითი სიგნალი“ და „შემთხვევითი პროცესი“ ხშირად გამოიყენებიან როგორც სინონიმები.

შევთანხმდეთ, რომ რეგისტრირებამდე (გაზომვამდე) შემთხვევითი სიგნალი უნდა განვიხილოთ, როგორც შემთხვევითი პროცესი თავისი რეალიზაციებით. ნახ. 3.1 წარმოდგენილია $\{X(t)\}$ შემთხვევითი პროცესის რამოდენიმე $x_i(t)$ რეალიზაცია

ა. ყუბანევიშვილი ბიოსიგნალების ციფრული დამუშავება



ნახ. 3.1

3.1 შემთხვევითი პროცესების ალბათური ფუნქციები და საშუალო მახასიათებლები

ალბათობის თეორიიდან ცნობილია, რომ შემთხვევითი სიდიდე სრულად აღიწერება თუ მოცემულია მისი განაწილების კანონი. ანალოგიურადაა საქმე შემთხვევითი პროცესების დროსაც. ვთქვათ, მოცემულია $\{X(t)\}$ შემთხვევითი პროცესი და მისი რეალიზაციების ანსაბლი $x_1(t), x_2(t), \dots, x_n(t)$. ნებისმიერი, მაგალითად t_1 დოში კვეთისას (ნახ. 3.1) მიღებული შემთხვევით სიდიდეს ყველა რეალიზაციის მნიშვნელობების $x_1(t_1), x_2(t_1), \dots, x_n(t_1)$ განაწილების ფუნქციას აქვს შემდეგი სახე:

$$F(t_1, x) = P\{X_1(t_1) \leq x\} \quad (3.1)$$

ეს განაწილების ფუნქცია დამოკიდებულია ორ არგუმენტზე: t_1 -ზე, როცა ხდება კვეთა და x სიდიდეზე, რომელზედაც ნაკლები უნდა იყოს შემთხვევითი სიდიდე. (3.1) ფუნქციას უწოდებენ ერთგანზომილებიან განაწილების კანონს, რომელიც ახასიათებს მხოლოდ ერთი კვეთისას აღებულ შემთხვევით სიდიდეებს, ამიტომ იგი არ გამოდგება ორი ან მეტი კვეთის ურთიერთ განაწილების კანონის დასადგენად.

შემთხვევითი პროცესის ალბათურ სტრუქტურას ხშირად აღწერენ განაწილების სიმკვრივის $f(x, t_1)$ ფუნქციის მეშვეობით, რომელიც ასე განისაზღვრება: $f(x, t_1) = F'(x, t_1)$. თუ ცნობილია განაწილების სიმკვრივის ფუნქცია, მაშინ განაწილების ფუნქცია განისაზღვრება შემდეგნაირად:

$$F(x, t_1) = \int_{-\infty}^x f(x, t_1) dx$$

აშკარაა რომ ერთგანზომილებიანი განაწილების კანონი ვერ უზრუნველყოფს შემთხვევითი პროცესის დახასიათებას. აშკარაა ისიც, რომ ორგანზომილებიანი განაწილების ფუნქცია უფრო სრულად წარმოადგენს შემთხვევით პროცეს ვიდრე ერთგანზომილებიანი, თუმცა ისიც არ არის საკმარისი შემთხვევითი პროცესის სრული აღწერისათვის.

აქედან გამომდინარე, შემთხვევითი პროცესი უფრო სრულყოფილად იქნება წარმომადგენილი თუ გვექნება სამგანზომილებიანი, ოთხგანზომილებიანი და ზოგადად n განზომილებიანი განაწილების ფუნქციები.

ამრიგად, თეორიულად შესაძლებელია შეუზღუდავად განვსაზვროთ შემთხვევითი პროცესის კვეთების რაოდენობა და მივიღოთ პროცესის სულ უფრო და უფრო სრული მახასიათებლები. მაგრამ, არგუმენტების უსასრულო ზრდა გამოთვლების თვალსაზრისით იწვევს მთელ რიგ გართულებებს და ამიტომ პრაქტიკულად მრავალგანზომილებიანი განაწილების ფუნქციების გამოყენება მიუღებელია. აქედან გამომდინარე, პრაქტიკულ კვლევებში მიღებულია ორგანზომილებიანი განაწილების კანონი და უფრო მეტიც, ძალზე ხშირად საერთოდ უარს ამბობენ განაწილების კანონის დადგენაზე და იყენებენ შემთხვევითი პროცესის ძირითად მახასიათებლებს, რომლებიც პროცეს აღწერენ თუმცა არა სრულად, მაგრამ საკმაოდ კარგი მიახლოებით.

თუ ცნობილია $f(x, t_1)$ განაწილების სიმკვრივის ფუნქცია, მაშინ შესაძლებელია $X(t_1)$ სიდიდის სტატისტიკური გასაშუალება. სტატისტიკური გასაშუალება ითვალისწინებს დროით ფიქსირებულ მომენტში შემთხვევითი პროცესის რეალიზაციების რომელიმე კვეთით მიღებული მნიშვნელობების გასაშუალებას.

პრაქტიკულ კვლევებში შემთხვევითი პროცესის ყველაზე მნიშვნელოვან მახასიათებლებს წარმოადგენენ:

1. **მათემატიკური ლოდინი**, რომელიც წარმოადგენს დროის რომელიმე t მომენტში შემთხვევითი პროცესის საშუალო მნიშვნელობის შეფასებას

$$m_x(t) = M\{X(t)\} = \int_{-\infty}^{\infty} xf(x, t) dx.$$

2. **დისპერსია**, რომელიც ახასიათებს შემთხვევითი პროცესის საშუალო სიმძლავრის გადახრის ცვალებადობას მისი მათემატიკური ლოდინის მიმართ.

$$D_x(t) = \sigma_x^2(t) = M\{[X(t) - m_x(t)]^2\} = M\{X^2(t) - m_x^2(t)\} = \int_{-\infty}^{\infty} x^2 f(x, t) dx - m_x^2(t).$$

3. **საშუალო კვადრატული გადახრა** (სტანდარტული გადახრა), რომელიც წარმოადგენს კვადრატულ ფესვს დისპერსიიდან და ახასიათებს t დროის მომენტში მათემატიკურ ლოდინთან შედარებით გაფანტვის ამპლიტუდურ ზომას:

$$\sigma_x(t) = \sqrt{D_x(t)} = \sqrt{M\{[X(t) - m_x(t)]^2\}} = \sqrt{M[X^2(t)] - m_x^2(t)}.$$

რაც შეეხება განაწილების კანონებს, პრაქტიკაში ყველაზე ხშირად გვხდება თანაბარი და ნორმალური განაწილება.

3.2 შემთხვევითი პროცესების კორელაციური ფუნქციები

ერთგანზოილებიანი სიმკვრივის ფუნქცია საკმარისი არ არის დროში შემთხვევითი პროცესის ცვლილების აღწერისათვის. გაცილებით მეტ ინფორმაციას მივიღებთ თუ განვიხილავთ დროის ნებისმიერ t_1 და t_2 მომენტში შემთხვევითი პროცესის ორმაგ კვეთას (ჩახ. 3.1). ეს ორი კვეთა ქმნის ორგანზომილებიან შემთხვევით სიდიდეს $\{X(t_1), X(t_2)\}$, რომელიც აღიწერება ორგანზომილებიანი განაწილების ფუნქციით

ა. ყუბანევიშვილი ბიოსიგნალების ციფრული დამუშავება

$$F(x_1, x_2, t_1, t_2) = P(X(t_1) \leq t_1, X(t_2) \leq t_2)$$

და ორგანზომილებიანი განაწილების სიმკვრივის ფუნქციით
 $f(x_1, x_2, t_1, t_2) = F''(x_1, x_2, t_1, t_2).$

ორგანზომილებიანი განაწილების სიმკვრივის ფუნქცია საშუალებას იძლევა განისაზღვროს შემთხვევითი პროცესის მეტად მნიშვნელოვანი მახასიათებელი – კოვარიაციული ფუნქცია:

$$C_x(t_1, t_2) = M[x(t_1)x(t_2)]$$

ამ განამარტებით შემთხვევითი სიდიდის კოვარიაციული ფუნქცია წარმოადგენს t_1 და t_2 დროის მომენტებში შემთხვევითი პროცესის მნიშვნელობების ნამრავლის საშუალო სიდიდეს.

შემთხვევითი პროცესის ყოველი რეალიზაციისათვის $x(t_1)x(t_2)$ ნამრავლი წარმოადგენს სკალარულ სიდიდეს. რეალიზაციათა ერთობლიობა ქმნის შემთხვევითი რიცხვების ერთობლიობას, რომელთა განაწილების კანონი ხასიათდება ორგანზომილებიანი $f(x_1, x_2, t_1, t_2)$ განაწილების სიმკვრივის ფუნქციით. თუ განაწილების სიმკვრივის ფუნქცია ცნობილია, მაშინ გასაშუალების ოპერაცია ხორციელდება შემდეგი ფორმულით:

$$C_x(t_1, t_2) = \int_{-\infty}^{\infty} \int_{-\infty}^{\infty} x_1 x_2 f(x_1, x_2, t_1, t_2) dt_1 dt_2.$$

ხშირად შემთხვევითი პროცესების ანალიზის დროს განსაკუთრებულ ინტერესს წარმოადგენს მათი ფლუქტუაციის (ცვალებადობის) მდგრენელი. ასეთ შემთხვევაში გამოიყენება კორელაციური ფუნქცია, რომელიც განისაზღვრება ცნობილი $X(t) - m_x(t)$ შემთხვევითი პროცესის t_1 და t_2 დროის მომენტებში მათი სიდიდეების ნამრავლის სტატისტიკური გასაშუალებით. ე.ი.

$$\begin{aligned} R_x(t_1, t_2) &= M\{[x(t_1) - m_x(t_1)][x(t_2) - m_x(t_2)]\} = \\ &= \int_{-\infty}^{\infty} \int_{-\infty}^{\infty} [x(t_1) - m_x(t_1)][x(t_2) - m_x(t_2)] f(x_1, x_2, t_1, t_2) dx_1 dx_2 = C_x(t_1, t_2) - m_x(t_1)m_x(t_2) \end{aligned} \quad (3.2)$$

კორელაციური ფუნქცია $R(t_1, t_2)$ ახასიათებს სტატისტიკური კავშირის ხარისხს შემთხვევითი პროცესის იმ მაჩვენებლებს შორის, რომლებიც მიიღებიან t_1 და t_2 დროის მომენტებში. როცა $t_1 = t_2 = t$, მაშინ კორელაციური ფუნქცია (3.2) ფორმულის გათვალისწინებით შემთხვევითი პროცესის დისპერსიის ტოლია. ე.ი.

$$R_x(t, t) = C_x(t, t) - m_x^2(t) = D_x(t).$$

უნდა გვახსოვდეს, რომ ცნობილი შემთხვევითი პროცესის დროს, როცა მათემატიკური ლოდინი (საშუალო სიდიდე) ნულის ტოლია, კოვარიაციული და კორელაციური ფუნქციები ერთმანეთის ტოლია.

მაგალითობისათვის განვიხილოთ პარმონიული სიგნალი შემთხვევითი საწყისი ფაზით, რომელსაც აქვს შემდეგი სახე:

$$x(t) = A \cos(\omega_0 t + \varphi), \quad (3.3)$$

სადაც A – ამპლიტუდა (დეტერმინირებული), ω_0 – სიხშირე (დეტერმინირებული), φ – შემთხვევითი საწყისი ფაზა, რომელიც ბევრ შემთხვევითი სიგნალისათვის შეიძლება ჩავთვალოთ $[0, 2\pi]$ ინტერვალში თანაბრად განაწილებული. მაშინ ასეთი სიგნალის განაწილების სიმკვრივის ფუნქცია ტოლია:

ა. ფუნქციები ბიოსიგნალების ციფრული დამუშავება

$$f_\varphi(\varphi) = \begin{cases} \frac{1}{2\pi}, & 0 \leq \varphi \leq 2\pi \\ 0, & \varphi < 0, \varphi > 2\pi \end{cases}$$

ადგილად მტკიცდება, რომ ასეთი შემთხვევითი პროცესი ცენტრირებულია. მართლაც:

$$m_x(t) = \int_{-\infty}^{\infty} x(t)f_\varphi(\varphi)d\varphi = \int_0^{2\pi} A \cos(\omega_0 t + \varphi) \frac{1}{2\pi} d\varphi = 0 ,$$

ამიტომ კოგარიაციული და კორელაციური ფუნქციები ერთმანეთის ტოლია:

$$\begin{aligned} R_x(t_1, t_2) &= C_x(t_1, t_2) = \int_{-\infty}^{\infty} x(t_1)x(t_2)f_\varphi(\varphi)d\varphi = \int_0^{2\pi} A \cos(\omega_0 t_1 + \varphi) A \cos(\omega_0 t_2 + \varphi) \frac{1}{2\pi} d\varphi = \\ &= \frac{A^2}{2\pi} \left[\int_0^{2\pi} \frac{1}{2} \cos(\omega_0(t_1 + t_2) + 2\varphi) d\varphi + \int_0^{2\pi} \frac{1}{2} \cos(\omega_0(t_1 - t_2)) d\varphi \right] \end{aligned}$$

ამ გამოსახულების პირველ ინტეგრალში ინტეგრირება ხდება ორი პერიოდული კოსინუსი ფუნქციით, ამიტომ ინტეგრალის მნიშვნელობა ნულის ტოლია. მეორე წევრის ინტეგრალის ქვეშ მყოფი ფუნქცია არ არის დამოკიდებული ინტეგრირების φ ცვლადზე, ამიტომ მივიღებთ:

$$R_x(t_1, t_2) = C_x(t_1, t_2) = \frac{A_2}{2} \cos(\omega_0(t_1 - t_2)).$$

$$\text{როცა } t_1 = t_2, \text{ მაშინ } R_x(t_1, t_2) = C_x(t_1, t_2) = D_x(t) = \frac{A_2}{2}.$$

3.3 შემთხვევითი პროცესების კლასიფიკაცია

შემთხვევითი პროცესები იყოფა სტაციონარულ და არასტაციონარულ პროცესებად. თავის მხრივ სტაციონარული პრიცესები იყოფიან ერგოდიკულ და არაერგოდიკულ პროცესებად.

სტაციონარული შემთხვევითი პროცესები. ასე ეწოდებათ შემთხვევით პროცესებს, რომელთა სტატისტიკური მახასიათებლები ერთნაირია ყველა დროითი კვეთებისას. შემთხვევითი პროცესები მკაცრად სტაციონარულია (ან საციონარულია ვიწრო გაებით), როცა მრავალგანზომილებიანი სიმკვრივის ფუნქცია $f(x_1, x_2, \dots, x_n, t_1, t_2, \dots, t_n)$ არ იცვლება კვეთების t_1, t_2, \dots, t_n დროით დერმზე ერთიდიგივე τ სიდიდით ერთდროული დაძვრისას. ე.ი. ნებისმიერი τ -სთვის $f(x_1, x_2, \dots, x_n, t_1, t_2, \dots, t_n) = f(x_1, x_2, \dots, x_n, t_1 + \tau, t_2 + \tau, \dots, t_n + \tau)$.

თუ შემოვიფარგლებით მხოლოდ ერთი და ორგანზომილებიანი განაწილების სიმკვრივის ფუნქციით, მაშინ ასეთი შემთხვევითი პროცესი იქნება სტაციონარული ფართო გაგებით.

სტაციონარული შემთხვევითი პროცესისათვის მათემატიკური ლოდინი და დისპერსია არ არის დამოკიდებული დროზე, ხოლო კორელაციური ფუნქცია დამოკიდებულია არა დროის t_1, t_2, \dots, t_n მომენტებზე, არამედ მათ შორის ინტერვალზე $\tau = t_2 - t_1$. ე.ი. $R_x(t, t_2) = R_x(t_2 - t_1) = R_x(\tau)$. ამ მიზეზის გამო

ა. ყუბანევიშვილი ბიოსიგნალების ციფრული დამუშავება

სტაციონარული შემთხვევითი პროცესის სტატისტიკურ მახასიათებლებში შეიძლება გამოვრიცხოთ დროის ფიქსირებული მომენტები და დაგტოვოთ მხოლოდ მათ შორის სხვაობა τ . ე.ი. გვექნება m_x , $D_x(\tau)$, $C_x(\tau)$.

კერძო შემთხვევაში, როცა $m_x(t_1)$ და $R_x(t_1, t_2)$ სიდიდეები დამოკიდებული არიან t_1 დროის მომენტზე, შემთხვევითი პროცესებს ეწოდება სუსტად სტაციონარული. ამ შემთხვევაში საშუალო სიდიდე მუდმივია, ხოლო კორელაციური ფუნქცია დამოკიდებულია τ ძვრის სიდიდეზე.

ერგოდიკული შემთხვევითი პროცესები. სტაციონარულ შემთხვევით პროცეს ეწოდება ერგოდიკული როცა მისი ნებისმიერი სტატისტიკური მახასიათებელი, რომელიც მიღებულია შემთხვევითი პროცესის რეალიზაციების გასაშუალებით, ექვივალენტურია ერთი რეალიზაციის დროით გასაშუალებით მიღებულ შესაბამის მახასიათებლისა. უნდა გვახსოვდეს, რომ ერგოდიკული თვისება მხოლოდ სტაციონარულ პროცესებს გააჩნიათ.

როგორც გხედავთ, ერგოდიკული პროცესი წარმოადგენს სტაციონარული შემთხვევითი პროცესების მნიშვნელოვან კლასს, რადგან ყველა სტატისტიკური მახასიათებელი შეიძლება განისაზღვროს შემთხვევითი პროცესის ერთი რეალიზაციიდან დროში გასაშუალებით. საბედნიეროდ პრაქტიკულ კვლევებში სტაციონარულ შემთხვევით პროცესებს, თითქმის როგორც წესი, გააჩნიათ ერგოდიკული თვისება, რის გამოც შემთხვევითი პროცესის დამუშავება შესაძლებელია ერთი რეალიზაციის საშუალებით. ამრიგად, ერგოდიკული პროცესის სტატისტიკური მახასიათებლები განისაზღვრებიან შემდეგი გამოსახულებებით:

$$m_x = \lim_{T \rightarrow \infty} \frac{1}{T} \int_{-T/2}^{T/2} x(t) dt$$

$$D_x = \lim_{T \rightarrow \infty} \frac{1}{T} \int_{-T/2}^{T/2} x^2(t) dt - m_x^2$$

$$R_x(\tau) = \lim_{T \rightarrow \infty} \frac{1}{T} \int_{-T/2}^{T/2} x(t)x(t+\tau) dt - m_x^2$$

ერგოდიკული პროცესის საკმარის პირობას, გარდა მისი სტაციონარობისა ფართო გაგებით, წარმოადგენს კორელაციური ფუნქციის მისწრაფება ნულისაკენ, როცა τ იზრდება. ე.ი. $\lim_{\tau \rightarrow \infty} R_x(\tau) \rightarrow 0$.

მაგალითისათვის განვიხილოთ პარმონიული სიგნალი შემთხვევითი ფაზით (3.3) და შევამოწმოთ იგი ერგოდიულობაზე. ამისათვის განვსაზღვროთ გასაშუალებული პარმონიული სიგნალის სტატისტიკური მახასიათებლები:

$$m_x = \frac{\omega_0}{2\pi} \int_{-\pi/\omega_0}^{\pi/\omega_0} A \cos^2(\omega_0 t + \varphi) dt = 0$$

$$D_x = \frac{\omega_0}{2\pi} \int_{-\pi/\omega_0}^{\pi/\omega_0} A^2 \cos^2(\omega_0 t + \varphi) dt = \frac{A^2}{2}$$

$$R_x(\tau) = \frac{\omega_0}{2\pi} \int_{-\pi/\omega_0}^{\pi/\omega_0} A^2 \cos(\omega_0 t + \varphi) \cos(\omega_0(t + \tau) + \varphi) dt = \frac{A^2}{2} \cos(\omega_0 \tau)$$

როგორც ვხედავთ, დროით გასაშუალებით გამოთვლილი პარამეტრები ემთხვევა იმ პარამეტრებს, რომლებიც მიღებულია რეალიზაციების სტატისტიკური გასაშუალებით. ე.ი. ჰარმონიული სიგნალი შემთხვევითი საწყისი ფაზით წარმოადგენს ერგოდიკულ პროცესს.

არასტაციონარულ პროცესებს მიეკუთვნებიან ისეთი პროცესები, რომლებიც სტაციონარულობის კრიტერიუმებს არ აკმაყოფილებენ და მათგან განსხვავებით სტატისტიკური მახასიათებლები დროზე არიან დამოკიდებულები.

3.4 შემთხვევითი პროცესის სპექტრული მახასიათებლები

ყოველი ცალკე აღებული შემთხვევითი პროცესის $x(t)$ რეალზაციას გააჩნია თავისი სპექტრი. რადგან ჩვენ გვაინტერესებს შემთხვევითი პროცესების სტატისტიკურად გასაშუალებული მახასიათებლები, ამიტომ სპექტრული სიმკვრივის საშუალო მნიშვნელობა ტოლია

$$\overline{X(\omega)} = \int_{-\infty}^{\infty} \overline{x(t)e^{-j\omega t}} dt = \int_{-\infty}^{\infty} \overline{x(t)} e^{-j\omega t} dt = \int_{-\infty}^{\infty} m_x(t) e^{-j\omega t} dt$$

როგორც ვხედავთ, შემთხვევითი პროცესის გასაშუალებული სპექტრული სიმკვრივის ფუნქცია წარმოადგენს პროცესის დეტერმინირებული მაჩვნებლის ანუ საშუალო სიდიდის სპექტრს. ცენტრირებული პროცესისთვის $m_x(t) = 0$ და $\overline{X(\omega)} = 0$.

ამრიგად, გასაშუალებული სპექტრული სიმკვრივის ფუნქცია არ შეიცავს არავითარ ინფორმაციას შემთხვევითი პროცესის ფულქტუაციაზე ანუ ცვალებადობაზე. ეს მიგვანიშნებს იმაზე, რომ სხვადასხვა რეალიზაციების სპექტრული მაჩვნებლების (მდგრელების) ფაზები წარმოადგენენ შემთხვევით და დამოუკიდებელ სიდიდეებს.

შეიძლება განვიხილოთ შემთხვევითი პროცესის $x(t)$ რეალზაციის სიმძლავრის სპექტრული სიმკვრივე, რადგან სიმძლავრე არ არის დამოკიდებული სპექტრული შემადგენლობის ფაზების თანაფარდობაზე. ამისთვის თუ ავიდებთ ცენტრირებული შემთხვევითი პროცესის $x(t)$ რეალიზაციას $[T/2, T/2]$ ინტერვალში და გამოვიყენებთ ფურიეს პირდაპირ გარდაქმნას, მაშინ მივიღებთ $X_T(\omega)$ სპექტრულ სიმკვრივეს. პარსაველის ტოლობის თანახად, სიგნალის სიმძლავრე დროით არეში ტოლია სიგნალის სიმძლავრისა სპექტრულ არეში, ე.ი.

$$E_T = \int_{-\frac{T}{2}}^{\frac{T}{2}} |x^2(t)| dt = \frac{1}{2\pi} \int_{-\infty}^{\infty} |X_T(\omega)|^2 d\omega$$

თუ ამ ენერგიას გავყოფთ T –ზე, მაშინ მივიღებთ რეალიზაციის საშუალო P_T სიმძლავრეს მოცემულ დროით ინტერვალზე

$$P_T = \frac{E_T}{T} = \frac{1}{2\pi} \int_{-\infty}^{\infty} \frac{|X_T(\omega)|^2}{T} d\omega$$

თუ T ინტერვალს გავზრდით უსასრულოდ ანუ როცა $T \rightarrow \infty$, მაშინ მივიღებთ:

$$\frac{1}{2\pi} \int_{-\infty}^{\infty} \lim_{T \rightarrow \infty} \frac{|X_T(\omega)|^2}{T} d\omega = \frac{1}{2\pi} \int_{-\infty}^{\infty} S(\omega) d\omega,$$

სადაც

$$S(\omega) = \lim_{T \rightarrow \infty} \frac{|X_T(\omega)|^2}{T} \quad (3.4)$$

სიდიდე წარმოადგენს განსახილვების რეალიზაციის საშუალო სიმძლავრის სპექტრულ სიმკვრივეს.

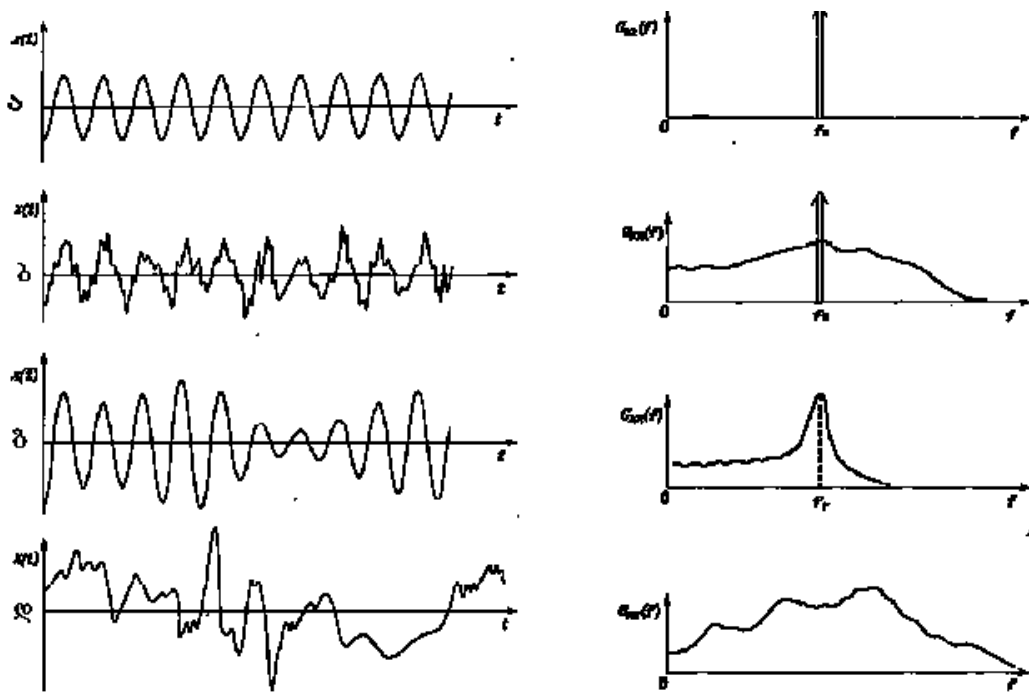
ზოგადად, სიმძლავრის სპექტრული სიმკვრივე $S(\omega)$ უნდა გავასაშუალოთ რეალიზაციების სიმრავლით. მაგრამ, თუ საქმე გვაქვს ერგოდიკულ შემთხვევით პროცესთან, მაშინ შეიძლება ჩავთვალოთ, რომ ერთი რეალიზაციით მიღებული $S(\omega)$ ფუნქცია ახასითებს მთელ შემთხვევით პროცესს.

რადგან ჩვენ განვიხილავთ ცენტრირებული ერგოდიკული პროცესის რეალიზაციას, ამიტომ რეალიზაციის საშუალო სიმძლავრე შემთხვევითი პროცესის დისპერსიის ტოლია

$$D_x = \frac{1}{2\pi} \int_{-\infty}^{\infty} S(\omega) d\omega . \quad (3.5)$$

$S(\omega)$ ნამდვილი ფუნქციაა, რომელიც არ შეიცავს ინფორმაციას სპექტრული მდგრელების ფაზებზე და ამიტომ შეუძლებელი ხდება შემთხვევითი პროცესის ცალკეული რეალიზაციის აღდგენა. გარდა ამისა, სპექტრული სიმკვრივის განსაზღვრიდან (3.4) ჩანს, რომ $S(\omega)$ წარმოადგენს არაუარყოფით ლუწ ფუნქციას.

სპექტრული სიმკვრივის ფუნქციის ინტერპრეტაცია. განვიხილოთ ნახ. 3.2 წარმოდგენილი ოთხი შემთხვევითი პროცესის სპექტრული სიმკვრივის ფუნქციები, რომლებიც წარმოდგენილი არიან შემდეგ ნახაზზე:



ნახ. 3.2

როგორც ნახაზიდან ჩანს, პარმონიული პროცესის (ა) სპექტრული სიმკვრივის ფუნქცია წარმოადგენს დელტა-ფუნქციას.

ფართოზოლიანი შემთხვევითი ხმაურის ფონზე პარმონიული პროცესის (ბ) ჯამური სპექტრული სიმკვრივის ფუნქცია ტოლია შესაკრებთა სპექტრების ჯამისა.

ვიწროზოლიანი პროცესის დროს (გ) სპექტრული სიმძლავრის ფუნქცია ძირითადად თავმოყრილია სპექტრის ვიწრო ზოლში.

ფართოზოლიანი პროცესის შემთხვევაში (დ) სპექტრული სიმკვრივის ფუნქცია თავმოყრილია სიხშირის ფართო ზოლში

3.5 გინერ-ხინჩინის თეორემა

როგორც ცნობილია, დეტერმინირებული სიგნალის კორელაციური ფუნქცია ფურიეს პირდაპირი გარდაქმნით დაკავშირებულია მის ენერგეტიკულ სპექტრთან. თუ ამ თვისებას გამოვიყენებოთ T სიგრძის შემთხვევით პროცესისათვის, გვექნება:

$$\int_{-T/2}^{T/2} x(t)x(t+\tau)dt = \frac{1}{2\pi} \int_{-\infty}^{\infty} |X_T(\omega)|^2 e^{j\omega\tau} d\omega.$$

გავყოთ ტოლობის ორივე მხარე T -ზე და გადავიდეთ ზღვარზე, როცა $T \rightarrow \infty$

$$\lim_{T \rightarrow \infty} \frac{1}{T} \int_{-T/2}^{T/2} x(t)x(t+\tau)dt = \frac{1}{2\pi} \int_{-\infty}^{\infty} \lim_{T \rightarrow \infty} \frac{1}{T} |X_T(\omega)|^2 e^{j\omega\tau} d\omega.$$

თუ პროცესი ერგოდიკულია, მაშინ ტოლობის მარცხენა მხარეს გვაქვს დროით გასაშუალებული კორელაციური ფუნქცია, ხოლო მარჯვენა მხარეს,

ა. ყუბანეიშვილი ბიოსიგნალების ციფრული დამუშავება

ინტეგრალის ქვეშ გვაქვს შემთხვევითი პროცესის სპექტრილი სიმკვრივე (3.4) ე.ი მივიღებთ:

$$R_{xx}(\tau) = \frac{1}{T} \int_{-\infty}^{\infty} S_{xx}(\omega) e^{j\omega\tau} d\omega .$$

რადგან $R_{xx}(\tau)$ და $S(\omega)$ წარმოადგენენ ნამდვილ ლურჯ ფუნქციებს, ამიტომ შეგვიძლია უარი ვთქვათ ფურის გარდაქმნის კომპლექსურ ფორმაზე, მაშინ მივიღებთ:

$$R_{xx}(\tau) = \frac{1}{T} \int_0^{\infty} S_{xx}(\omega) \cos(\omega\tau) d\omega$$

$$S_{xx}(\omega) = 2 \int_0^{\infty} R_{xx}(\tau) \cos(\omega\tau) d\tau$$

ამრიგად, შემთხვევითი პროცესის კორელაციური ფუნქცია და სიმძლავრის სპექტრული სიმკვრივე დაკავშირებული არიან ერთმანეთთან ფურის გარდაქმნით. ამ თანაფარდობას ვინერ-ხინჩინის თეორემას უწოდებენ.

ხშირად შემთხვევითი პროცესი ისეთია, რომ უშუალოდ (3.4) ფორმულის გამოყენება სიმძლავრის სპექტრული სიმკვრივის ფუნქციის განსაზღვრისათვის შეუძლებელია. ამ შემთხვევაში, თუ შესაძლებელია კორელაციური ფუნქციის განსაზღვრა, მაშინ სპექტრული სიმკვრივის ფუნქციას მივიღებთ კორელაციური ფუნქციიდან ვინერ-ხინჩინის თეორემის საშუალებით.

4. დისპრეტული სიგნალები და სისტემები

სიგნალების ციფრული დამუშავების არსი მდგომარეობს იმაში, რომ ფიზიკური სიგნალი (ძაბვა, დენი და ა.შ.) გარდაიქმნება დისკრეტული რიცხვების თანმიმდევრობაში და შემდეგ ხდება მათი მათემატიკური გარდაქმნები. ტრანსფორმირებული დისკრეტული სიგნალის (რიცხვების თანმიმდევრობა) უკუგარდაქმნით შესაძლებელია საწყისი სიგნალის აღდგენა.

4.1 ანალოგური, დისკრეტული და ციფრული სიგნალები

საწყისი ფიზიკური სიგნალი წარმოადგენს უწყვეტ ფუნქციას, რომლებიც განსაზღვრული არიან დროის მთელ დიაპაზონში და მათ ანალოგური სიგნალები ეწოდებათ. ანალოგური სიგნალის თამიმდევრულ ანათვლებში გარდაქმნის პროცეს დისკრეტიზაცია ეწოდება, ხოლო ასეთი გარდაქმნის შედეგს - დისკრეტული სიგნალი.

ანალოგურ სიგნალში ანათვლები (გაზომვები) აიღება რაღაც Δt დროს თანაბარ ინტერვალებში, რომელსაც დისკრეტიზაციის პერიოდი ანუ დისკრეტიზაციის ინტერვალი ეწოდება. თუ დისკრეტული სიგნალის ანათვლებს შორის დრო Δt (წმ)-ის ტოლია, მაშინ დისკრეტიზაციის სიჩქარე ტოლია $1/\Delta t$ (ანათვალი წამში) და მას სიგნალის დაქვანტვის ანუ დისკრეტიზაციის სიხშირეს უწოდებენ, ე.ი დისკრეტიზაციის სიხშირე ტოლია:

$$f_d = \frac{1}{\Delta t} \quad (\text{3.5}).$$

შესაბამისი კუთხური სიხშირე ტოლია $\omega_d = 2\pi/\Delta t$.

საწყისი ინფორმაციის შენახვის და აღდგენისათვის დისკრეტიზაციის სიხშირე მინიმუმ მეტი უნდა იყოს სიგნალის მაქსიმალურ სიხშირეზე. ე. ი. $f_d \geq 2f_{\max}$. სხვა სიტყვებით რომ ვთქვათ f_{\max} სიხშირის ერთ პერიოდზე უნდა იყოს აღებული (გაზომილი) მინიმუმ მრი ანათვალი. აქედან გამომდინარე, დისკრეტიზაციის ინტერვალი უნდა აკმაყოფილებდეს შემდეგ პირობას:

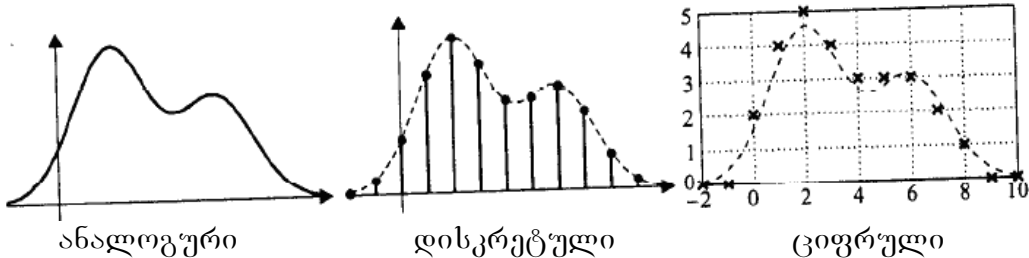
$$\Delta t \leq \frac{1}{2f_{\max}} \quad (4.1)$$

პრაქტიკულ კვლევებში ჩვენ საქმე გვაქვს რეალურ პროცესებთან, რომლებსაც შეიძლება გააჩნდეს განუსაზღვრული სპექტრული სიმკვრივე, ამიტომ ზემოდ მოყვანილ ფორმულაში გამოყენება სიგნალის f_{\max} მაქსიმალური სიხშირის მიახლოებითი მნიშვნელობა. აქედან გამომდინარე, დისკრეტიზაციის სიხშირეს ჩვეულებრივ იღებენ 3–5 ჯერ მეტ მნიშვნელობას. ე. ი. $f_d \geq (3-5)f_{\max}$ ანუ

$$\Delta t \leq \frac{1}{(3-5)f_{\max}} .$$

კომპუტერში სიგნალის ანათვლები წარმოდგენილია ორობით სისტემაში (ე. ი. ნულისა და ერთის კობინაციებით). აქედან გამომდინარე, ანათვლები ღებულობები მხოლოდ სასრული სიმრავლის მნიშვნელობებს და შესაბამისად სიგნალის წარმოდგენისას აუცილებელი ხდება მნიშვნელობების დამრგვალება. სიგნალის ანათვლების რიცხვებში გარდაქმნის პროცესს დონით დაქვანტვა ეწოდება, ხოლო ამ დროს წარმოქმნილ დამრგვალების ცდომილებას – დაქვანტვის ცდომილება.

დროით დისკრეტულ სიგნალს, რომელიც არ არის დონით დაქვანტული, ეწოდება დისკრეტული სიგნალი. სიგნალს, რომელიც დროით დისკრეტულია და დონით დაქვანტვული, ეწოდება ციფრული სიგნალი. განსხვავება ანალოგურ, დისკრეტულ და ციფრულ სიგნალებს შორის წარმოადგენილია შემდეგ ნახაზზე.

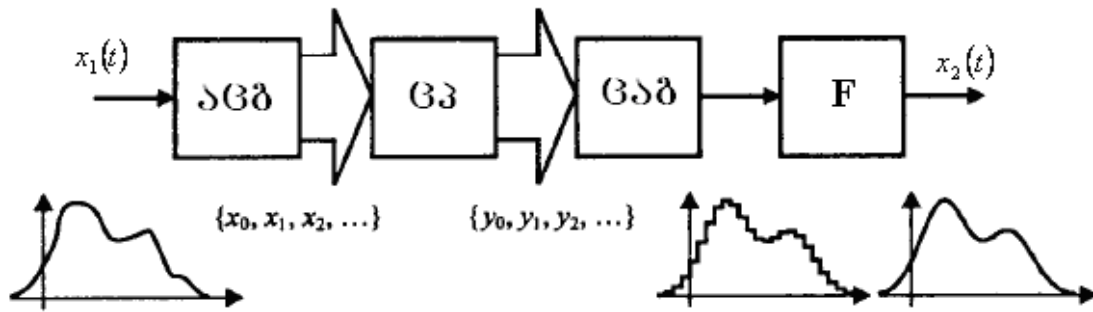


გამოთვლითი სისტემები, რომლებიც განკუთვნილნი არიან სიგნალის დამუშავებაზე, ორიენტირებული არიან მხოლოდ ციფრულ სიგნალებზე.

4.2 ანალოგურ-ციფრული და ციფრულ - ანალოგური გარდაქმნები

სიგნალების ციფრული დამუშავების განზოგადებული სტრუქტურული სქემა წარმოდგენილია შედეგ ნახაზზე:

ა. ყუბანეიშვილი ბიოსიგნალების ციფრული დამუშავება



ნახ. 4.1

მოწყობიილობის შესავალს მიეწოდება $x_1(t)$ ანალოგური სიგნალი. ანალოგურ – ციფრული გარდამქმნელის (აცბ) საშუალებით ხდება სიგნალის დისკრეტიზაცია და დაქვანტვა. ზოგადად ეს ორი პროცესი – დისკრეტიზაცია და დაქვანტვა – წარმოადგენენ დამოუკიდებელ პროცესებს, მაგრამ, როგორც წესი, ისინი სრულდებიან ერთ მიკროსქემაში.

აცბ გამოსავალ სიგნალს წარმოადგენს x_0, x_1, x_2, \dots . რიცეპტის თანმიმდევრობა, რომელიც მიეწოდება ციფრულ პროცესორს, სადაც ხდება მათი შესაბამისი დამუშავება. კერძოდ, პროცესორი ასრულებს სხვადასხვა მათემატიკურ თპერაციებს. პროცესორის მუშაობის შედეგს წარმოადგენს რიცხვების ახალი თანმიმდებრობა y_0, y_1, y_2, \dots , რომლებიც წარმოადგენენ გამოსავალი სიგნალის ანალოგებს. ამ თანმიმდევრობის საშუალებით შესაძლებელია ციფრულ-ანალოგური გარდაქმნელის (ცაბ) საშუალებით მოვახდინოთ საწყისი (შემომავალი) სიგნალის აღდგენა. ცაბის გამოსავალზე ვდებულობთ საფეხუროვანი ფორმის სიგნალს, რომელიც F ფილტრის საშუალებით შეგვიძლია წარმოვადგინოთ მდორედ ცვალებად სიგნალად.

4.3 ნაიკვისტის სიხშირე

სიგნალის დისკრეტიზაციას ყოველთვის მივყევართ საწყისი ინფორმაციის ნაწილის დანაკარგამდე, რაც გამოიხატება დისკრეტიზირებული სიგნალის აღდგენისას საწყისი სიგნალის ფორმის დამახინჯებაში.

იმისათვის, რომ ანალოგური სიგნალი ზუსტად იყოს დისკრეტიზირებული მას არ უნდა გააჩნდეს სიხშირე, რომელიც დისკრეტიზაციის სიხშირის ნახევარზე მეტი იქნება. ეს არის ნაიკვისტის სიხშირე f_N . ე. ი.

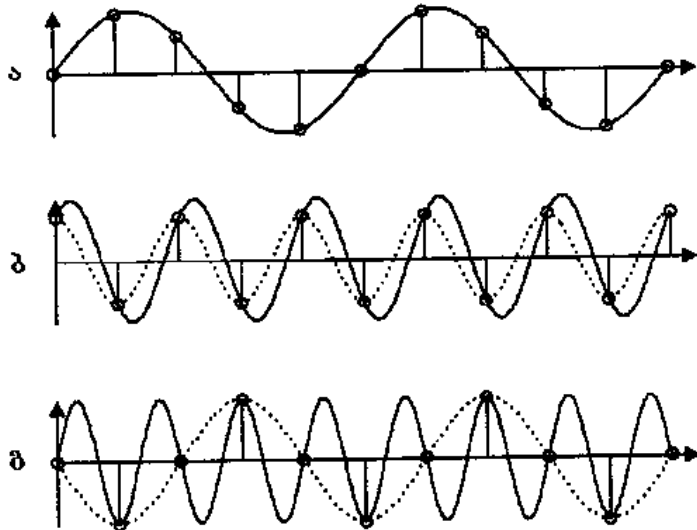
$$f_N = \frac{1}{2\Delta t} = \frac{f_d}{2} .$$

შენონ-კოტელნიკოვის თეორემის თანახმად, თუ ანალოგური სიგნალის $x(t)$ რეალიზაციას გააჩნია ფინიტური (შეზღუდული) სპექტრი, მაშინ დისკრეტული სიგნალი შეგვიძლია ცალსახად აღვადგინოთ დანაკარგვების გარეშე თუკი გამოვიყენებოთ დისკრეტიზაციის სიხშირეს, რომელიც გაორმაგებული ნაიკვისტის სიხშირეზე მეტია, ე. ი. $f_d \geq 2f_N$.

აქედან გამომდინარე, ყველაზე დიდი სიხშირე, რომელიც შესაძლებელია დისკრეტიზაციის $1/\Delta t$ სიჩქარით გამოყოფა არის ნაიკვისტის სიხშირე $1/2\Delta t$ (პც). სიგნალის უფრო მაღალი სიხშირეები $[0, 1/2\Delta t]$ პც დიაპაზონში არ განსხვავდებიან ამავე დიაპაზონის დაბალი სიხშირეებისაგან. ე. ი. ხდება მაღალი

პ. ყუბანევიშვილი ბიოსიგნალების ციფრული დამუშავება

სიხშირეების ზედდება დაბალ სიხშირეებზე. ამრიგად, ნაკვისტის სიხშირე წარმოადგენს ზღვრულ ანუ ზედდების სიხშირეს. ამ შეზღუდვის ახსნა შესაძლებელია ქვემოდ მოყვანილი ნახაზის საშუალებით.



ნახ. 4.2

განვიხილოთ სამი შემთხვევა.

1. თუ ჰარმონიული სიგნალის სიხშირე ნაკვისტის სიხშირეზე ნაკლებია, მაშინ დისკრეტული ანათვლები ანალოგური სიგნალის აღდგენის საშუალებას იძლევა (ნახ. 4.2ა).

2. თუ ჰარმონიული სიგნალის სიხშირე ნაკვისტის სიხშირის ტოლია, მაშინ დისკრეტული ანათვლები საშუალებას იძლევა აღვადგინოთ ანალოგური სიგნალი იგივე სიხშირით, მაგრამ აღდგენილი სიგნალის ამპლიტუდა და ფაზა (ნახაზზე ნაჩვენებია წყვეტილი ხაზებით) შეიძლება დამახინჯებული იყოს (ნახ. 4.2ბ). უარეს შენთხვევაში სინუსოიდის ყველა დისკრეტული ანათვლები შეიძლება ნულის ტოლი იყოს.

3. თუ ჰარმონიული სიგნალის სიხშირე ნაკვისტის სიხშირეზე მეტია, მაშინ დისკრეტული ანათვლებით აღდგენილი სიგნალი (წყვეტილი ხაზები) იქნება სხვა სიხშირის ჰარმონიული რხევა (ნახ. 4.2გ). ამ ეფექტს ეწოდება ცრუ სიხშირეების წარმოქმნის ეფექტი.

ცრუ სიხშირეების წარმოქმნის თავიდან აცილებისთვის ერთადერთ პრაქტიკულ მეთოდს წარმოადგენს ანალოგურ-ციფრული გარდაქმნამდე საწყის სიგნალში ფილტრის საშუალებით ყველა იმ სიხშირეების ჩახშობა, რომელიც ნაკვისტის სიხშირეზე მეტია. აქედან გამომდინარე Δt , ისე უნდა შევარჩიოთ, რომ ნაკვისტის სიხშირე იყოს საკმაოდ მაღალი.

შენონის თეორემის თანახმად, სიგნალის დაქვანტვის სიხშირე უნდა აკმაყოფილებდეს შემდეგ უტოლობას:

$$f_d \leq \frac{1}{2\Delta t}$$

პრაქტიკაში დაქვანტვის სიხშირე შეირჩევა შემდეგი ფორმულით:

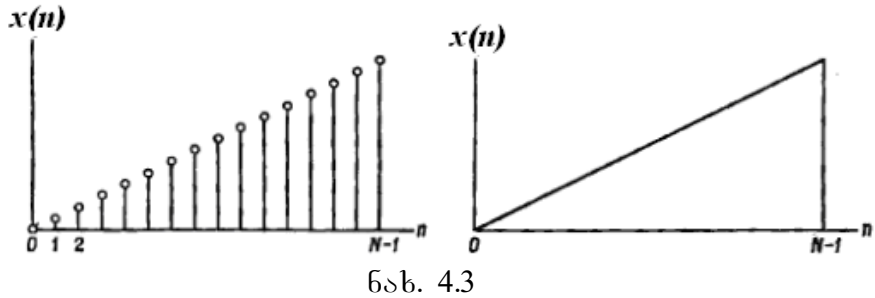
$$f_d \leq \frac{1}{(3-5)\Delta t}$$

ა. ყუბანეიშვილი ბიოსიგნალების ციფრული დამუშავება

ამრიგად, რადგან ნებისმიერ ანალოგურ სიგნალს გააჩნია შეზღუდული სპექტრი, ამიტომ თუ სწორად შევარჩევთ დისკრეტიზაციის ინტერვალს, მაშინ საწყისი ანალოგური სიგნალი შეიძლება შეცვალოთ შესაბამისი დისკრეტული სიგნალით.

4.4 დისკრეტული თანმიმდევრობების წარმოდგენის საშუალებები

როგორც ვიცით, ანალოგურ-ციფრული გარდაქმნელის საშუალებით ანალოგური სიგნალი გარდაიქმნება დისკრეტულ სიგნალად. მათემატიკურად დისკრეტული სიგნალი წარმოდგინდება უწყვეტი თანმიმდევრული $x(n)$ ან $x(n\Delta t)$ ან $\{X\} = (x_0, x_1, x_2, \dots, x_n)$ რიცხვების ერთობლიობით, სადაც n – ანათვლების რაოდენობაა, Δt – დისკრეტიზაციის ინტერვალი. ხშირად მეტად სასარგებლობა და ინფორმატიულია თანმიმდევრობის გრაფიკული სახით წარმოდგენა. ამისათვის შესაძლებელია გამოვიყენოთ ორი მეთოდი: პირველი, როცა თითოეული ანათვალი წარმოდგენილია გრაფიკულად და მეორე, როცა მათი მომვლები, ისე როგორც ეს შემდეგ ნახაზზეა ნაჩვენები:



ნახ. 4.3

განვიხილოთ პრაქტიკაში ხშირად გამოყენებადი ზოგიერთი თანმიმდევრობები:

1. ერთეულოვანი იმპულსი (ერთეულოვანი ანათვალი)

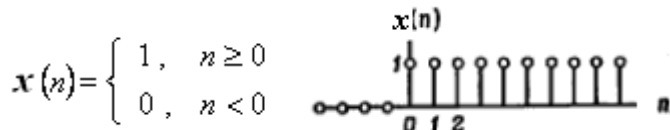
$$x(n) = \begin{cases} 1, & n = 0 \\ 0, & n \neq 0 \end{cases}$$

დისკრეტულ სისტემებში ერთეულოვანი იმპულსი თამაშობს იგივე როლს, რასაც დელტა-ფუნქცია ანალოგურ სიგნალებში. მათ შორის განსხვავება ის არის, რომ პირველი წარმოდგენს ფიზიკურად რეალიზებადს, ხოლო მეორე განიხილება, როგორც განზოგადოებული ფუნქცია.

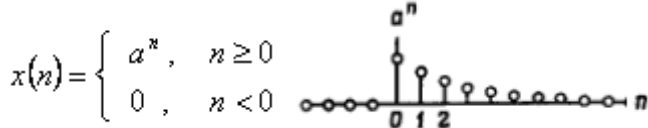
2. დაყოვნებული ერთეულოვანი იმპულსი.

$$x(n-m) = \begin{cases} 1, & n = m \\ 0, & n \neq m \end{cases}$$

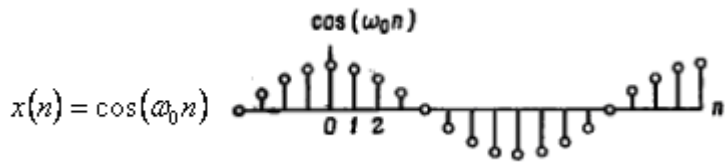
3 ერთეულოვანი ნახტომი.



4. კლებადი ექსპონენტა.



5. კოსინუსოიდა.



6. კომპლექსური ექსპონენტა

$$e^{-j\omega n} = \cos(\omega n) - j \sin(\omega n)$$

რადგან ეს თანმიმდევრობა კომპლექსურია, ამიტომ მისი გრაფიკული წარმოდგენისათვის საჭიროა ნამდვილი და წარმოსახვითი მდგენელების ცალკალ წარმოდგენა.

7. ნებისმიერი სახის თანმიმდევრობა:

ნებისმიერი სახის თანმიმდევრობა ადვილი წარმოსადგენია ზემოთ განხილული ძირითადი თანმიმდევრობების, კერძოდ დაყოვნებული ერთეულოვანი იმპულსის საშუალებით. თუ დაყოვნებულ ერთეულოვან იმპულს აღვნიშნავთ $\delta(n-m)$ სიმბოლოთი, მაშინ მოცემული $x(0), x(1), x(2), \dots, x(n)$ თანმიმდევრობა შეიძლება ასე წარმოვადგინოთ:

$$x(n) = \sum_{m=-\infty}^{\infty} x(m) \delta(n-m) \quad (4.1)$$

მართლაც, როცა $n = 1$, მაშინ $x(1) = x(1)$, რადგან

$$\delta(1-m) = \begin{cases} 1, & m=1 \\ 0, & m \neq 1 \end{cases}$$

$$n = 2, \quad \delta(2-m) = \begin{cases} 1, & m=2 \\ 0, & m \neq 2 \end{cases} \quad x(2) = x(2) \quad \text{და ა.შ.}$$

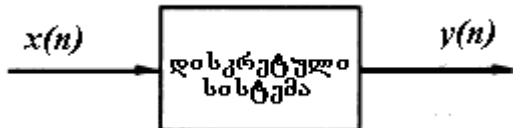
ნებისმიერი სახის თანმიმდევრობის ასეთი სახით წარმოდგენა ფართოდ გამოიყენება წრფივი მუდმივპარამეტრიანი დისკრეტული სისტემების აღსაწერად, ციფრული ფიკტრების სინთეზის დროს და ბევრ სხვა შემთხვევებში.

4.5 წრფივი დისკრეტული სისტემები

დისკრეტული სიგნალების დამუშავების თეორია ეფუძნება წრფივი დისკრეტული სისტემების თეორიას. აქედან გამომდინარე, განვიხილოთ წრფივი მუდმივპარამეტრიანი დისკრეტული სისტემა.

ა. ყუბანეიშვილი ბიოსიგნალების ციფრული დამუშავება

ზოგადად, დისკრეტული სისტემა ფაქტიურად წამოადგენს ერთი თანმიმდევრობის (რომელსაც შემავალს უწოდებენ) მეორე თანმიმდევრობაში (რომელსაც გამოსავალი ეწოდება) გარდაქმნის ალგორითმს. ე.ი. გვაქვს შემდეგი ბლოკ-სქემა:



სადაც $x(n)$ შემავალი, ხოლო $y(n)$ გამომავალი თანმიმდევრობებია, რომლებიც ფუნქციონალურად ასე არიან დამოკიდებულნი: $y(n) = F[x(n)]$, სადაც F გრდაქმნის ოპერატორია.

ფიზიკურ დისკრეტულ სისტემას ეწოდება **იდეალური** თუ იგი ფიზიკურად რეალიზებადია; გააჩნია მუდმივი პარამეტრები; წრფივია და მდგრადი.

დისკრეტულ სისტემას ეწოდება **ფიზიკურად რეალიზებადი**, როცა საწყისი ნულოვანი პირობების დროს სისტემის რეაქცია არ შეიძლება წარმოიშვას მანამ სანამ არ მოხდება სისტემაზე ზემოქმედება ანუ სისტემის რეაქცია დამოკიდებულია მხოლოდ მიმდინარე და წინა ზემოქმედებებზე და არ არის დამოკიდებული შემდგომი ზემოქმედების მნიშვნელობაზე.

დისკრეტულ სისტემას გააჩნია მუდმივი პარამეტრები თუ მათი ძირითადი თვისებები დროში არ იცვლებიან. ასეთი სისტემა დროით ინვარიანტულია, რომლისთვისაც დროში დაყოვნებული (ან დაძრული) შემომავალი თანმიმდევრობა უნდა იწვევდეს დროში დაყოვნებულ ექვივალენტურ გამომავალ თანმიმდევრობას. მაგალითად, თუ სისტემის შესასვლელს მივაწვდით $x(n)x(n+k)$ სიგნალს და სისტემის გამოსავალზე მივიღებთ $y(n)y(n+k)$ სიგნალს, მაშინ სისტემა დროით ინვარიანტულია. ეს პირობა უნდა სრულდებოდეს ნებისმიერი კ სიდიდისათვის და ნებისმიერი სიგნალისათვის. ასეთ დისკრეტულ სისტემას **სტაციონარული** ეწოდება.

სისტემა **წრფივია**, თუ მისი რეაქცია ადიტიურია და ერთგვაროვანი. ტერმინი “ადიტიურობა” ნიშნავს იმას, რომ შემავალი სიგნალების ჯამის რეაქცია ტოლი უნდა იყოს თოთოეული სიგნალის რეაქციების ჯამისა. ე.ი. თუ $f(x)$ აღვნიშნავთ შემავალი სიგნალის რეაქციას, მაშინ

$$f(x_1 + x_2 + \dots + x_n) = f(x_1) + f(x_2) + \dots + f(x_n).$$

ტერმინი “ერთგვაროვანი” ნიშნავს იმას, რომ სიტემის შემავალი სიგნალის მუდმივ c სიდიდეზე ნამრავლის რეაქცია ტოლია ამ მუდმივი სიდიდისა და სიგნალის რეაქციის ნამრავლისა ე.ი. $f(cx) = cf(x)$.

პრაქტიკაში პარამეტრების მუდმივობა რეალურ ფიზიკურ სისტემებში ხორციელდება. რაც შეეხება წრფივობას, აქ საჭმე უფრო რთულდა. ცნობილია, რომ ყველა ფიზიკური სისტემა არაწრფივია როცა შემავალი სიგნალი ღებულობს ექსტრემალურ მნიშვნელობებს. სიტუაცია რთულდება, როცა არაწრფიობის ეფექტი დროის გარკვეული მომენტიდან იწყებს თანდათანობით გამომდავნებას. მიუხედავად ამისა, ბევრი რეალური სისტემა შეიძლება ჩავთვალოთ წრფივად, ყოველ შემთხვევაში შემავალი სიგნალის ცვლებადობის გარკვეულ ინტერვალში.

მაგალითი 1. განვიხილოთ მარტივი სისტემა, რომელსაც გააჩნია კვადრატული რეაქცია და მისი გამოსავალ სიგნალს აქვს შემდეგი სახე:

ა. ყუბანეიშვილი ბიოსიგნალების ციფრული დამუშავება

$$y(n) = a[x_1(n)]^2$$

მივაწოდოთ სისტემის შესახლელს ნებისმიერი ორი $x_1(n)$ და $x_2(n)$ თანმიმდევრობა და განვსაღზვროთ მათი შესაბამისი გამოძახილები. ადიტურობის თვისებიდან გამომდინარე ნებისმიერი ორი შემთხვევაში სიგნალისათვის სისტემა უნდა აკმაყოფილებდეს შემდეგ პირობას:

$$y(n) = ax_1^2(n) + ax_2^2(n)$$

ჩვენ შემთხვევაში გვექნება:

$$y(n) = a[x_1(n) + x_2(n)]^2 = ax_1^2(n) + 2ax_1(n)x_2(n) + x_2^2(n)$$

აქედან გამომდინარე, ადიტურობის პირობა დარღვეულია.

დაუშვათ c ნებისმიერი სიდიდის მუდმივი სიდიდეა, მაშინ ერთგვაროვნების თვისებიდან გამომდინარე უნდა გვქონდეს: $y(n) = acx^2(n)$, მაგრამ სინამდვილეში გვექნება:

$$y(n) = a[cx(n)]^2 = ac^2x^2(n)$$

აქედან გამომდინარეობს, რომ სისტემა არაწრფივია, რადგან იგი ვერ აკმაყოფილებს ადიტურობის და ერთგვაროვნების თვისებებს.

მაგალითი 2. განვიხილოთ სისტემა, რომელიც ადიტერება შემდეგი განტოლებით:

$$y(n) = \sum_{k=0}^n x(k),$$

რომელსაც სუმატორი ეწოდება. მივაწოდოთ სუმატორის შესახლელს ნებისმიერი ორი $x_1(n)$ და $x_2(n)$ თანმიმდევრობა და განვსაზღვროთ მათი შესაბამისი გამოძახილები

$$y_1(n) = \sum_{k=0}^n x_1(k), \quad y_2(n) = \sum_{k=0}^n x_2(k).$$

თუ სუმატორის შესახლელს მივაწვდით $x_3(n) = ax_1(n) + bx_2(n)$ სიგნალს, მაშინ ადიტურობის (სუპერპოზიციის) პრინციპის თანახმად ნებისმიერი a და b კოეფიციენტებისათვის სუმატორის გამოსავალზე უნდა მივიღოთ $y_3(n) = ay_1(n) + by_2(n)$ სიგნალი. მართლაც

$$y_3(n) = \sum_{k=0}^n x_3(k) = \sum_{k=0}^n (ax_1(n) + bx_2(n)) = a \sum_{k=0}^n x_1(k) + b \sum_{k=0}^n x_2(k) = ay_1(n) + by_2(n).$$

ამრიგად, მიღებული შედეგი აკმაყოფილებს სუმატორის ადიტურობის პირობას.

შევამოწმოთ ერთგვაროვნების ანუ სტაციონარობის პირობა. დაუშვათ სუმატორს მიეწოდება $x_1(n) = x(n - n_0)$ სიგნალი. განვსაზღვროთ სუმატორის გამოსავალი $y(n - n_0)$ და $y_1(n)$ სიგნალი და შემდეგ მოვახდინოთ მათი შედარება. სუმატორის განსაზღვრიდან გამომდინარე გვექნება:

$$y(n - n_0) = \sum_{k=0}^{n-n_0} x(k); \quad y_1(n) = \sum_{k=0}^n x_1(k) = \sum_{k=0}^n x(k - n_0).$$

თუ აჯამვის პარამეტრს შევცვლით $k_1 = k - n_0$, მაშინ მივიღებთ:

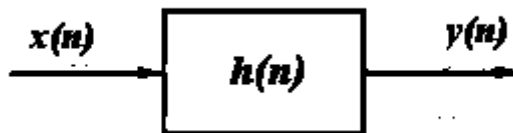
$$y_1(n) = \sum_{k_1=0}^{n-n_0} x(k_1) = y(n - n_0)$$

ე.ო. სრულდება ერთგვაროვნების (სტაციონარულობის) პირობა. ამრიგად, სუმატორი აკმაყოფილებს როგორც ადიტურობის (სუპერპოზიციის), ასევე

სტაციონარულობის პირობებს. აქედან გამომდინარე, სუმატორი წრფივი დისკრეტული სისტემა.

დისკრეტული სისტემა შეიძლება აღწერილი იყოს დროით სივრცეში იმპულსური მახასიათებლით (ნაკეცი ან სხვაობითი განტოლება), ხოლო სიხშირულ სივრცეში – სიხშირული მახასიათებლით (გადაცემის ფუნქცია).

იმპულსური მახასიათებელი. მუდმივპარამეტრიანი წრფივი დისკრეტული სისტემების დინამიური მახასიათებლები შეიძლება აღიწეროს $h(n)$ იმპულსური მახასიათებლით ანუ როგორც მას ხშირად უწოდებენ **იმპულსური გადაფანის ფუნქციით**, რომელიც წარმოადგენს სისტემის რეაქციას ერთეულოვანი იმპულსის (დელტა-ფუნქციის) ტიპის შეშფოთებაზე.



ცნობილია, რომ ერთეულოვანი იმპულსის საშუალებით ნებისმიერი სახის თანმიმდევრობა შეიძლება წარმოვადგინოთ (4.1) ფორმულის საშუალებით. რადგან $h(n)$ წარმოადგენს $\delta(n)$ თანმიმდევრობის გამოძახილს და თუ სისტემას გააჩნია მუდმივი პარამეტრები, მაშინ $h(n-m)$ იქნება $\delta(n-m)$ თანმიმდევრობის გამოძახილი. სისტემის წრფივობიდან გამომდინარე $x(m)\delta(n-m)$ თანმიმდევრობის გამოძახილი უნდა იყოს $x(m)h(n-m)$. ამიტომ $x(n)$ თანმიმდებრობის გამოძახილი იქნება:

$$y(n) = \sum_{m=-\infty}^{\infty} x(m)h(n-m)$$

თუ ამ გამოსახულებაში ცვლადებს შევცვლით, მაშინ მივიღებთ:

$$y(n) = \sum_{m=-\infty}^{\infty} h(m)x(n-m) \quad (4.2)$$

ამრიგად, $h(n)$ თანმიმდევრობა მთლიანად აღწერს მუდმივპარამეტრიან წრფივ დისკრეტულ სისტემას. როგორც ვხედავთ, (4.2) გამოსახულება ნაკეცს წარმოადგენს. ნაკეცი შეიძლება წარმოვადგინოთ შემოკლებული სახით:

$$y(n) = h(n) \otimes x(n-m)$$

იმისათვის, რომ მუდმივპარამეტრიანი წრფივი სისტემა იყოს ფიზიკურად რეალიზებადი, საჭიროა რომ სისტემა რეაგირებდეს მხოლოდ შემავალი სიგნალის წარსულ მნიშვნელობებზე. ეს იმას ნიშნავს, რომ $h(n)=0$, როცა $n < 0$.

მუდმივპარამეტრიანი წრფივი დისკრეტული სისტემა მდგრადია თუ მისი შემავალი თანმიმდევრობის ნებისმიერი შეზღუდვა ვრცელდება სისტემის გამოსავალ თანმიმდევრობაზეც. სისტემის მდგრადობის აუცილებელ და საკმარის პირობას წარმოადგენს შემდეგი უტოლობის შესრულება:

$$\sum_{n=-\infty}^{\infty} |h(n)| < \infty .$$

გარდა ამისა, სისტემა მდგრადია, როცა მისი იმპულსური მახასიათებელი კლებადი ექსპონენტულია, ხოლო სისტემა არამდგრადია, თუკი მისი იმპულსური მახასიათებელი ზრდადი ექსპონენტულია.

ა- ფუბანენშვილი ბიოსიგნალების ციფრული დამუშავება

სიხშირული მახასითებელი. სიხშირულ სიგრცეში მუდმივპარამეტრიანი წრფივი დისკრეტული სისტემა შეიძლება აღიწეროს სიხშირული მახასითებლით $H(\omega)$, რომელიც წარმოადგენ იმპულსური მახასითებლის ფურიეს გარდაქმნას

$$H(\omega) = \sum_{n=0}^{\infty} h(n) e^{-j\omega n}.$$

მართლაც თუ სისტემის შემავალ თანმიმდევრობას გააჩნია შემდეგი სახე:

$$x(n) = e^{j\omega n},$$

მაშინ სისტემის გამოსავალზე გვექნება:

$$y(n) = \sum_{n=0}^{\infty} h(m)x(n-m) = \sum_{m=0}^{\infty} h(m)e^{j\omega(n-m)} = e^{j\omega n} \sum_{v=0}^{\infty} h(m)e^{-j\omega m} = x(n)H(\omega),$$

სადაც

$$H(\omega) = \sum_{n=0}^{\infty} h(n) e^{-j\omega n}$$

ე.ო. სიხშირული მახასითებელი წარმოადგენს იმპულსური მახასითებლის ფურიეს გარდაქმნას. აქ აჯამვა ხდება ნულიდან, რადგან $\tau \omega < 0$, $h(m) = 0$.

ფიზიკური სისტემის დინამიური მახასითებლების აღწერა სიხშირული მახასითებლით მეტად ხელსაყრელია, რადგან სისტემის მახასითებლები წარმოდგენილნი არიან სიხშირულ არეში, რაც პრაქტიკული კვლევებისათვის მეტად მნიშვნელოვანია. სიხშირული $H(\omega)$ მახასითებელს ხშირად გადაცემ ფუნქციას უწოდებენ.

როგორც წესი, სიხშირული მახასითებელი კომპლექსური ფუნქციაა

$$H(\omega) = H_R(\omega) - jH_I(\omega),$$

ამიტომ უფრო მიზანშეწონილია თუ მას წარმოვადგენთ პოლარულ კოორდინატებში:

$$H(\omega) = |H(\omega)| e^{-j\phi(\omega)},$$

სადაც

$$|H(\omega)| = \sqrt{H_R^2(\omega) + H_I^2(\omega)} \quad \Phi(\omega) = \arctg \left[\frac{H_I(\omega)}{H_R(\omega)} \right].$$

$H(\omega)$ მოდულს ამპლიტუდური მახასითებელი ეწოდება, ხოლო $\Phi(\omega)$ – ფაზური მახასითებელი.

განვიხილოთ სიხშირული მახასითებლის ზოგიერთი თვისება. იგი წარმოადგენს პერიოდულ ფუნქციას 2π პერიოდით. ამიტომ ფუნქციის მთლიანი აღწერისათვის საკმარისია სიხშირული მახასითებელი განისაზღვროს მხოლოდ **[0; 2π]** ინტერვალისთვის.

თუ იდეალური სისტემის შესავალს მიეწოდება ω_0 სიხშირის მქონდე პარმონიული რხევა, მაშინ სისტემის გამოსავალზეც გვექნება იგივე სიხშირის მქონდე პარმონიული რხევა. გამოსავალი სიგნალის ამპლიტუდის ფარდობა შემავალი სიგნალის ამპლიტუდასთან $|H(\omega)|$ ამპლიტუდური მახასითებლისა, ხოლო გამოსავალ და შემავალ სიგნალებს შორის ფაზური ძვრა მოცემულია $\Phi(\omega)$ ფაზუსი მახასითებლით.

მუდმივპარამეტრიანი წრფივი დისკრეტული სისტემის სიხშირულ, ამპლიტუდურ და ფაზურ მახასიათებლებს გააჩნიათ სიმეტრიულობის თვისებები ე.ო.

$$H(-\omega) = H^*(\omega)$$

$$|H(-\omega)| = |H(\omega)|$$

$$\Phi(-\omega) = -\Phi(\omega)$$

თუ გვაქვს მიმდევრობით ჩართული ორი სისტემა $H_1(\omega)$ და $H_2(\omega)$ სიხშირულ მახასიათებლებით და სისტემებს შორის არ არსებობს უძუკავშირი, მაშინ ახალი სისტემის სიხშირულ მახასიათებელს აქვს შემდეგი სახე:

$$H(\omega) = H_1(\omega)H_2(\omega)$$

$$|H(\omega)| = |H_1(\omega)||H_2(\omega)|$$

$$\Phi(\omega) = \Phi_1(\omega) + \Phi_2(\omega)$$

ე.ო. ორი სისტემის მიმდევრობითი შეერთების დროს ამპლიტუდური მახასიათებლები გადამრავლდებიან, ხოლო ფაზური იკრიბებიან.

უნდა გვახსოვდეს, რომ მუდმივპარამეტრიანი წრფივი სისტემის სიხშირული მახასიათებელი დამოკიდებულია მხოლოდ სიხშირეზე და არ არის დამოკიდებული არც დროზე და არც შემავალი სიგნალის სახეზე. არაწრფივი სისტემის შემთხვევაში $H(\omega)$ ფუნქცია შეიძლება დამოკიდებული იყოს შემავალ სიგნალზე. გარდა ამისა, თუ სისტემის პარამეტრები არ არიან მუდმივი, მაშინ იგი დამოკიდებულია დროზეც.

4.6 ფურიეს დისკრეტული გარდაქმნა

ფურიეს დისკრეტული გარდაქმნა (ფდგ) წარმოადგენს სიგნალების ციფრული დამუშავების ერთ-ერთ ყველაზე უფრო გავრცელებულ და მძლავრ პროცედურას. ფდგ არის მათემატიკური პროცედურა, რომელიც გამოიყენება დისკრეტული სიგნალის პარმონიული ან სიხშირული სტრუქტურების დასადგენად. ფდგ გამოიყენება ნებისმიერი დისკრეტული თანმიმდევრობისათვის მიუხედავად იმისა თუ რას წარმოადგენს ეს თანმიმდევრობა.

თუ $x(t)$ რეალიზაცია წარმოადგენილია დისკრეტული ანათვლების სახით $x(n\Delta t)$, $n = 1, 2, \dots, N$ დისკრეტიზაციის Δt ინტერვალით, მაშინ რეალიზაციის T სიგრძე (პერიოდი) დისკრეტული სიგნალის N განზომილებასთან არის შემდეგ დამოკიდებულებაში: $T = \Delta t N$. აქედან გამომდინარეობს, რომ ნაიკვესტის სიხშირე ტოლია:

$$f_N = \frac{1}{2\Delta t} ,$$

ხოლო ფუნდამენტალური სიხშირე

$$f_0 = \frac{1}{\Delta t N}$$

და შესაბამისად $\Delta f = f_0$. როგორც ცნობილია, ნებისმიერი დისკრეტული თანმიმდევრობა შეიძლება ასე წარმოვადგინოთ:

ა. ყუბანეიშვილი ბიოსიგნალების ციფრული დამუშავება

$$x(t) = \sum_{k=-\infty}^{\infty} x(k) \delta(t - kT).$$

რადგან სიგნალი პერიოდულია, ამიტომ მისი სპექტრიც უნდა იყოს პერიოდული, რომელიც ასევე აღიწერება უსასრულო რაოდენობის N რიცხვებით.

განვიხილოთ პერიოდული დისკრეტული სიგნალის სპექტრის გამოთვლის პროცერურა. რადგან სიგნალი პერიოდულია, ამიტომ გავშალოთ იგი ფურიეს მწერივად, რომლის კოეფიციენტები განისაზღვრებან ჩვენთვის ცნობილი (2.2) გამოსახულებით. ამ ფორმულიდან გამომდინარე გვექნება:

$$X(n) = \frac{1}{NT} \int_0^{NT} x(t) e^{-j\omega_0 t} dt = \frac{1}{NT} \int_0^{NT} \sum_{k=0}^{N-1} x(k) \delta(t - kT) e^{-j\omega_k t} dt = \frac{1}{NT} \sum_{k=0}^{N-1} x(k) \int_0^{NT} \delta(t - kT) e^{-j\omega_k t} dt .$$

როგორც ვიცით, სიხშირეთა მთელ დიაპაზონში დელტა-ფუნქციის სპექტრი მუდმივი სიდიდეა. გარდა ამისა, რადგან დელტა-ფუნქცია დაყოვნებულია kT სიდიდით, ამიტომ მისი სპექტრი დებულობს დამატებით $e^{-j k T \omega_0 n}$ მამრავლს. აქედან გამომდინარე გვექნება:

$$\begin{aligned} X(n) &= \frac{1}{NT} \sum_{k=0}^{N-1} x(k) \int_0^{NT} \delta(t - kT) e^{-j\omega_k t} dt = \frac{1}{NT} \sum_{k=0}^{N-1} x(k) e^{-j k T \omega_0 n} = \\ &= \frac{1}{NT} \sum_{k=0}^{N-1} x(k) e^{-j \omega_k k T} = \frac{1}{NT} \sum_{k=0}^{N-1} x(k) e^{-j \frac{2\pi k}{N}}. \end{aligned} \quad (4.3)$$

(4.3) გამოსახულებაში დროის რეალური მასშტაბი ფიგურირებს მხოლოდ $1/T$ მამრავლში. დისკრეტული თანმიმდევრობის განხილვისას ჩვეულებრივ იყენებენ ანათვლების რიგით ნომრებს, ამიტომ $1/T$ სიდიდე (4.3) გამოსახულებიდან შეგვიძლია გამოვრიცხოთ, ანუ ჩავთვალოთ დისკრეტიზაციის ინტერვალი ერთის ტოლი. მიღებულ გამოსახულებას

$$X(n) = \sum_{k=0}^{N-1} x(k) e^{-j \frac{2\pi k}{N}}, \quad n = 1, 2, \dots, N \quad (4.4)$$

ეწოდება ფურიეს დისკრეტული გარდაქმნა. არსებობს ფურიეს უკუ დისკრეტული გარდაქმნა

$$x(k) = \frac{1}{N} \sum_{n=0}^{N-1} X(n) e^{j \frac{2\pi k}{N}}, \quad k = 1, 2, \dots, N . \quad (4.5)$$

$X(n)$ ფუნქციის გამოთვლისას ირჩევენ სიხშირის შემდეგ დისკრეტულ მნიშვლეობებს:

$$n = \frac{k}{T} = \frac{k}{\Delta t N}, \quad k = 0, 1, 2, \dots, N$$

უნდა აღინიშნოს, რომ გარდაქმნა ერთგვაროვანია მხოლოდ $k = N/2$ მნიშვნელობამდე, ვინაიდან ამ წერტილს შეესაბამება ნაიკვისტის სიხშირე.

ვდგ შეგვიძლია წარმოვადგინოთ ამპლიტუდური და ფაზური სპექტრების სახით. ამპლიტუდური სპექტრი განისაზღვრება ფორმულით:

$$A(n) = |X(n)| = \sqrt{X_R^2(n) + X_I^2(n)},$$

ხოლო ფაზური სპექტრი:

$$\varphi(n) = \arctg \left[\frac{X_I(n)}{X_R(n)} \right],$$

ა. ფუბანეიშვილი ბიოსიგნალების ციფრული დამუშავება

სადაც $X_R(n)$ – სპექტრის რეალური, ხოლო $X_I(n)$ – წარმოსახვითი მდგენელებია.

4.7 ფურიეს დისკრეტული გარდაქმნის თვისებები

განვიხილოთ ფურიეს დისკრეტული გარდაქმნის ძირითადი თვისებები.

1. სპექტრის პერიოდულობა. პერიოდულ დისკრეტულ სიგნალს გააჩნია პერიოდული სპექტრი $X(k) = X(k+N)$. k და $(k+N)$ კომპონენტებისათვის ჩაგრინოთ ფურიეს დისკრეტული გარდაქმნა:

$$\begin{aligned} X(k) &= \sum_{n=0}^{N-1} x(n) e^{-j \frac{2\pi n k}{N}} \\ X(k+N) &= \sum_{n=0}^{N-1} x(n) e^{-j \frac{2\pi n k}{N}} e^{-j \frac{2\pi n N}{N}} = \sum_{n=0}^{N-1} x(n) e^{-j \frac{2\pi k n}{N}} e^{-j 2\pi n}. \end{aligned}$$

რადგან n მოელი რიცხვია, ამიტომ $e^{-j 2\pi n} = 1$. ე.ო. მივიღეთ:

$$X(k+N) = \sum_{n=0}^{N-1} x(n) e^{-j \frac{2\pi n k}{N}} = X(k).$$

ამრიგად, ფლგ შედეგი მეორდება N პერიოდით. ამას ხშირად ფლგ ციკლურ თვისებასაც უწოდებენ.

2. წრფივობა. ოუ $x_1(n)$ დისკრეტული თანმიმდევრობის ფლგ არის $X_1(n)$, ხოლო მეორე $x_2(n)$ თანმიმდებრობის $X_2(n)$, მაშინ ამ ორი დისკრეტული თანმიმდევრობის ჯამის ფლგ იქნება:

$$\begin{aligned} F[x_1(n) + x_2(n)] &= \sum_{n=0}^{N-1} [x_1(n) + x_2(n)] e^{-j \frac{2\pi n k}{N}} = \sum_{n=0}^{N-1} x_1(n) e^{-j \frac{2\pi n k}{N}} + \\ &+ \sum_{n=0}^{N-1} x_2(n) e^{-j \frac{2\pi n k}{N}} = X_1(k) + X_2(k) \end{aligned}$$

ე.ო. წრფივობის პირობა სრულდება.

3. თანმიმდევრობების ნაკეცი. როგორც ვიცით, ორი $x(n)$ და $h(n)$ თანმიმდევრობის ნაკეცი განისაზღვრება შემდეგი გამოსახულებით:

$$y(n) = \sum_{k=0}^{N-1} x(m) h(n-k)$$

განვხაზღვროთ ნაკეცის ფლგ

$$\begin{aligned} Y(k) &= \sum_{n=0}^{N-1} \left[\sum_{m=0}^{N-1} x(m) h(n-m) \right] e^{-j \frac{2\pi n k}{N}} = \sum_{m=0}^{N-1} x(m) \left[\sum_{n=0}^{N-1} h(n-m) e^{-j \frac{2\pi(n-m)k}{N}} \right] e^{-j \frac{2\pi m k}{N}} = \\ &= H(k) \sum_{m=0}^{N-1} x(m) e^{-j \frac{2\pi m k}{N}} = H(k) X(k) \end{aligned}$$

ამრიგად, დისკრეტული თანმიმდევრობების ნაკეცის ფლგ შეესაბამება თანმიმდევრობების სპექტრების ნამრავლს

4. სპექტრის სიმეტრიულობა. როგორც უპარ აღვნიშნეთ, დისკრეტული სიგნალის სპექტრი პერიოდულია. გარდა ამისა, სპექტრი ინარჩუნებს

სიმეტრიულობის თვისებას ე.ი. $X(N-k) = X(-k)$. ჩავწერთ $X(N-k)$ კომპონენტის ფლი:

$$X(N-k) = \sum_{n=0}^{N-1} x(n) e^{-j \frac{2\pi(N-k)n}{N}} = \sum_{n=0}^{N-1} x(n) e^{-j \frac{2\pi(-k)n}{N}} e^{-j2\pi n} = X(-k),$$

სადაც $e^{-j2\pi n} = 1$.

5. სიგნალის ენერგიის მუდმიობა. პარსაველის თეორემის თანახმად, სიგნალის საერთო ენერგია უნდა რჩებოდეს უცვლელი როგორც ფურიეს გარდაქმნამდე ასევე ფურიეს გარდაქმნის შემდეგაც. ე.ი. ადგილი აქვს შემდეგ ტოლობას:

$$\sum_{n=0}^{N-1} |x(n)|^2 = \frac{1}{N} \sum_{k=0}^{N-1} |X(k)|^2.$$

რადგან $|X(k)|^2$ ჯამი ყველა k -ს მნიშვნელობისათვის წარმოადგენს სიგნალის ენერგიას (ან საშუალო სიმძლავრეს, მიღებული სიგნალის სიგრძეზე გაყოფით), ამიტომ $|X(k)|^2$ წარმოადგენს სიგნალის სიმძლავრის სპექტრული სიმკვრივის ფუნქციას.

4.8 ფურიეს სწრაფი გარდაქმნა

ფურიეს დისკრეტული გარდაქმნის უშუალოდ გამოყენება მოითხოვს საკმაოდ დიდი რაოდენობის არითმეტიკულ ოპერაციებს, კერძოდ N^2 რაოდენობის კომპლექსური რიცხვების გამრავლებას და იგივე რაოდენობის შეკრების ოპერაციებს. აქ N დროითი მწერივის განზომილებაა. მეოცე საუკუნის 60 წლებში შეიქმნა ფურიეს სწრაფი გარდაქმნის (ზსბ) მეთოდები. ზსბ ეწოდება ალგორითმს, რომელის საშუალებით ხდება ფურიეს დისკრეტული გარდაქმნისათვის საჭირო არითმეტიკული ოპერაციების რაოდენობის მკვეთრი შემცირება. არსებობს ზსბ რამოდენიმე მეთოდი. ჩვენ განვიხილავთ ალგორითმს, რომელიც მოითხოვს საწყისი მონაცემების განზომილება ტოლი იყოს 2^p სიდიდისა, სადაც $p > 0$ და იგი მთელი რიცხვია.

ვსბ იდეა მდგომარეობს შემდეგში. ვთქვათ, მოცემულია N განზომილებიანი დროითი მწერივი $x(n)$, $n = 1, 2, \dots, N$. შემოვიდოთ ორი $N/2$ განზომილებიანი თანმიმდევრობა, რომელებიც მიიღებიან საწყისი დროითი მკრივიდან დაუწი $g(k) = x(2k)$ და $g(k) = x(2k+1)$ კენტი ნომრიანი წევრებიდან. მათი ფურიეს დისკრეტული გარდაქმნა ტოლია:

$$G(k) = \sum_{n=0}^{N/2-1} g(k) e^{-j \frac{4\pi nk}{N}}; \quad Q(k) = \sum_{n=0}^{N/2-1} q(k) e^{-j \frac{4\pi nk}{N}}$$

ხოლო $X(k)$ შეგვიძლია წარმოვიდგინოთ შემდეგნაირად:

$$\begin{aligned} X(k) &= \sum_{n=0}^{N/2-1} \left[g(n) e^{-j \frac{4\pi nk}{N}} + q(n) e^{-j \frac{2\pi k(2n+1)}{N}} \right] = \\ &= \sum_{n=0}^{N/2-1} g(n) e^{-j \frac{4\pi nk}{N}} + e^{-j \frac{2\pi k}{N}} \sum_{n=0}^{N/2-1} q(n) e^{-j \frac{4\pi nk}{N}}, \quad k = 0, 1, 2, \dots, N-1 \end{aligned} \tag{4.6}$$

თუ საწყისი $x(k)$ თანმიმდევრობა პერიოდულია $N/2$ პერიოდით, მაშინ
 $\{g(n)\} = \left\{g\left(n + \frac{N}{2}\right)\right\} \quad \{q(n)\} = \left\{q\left(n + \frac{N}{2}\right)\right\}$

და შესაბამისად

$$X\left(k + \frac{N}{2}\right) = G(k) + e^{-j\frac{2\pi(n+N/2)k}{N}} Q(k).$$

რადგან

$$e^{-j\frac{2\pi(n+N/2)k}{N}} = e^{-j\frac{2\pi N/2}{N}} e^{-j\frac{2\pi k}{N}} = e^{-j\pi} e^{-j\frac{2\pi k}{N}} = -e^{-j\frac{2\pi k}{N}}$$

ამიტომ

$$X\left(k + \frac{N}{2}\right) = G(k) - e^{-j\frac{2\pi k}{N}} Q(k) \quad (4.7)$$

(4.6) და (4.7) ფორულები საფუძლად უდევს ვსგ ალგორითმს. შემდგომში გამოთვლები ხდება ინტერაციული პრინციპის საშუალებით. კენტი და ლუწი ნომრების ანათვლები თანმიმდევრულად კვლავ იყოფიან ორ-ორ ნაწილებად. პროცესი გრძელდება მანამ, სანამ არ მივიღებთ თანმიმდევრობას, რომელიც შეიცავს ერთ ანათვალს. ადვილი მისახვედრია, რომ ეს ერთადერთი ანათვლის ვსგ ემთხვევა თავისათვის.

ვსგ მოითხოვს $N \log_2 N$ რაოდენობის კომპლექსური რიცხვების გამრავლების ოპერაციებს, რაც იძლევა საკმაოდ კარგ ეფექტს. მაგალითად, თუ $N = 1024$, მაშინ ვსგ გამოდის 100-ჯერ უფრო სწრაფი, ვიდრე ფურიეს დისკრეტული გარდაქმნა. მართლაც:

$$N^2 = 1048576, \log_2 1024 = 10, N \cdot \log_2 N = 1024 \cdot 10 = 10240,$$

$$\frac{N^2}{N \log_2 N} = \frac{1048576}{10240} = 102,4$$

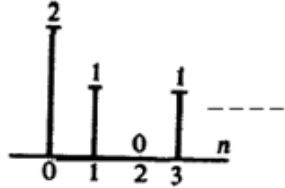
4.9 ფურიეს დისკრეტული გარდაქმნის მაგალითი

განვიხილოთ მარტივი შემთხვევა. ვთქვათ მოცემულია $(1,0,0,1)$ დისკრეტული თანმიმდევრობა. ჩავთვალოთ, რომ ეს თანმიმდევრობა აღწერს ოთხი ძაბვის მნიშვნელობას, ე.ი. $x(0)=1, x(1)=0, x(2)=0, x(3)=1$. მოვახდინოთ ამ თანმიმდევრობის ფურიეს პირდაპირი დისკრეტული გარდაქმნა. როგორც ცნობილია

$$X(n) = \sum_{k=0}^3 x(k) e^{-j\frac{2\pi n k}{N}}, \quad n = 0, 1, 2, 3$$

$$\begin{aligned}
 n=0 \quad X(0) &= \sum_{k=0}^3 x(k) e^{-j \frac{2\pi nk}{N}} = \sum_{k=0}^3 x(k) e^{-j \frac{2\pi k 0}{4}} = x(0) + x(1) + x(2) + x(3) = 1 + 0 + 0 + 1 = 2 \\
 n=1 \quad X(1) &= \sum_{k=0}^3 x(k) e^{-j \frac{2\pi k 1}{4}} = 1e^{-j \frac{2\pi 1 \cdot 0}{4}} + 0 \cdot e^{-j \frac{2\pi 1 \cdot 1}{4}} + 0 \cdot e^{-j \frac{2\pi 1 \cdot 2}{4}} + 1 \cdot e^{-j \frac{2\pi 1 \cdot 3}{4}} = 1 + e^{-j \frac{3\pi}{2}} = \\
 &= 1 + \cos\left(\frac{3\pi}{2}\right) - j \sin\left(\frac{3\pi}{2}\right) = 1 - j(-1) = 1 + j \\
 n=2 \quad X(2) &= \sum_{k=0}^3 x(k) e^{-j \frac{2\pi k 2}{4}} = \sum_{k=0}^3 x(k) e^{-j \pi k} = 1 + 0 + 0 + 1 \cdot e^{-j 3\pi} = 1 - 1 = 0 \\
 n=3 \quad X(3) &= \sum_{k=0}^3 x(k) e^{-j \frac{2\pi k 3}{4}} = \sum_{k=0}^3 x(k) e^{-j \frac{3\pi k}{2}} = 1 + 0 + 0 + 1 \cdot e^{-j \frac{9\pi}{2}} = 1 - j
 \end{aligned}$$

ამრიგად $(1,0,0,1)$ დისკრეტული თანმიმდევრობის ფდგ შედეგად ვდებულობთ: $(2, 1+j, 0, 1-j)$. თუ ავიდებთ ამპლიტუდურ სპექტრს $|X(n)|$ და გავითვალისწინებთ, რომ ფდგ პერიოდულია, მაშინ გვექნება სპექტრის შემდეგი გრაფიკული გამოსახულება:



მოვახდინოთ მიღებული თანმიმდევრობის $(2, 1+j, 0, 1-j)$ ფურის უპარაგენული გარდაქმნა.

$$x(n) = \frac{1}{4} \sum_{k=0}^3 X(k) e^{j \frac{2\pi nk}{4}}, \quad n=0,1,2,3$$

$$\begin{aligned}
 n=0. \quad x(0) &= \frac{1}{4} \sum_{k=0}^3 X(k) e^{j \frac{2\pi 0 k}{4}} = \frac{1}{4} [X(0) + X(1) + X(2) + X(3)] = \frac{1}{4} [2 + (1+j) + 0 + (1-j)] = \\
 &= \frac{1}{4} (2 + 1 + j + 0 + 1 - j) = 1
 \end{aligned}$$

$$\begin{aligned}
 n=1. \quad x(1) &= \frac{1}{4} \sum_{k=0}^3 X(k) e^{j \frac{2\pi 1 k}{4}} = \frac{1}{4} \sum_{k=0}^3 X(k) e^{j \frac{\pi k}{2}} = \frac{1}{4} \left[2 + (1+j) e^{j \frac{\pi}{2}} + 0 + (1-j) e^{j \frac{3\pi}{2}} \right] = \\
 &= \frac{1}{4} [2 + (1+j)j + (1-j)(-j)] = \frac{1}{4} (2 + j - 1 - j - 1) = 0
 \end{aligned}$$

$$n=2. \quad x(2) = \frac{1}{4} \sum_{k=0}^3 X(k) e^{j \frac{2\pi 2 k}{4}} = \frac{1}{4} [2 + (1+j) e^{j \pi} + (1-j) e^{j 3\pi}] = \frac{1}{4} [2 - (1+j) - (1-j)] = 0$$

$$n=3. \quad x(3) = \frac{1}{4} \sum_{k=0}^3 X(k) e^{j \frac{2\pi 3 k}{4}} = \frac{1}{4} [2 + (1-j)(-j) + (1-j)j] = \frac{1}{4} (2 - j + 1 + j + 1) = 1$$

ამრიგად, მივიღეთ საწყისი $(1,0,0,1)$ დისკრეტული თანმიმდევრობა.

4.10 Z – გარდაქმნა

ფურიეს გარდაქმნა წარმოადგენს დისკრეტული სიგნალების დამუშავების ერთ-ერთ უძლიერეს მეთოდს. მაგრამ, ფურიეს გარდაქმნა, სამწუხაროდ, ყველა დისკრეტული თანმიმდევრობისათვის არ არის განსაზღვრული. ამიტომ მიზანშეწონილია გვქონდეს ფურიეს გარდაქმნის ანალოგი, რომელიც გამოიყენება უფრო ფართო კლასის სიგნალებისათვის. ასეთ გარდაქმნას მიეკუთვნება Z – გარდაქმნა, რომელიც გარკვევულ პირობებში ამოცანების ანალიტიკური ამოხსნისას უფრო მოსახერხებელია ვიდრე ფურიეს გარდაქმნა.

როგორც ვიცით, თუ $x(n)$ თანმიმდევრობა მოცემულია $[-\infty: \infty]$ ინტერვალში, მაშინ მისი ფურიეს გარდაქმნა იქნება:

$$X(n) = \sum_{k=-\infty}^{\infty} x(k) e^{-j2\pi nk}.$$

თუ შემოვიტანო აღნიშვნას $z = e^{j2\pi n}$, მაშინ მივიღებთ შემდეგ გამოსახულებას:

$$X(z) = \sum_{n=-\infty}^{\infty} x(n) Z^{-n} \quad (4.8)$$

რომელსაც $x(n)$ თანმიმდევრობის Z – გარდაქმნა ეწოდება. ამრიგად, Z – გარდაქმნის არსი მდომარეობს $x(n)$ თანმიმდევრობის კომპლექსური Z ცვლადით წარმოდგენაში.

ცხადია, რომ $X(z)$ ფუნქცია განსაზღვრულია მხოლოდ იმ z მნიშვნელობებისათვის, როდესაც (4.8) მწყრივი კრებადია. (4.8) გამოსახულებას ხშირად უწოდებენ ორმხრივ Z – გარდაქმნას. თუ დისკრეტული თანმიმდევრობა მოცემულია $x(n)$, $n = 0, 1, 2, \dots$ სახით, მაშინ მისი Z – გარდაქმნა იქნება:

$$X(z) = \sum_{n=0}^{\infty} x(n) Z^{-n}$$

და მას ცალმხრივი Z – გარდაქმნა ეწოდება.

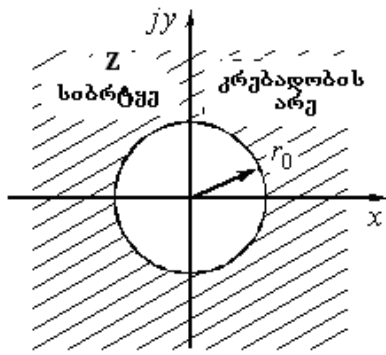
ამრიგად, ნებისმიერი თანმიმდევრობისათვის, მაგალითად $\left(\frac{1}{2}, 2, \frac{1}{4}, \frac{1}{3}\right)$

შესაძლებელია მისი ჩაწერა Z – გარდაქმნის სახით:

$$X(z) = \frac{1}{2} + 2z^{-1} + \frac{1}{4}z^{-2} + \frac{1}{3}z^{-3}$$

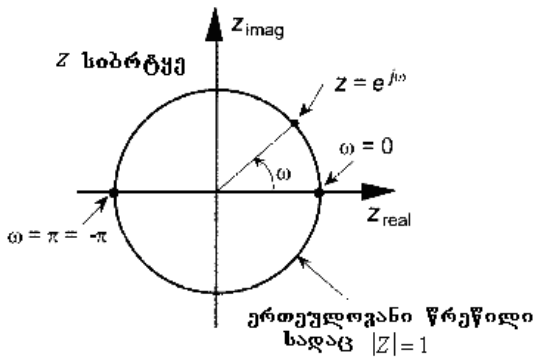
როგორც (4.8) ფორმულიდან ჩანს, Z – გარდაქმნა არის უსასრულო რაოდენობის წევრების მქონე სარისხოვანი მწყრივი, ამიტომ ის შეიძლება n – ს ყველა მნიშვნელობისათვის არ იყოს კრებადი. არეს, სადაც Z – გარდაქმნა კრებადია, ეწოდება კრებადობის არე, სადაც $X(z)$ მნიშვნელობა უსასრულოა. გასაგებია, რომ კრებადობის არე განისაზღვრება $x(n)$ თანმიმდებრობის ან $X(z)$ გარდაქმნის თვისებებით.

ამრიგად, $x(n)$ თანმიმდევრობის Z – გარდაქმნა $X(z)$ განსაზღვრულია მხოლოდ ისეთი კრებადობის არეში, რომელიც მოიცავს z -ის ყველა მნიშვნელობას, რომელიც იმყოფებიან რაიმე r_0 რადიუსის მქონე წრეწირის გარეთ (ნახ. 4.4). r_0 უწოდებენ კრებადობის რადიუსს. ე.ი. მწყრივი კრებადია, როცა სრულდება $r_0 < |z| < \infty$ პირობა.



ნახ. 4.4

Z -გარდაქმნა, როგორც კომპლექსური ცვლადის ფუნქცია, ხელსაყრელია აღიწეროს კომპლექსური სიბრტყის საშუალებით. გეომეტრიულად z წერტილებში, რომლებიც აცმაყოფილებენ $|z|=1$ პირობას, წარმოადგენენ ერთეულოვან წრეწირს ნულოვანი ცენტრით (ნახ. 4.5)



ნახ. 4.5

Z -გარდაქმნა, განსაზღვრული მხოლოდ ერთეულოვან წრეწირზე, ემთხვევა ფურიეს გარდაქმნას. ვ წარმოადგენს ერთეულოვანი წრეწირის რადიუსის გუთხეს, რომელსაც იგი ადგენს ნამდვილ (R_e) დერძთან და რომელიც აითვლება საათის ისრის მოძრაობის საწინააღმდეგოდ.

ერთეულოვანი წრეწირის დროს $X(z)$ გამოთვლისას, დაწყებული $z=1$ (ე.ი. $\omega=0$) და შემდეგ $z=-1$ (ე.ი. $\omega=\pi$) მიმართულებით, გლებულობთ ფურიეს გარდაქმნის მნიშვნელობებს $0 \leq \omega \leq \pi$ სიხშირულ დიაპაზონში. თუ გავაგრძელებთ გამოთვლებს ერთეულოვანი წრეწირის გარშემო, მაშინ მივიღებთ ფურიეს გარდაქმნის მთელ პერიოდს.

განვიხილოთ ზოგიერთი თანმიმდევრობის Z -გარდაქმნა.

1. ერთეულოვანი იმპულსი

$$x_0(n) = \begin{cases} 1, & n=0 \\ 0, & n \neq 0 \end{cases} \quad X_0(z) = \sum_{n=0}^{\infty} x_0(n) z^{-n} = 1 z^{-0} = 1$$

2. ერთეულოვანი ნახტომი

$$x_0(n) = \begin{cases} 1, & n \geq 0 \\ 0, & n < 0 \end{cases} \quad X(z) = \sum_{n=0}^{\infty} x(n) z^{-n} = \sum_{n=0}^{\infty} 1 z^{-n} = \sum_{n=0}^{\infty} z^{-n}$$

მიღებული ჯამი წარმოადგენს გეომეტრიულ პროგრესიას და ამიტომ იგი კრებადია ნებისმიერი z -ისთვის, როცა $|z| > 1$ ანუ $|Z^{-1}| < 1$. აჯამვის შემდეგ მივიღებთ:

$$X(z) = \frac{1}{1 - Z^{-1}}$$

3. დისკრეტული ექსპონენციალური ფუნქცია

$$x(n) = \begin{cases} a^n, & n \geq 0 \\ 0, & n < 0 \end{cases}$$

$$X(z) = \sum_{n=0}^{\infty} x(n)Z^{-n} = \sum_{n=0}^{\infty} a_n Z^{-n} = \sum_{n=0}^{\infty} (a^{-1}Z)^{-n}$$

როგორც ერთეულოვანი ნახტომის დროს, აქაც მიღებული ჯამი წარმოადგენს გეომეტრიულ პროგრესიას, რომელიც კრებადია როცა $|aZ^{-1}| < 1$ ანუ $|Z| > |a|$, ე.ი. ვღებულობთ:

$$X(z) = \frac{1}{1 - aZ^{-1}} .$$

Z - გარდაქმნის თვისებები

1. წრფივობა. Z- გარდაქმნა წრფივია. ეს იმას ნიშნავს, რომ თუ $X_1(z)$ და $X_2(z)$ წარმოადგენენ $x_1(n)$ და $x_2(n)$ თანმიმდევრობების Z -გარდაქმნას, მაშინ ნებისმიერი a და b დადებითი სიდიდეებისათვის $ax_1(n) + bx_2(n)$ თანმიმდევრობისათვის Z -გარდაქმნა ტოლია $aX_1(z) + bX_2(z)$.

2. დაყოვნება. Z- გარდაქმნა შეგვიძლია განვიხილოთ, როგორც დაყოვნების ოპერატორი $x(n)Z^{-n} = x(n-m)$. აქედან გამომდინარე, თუ $x(n)$ თანმიმდევრობას გააჩნია Z -გარდაქმნა $X(z)$, მაშინ $y(n) = x(n-k)$ თანმიმდევრობის Z -გარდაქმნა ნებისმიერი k მნიშვნელობისათვის ტოლია:

$$Y(z) = \sum_{n=-\infty}^{\infty} x(n)Z^{-n} = \sum_{n=-\infty}^{\infty} x(n-k)Z^{-n} \quad (4.9)$$

შემოვიტანოთ აღნიშვნა $n-k=m$, მაშინ (4.9) ფორმულა გადაიწერება შემდეგნაირად:

$$Y(z) = \sum_{m=-\infty}^{\infty} x(m)Z^{-(m+k)} = Z^{-k} \sum_{m=-\infty}^{\infty} x(m)Z^{-m} = Z^{-k} X(z)$$

ამრიგად თანმიმდევრობის დაყოვნება რაიმე k ტაქტით საჭიროა ამ თანმიმდევრობის Z -გარდაქმნა გავამრავლოთ Z^{-k} სიდიდეზე, რომელსაც ეწოდება დისკრეტული თანმიმდევრობის დაყოვნების ოპერატორი.

3. ნაკეცი. როგორც ვიცით, ორი $x_1(n)$ და $x_2(n)$ უსასრულო დისკრეტული თანმიმდევრობის ნაკეცი განისაზღვრება შემდეგი გამოსახულებით:

$$y(n) = \sum_{k=-\infty}^{\infty} x_1(k)x_2(n-k) . \quad (4.10)$$

განვსაზღვროთ (4.10) თანმიმდევრობის Z -გარდაქმნა.

$$Y(z) = \sum_{n=-\infty}^{\infty} y(n)Z^{-n} = \sum_{n=-\infty}^{\infty} \left[\sum_{k=-\infty}^{\infty} x_1(k)x_2(n-k) \right] Z^{-n} .$$

თუ აჯამვის თანმიმდევრობას შევცვლით, მაშინ მივიღებთ:

$$Y(z) = \sum_{k=-\infty}^{\infty} x_1(k) \sum_{n=-\infty}^{\infty} x_2(n-k) Z^{-n} .$$

მეორე ჯამში თუ შემოვიტანოთ ახალ ცვლადს $m = n - k$, მაშინ გვექნება:

$$Y(z) = \sum_{k=-\infty}^{\infty} x_1(k) \left[\sum_{m=-\infty}^{\infty} x_2(m) Z^{-m} \right] Z^{-k} = \sum_{k=-\infty}^{\infty} x_1(k) Z^{-k} \sum_{m=-\infty}^{\infty} x_2(m) Z^{-m} = X_1(z)X_2(z)$$

ამრიგად, დისკრეტული თანმიმდევრობების ნაკეცის Z -გარდაქმნა ტოლია თანმიმდევრობების Z -გარდაქმნების ნამრავლისა.

განვიხილოთ მაგალითი. მოცემული სიგნალებისათვის $x_1(n) = (1, 1, 1, 0, 0, 0)$
 $x_1(n) = (0, 0, 1, 1, 0, 0)$ განვსაზღვროთ ნაკეცის Z -გარდაქმნა.

კერ განვსაზღვროთ სიგნალების Z -გარდაქმნა:

$$X_1(z) = \sum_{n=0}^{\infty} x_1(n) Z^{-n} = 1 + Z^{-1} + Z^{-2} \quad X_2(z) = Z^{-2} + Z^{-3}$$

სიგნალების ნაკეცი ტოლია:

$$Y(z) = X_1(z) * X_2(z) = (1 + Z^{-1} + Z^{-2})(Z^{-2} + Z^{-3}) = Z^{-2} + 2Z^{-3} + 2Z^{-4} + Z^{-5}$$

შპუ Z – გარდაქმნა

Z -გარდაქმნიდან საწყის რიცხვით თანმიმდევრობაზე გადასვლას ეწოდება უკუ Z -გარდაქმნა, რომელიც ფორმალურად ასე ჩაიწერება:

$$x(n) = \frac{1}{j2\pi} \oint X(z) Z^{n-1} dz .$$

აღნიშნული ინტეგრალი აიღება შეკრული კონტურიდან, რომელიც მოთავსებულია $X(z)$ ფუნქციის კრებადობის არეში. პრაქტიკულად Z -გარდაქმნა ხშირად განისაზღვრება $X(z)$ ფუნქციის მარტივ წილადებად დაშლის გზით. მაგალითისათვის განვიხილოთ შედეგი გამოსახულება:

$$X(z) = \frac{1}{\frac{1}{2}Z^{-2} - \frac{3}{2}Z^{-1} + 1} \quad (4.11)$$

(4.11) წარმოვადგინოთ მარტივ წილადების ჯამის სახით

$$X(z) = \frac{1}{\left(1 - Z^{-1}\right) \left(1 - \frac{1}{2}Z^{-1}\right)} = \frac{2}{1 - Z^{-1}} - \frac{1}{1 - \frac{1}{2}Z^{-1}} \quad (4.12)$$

თუ გავიხსენებთ ერთეულოვანი იპულსის Z -გარდაქმნას

$$X(z) = \frac{1}{1 - Z^{-1}}$$

და დისკრეტული ექსპონენციალური ფუნქციის Z -გარდაქმნას

$$X(z) = \frac{1}{1 - aZ^{-1}},$$

მაშინ ადგილი შესამჩნევია, რომ (4.12) ფორმულის პირველი მდგრენელი შეესაბამება ნახტომს, რომლის ამპლიტუდა 2 -ს ტოლია, ხოლო მეორე მდგრენელი $- 2^{-k}$, $k \geq 0$. ამრიგად, საძიებელი თანმიმდევრობას გააჩნია შედეგი სახე:

$$x(k) = \begin{cases} 2 - 2^k, & k \geq 0 \\ 0, & k < 0 \end{cases}$$

დასკვნის სახით შეიძლება ჩამოვაყალიბოთ:

1. Z -გარდაქნა წარმოადგენს ფურიეს გარდაქმნის განზოგადოებულ სახეს;
2. თუ დისკრეტული თანმიმდევრობა კრებადია და გააჩნია Z -გარდაქმნა, მაშინ როდესაც ფურიეს გარდაქმნა შეიძლება განუსაზღვრელი იყოს;
3. თუ დისკრეტული თანმიმდევრობა კრებადია და მისი ფურიეს გარდაქმნა განუსაზღვრელია, მაშინ მას გააჩნია Z -გარდაქმნა.

4.11 დისკრეტული ნაკეცი

დისკრეტული ნაკეცი წარმოადგენს პროცესს, როდესაც ხდება ორი დისკრეტული თანმიმდევრობიდან ახალი თანმიმდევრობის მიღება. არსებობს დისკრეტული ნაკეცის ორი სახე: წრფივი და ციკლური. ციკლურ ნაკეცს ხშირად უწოდებენ წრიულს ან პერიოდულს.

წრფივი ნაკეცი. ვთქვათ მოცემულია ორი დისკრეტული თანმიმდევრობა (სიგნალი) $x(n)$, $n = 0, 1, 2, \dots, N_1 - 1$ და $h(n)$, $n = 0, 1, 2, \dots, N_2 - 1$. როგორც ცნობილია დისკრეტული ნაკეცი განისაზღვრება ფორმულით:

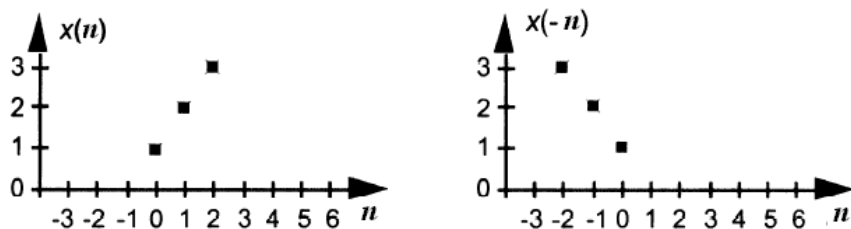
$$y(n) = h(n) \otimes x(n) = \sum_{m=-\infty}^{\infty} h(m)x(n-m) = \sum_{m=0}^{\infty} h(m)x(n-m), \quad n = 0, 1, 2, \dots, N-1, \quad (4.13)$$

სადაც $N = N_1 + N_2 - 1$. იგულისხმება, რომ $x(n) = 0$, როცა $n < 0$ და $n > N_1$, ასევე $h(n) = 0$, როცა $n < 0$ და $n > N_2$. წრფივი ნაკეცის გამოთვლისას ხდება $x(n)$ და $h(n)$ თანმიმდევრობების ერთმანეთის მიმართ დაძვრა, მათი გადამრავლება და შემდეგ შექრება.

მოვახდინოთ (4.13) გამოსახულების გაშლა

$$\begin{aligned} n = 0 \quad y(0) &= h(0)x(0) + h(1)x(-1) + h(2)x(-2) + h(3)x(-3) + h(4)x(-4) + \dots \\ n = 1 \quad y(1) &= h(0)x(1) + h(1)x(0) + h(2)x(-1) + h(3)x(-2) + h(4)x(-3) + \dots \\ n = 2 \quad y(2) &= h(0)x(2) + h(1)x(1) + h(2)x(0) + h(3)x(-1) + h(4)x(-2) + \dots \\ n = 3 \quad y(3) &= h(0)x(3) + h(1)x(2) + h(2)x(1) + h(3)x(0) + h(4)x(-1) + \dots \end{aligned} \quad (4.14)$$

და ა.შ. როგორც (4.14) გამოსახულებიდან ჩანს მივიღეთ ახალი თანმიმდევრობა $x(0), x(-1), x(-2), x(-3), x(-4), \dots$, რომელიც წარმოადგენს ნულოვანი ინდექსის მიმართ საწყისი $x(n)$ თანმიმდევრობის სარკულ ასახვას. მაგალითად, $x(n) = (1, 2, 3)$ თანმიმდევრობისათვის გვექნება $x(-n) = (3, 2, 1)$ ე.ი. $x(1, 2, 3)$ აისახა $x(3, 2, 1)$ თანმიმდევრობაში (ნახ. 4.6)..



ნახ. 4.6

ნახ. 4.7 წარმოდგენილია წრფივი ნაკეცის განსაზღვრის მაგალითი

საწყისი სიგნალები

$$h(n) \begin{array}{|c|c|c|c|} \hline 2 & 1 & 3 & -1 \\ \hline \end{array} \quad x(n) \begin{array}{|c|c|c|} \hline -1 & 1 & 2 \\ \hline \end{array} \quad \xleftarrow{\text{ასახვა}} \quad \begin{array}{|c|c|c|} \hline 2 & 1 & -1 \\ \hline \end{array}$$

წრფივი ნაკეცის გამოთვლის პროცედურა

$h(n)$	2	1	3	-1		
$x(0-m)$	2	1	-1		$y(0)=2\cdot(-1)=-2$	
$x(1-m)$	2	1	-1		$y(1)=2-1=1$	
$x(2-m)$	2	1	-1		$y(2)=2\cdot2+1-3=2$	
$x(3-m)$	2	1	-1		$y(3)=2+3+1=6$	
$x(4-m)$	2	1	-1		$y(4)=2\cdot3-1=5$	
$x(5-m)$	2	1	-1		$y(5)=-2$	

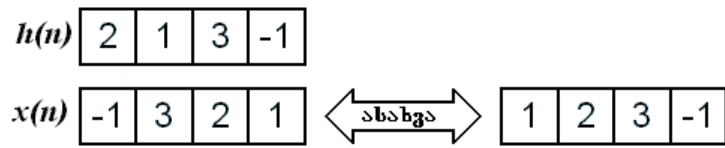
შედეგი

$$\begin{array}{|c|c|c|c|c|c|} \hline -2 & 1 & 2 & 6 & 5 & -2 \\ \hline \end{array}$$

ნახ. 4.7

ციკლური ნაკეცი. ციკლური ნაკეცის დროს იგულისხმება, რომ ერთი და იგივე N სიგრძის $x(n)$ და $h(n)$ დისკრეტული სიგნალები პერიოდულები არიან. ციკლური ნაკეცის გამოთვლის მაგალითი მოყვანილია ნახ. 4.8

საწყისი სიგნალები



ციკლური ნაკეცის გამოთვლის პროცედურა

$h(m)$	2	1	3	-1	2	1	3	-1	2	1	3	-1	
$x(0 - m)$	-1	1	2	3	-1	1	2	3	-1	1	2	3	$y(0)$
$x(1 - m)$	3	-1	1	2	3	-1	1	2	3	-1	1	2	$y(1)$
$x(2 - m)$	2	3	-1	1	2	3	-1	1	2	3	-1	1	$y(2)$
$x(3 - m)$	1	2	3	-1	1	2	3	-1	1	2	3	-1	$y(3)$

შედეგი

2	6	3	14
---	---	---	----

ნახ. 4.8

წითელი ტექსტით აღნიშნულია $x(n-m)$ სიგნალის პერიოდების გამორჩების საზღვრები. უნდა შევნიშნოთ, რომ სიგნალების პერიოდულობიდან გამომდინარეობს, რომ $x(-m) = x(N-m)$. ბიჯობრივად გამოვთვალოთ ციკლური ნაკეცი. ამ შემთხვევაში $N = 4$.

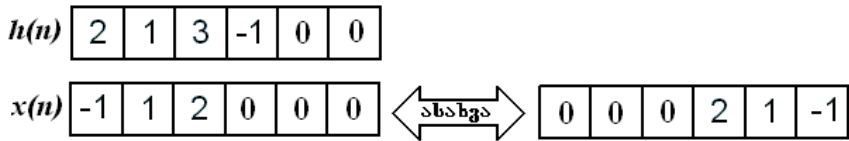
$$\begin{aligned} y(0) &= \sum_{m=0}^{N-1} h(m)x(0-m) = h(0)x(0) + h(1)x(-1) + h(2)x(-2) + h(3)x(-3) = \dots \\ &\dots = h(0)x(0) + h(1)x(3) + h(2)x(2) + h(3)x(1) = \dots \\ &\dots = 2 \cdot (-1) + 1 \cdot 1 + 2 \cdot 3 + (-1) \cdot 3 = 2. \end{aligned}$$

$$\begin{aligned} y(1) &= \sum_{m=0}^{N-1} h(m)x(1-m) = h(0)x(1) + h(1)x(0) + h(2)x(-1) + h(3)x(-2) = \dots \\ &\dots = h(0)x(1) + h(1)x(0) + h(2)x(3) + h(3)x(2) = \dots \\ &\dots = 2 \cdot 3 + 1 \cdot (-1) + 3 \cdot 1 + (-1) \cdot 2 = 6 \end{aligned}$$

ანალოგიურად მივიღებთ: $y(2) = 3$, $y(3) = 14$.

წრიცვი ნაკეცით შესაძლებელია განისაზღვროს ციკლური ნაკეცი. ამ შემთხვევაში $x(n)$ და $h(n)$ დისკრეტული სიგნალების ანათვლები უნდა იყოს ერთი და იგივე სიგრძის. მაგალითად, თუ ორი თანმიმდევრობის სიგრძეებია N_1 და N_2 , მაშინ პირველ თანმიმდებრობას უნდა დაუმატოთ $N_2 - 1$ ნულები, ხოლო მეორეს $N_1 - 1$ ნულები. ამის შემდეგ ორივე თანმიმდევრობა დებულობს $N_1 + N_2 - 1$ სიგრძეს. მაგალითად, ნახ. 4.7 მოყვანილ მაგალითისათვის, სადაც $N_1 = 3$ და $N_2 = 4$, $x(n)$ უნდა დაუმატოთ ორი ნულოვანი ანათვალი, ხოლო $h(n)$ -ს სამი ნულოვანი ანათვალი, ე.ი. ორივე სიგნალისათვის სრულდება პირობა: $N_1 + N_2 - 1 = 3 + 4 - 1 = 6$. ასეთი ციკლური ნაკეცის განსაზღვრის მაგალითი წარმოდგენილია ნახ. 4.8.

საწყისი სიგნალები



ციკლური ნაკეცის გამოთვლის პროცედურა

$h(n)$	2	1	3	-1	0	0
$x(0-m)$	-1	0	0	0	2	1
$x(1-m)$	1	-1	0	0	0	2
$x(2-m)$	2	1	-1	0	0	0
$x(3-m)$	0	2	1	-1	0	0
$x(4-m)$	0	0	2	1	-1	0
$x(5-m)$	0	0	0	2	1	-1

$y(0) = -2$
 $y(1) = 1$
 $y(2) = 2$
 $y(3) = 6$
 $y(4) = 5$
 $y(5) = -2$

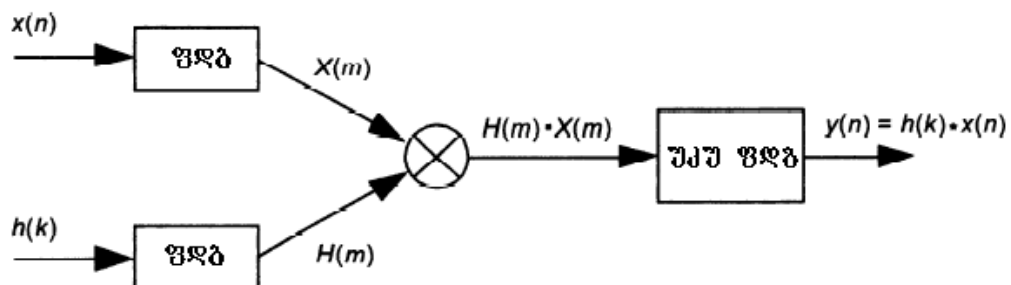
შედეგი

-2	1	2	6	5	-2
----	---	---	---	---	----

ნახ. 4.8

როგორც ვხედავთ, წრფივი და ციკლური ნაკეცის მნიშვნელობები ემთხვევიან ერთმანეთს.

ნაკეცის განსაზღვრა ფურიეს დისკრეტული გარდაქმნით. როგორც ვდგომისებებიდან ჩანს (იხ. §4.7), ნაკეცის სპექტრი ტოლია მოცემული სიგნალების სპექტრების ნამრავლისა. ე.ი. $Y(m) = H(m)X(m)$. აქედან გამომდინარე, ნაკეცის განსაზღვრა შესაძლებელია ვდგ. ნახ. 4.9-ზე წარმოდგენილია ნაკეცის განსაზღვრის ბლოკ-სქემა.



ნახ. 4.9

მოცემული სქემით ნაკეცის განსაზღვრა საკმაოდ ეფექტურია. განვიხილოთ მაგალითი. ვთქვათ, მოცემულია $N = 4000$ და $M = 3000$ სიგრძის თანმიმდევრობები. ნაკეცის უშუალოდ განსაზღვრას სჭირდება $N \cdot M = 12000000$ (12 მილიონი) შეკრების და გამრავლების ოპერაცია. იგივე თანმიმდევრობებისათვის ციკლური ნაკეცის მისაღებად საჭიროა დაახლოებით 107000 კომპლექსური და ნამდვილი გამრავლების ოპერაცია, რაც დაახლოებით 7,5-ჯერ ნაკლებია, ვიდრე ნაკეცის პირდაპირი განსაზღვრისას.

5. პორელაციური ანალიზი

5.1 ავტოკორელაციური ფუნქციის შეფასება

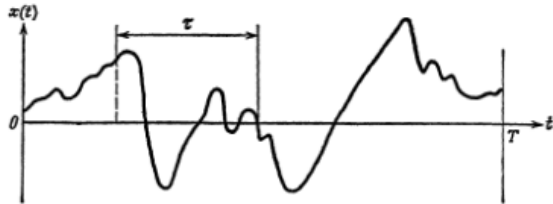
როგორც ვიცით, სტაციონარული შემთხვევითი $\{X(t)\}$ პროცესის $x(t)$ რეალიზაციის ავტოკორელაციური ფუნქცია განისაზღვრება ფორმულით:

$$R_{xx}(\tau) = \int_{-\infty}^{\infty} x(t)x(t+\tau)dt \quad (5.1)$$

რომელიც ერთმანეთთან აკავშირებს $x(t)$ რეალიზაციის მნიშვნელობებს t და $t+\tau$ დროის მომენტებში. τ -ს უწოდებენ ძვრას. დისკრეტული სიგნალებისათვის (5.1) ფორმულა მიიღებს შემდეგ სახეს:

$$R_{xx}(\tau) = \sum_{n=-\infty}^{\infty} x(n)x(n+\tau) \quad (5.2)$$

ვთქვათ, მოცემულია T სიგრძის ცენტრირებული შემთხვევითი პროცესის რეალიზაცია



მაშინ ავტოკორელაციური ფუნქცია განისაზღვრება შემდეგი გამოსახულებით:

$$R_{xx}(\tau) = \lim_{T \rightarrow \infty} \frac{1}{T} \int_0^T x(t)x(t+\tau)dt.$$

თუ ამ ფორმულაში ზღვარს გამოვრიცხავთ, მაშინ მივიღებთ ავტოკორელაციური ფუნქციის შეფასებას:

$$R_{xx}(\tau) = \frac{1}{T-\tau} \int_0^{T-\tau} x(t)x(t+\tau)dt.$$

არსებობს ავტოკორელაციური ფუნქციის განსაზღვრის ორი მეთოდი პირდაპირი და არაპირდაპირი. პირდაპირი მეთოდით ავტოკორელაციური ფუნქცია მიიღება უშუალოდ საწყისი რეალიზაციიდან, ხოლო არაპირდაპირი მეთოდით ჯერ განისაზღვრება სპექტრული სიმკვრივის ფუნქცია და შემდეგ ფურიეს უპუ გარდაქმნით ვდებულობთ ავტოკორელაციური ფუნქციის შეფასებას. განვიხილოთ ორივე ეს მეთოდი.

პირდაპირი მეთოდი. თუ ცენტრირებული სტაციონარული პროცესის $x(t)$ რეალიზაცია წარმოდგენდია დისკრეტული თანმიმდევრობის $x(n)$, $n=1,2,\dots,N$ სახით, რომლის საშუალო მნიშვნელობა $m_x = 0$, მაშინ ავტოკორელაციური ფუნქციის შეფასება განისაზღვრება შემდეგი ფორმულით:

$$R_{xx}(\tau) = \frac{1}{N} \sum_{n=1}^N x(n)x(n+\tau), \quad \tau = 0,1,2,\dots,m \quad (5.3)$$

იმისათვის რომ, მივიღოთ ავტოკორელაციური ფუნქციის გადაუადგილებადი შეფასება, ამისათვის (5.3) ფორმულის მარჯვენა მხარეში გაყოფა უნდა შესრულდეს არა N -ზე, არამედ $N-\tau$ სიდიდეზე ე.ი გვექნება:

ა. ყუბანევიშვილი ბიოსიგნალების ციფრული დამუშავება

$$\tilde{R}_{xx}(\tau) = \frac{1}{N-\tau} \sum_{n=1}^{N-\tau} x(n)x(n+\tau), \quad \tau = 0, 1, 2, \dots, m ,$$

სადაც m მაქსიმალური ძვრაა.

პრაქტიკაში ხშირად გამოიყენება ნორმირებული ავტოკორელაციური ფუნქცია, რომელიც ასე განისაზღვრება:

$$\rho_{xx}(\tau) = \frac{\tilde{R}(\tau)}{\tilde{R}(0)}, \quad \tau = 0, 1, 2, \dots, m .$$

როგორც ვიცით, ამ შემთხვევაში ნებისმიერი τ - სთვის სრულდება $\tilde{R}(\tau) \leq 1$ უტოლობა.

არაპირდაპირი მეთოდი. ავტოკორელაციური ფუნქციის შეფასების მიღებისათვის საჭიროა Nm რაოდენობის გამრავლების ოპერაცია. თუ დისკრეტული სიგნალის განზომილება დიდია, მაშინ $\tilde{R}_{xx}(\tau)$ ფუნქციის მიღებას სჭირდება საკმაოდ დიდი რაოდენობის არითმეტიკული ოპერაციების ჩატარება. ამ პრობლემის გადაწყვეტა შესაძლებელია ფურიეს სწრაფი გარდაქმნის მეთოდის გამოყენებით. ამისათვის ჯერ უნდა განისაზღვროს $x(n)$, $n=1, 2, \dots, N$ დისკრეტული თანმიმდევრობის სპექტრული სიმკვრივის ფუნქცია და ფურიეს უპუ გარდაქმნით მივიღოთ ავტოკორელაციური ფუნქციის შეფასება ე.ო.

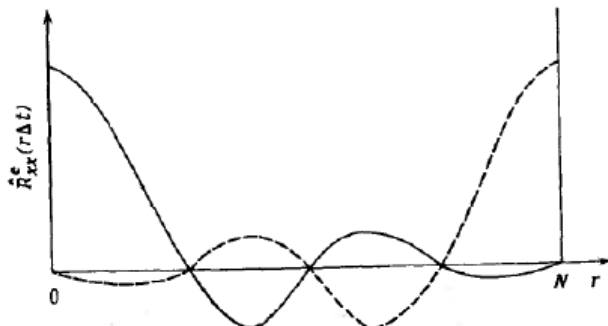
$$\tilde{R}_{xx}(\tau) = \int_{-\infty}^{\infty} S_{xx}(f) e^{j2\pi f_N} df = \int_0^{f_N} G_{xx}(f) \cos(2\pi f \tau) df ,$$

სადაც f_N - ნაიკვისტის სიხშირეა.

ამ გზით მიღებული ავტოკორელაციური ფუნქციის შეფასება გადაადგილებადია ე.წ. ციკლური ეფექტის გამო. ავტოკორელაციური ფუნქციის ციკლური შეფასება ტოლია:

$$\tilde{R}_{xx}^c(\tau) = \frac{N-\tau}{N} \tilde{R}_{xx}(\tau) + \frac{\tau}{N} \tilde{R}_{xx}(N-\tau).$$

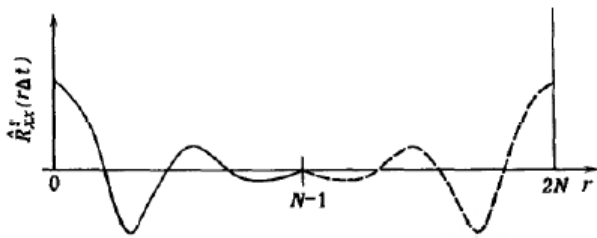
ეს მოვლენა წარმოდგენილია შემდეგ ნაგაზზე:



ეს პრობლემა შეიძლება თავიდან ავიცილოთ თუ საწყის დისკრეტულ თამიმდევრობას დაუმატებთ N რაოდენობის ნულს, მაშინ ხდება ციკლური ეფექტის მთლიანი გამორიცხვა (გამოყოფა),

$$\tilde{R}_{xx}^c(\tau) = \begin{cases} \frac{(N-\tau)}{N} \tilde{R}_{xx}(\tau), & \tau = 0, 1, 2, \dots, N-1 \\ \frac{(\tau-N)}{N} \tilde{R}_{xx}[(2N-\tau)], & \tau = N, N+1, \dots, 2N-1 \end{cases}$$

რაც კარგად ჩანს შემდეგ ნახაზზე:



რადგან τ -ს მიმართ ავტოკორელაციური ფუნქცია ყოველთვის ლუწი ფუნქციაა, ამიტომ ციკლური კორელაციური ფუნქციის მეორე წევრი შეგვიძლია უგულვებელყოთ და საბოლაოდ მივიღებოთ ავტოკორელაციური ფუნქციის გადაუადგილებად შეფასებას

$$\tilde{R}_{xx}(\tau) = \frac{N}{N-\tau} \tilde{R}_{xx}^c(\tau), \quad \tau = 0, 1, 2, \dots, N-1.$$

ამრიგად, ჩვენ განვიხილეთ ავტოკორელაციური ფუნქციის განსაზღვრის პირდაპირი მეთოდი, როდესაც ავტოკორელაციური ფუნქციის შეფასებას ვღებულობთ უშუალოდ საწყის დისკრეტული სიგნალიდან.

ფურიეს სწრაფი გარდაქმნის გამოყენება საშუალებას იძლევა გაცილებით სწრაფად იყოს გამოთვლილი ავტოკორელაციური ფუნქცია, განსაკუთრებით მაშინ, როდესაც მაქსიმალური ძვრის სიდიდე m დიდია. მართლაც, პირდაპირი მეთოდით გამოთვლისას საჭიროა mln ოპერაციების რაოდენობა, აქ l - დისკრეტული სიგნალის რეალიზაციის თანაბრად დაყოფილი ინტერვალების რაოდენობაა, რომელიც გვჭირდება სპეცირული სიმკვრივის ფუნქციის განსაზღვრისათვის. როგორც ვიცით, ფურიეს სწრაფი გარდაქმნა თხოვლობს $4Nr$ ოპერაციების რაოდენობას, სადაც r არის N სიგრძის ინტერვალში წარმოდგენილი 2^r რაოდენობის დისკრეტული ანალოგი. თუ $m = n$, მაშინ გამოთვლის დაჩქარების კოეფიციენტი ტოლია $q \approx \frac{N}{4P}$. მაგალითად, თუ $N=1024$, მაშინ $q = 1024/40=26$.

მოვიყვანოთ ავტოკორელაციური ფუნქციის განსაზღვრის ალგორითმი, რომელიც შედგება შემდეგი ეტაპებისაგან:

1. IN სიგრძის საწყის რეალიზაციას ვყოფთ l რაოდენობის ინტერვალებად და თითოეული ინტერვალისათვის ვირჩევთ მაქსიმალური ძვრის m მნიშვნელობას $m \leq n$ პირობის გათვალისწინებით.
2. თითოეულ $x(n)$, $n=1,2,\dots,n$ ინტერვალს უნდა დაგუმატოთ N რაოდენობის ნულები, რომლის შედეგად ვღებულობთ $2N$ განზომილების ახალ რეალიზაციას;
3. ფურიეს სწრაფი გარდაქმნით გამოვთვალოთ $X(f_k)$, $k=0,1,2,\dots,2N-1$ მნიშვნელობები.
4. განვსაზღვროთ სპეცირული სიმკვრივის ფუნქციების $G_{xx}(f_k)$, $k=0,1,2,\dots,2N-1$ შეფასებები.
5. მიღებული სპეცირული სიმკვრივის ფუნქციის შეფასების ფურიეს უკუ გარდაქმნით ვღებულობთ $R_{xx}^c(\tau)$, $\tau=0,1,2,\dots,N-1$
6. მიღებული $R_{xx}^c(\tau)$ ციკლური ავტოკორელაციური ფუნქციიდან გამოვრიცხოთ მისი მეორე ნახევარი და დაგვრჩება $\tau=0,1,2,\dots,N-1$

7. მიღებული სიდიდეები მრავლდება $\frac{N}{N-\tau}$ სამაშტაბო კოეფიციენტზე. ამით სრულდება აგტოკორელაციური ფუნქციის გამოთვლის ალოგიომი.

5.2 ურთიერთკორელაციური ფუნქციის შეფასება

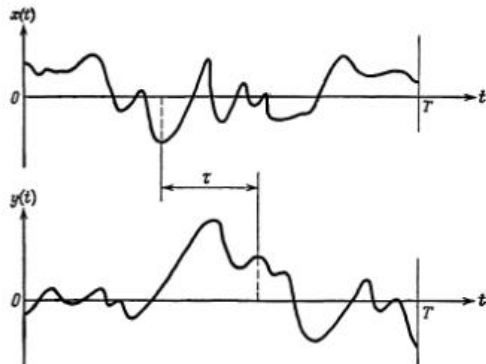
როგორც ცნობილია, თუ მოცემულია ორი $\{X(t)\}$ და $\{Y(t)\}$ სტაციონარული შემთხვევითი პროცესის $x(t)$ და $y(t)$ რეალიზაციები, მაშინ ურთიერთკორელაციური ფუნქცია განისაზღვრება შემდეგი ფორმულით:

$$R_{xy}(\tau) = \int_{-\infty}^{\infty} x(t)y(t+\tau)dt \quad (5.4)$$

რომელიც აკავშირებს $x(t)$ რეალიზაციის t დროის მნიშვნელობას $y(t)$ რეალიზაციის $t+\tau$ დროის მნიშვნელობასთან. დისკრეტული სიგნალებისათვის (5.4) ფორმულა მიიღებს შემდეგ სახეს:

$$R_{xy}(\tau) = \sum_{n=-\infty}^{\infty} x(n)y(n+\tau) \quad (5.5)$$

განვიხილოთ T სიგრძის ცენტრირებული სტაციონარული $\{X(t)\}$ და $\{Y(t)\}$ შემთხვევითი პროცესების $x(t)$ და $y(t)$ რეალიზაციები,



მაშინ ურთიერთკორელაციური ფუნქცია განისაზღვრება შემდეგი გამოსახულებით:

$$R_{xy}(\tau) = \lim_{T \rightarrow \infty} \frac{1}{T} \int_0^T x(t)y(t+\tau)dt$$

თუ ამ ფორმულაში ზღვარს გამოვრიცხავთ, მაშინ მივიღებთ ურთიერთკორელაციური ფუნქციის შეფასებას:

$$\tilde{R}_{xy}(\tau) = \frac{1}{T-\tau} \int_0^{T-\tau} x(t)y(t+\tau)dt.$$

ისევე როგორც აგტოკორელაციური ფუნქციის შეფასებისას, ურთიერთკორელაციური ფუნქციის შეფასება შეიძლება მივიღოთ პირდაპირი და არაპირდაპირი მეთოდებით.

პირდაპირი მეთოდი. თუ მოცემულია ორი ცენტრირებული სტაციონარული $\{X(t)\}$ და $\{Y(t)\}$ შემთხვევითი პროცესების $x(t)$ და $y(t)$ რეალიზაციები, რომლებიც წარმოდგენილნი არიან, $x(n)$, $y(n)$, $n=1,2,\dots,N$ დისკრეტული თანმიმდევრობების სახით, მაშინ ურთიერთკორელაციური ფუნქცია განისაზღვრება ფორმულით:

ა. ყუბანეიშვილი ბიოსიგნალების ციფრული დამუშავება

$$R_{xy}(\tau) = \frac{1}{T} \sum_{n=-\infty}^{\infty} x(n)y(n+\tau), \quad \tau = 0,1,2,\dots,m$$

ხოლო მისი გადაუადგილებადი შეფასება მიიღება შემდეგი ფორმულით:

$$\tilde{R}_{xy}(\tau) = \frac{1}{N-\tau} \sum_{n=1}^{N-\tau} x(n)y(n+\tau), \quad \tau = 0,1,2,\dots,m$$

ანალოგიურად განისაზღვრება:

$$\tilde{R}_{yx}(\tau) = \frac{1}{N-\tau} \sum_{n=1}^{N-\tau} y(n)x(n+\tau), \quad \tau = 0,1,2,\dots,m$$

უნდა შევნიშნოთ, რომ ურთიერთკორელაციური ფუნქციები $\tilde{R}_{xy}(\tau)$ და $\tilde{R}_{yx}(\tau)$ განისაზღვრებიან $x(t)$ და $y(t)$ თანამამრავლების რიგითობით.

ნორმირებული ურთიერთკორელაციური ფუნქცია განისაზღვრება შემდეგი ფორმულით:

$$\tilde{\rho}_{xy}(\tau) = \frac{\tilde{R}_{xy}(\tau)}{\sqrt{\tilde{R}_{xx}(0)}\sqrt{\tilde{R}_{yy}(0)}}, \quad \tau = 0,1,2,\dots,m$$

სადაც თეორიულად უნდა სრულდებოდეს შემდეგი უტოლობა $-1 \leq \tilde{\rho}_{xy}(\tau) \leq 1$. ანალოგიურად განისაზღვრება $\tilde{\rho}_{yx}(\tau)$.

არაპირდაპირი მეთოდი. ფურიეს სწაფი გარდაქმნის მეთოდის გამოყენებით ურთიერთკორელაციური ფუნქციის შეფასების ალგორითმი შეგვიძლია ჩამოვალიბოთ შემდეგნაირად:

1. საწყისი დისკრეტული თანმიმდევრობებს ყოფენ l რაოდენობის N განზომილებიან ინტერვალებად, $l = 2^p$, $p > 0$. შეირჩევა ძვრის მაქსიმალური m მნიშვნელობა ($m < N$) პირობის გათვალისწინებით.
2. ციკლური ეფექტის გამოსარიცხვად თითოეულ ინტერვალს უმატებენ N რაოდენობის ნულებს, რომლის შედეგად ვდებულობთ $2N$ განზომილების ახალ ინტერვალებს;
3. მიღებული $2N$ განზომილებიანი ინტერვალებისათვის განისაზღვრება ორმხრივი ურთიერთსპექტრული სიმკვრივის ფუნქცია $G_{xy}(f)$;
4. მიღებული $G_{xy}(f)$ ფუნქციის უპარდაქმნით ვდებულობთ $R_{xy}^c(\tau)$, $\tau = 0,1,2,\dots,2N-1$ გამოსახულებას;
5. ურთიერთკორელაციური ფუნქციის გადაუადგილებადი შეფასების $\tau = 0,1,2,\dots,N-1$ მნიშვნელობებისათვის $\tilde{R}_{xy}(\tau)$ გამოსახულება უნდა გავამრავლოთ $\frac{N}{N-\tau}$ სამაშტაბო კოეფიციენტები.

5.3 კორელაციური ფუნქციების განსაზღვრის მაგალითები.

ავტოკორელაციური ფუნქცია. განვიხილოთ უმარტივესი შემთხვევა, როცა მოცემულია სამპოზიციური $x_i(n) = (1,1,1)$ სიგნალი, რომელიც შეიძლება ასე

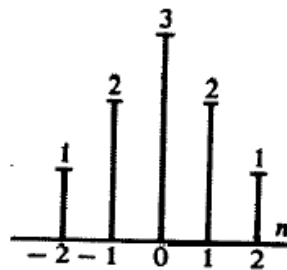
ა. ყუბანეიშვილი ბიოსიგნალების ციფრული დამუშავება

წარმოვიდგინოთ000111000.... განვსაზღვროთ დისკრეტული ავტოკორელაციური ფუნქცია (5.2) ფორმულის გამოყენებით.

$$R_{xx}(\tau) = \sum_{n=-\infty}^{\infty} x(n)x(n+\tau)$$

$\tau = 0$	$x(0) = \sum_{-\infty}^{\infty} x^2(n) = 1 + 1 + 1 = 3$	$R_{x_1 x_1}(0) = 3$
$\tau = 1$	$x_1(n) = \dots 0001110000 \dots$	$R_{x_1 x_1}(1) = 1 + 1 = 2$
$\tau = 2$	$x_1(n) = \dots 0001110000 \dots$	$R_{x_1 x_1}(2) = 1$
$\tau = 3$	$x_1(n) = \dots 0001110000 \dots$	$R_{x_1 x_1}(3) = 0$

მიღებული ავტოკორელაციური ფუნქციის გრაფიკული გამოსახულება წარმოდგენილია შემდეგ ნახაზზე:



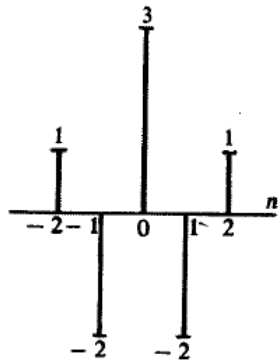
ავიდოთ სხვა სიგნალი $x_2(n) = (1, -1, 1)$, რომლის ავტოკორელაციური ფუნქცია იქნება:

$$R_{x_2 x_2}(0) = 1 + 1 + 1 = 3$$

$$R_{x_2 x_2}(1) = -1 - 1 = -2$$

$$R_{x_2 x_2}(2) = 1$$

$$R_{x_2 x_2}(3) = 0$$



ურთიერთკორელაციური ფუნქცია. აქაც განვიხილოთ მარტივი შემთხვევა, როცა მოცემულია ორი ოთხპოზიციანი სიგნალი $x(n) = (1, 1, 1, -1)$ და $y(n) = (1, 1, -1, 1)$. ურთიერთკორელაციური ფუნქციის გამოსათვლელად გამოვიყენოთ (5.5) ფორმულა.

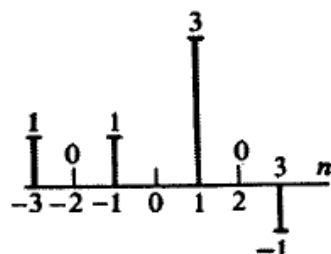
$$R_{xy}(\tau) = \sum_{n=-\infty}^{\infty} x(n)y(n+\tau)$$

$\tau = 0$	$x(n) = \dots \dots 00011 \quad 1 - 10000 \dots \dots$	$y(n) = \dots \dots 00011 - 1 \quad 10000 \dots \dots$	$R_{xy}(0) = 1 + 1 - 1 + -1 = 0$
$\tau = 1$	$x(n) = \dots \dots 000111 - 10000 \dots \dots$	$y(n+1) = \dots 000011 - 11000 \dots \dots$	$R_{xy}(1) = 1 + 1 + 1 = 3$
$\tau = 2$	$x(n) = \dots \dots 000111 - 10000 \dots \dots$	$y(n+2) = \dots 000001 \quad 1 - 11 \dots \dots$	$R_{xy}(2) = 1 - 1 = 0$
$\tau = 3$	$x(n) = \dots \dots 000111 - 1000 \dots \dots$	$y(n+3) = \dots 0000001 \quad 1 - 11 \dots \dots$	$R_{xy}(3) = -1$
$\tau = 4$	$x(n) = \dots \dots 000111 - 10000 \dots \dots$	$y(n+4) = \dots \dots 000000 \quad 011 - 1100 \dots \dots$	$R_{xy}(4) = 0$

გამოვთვალოთ ურთიერთკორელაციის ფუნქცია τ -ს უარყოფითი მნიშვნელობებისათვის. მაშინ მივიღებთ:

$\tau = 0$	$x(n) = \dots \dots 0000011 \quad 1 - 100 \dots \dots$	$y(n) = \dots \dots 0000011 - 1 \quad 100 \dots \dots$	$R_{xy}(0) = 0$
$\tau = -1$	$x(n) = \dots \dots 000001 \quad 11 - 100 \dots \dots$	$y(n-1) = \dots 000011 - 11 \quad 000 \dots \dots$	$R_{xy}(-1) = 1$
$\tau = -2$	$x(n) = \dots \dots 00000 \quad 111 - 1000 \dots \dots$	$y(n-2) = \dots 00011 - 110000 \dots \dots$	$R_{xy}(-2) = 0$
$\tau = -3$	$x(n) = \dots \dots 000 \quad 0111 - 1000 \dots \dots$	$y(n-3) = \dots 0011 - 110000 \dots \dots$	$R_{xy}(-3) = 1$
$\tau = -4$	$x(n) = \dots \dots 00 \quad 000111 - 1000 \dots \dots$	$y(n-4) = \dots 011 - 1100000 \dots \dots$	$R_{xy}(-4) = 0$

მიღებული ურთიერთკორელაციური ფუნქციის გრაფიკული გამოსახულება წარმოდგენილია შემდეგ ნახაზზე;

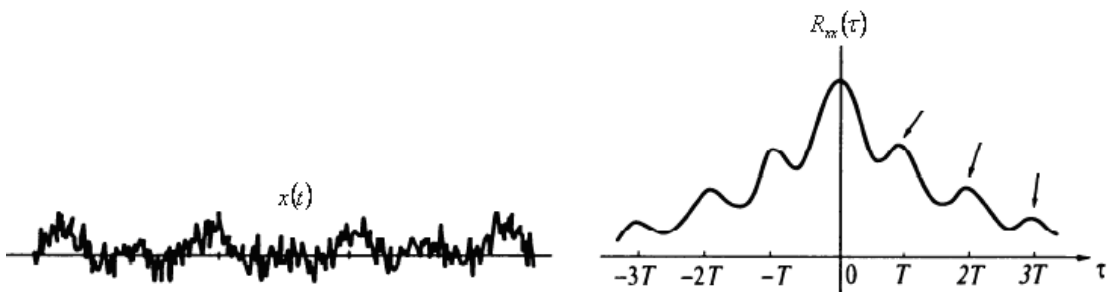


5.4 კორელაციური ანალიზის გამოყენების ზოგიერთი მაგალითი

1. პერიოდული სიგნალის აღმოჩენა.

ბუნებაში მიმდინარე ფიზიკური მოვლენების დიდი რაოდენობა პერიოდულ სიგნალებს წარმოადგენს. როგორც ვიცით, თუ $x(t)$ რეალიზაცია ცხადად პერიოდული სიგნალია T პერიოდით, მაშინ $x(t) = x(t + nT)$, $n = \pm 1, \pm 2, \dots$ ე.ი $x(t)$ ფუნქციის მნიშვნელობები და დროში დაძრული $\pm T, \pm 2T, \pm 3T, \dots$ ფუნქციის მნიშვნელობები საკმაო სიძლიერით არიან ერთმანეთან დაკავშირებული. მაგრამ, ზოგიერთ $x(t)$ სიგნალის რეალიზაციაში პერიოდულობა ცხადად არ ჩანს.

იმისათვის რომ გავიგოთ მართლაც პერიოდულია თუ არა $x(t)$ რეალიზაცია, საჭიროა განისაზღვროს ავტოკორელაციური ფუნქცია. თუ გამოთვლით კორელაციურ ფუნქციაში, რომელიც განსაზღვრულია $x(t)$ და დროში დაძრულ $x(t + nT)$ მნიშვნელობებით, ადმოჩნდება პიკური მნიშვნელობები, რომლებიც მეორდებიან გარკვეული ინტერვალით, მაშინ შეგვიძლია ვიმსჯელოთ $x(t)$ ფუნქციის პერიოდულობის არსებობაზე. განვიხილოთ მაგალითი, ვთქვათ მოცემულია $x(t)$ რეალიზაცია და მისი ავტოკორელაციური ფუნქცია.



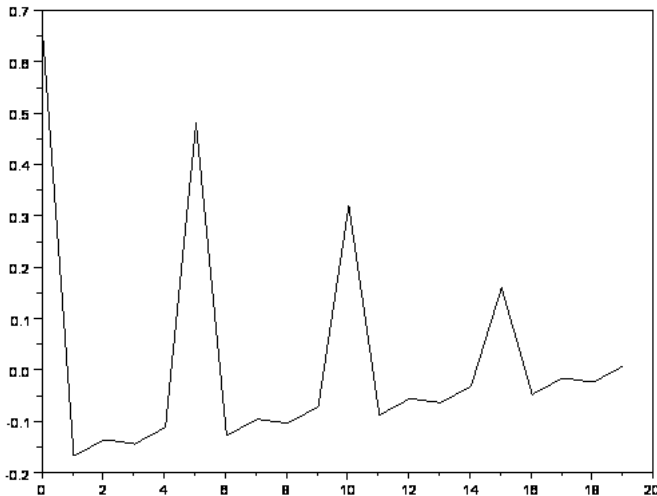
როგორც ავტოკორელაციური ფუნქციის გრაფიკული გამოსახულებიდან ჩანს ავტოკორელაციური ფუნქცია ღებულობს პიკურ მნიშვნელობებს nT წერტილებში $T, T2, T3, \dots$, რაც მიგვანიშნებს $x(t)$ სიგნალში არსებული პერიოდულობას T პერიოდით.

განვიხილოთ მეორე მაგალითი. ვთქვათ, მოცემულია 5 თანრიგიანი პერიოდულად გამეორებადი დისკრეტული თანმიმდევრობა $(1 \ 1 \ 1 \ -1 \ 1)$. ავიღოთ ოთხეროიდიანი დისკრეტული სიგნალი:

$$x(n) = (1 \ 1 \ 1 \ -1 \ 1 \ 1 \ 1 \ -1 \ 1 \ 1 \ 1 \ 1 \ -1 \ 1)$$

და გამოვთვალოთ ავტოკორელაციური ფუნქცია, რომელიც გრაფიკულად წარმოდგენილია შემდეგ ნახაზზე:

ა. ყუბანეიშვილი ბიოსიგნალების ციფრული დამუშავება



ნახაზზე თვალნათლივ ჩანს 4 ლოკალური მაქსიმუმი ხუთი ანათვლის პერიოდით. ეს მიგვანიშნებს იმაზე, რომ მოცემული დისკრეტული თანმიმდევრობა პერიოდულია (პერიოდი ტოლია 5 ანათვლის) და შეიცავს ოთხ პერიოდს. ლოკალური მაქსიმუმების მნიშვნელობა სხვადასხვაა იმის გამო, რომ ჩვენ გვაქვს მონაცემების შეზღუდული რაოდენობა.

2. ხმაურის ფონზე პერიოდული სიგნალის აღმოჩენა.

დაგუშვათ გვაქვს ცენტრირებული $x(t)$ რეალიზაცია, რომელიც შედგება ორი მდგრენელისაგან $x(t) = p(t) + b(t)$, სადაც $p(t)$ – პერიოდული სიგნალია უცნობი T პერიოდით, $b(t)$ – ხმაური. ამ შემთხვევაში ავტოკორელაციური ფუნქცია განისაზღვრება შემდეგი გამოსახულებით:

$$R_{xx}(\tau) = \lim_{T \rightarrow \infty} \frac{1}{T} \int_0^T [p(t) + b(t)] [p(t + \tau) + b(t + \tau)] dt$$

ავტოკორელაციური ფუნქციის თვისებების გათვალისწინებით მიღებული გამოსახულება შეიძლება ასე ჩავწეროთ:

$$R_{xx}(\tau) = R_{pp}(\tau) + R_{bb}(\tau) + R_{pb}(\tau) + R_{bp}(\tau).$$

თუ ჩავთვლით, რომ $b(t)$ ხმაური და $p(t)$ სიგნალი დამოუკიდებელი სდიდებია, მაშინ საკმაო სიზუსტით შეგვიძლია ჩავთვალოთ, რომ ისინი უახლოვდებიან ნულს.

ამრიგად ხმაურის მქონე პერიოდული სიგნალის ავტოკორელაციური ფუნქციის გამოსახულებიდან დარჩება მხოლოდ ერთი მდგრენელი

$$R_{xx}(\tau) = R_{pp}(\tau) + \varepsilon(\tau),$$

სადაც $\varepsilon(\tau)$ ცდომილებაა, რომელიც $x(t)$ რეალიზაციის T სიგრძის ზრდასთან ერთად მცირდება.

3. ხმაურის ფონზე ცნობილი პერიოდიანი სიგნალის აღმოჩენა.

განვიხილოთ შემთხვევა როცა მოცემულია T პერიოდის ხმაურიანი სიგნალი $x(t) = p(t) + b(t)$ და იგივე პერიოდის დამხმარე სიგნალი $y(t)$. განვსაზღვროთ ურთიერთკორელაციური ფუნქცია.

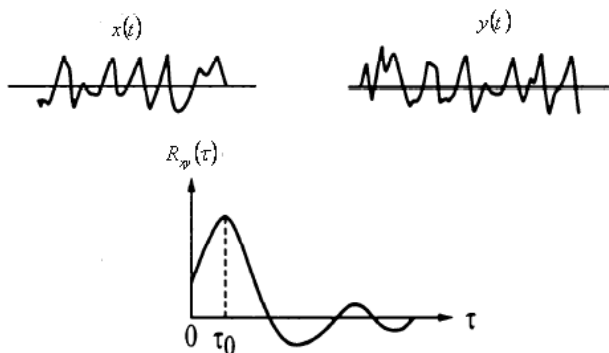
ა- ყუბანეიშვილი ბიოსიგნალების ციფრული დამუშავება

$$R_{xy}(\tau) = \lim_{T \rightarrow \infty} \frac{1}{T} \int_0^T [p(t) + b(t)]y(t + \tau) dt$$

რადგან $y(t)$ და $b(t)$ დამოუკიდებელნი არიან, ამიტომ $R_{xy}(\tau)$ გარკვეული ცდომილებით ნულის ტოლია, ე.ი. გვექნება $R_{xy}(\tau) = R_{py}(\tau)$. ამრიგად, ორი ერთსისშირიანი პერიოდული სიგნალის ურთიერთკორელაციური ფუნქცია იქნება იმავე პერიოდის ფუნქცია.

4. ორ სიგნალს შორის დაყოვნების სიდიდის განსაზღვრა

ურთიერთკორელაციური ფუნქციით შესაძლებელია გაიზომოს ორ სიგნალს შორის დროში დაყოვნების სიდიდე. მაგალითისთვის განვიხილოთ $x(t)$ და $y(t)$ სიგნალები და მათი ურთიერთკორელაციური ფუნქცია, რომლებიც წარმოდგენილნი არიან შემდეგ ნახაზზე:



როგორც ამ ნახაზიდან ჩანს, ურთიერთკორელაციური ფუნქცია მაქსიმუმს აღწევს τ_0 სიდიდის დროს, ე.ი. შეგვიძლია გამოვიტანოთ შემდეგი დასკვნა: $x(t)$ და $y(t)$ სიგნალებს შორის კორელაცია აღწევს მაქსიმალურ მნიშვნელობას მაშინ, როცა ამ სიგნალებს შორის დაყოვნება τ_0 სიდიდის ტოლია.

6. სპექტრული ანალიზი

სპექტრული სიმკვრივის ფუნქცია (სპექტრული სიმკვრივე, სპექტრი) აღწერს შემთხვევითი პროცესის სიხშირულ სტრუქტურას და გვიჩვენებს შესასწავლი პროცესის რეალიზაციაში რომელი სიხშირეები დომინირებენ და რომელი უფრო ნაკლებად. სპექტრული სიმკვრივის განსაზღვრა ძირითადად შესაძლებელია ორი გზით: კორელაციური ფუნქციით და უშუალოდ რეალიზაციის ფურიეს ფინიტური გარდაქმნის საშუალებით. განვიხილოთ ეს ორი მეთოდი.

6.1 სპექტრების განსაზღვრა კორელაციური ფუნქციებით

ვთქვათ მოცემულია სტაციონარული შემთხვევითი პროცესის $\{X(t)\}$ კორელაციური ფუნქცია $R_{xx}(\tau)$, მაშინ სპექტრული სიმკვრივის ფუნქცია განსაზღვრება კორელაციური ფუნქციის ფურიეს გარდაქმნით:

$$S_{xx}(f) = \int_{-\infty}^{\infty} R_{xx}(\tau) e^{-j2\pi f\tau} d\tau \quad (6.1)$$

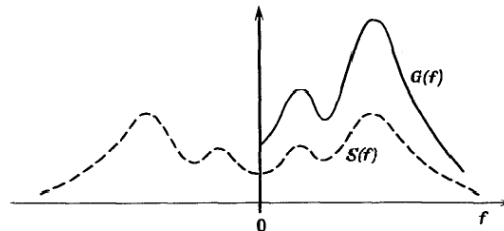
სადაც $S_{xx}(f)$ წარმოადგენს სპექტრული სიმკვრივის ფუნქციას. ზოგჯერ მას ავტოსპექტრსაც უწოდებენ. $S_{xx}(f)$ ფუნქციის ფურიეს უკუგარდაქმნა გვაძლევს კორელაციურ ფუნქციას:

$$R_{xx}(\tau) = \int_{-\infty}^{\infty} S_{xx}(f) e^{j2\pi f\tau} df \quad (6.2)$$

(6.1) და (6.2) დამოკიდებულებებს ხშირად ვინერ-ხინჩინის ფორმულებს უწოდებენ.

როგორც (6.1) ფორმულიდან ჩანს სპექტრული სიმკვრივე განსაზღვრება ყველა სიხშირისათვის, როგორც დადებითი ასევე უარყოფითისათვის, ამიტომ მას ორმხრივ სპექტრს უწოდებენ. პრაქტიკულად მოსახერხებელია იმ სპექტრებთან მუშაობა, რომლებიც არაუარყოფითი სიხშირეებისათვისაა განსაზღვრული. ასეთ სპექტრს ეწოდება ცალმხრივი და განსაზღვრება შემდეგი ფორმულით:

$$G_{xx}(f) = \begin{cases} 2S_{xx}(f) = 2 \int_{-\infty}^{\infty} R_{xx}(\tau) e^{-j2\pi f\tau} d\tau, & f \geq 0, \\ 0, & f < 0 \end{cases}$$



ნახ. 6.1

რადგან კორელაციური ფუნქცია ყოველთვის ლური ფუნქციაა, ამიტომ სპექტრი განსაზღვრება ფურიეს გარდაქმნის მხოლოდ რეალური ნაწილის საშუალებით:

$$G_{xx}(f) = 2 \int_{-\infty}^{\infty} R_{xx}(\tau) \cos(2\pi f\tau) d\tau = 4 \int_0^{\infty} R_{xx}(\tau) \cos(2\pi f\tau) d\tau$$

ფურიეს უკუგარდაქმნა გვაძლევს:

$$R_{xx}(\tau) = \int_0^{\infty} G_{xx}(f) \cos(2\pi f\tau) df$$

ორი $\{X(t)\}$ და $\{Y(t)\}$ სტაციონარული შემთხვევითი პროცესის სპექტრული სიმკვრივე განსაზღვრება ურთიერკორელაციური ფუნქციის ფურიეს გარდაქმნით

$$S_{xy}(f) = \int_{-\infty}^{\infty} R_{xy}(\tau) e^{-j2\pi f\tau} d\tau ,$$

სადაც $S_{xy}(f)$ ეწოდებან ურთიერთსპექტრულ სიმკვრივეს ან ურთიერთსპექტრს. ცალმხრივი სპექტრის დროს გვექნება:

$$G_{xx}(f) = 2 \int_{-\infty}^{\infty} R_{xx}(\tau) \cos(2\pi f\tau) d\tau = 4 \int_0^{\infty} R_{xx}(\tau) \cos(2\pi f\tau) d\tau$$

$$\text{სადაც } C_{xy}(f) = 2 \int_{-\infty}^{\infty} R_{xy}(\tau) \cos(2\pi f\tau) d\tau \quad \text{წარმოადგენს ნამდვილ ნაწილს და}$$

მას კოსპექტრალური სიმკვრივე ეწოდება ან მოკლედ კოსპექტრი, ხოლო წარმოსახვით ნაწილს

$$Q_{xy}(f) = 2 \int_{-\infty}^{\infty} R_{xy}(\tau) \sin(2\pi f\tau) d\tau$$

ეწოდება კვადრატული სპექტრული სიმკვრივე ან მოკლედ კვადრატული სპექტრი.

ურთიერთსპექტრი მოსახერხებელია გამოვსახოთ მოდულისა და ფაზური კუთხის საშუალებით შემდეგნაირად:

$$G_{xy}(f) = |G_{xy}(f)| e^{-j\theta_{xy}(f)},$$

სადაც

$$|G_{xy}(f)| = \sqrt{C_{xx}(f) + Q_{xy}(f)} , \quad \theta_{xy}(f) = \arctg \left[\frac{Q_{xy}(f)}{C_{xy}(f)} \right]$$

ურთიერთსპექტრებისთვის სამართლიანია შემდეგი უტოლობა:

$$|G_{xy}(f)|^2 \leq G_{xx}(f) G_{yy}(f).$$

კორელაციური ფუნქციების სიმეტრიულობიდან გამომდინარე სამართლიანია შემდეგი ტოლობები:

$$S_{xx}(-f) = S_{xx}(f), \quad S_{yy}(-f) = S_{yy}(f), \quad S_{xy}(-f) = S_{yx}(f)$$

ე.ო. სპექტრული სიმკვრივის ფუნქციები ნამდვილი ლურჯი ფუნქციებია, ხოლო ურთიერთსპექტრული სიმკვრივე -კომპლექსური ფუნქციაა.

6.2 სპექტრების განსაზღვრა ფურიეს ფინიტური გარდაქმნით

როგორც აღვნიშნეთ, სპექტრული სიმკვრივის ფუნქციის განსაზღვრა შესაძლებელია ფურიეს ფინიტური გარდაქმნით. დავუშვათ $\{X(t)\}$ და $\{Y(t)\}$ წარმოადგენენ სტაციონალურ და ერგოდიკულ შემთხვევით პროცესებს. ამ პროცესების T სიგრძის k -ური რეალიზაციისათვის ფურიეს ფინიტურ გარდაქმნას აქვს შემდეგი სახე:

$$X_k(f) = X_k(f, T) = \int_0^T x_k(t) e^{-j2\pi ft} dt . \quad Y_k(f, T) = \int_0^T y_k(t) e^{-j2\pi ft} dt$$

ურთიერთსპექტრული სიმკვრივის ფუნქცია განისაზღვრება შემდეგნაირად:

$$S_{xy}(f) = \lim_{T \rightarrow \infty} \frac{1}{T} M[X_k^*(f, T) Y_k(f, T)]$$

ა. ფუბანეიშვილი ბიოსიგნალების ციფრული დამუშავება

სადაც $X_k^*(f, T)$ არის $X_k(f, T)$ კომპლექსურად შეუდლებული სიდიდე. ცალმხრივი სპექტრული და ურთიერთსპექტრული სიმკვრივეები განისაზღვრებიან შემდეგი გამოსახულებებით:

$$\begin{aligned} G_{xx}(f) &= \lim_{T \rightarrow \infty} \frac{2}{T} M[X_k(f, T)^2], \quad G_{yy}(f) = \lim_{T \rightarrow \infty} \frac{2}{T} M[Y_k(f, T)^2] \\ G_{xy}(f) &= \lim_{T \rightarrow \infty} \frac{2}{T} M[X_k^*(f, T)Y_k(f, T)] \end{aligned} \quad (6.3)$$

(6.3) ფორმულებით გამოთვლისას გამოიყენება ფურიეს სწრაფი გარდაქმნის ალგორითმი. რადგან T სიდიდე ყოველთვის სასრულოა და მათემატიკური ლოდინი $M[\bullet]$ აგრეთვე აიღება რეალიზაციის სასრულო რაოდენობიდან, ამიტომ ყველივე ეს იწვევს სპექტრის განსაზღვრის ცდომილებას. აქედან გამომდინარე, საჭიროა შევაფასოდ სპექტრული სიმკვრივრივის ფუნქციები.

6.3 გარდამავალი პროცესების სპექტრული ანალიზი

სტაციონარული პროცესების სპეციალურ კლასს მიეკუთვნება გარდამავალი (იმპულსური) პროცესები, რომლებისთვისაც დამახასიათებელია მოკლე ხანგრძლივობა და ნულისაგან განსხვავდებიან მხოლოდ $[0, T]$ ინტერვალში. განვიხილოთ $\{X(t)\}$ გარდამავალი პროცესის $x(t)$ რეალიზაცია, რომლისთვისაც სრულდება $0 \leq t \leq T$ პირობა. ასეთი $x(t)$ ფუნქციის ფურიეს გარდაქმნას ექნება შემდეგი საახე:

$$X(f) = \int_{-\infty}^{\infty} x(t) e^{-j2\pi ft} dt = \int_0^T x(t) e^{-j2\pi ft} dt$$

რადგან ადგილი აქვს შემდეგ ტოლობას:

$$\int_{-\infty}^0 x(t) e^{-j2\pi ft} dt = \int_T^\infty x(t) e^{-j2\pi ft} dt = 0.$$

ამრიგად, იმპულსური პროცესების სპექტრული ანალიზისათვის შეიძლება გამოვიყენოთ სტაციონარული პროცესების მეთოდები. განვიხილოთ ფუნქცია:

$$W_{xx}(f) = \begin{cases} 2M[X(f)^2], & f \geq 0 \\ 0, & f < 0 \end{cases}$$

რომელსაც ენერგეტიკული სპექტრული სიმკვრივის (ენერგეტიკული სპექტრის) ფუნქციას უწოდებენ. თუ მას შევადარეთ სტაციონარული შემთხვევითი პროცესების სპექტრული სიმკვრივის ფუნქციის განსაზღვრის (6.3) ფორმულას, შევამჩნევთ მათ მსგავსობას. ერთადერთი განსხვავება ისაა, რომ $W_{xx}(f)$ განსაზღვრისათვის არაა საჭირო T სიედიდეზე გაყოფა და შემდეგ ზღვარზე გადასვლა, როცა $T \rightarrow \infty$.

ეს მოსაზრება სამართლიანია, რადგან გარდამავალი პროცესისათვის, როცა $T \rightarrow \infty$, $|X(f)|^2$ მუდმივი, უცვლელი სიდიდეა. მიუხედავად ამისა, ამ ორი $G_{xx}(f)$ და $W_{xx}(f)$ სიდიდის შეფასება ხდება ერთნაირად. ე.ო. გვექნება:

$$W_{xx}(f) = 2|X(f)|^2 = TG_{xx}(f)$$

ა. ფუბანეიშვილი ბიოსიგნალების ციფრული დამუშავება

ანალოგიურად შეიძლება ვაჩვენოთ, რომ თუ გვაქვს ორი გარდამავალი პროცესის $x(t)$ და $y(t)$ რეალიზაცია, მაშინ:

$$W_{xy}(f) = 2X^*(f)Y(f) = TG_{xy}(f)$$

სადაც T ყველგან რეალიზაციის სიგრძეა.

როგორც ვხედავთ, ენერგეტიკული სპექტრი სტაციონარული შემთხვევითი პროცესების სპექტრული სიმკვრივის ფუნქციისაგან განსხვავდება მხოლოდ სამაშტაბო T კოეფიციენტით.

6.4 სპექტრული სიმკვრივის ფუნქციების შეფასება

ფურიეს ფინიტური გარდაქმნით მიღებული სპექტრული სიმკვრივეების (6.3) გამოსახულებებში თუ უგულვებელყოფთ ზღვრისა და მათემატიკური ლოდინის ნიშნებს მივიღებთ შემდეგ სპექტრულ შეფასებებს:

$$\tilde{G}_{xx}(f) = \frac{2}{T} |X(f, T)|^2, \quad \tilde{G}_{yy}(f) = \frac{2}{T} |Y(f, T)|^2, \quad \tilde{G}_{xy}(f) = \frac{2}{T} X^*(f, T)Y(f, T) \quad (6.4)$$

რომლებიც უზრუნველყოფენ სიხშირის მაქსიმალურ $\Delta f = 1/T$ გარჩევის უნარს. იმისათვის, რომ ვიპოვოთ სპექტრული სიმკვრივის ფუნქციის შეფასების დისპერსია, გავიხსენოთ, რომ ფურიეს ფინიტური გარდაქმნა $X(f, T)$ არის კომპლექსური სიდიდე ნამდვილი $X_R(f, T)$ და წარმოსახვითი $X_I(f, T)$ ნაწილებით, რომლებიც წარმოადგენენ არაკორელირებულ შემთხვევით სიდიდეებს ნულოვანი საშუალო მნიშვნელობით და ერთიდაიგივე დისპერსიით. რადგან ფურიეს გარდაქმნა წრფივი ოპერაციაა, ამიტომ, როცა $x(t)$ რეალიზაცია ნორმალურადაა განაწილებული, მაშინ $X_R(f, T)$ და $X_I(f, T)$ სიდიდეებიც იქნებიან აგრეთვე ნორმალურად განაწილებული შემთხვევითი სიდიდეები. აქედან გამომდინარე, გამოსახულება

$$|X(f, T)|^2 = X_R^2(f, T) + X_I^2(f, T)$$

წარმოადგენს ორი დამოუკიდებელი სიდიდეების კვადრატების ჯამს და გააჩნია χ^2 განაწილება $\nu = 2$ თავისუფლების ხარისხით. განვიხილოთ გამოსახულება:

$$\frac{\tilde{G}_{xx}(f)}{G_{xx}(f)} = \frac{\chi^2}{2} .$$

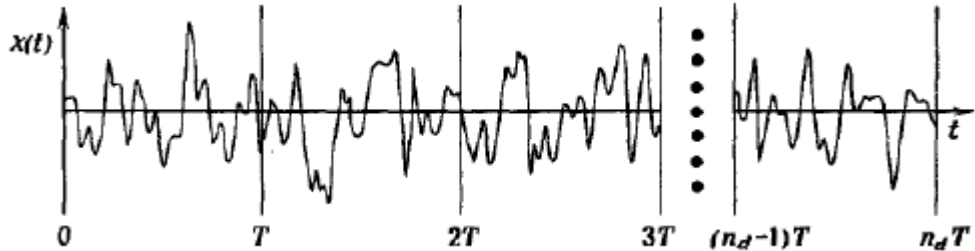
ცნობილია რომ χ^2 განაწილების საშუალო მნიშვნელობა და დისპერსია შესაბამისად ტოლია n და $2n$ მნიშვნელობებისა. მიტომ $\tilde{G}_{xx}(f)$ შეფასების ნორმირებული საშუალო კვადრატული ცდომილება განისაზღვრება შემდეგნაირად:

$$\varepsilon[\tilde{G}_{xx}(f)] = \frac{\sigma[\tilde{G}_{xx}(f)]}{G_{xx}(f)} = \frac{\sqrt{2n}}{n} = \sqrt{\frac{2}{n}}$$

ჩვენ შემთხვევაში $n = 2$ და ამიტომ $\varepsilon[\tilde{G}_{xy}(f)] = 1$, ე.ი. შეფასების საშუალო კვადრატული ცდომილება შესაფასებელი სიდიდის ტოლია, რაც პრაქტიკული კვლევების უმეტეს შემთხვაში მიუღებულია.

არსებობს სპექტრული სიმკვრივის ფუნქციის შემთხვევითი ცდომილების შემცირების რამოდენიმე მეთოდი. განვიხილოთ ზოგიერთი მათგანი.

ინტერვალების გასაშუალება. მოცემული $x(t)$ რეალიზაცია დავყოთ l რაოდენობის T სიგრძის ცალკეულ გადაუკვეთავ ინტერვალებად (ნახ. 6.2)



ნახ. 6.2

თითოეული ინტერვალისათვის განისაზღვრება სპექტრული სიმკვრივის შეფასება და შემდეგ ხდება მათი გასაშუალება. ე.ი. კლებულობთ შემდეგ გამდევნებულ მნიშვნელობას:

$$\tilde{G}_{xx}(f) = \frac{2}{lT} \sum_{k=1}^l |X_k(f, T)|^2, \quad (6.5)$$

სადაც $T = \Delta t \cdot N$. თავის მხრივ, N სიდიდეზე დამოკიდებული სიხშირის გარჩევის უნარის ანუ სიხშირული დიაპაზონის სიდიდე $\Delta f = 1/T = 1/\Delta t N$. რადგან (6.5) გამოსახულების მარჯვენა მხარეს მყოფი ყოველი შეფასება გვაძლევს $\nu = 2$ თავისუფლების ხარისხს, ამიტომ მიღებული გასაშუალებულ შეფასებას აქვს შემდეგი ცდომილება:

$$\varepsilon[\tilde{G}_{xx}(f)] = \sqrt{\frac{2}{2l}} = \sqrt{\frac{1}{l}}.$$

როგორც ავტოსპექტრის $\tilde{G}_{xx}(f)$, ასევე ურთიერთსპექტრის $\tilde{G}_{xy}(f)$ შეფასება შეიცავს მიუღებულ შემთხვევით ცდომილებას. პრაქტიკაში ამ შემთხვევით ცდომილებას ამცირებენ ზემოდ განხილული მეთოდით. კერძოდ, T სიგრძის l რაოდენობის ინტერვალებისათვის გამოითვლება ურთიერთსპექტრების შეფასებები და შემდეგ ხდება მათი გასაშუალება რომელიც იძლევა შემდეგ შეფასებას:

$$\tilde{G}_{xy}(f) = \frac{2}{lT} \sum_{k=1}^l X_k^*(f, T) Y_k(f, T),$$

რომლის ნორმირებული საშუალო კვადრატული შეცდომა განისაზღვრება შემდეგი ფორმულით:

$$\varepsilon[\tilde{G}_{xy}(f)] = \frac{1}{|\tilde{g}_{xx}(f)|\sqrt{l}}$$

სადაც $|\gamma_{xy}(f)|$ არის კვადრატული ფესვი კოჰერენციული ფუნქციიდან.

სიხშირული გასაშუალება. თუ სპექტრული სიმკვრივის ფუნქცია მიღებულია შემთხვევითი პროცესის მოკლე რალიზაციიდან, მაშინ შემთხვევითი ცდომილების შემცირება შესაძლებელია q რაოდენობის მეზობელი სიხშირეების გასაშუალებით:

$$\tilde{G}_{xx}(f_k) = \frac{1}{q} [\tilde{G}_{xx}(f_k) + \tilde{G}_{xx}(f_{k+1}) + \dots + \tilde{G}_{xx}(f_{k+q-1})],$$

რომელსაც გააჩნია χ^2 განაწილება $\nu = 2q$ თავისუფლების ხარისხით. ამ შემთხვევაში ნორმირებული საშუალო კვადრატული შეცდომა ტოლია:

ა. ყუბანევიშვილი ბიოსიგნალების ციფრული დამუშავება

$$\varepsilon[\tilde{G}_{xx}(f)] = \sqrt{\frac{1}{q}}.$$

შესაძლებელია კომბინირებული ან ორივე მეთოდის, ინტერვალების და სიხშირული გასაშუალების, ერთდროული გამოყენება. მაშინ ნორმირებული საშუალო კვადრატული შეცდომა ტოლია:

$$\varepsilon[\tilde{G}_{xx}(f)] = \sqrt{\frac{1}{ql}}$$

სპექტრების შეფასება ფურიეს გარდაქმნის მეთოდით. ფურიეს სწრაფი გარდაქმნის ალგორითმის შემოღების შემდეგ ძალზედ გაადგილდა სპექტრული სიმკვრივის ფუნქციების განსაზღვრა ფურიეს ფინიტური გარდაქმნის საშუალებით, როცა $x(t)$ რეალიზაცია წარმოდგენილია დისკრეტული თანმიმდევრობის სახით $x(n\Delta t)$, $n=1,2,\dots,N$. ფურიეს ფინიტური გარდაქმნა გვაძლევს სპექტრული სიმკვრივის მნიშვნელობებს შემდეგი დისკრეტული სიხშირეების დროს:

$$f_k = \frac{k}{T} = \frac{k}{\Delta t N}, \quad k = 0, 1, 2, \dots, N-1$$

ამასთან, თითოეული ინტერვალისათვის ფურიეს კოეფიციენტები განისაძლვებიან შემდეგნაირად:

$$X_i(f_k) = \Delta t X_{ik} = \Delta t \sum_{n=0}^{N-1} x_i(n) e^{-j \frac{2\pi kn}{N}} \quad (6.6)$$

რაც შეეხება ურთიერთსპექტრის განსაზღვრას იგი შეიძლება მივიღოთ ორი გზით: 1) ცალცალკე განვსაზღვროთ ორივე $x(t)$ და $y(t)$ რეალიზაციებისათვის ფურიეს კოეფიციენტები (6.6) ფორმულით და შემდეგ გამოვიყენოთ (6.4) ფორმულა. 2) ორი რეალიზაციის ფურიეს გარდაქმნა შეიძლება მივიღოთ ერთდროულად, თუ ერთ რეალიზაციას წარმოვადგენო როგორც ნამდვილს, ხოლო მეორეს – წარმოსახვით ნაწილებად რაიმე, ვთქვათ $z(n)$ კომპლექსური რეალიზაციისათვის. ე.ო. გვექნება:

$$z(k) = x(n) + jy(n), \quad n = 0, 1, 2, \dots, N-1,$$

მაშინ ფურიეს გარდაქმნა გვაძლევს:

$$Z(k) = \sum_{n=0}^{N-1} [x(n) + jy(n)] e^{-j \frac{2\pi kn}{N}}, \quad k = 0, 1, 2, \dots, N-1 \quad (6.7)$$

რომელიც შეიძლება განისაზღვროს ფურიეს სწრაფი გარდაქმნის მეთოდით. $X(k)$ და $Y(k)$ ფუნქციების მისაღებად შევნიშნოთ, რომ $e^{\frac{j2\pi n(N-k)N}{N}} = e^{-j \frac{2\pi nk}{N}}$, რადგან $e^{j2\pi n} = 1$ ნებისმიერი n -სათვის. აქედან გამომდინარე, კომპლექსურად შეუდლებული ფუნქცია ტოლია:

$$Z^*(N-k) = \sum_{n=0}^{N-1} [v(n) - jy(n)] e^{-j \frac{2\pi nk}{N}},$$

რომელსაც საბოლოოდ მივყევართ შემდეგ გამოსახულებებდნენ:

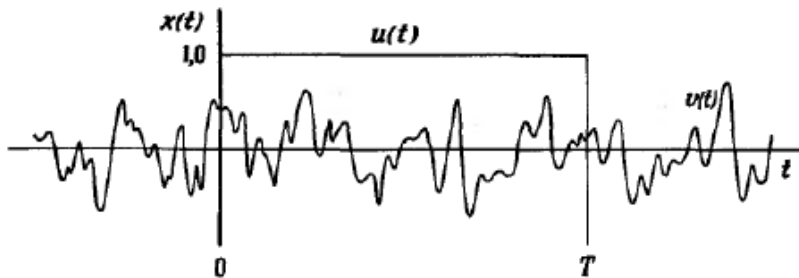
$$X(k) = \frac{1}{2}(Z(k) + Z(N-k)), \quad Y(k) = \frac{1}{j2}(Z(k) - Z(N-k)), \quad k = 0, 1, 2, \dots, N-1 \quad (6.8)$$

6.5 სპექტრის ენერგიის გაუონვის ჩახშობის მეთოდები

$x(t)$ რეალიზაციის ფურიეს ფინიტური გარდაქმნა შეიძლება განვიხილოთ როგორც $V(t)$ ფუნქციის გარდაქმნა უსასრულო ინტერვალზე, გამრავლებული ა.წ. მართკუთხა „დროით ფანჯარაზე“ რომელსაც აქვს შემდეგი სახე:

$$U(t) = \begin{cases} 1, & 0 \leq t \leq T \\ 0, & t < 0, \quad t > T \end{cases}$$

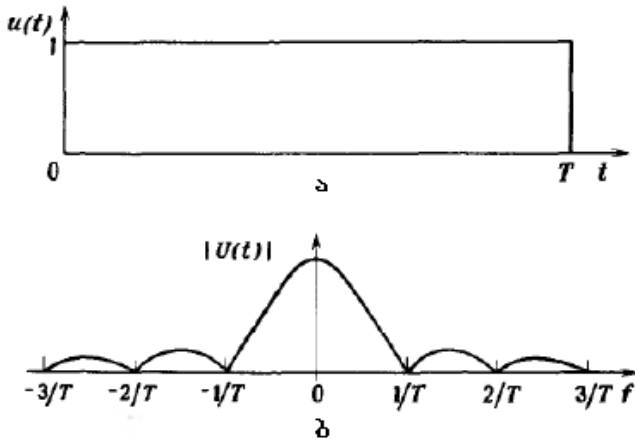
სხვა სიტყვებით, რეალიზაცია $x(t)$ შეიძლება წარმოვიდგინოთ როგორც ნამრავლი $x(t) = U(t)V(t)$



მართკუთხა $U(t)$ ფუნქციის ფურიეს გარდაქმნას აქვს შემდეგი სახე:

$$U(f) = T \left(\frac{\sin(2\pi fT)}{\pi fT} \right) e^{-jn\pi fT} \quad (6.9)$$

და მისი გრაფიკული გამოსახულება წარმოდგენილია შემდეგ ნახაზზე:



როგორც ნახაზიდან ჩანს, $|U(f)|$ გამოსახულებას გააჩნია გვერდითი რხევები, რომლებიც იწვევენ სპექტრული სიმკვრივის ენერგიის გაუონვას, რაც იწვევს სპექტრის მნიშვნელოვან დამახინჯებას. განვიხილოთ გაუონილი ენერგიის ჩახშობის მეთოდები.

დროით გაგლუვება. სპექტრის ენერგიის გაუონვის ჩასახშობად პრაქტიკაში იყენებენ დროით ფანჯრებს, რომლებიც საწყის რეალიზაციას ისე აგლუვებენ, რომ ჩაიხშოს $[0, T]$ ინტერვალის საწყის და ბოლოში არსებული მკვეთრი ცვალებადობები. არსებობს მრავალი „ფანჯარა“, მათ შორის ყველაზე უფრო გამოიყენება ე.წ. კოსინუსოიდალური ანუ, როგორც მას უწოდებენ ჰანის ფანჯარა, რომელსაც აქვს შემდეგი სახე:

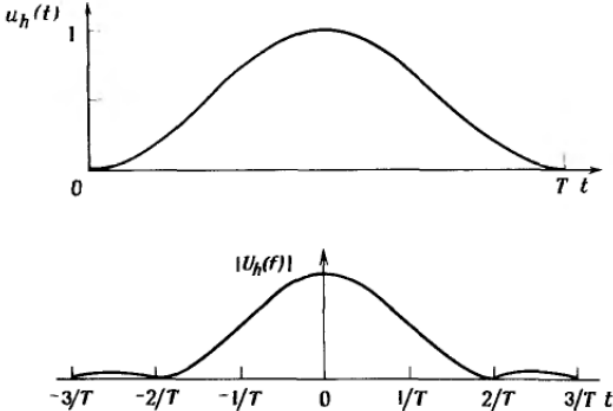
ა. ყუბანეიშვილი ბიოსიგნალების ციფრული დამუშავება

$$U_h(t) = 0,5 \left(1 - \cos \left(\frac{2\pi t}{T} \right) \right) = 1 - \cos^2 \left(\frac{\pi t}{T} \right), \quad 0 \leq t \leq T$$

ჰანის ფანჯრის ფურიეს გარდაქმნას აქვს შემდეგი სახე:

$$U_h(f) = \frac{1}{2} U(f) - \frac{1}{4} U(f - f_1) - \frac{1}{4} U(f + f_1),$$

სადაც $1/T$, $U_h(f)$ ჰანისაზღვრება (6.8) ფორმულით. ჰანის ფანჯრის დროითი და სპექტრული ფუნქციები წარმოდგენილია შემდეგ ნახაზზე:



ადმოჩნდა, რომ ჰანის ფანჯრის გამოყენებით სპექტრული სიმკვრივის ფუნქციის გამოთვლისას დანაკარგები ნებისმიერი

$$f_k = k/T, \quad k = 0, 1, 2, \dots, N/2$$

სიხშირისათვის გამოდის $3/8$ სიდიდის ტოლია. ამიტომ, სპექტრული შეფასება, რომელიც განისაზღვრება (6.6) ფორმულით უნდა გავამრავლოთ სამაშტაბო კოეფიციენტები $\sqrt{8/3}$, მაშინ მივიღებთ:

$$X_i(f_k) = \Delta t \sqrt{\frac{8}{3}} \sum_{n=0}^{N-1} x_i(n) \left(1 - \cos^2 \left(\frac{\pi n}{N} \right) \right) e^{-j \frac{2\pi kn}{N}} \quad (6.10)$$

$$\text{სადაც } f_k = \frac{k}{\Delta t}, \quad k = 0, 1, 2, \dots, \frac{N}{2}.$$

მფარავი ინტერვალების მეთოდი. ადსანიშნავია, რომ სპექტრული ფანჯრის გვერდითი რხევებიდან ენერგიის გაუონვის ჩახშობა იწვევს ფანჯრის მთავარი მაქსიმუმის სიგანის ზრდას, რასაც მივყევართ სიხშირის გარჩევის უნარის შემცირებასთან. ჰანის ფანჯრის გამოყენებისას გატარების ზოლის სიგანე, განსხვავებული ენერგიის დონის მიხედვით, იზრდება 60%-ით. ჩვეულებრივ, გარჩევის უნარის ასეთი გაუარესება კომპენსირდება გაუონვის ენერგიის ჩახშობით ყველა იმ სიხშირებისათვის, რომლებიც განლაგებულნი არიან მთავარი მაქსიმუმის გარეთ. ამასთან ერთად, დროით გაგლუვებას მივყავართ სპექტრულ შეფასებათა ცვალებადობის ზრდასთან. თუ საწყის რეალიზაციას გააჩნია სიხშირით მუდმივი სპექტრი, მაშინ ჰანის ფანჯრით რეალიზაციის გაგლუვება ზრდის სპექტრის შეფასების დისპერსიას დაახლოებით ორჯერ ანუ სპექტრული სიმკვრივის შეფასების ცდომილება, რომელიც ჰანის ფანჯრის გამოყენებითაა განპიროვნებული, არის $\varepsilon = \sqrt{2/l}$ და არა $\varepsilon = \sqrt{1/l}$.

ა- ფუბანეიშვილი ბიოსიგნალების ციფრული დამუშავება

იმისათვის, რომ დროით გაგლუვების ხარჯზე შევამციროთ შეფასების ცვალებადობის ზრდა, ზოგჯერ უმჯობესია გამოვიყენოთ ურთიერთმფარავი მონაკვეთთა ანალიზის მეთოდი. ამ დროს საწყისი რეალიზაცია $x(t)$ იყოფა არა I რაოდენობის დამოუკიდებელ მონაკვეთებად $x_i(t)$, $(i-1) \leq t \leq iT$, $i=1,2,\dots,N$, არამედ მფარავ ინტერვალებად:

$$[q(i-1)]T \leq t \leq [q(i-1)+1]T, \quad i=1,2,\dots,N, \quad q < 1.$$

როგორც წესი, q -ს მნიშვნელობას იღებენ 0,5 სიდიდის ტოლად, რასაც მივყავართ მონაკვეთთა 50%-იან გადაფარვისაკენ, როგორც ეს შემდეგ ნახაზზეა წარმოდგენილი:



ეს მეთოდი გვაძლევს საშუალებას 90%-მდე აღგადგინოთ შეფასების მდგრადობა, რომელიც დროით გაგლუვების დროს იკარგება. მეთოდის ნაკლი იმაში მდგომარეობს, რომ ფურიეს გარდაქმნათა რიცხვი ორჯერ იზრდება.

6.6 სპექტრების ექვივალენტობის პიპოთეზის შემოწმება

განვიხილოთ სპექტრული სიმკვრივეების ორი შეფასება $\tilde{G}_1(f)$ და $\tilde{G}_2(f)$, რომლებიც მიღებულია სხვადასხვა პირობებში, მაგალითად ორი განსხვავებული რეალიზაციით ან ერთი და იგივე რეალიზაციის ორ განსხვავებულ ინტერვალზე. საჭიროა განისაზღვროს ექვივალენტურია თუ არა სტატისტიკური აზრით ეს ორი სპექტრი ერთი და იგივე (f_a, f_b) სიხშირეთა ზოლში, რომლის სიგანეა $B = f_b - f_a$.

დაუშვათ, რომ სპექტრები გამოთვლილია Δf სიხშირული გარჩევის უნარის დროს, ისე რომ B სპექტრის სიგანე დაიყო N_f ზოლებად, ანუ $N_f = B/\Delta f$. ჩავთვალოთ, რომ გასაშუალებათა რიცხვი ორივე სპექტრისათვის შესამისად l_1 და l_2 ტოლია და ამასთან გასაშუალების დრო ყოველი შეფასებისათვის შეიძლება იყოს განსხვავებული, თუმცა სიხშირის გარჩევის უნარი იქნება ერთნაირი.

$H_0 : \tilde{G}_1(f) = \tilde{G}_2(f)$ ნულოვანი პიპოთეზის შესამოწმებლად განვიხილოთ შემდეგი სტატისტიკა:

$$D^2 = \left[\frac{1}{l_1} + \frac{1}{l_2} \right]^{-1} \sum_{i=1}^n \left[\log \frac{\tilde{G}_1(f)}{\tilde{G}_2(f)} \right]^2,$$

რომელსაც გაჩნია χ^2 განაწილება $\nu = N_f$ თავისუფლების ხარისხით. ν და α მნიშვნელობების დონის მიხედვით χ^2 განაწილების ცხრილიდან მოიძებნება $\chi_{\alpha;\nu}$ კრიტიკული მნიშვნელობა. თუ აღმოჩნდება, რომ $D^2 < \chi_{\alpha;\nu}$, მაშინ არ

ა- ყუბანებიშვილი ბიოსიგნალების ციფრული დამუშავება

არის საფუძველი ნულოვანი პიპოთეზის უარსაყოფად ე.ი სპექტრები ექვივალენტურნი არიან. თუ $D^2 \geq \chi_{\alpha;\nu}$, მაშინ ნულოვანი პიპოთეზა უარყოფილია და სპექტრები არაექვივალენტურნი არიან.

თუ აღმოჩნდება, რომ სპექტრული სიმკვრივების შეფასებები $\tilde{G}_1(f)$ და $\tilde{G}_2(f)$, ექვივალენტურნი არიან, მაშინ შესაძლებელია მათი გაერთიანება

$$\tilde{G}_p(f) = \frac{l_1 \tilde{G}_1(f) + l_2 \tilde{G}_2(f)}{l_1 + l_2} \quad (6.10)$$

რომლის შემთხვევითი ცდომილება ტოლია: $\varepsilon = [\tilde{G}_p(f)] = \sqrt[l_d]{l_d}$, სადაც $l_d = l_1 + l_2$

(6.10) ფორმულა ადგილად შეიძლება განვაზოგადოთ q რაოდენობის სპექტრებისათვის.

6.7 სპექტრული ანალიზის ჩატარების რეკომენდაციები

ჩამოვაყალიბოთ ზოგადი სახის რეკომენდაციები:

1) სპექტრული ანალიზის ჩატარებისას აუცილებელია მოცემული სტაციონარული დისკრეტული მწკრივის $x(n)$, $n = 1, 2, \dots, N$ ცენტრირება $\tilde{x}_i = x_i - \bar{x}$, სადაც \bar{x} საშუალო არითმეტიკულია. ეს გამოწვეულია იმით, რომ დისკრეტული სიგნალის რეალიზაციიდან გამოირიცხოს დაბალი სიხშირის მდგრენელი, რომელიც შეიძლება გამოწვეული იყოს როგორც ტრენდის არსებობით, ასევე გამზომი ხელსაწყოს იზოხაზის დრეიფით ან სულაც გარეშე, გაუთვალისწინებელი ფაქტორის ზეგავლენით.

2) ცენტრირების პროცესი მიუღებელია გარდამავალი (იმპულსური) პროცესებისათვის, რადგან $[0, T]$ ინტერვალის გარეთ გვექნება არა ნულოვანი მნიშვნელობები, არამედ საშუალო არითმეტიკულის ტოლი მუდმივი სიდიდე, რაც გამოწვევს სპექტრის დამახინჯებას.

3) სტაციონარული დროითი მწკრივების კორელაციურ-სპექტრული ანალიზის ჩასატარებლად მიზანშეწონილია რეალიზაციიდან გამოირიცხოს ტრენდი, რომელიც იწვევს ანალიზის შედეგების დამახინჯებას. მაგრამ, თუ საჭიროა პროგნოზირების ამოცანის გადაწყვეტა, მაშინ პირობით, რეალიზაციიდან უნდა გამოვყოთ ტრენდი და მისი საშუალებით მოვახდინოთ პროგნოზირება.

4) ფურიეს სწრაფი გარდაქმნის გამოყენებისას დროითი მწკრივის რეალიზაციის სიგრძე N ისე უნდა შევარჩიოთ, რომ იგი ტოლი იყოს 2^p სიდიდისა, სადაც p მთელი დადებითი რიცხვია. თუ ეს პირობა არ სრულდება, მაშინ რეალიზაციის სიგრძე უნდა შევამციროთ ან დაუმატოთ ნულები.

ზემოთ მოყვანილი მოსაზრებების მხედველობაში მიღების შემდეგ ჩამოვაყალიბოთ სპექტრული სიმკვრივის ფუნქციის განსაზღვრის შემდეგი ალგორითმი:

ა. ყუბანევიშვილი ბიოსიგნალების ციფრული დამუშავება

1. მოცემული დისკრეტული სიგნალის რეალიზაცია $x(n)$, $n = 1, 2, \dots, N$ იყოფა n_d რაოდენობის ტოლი სიგრძის ინტერვალებად, რომლებიც შეიცავენ N რაოდენობის ანათვლებს ($N = 2^p$);

2. თითოეული ინტერვალისათვის პანის ფანჯრის საშუალებით მოვახდინოთ მონაცემების გაგლუვება. შეიძლება გამოვიყენოთ სხვა დროითი ფანჯრები;

3. თითოეული ინტერვალისათვის ფურიეს სწრაფი გარდაქმნით (6.8) ფონმული საშუალებით გამოითვლება $X(f_k)$, $k = 0, 1, 2, \dots, N/2$ კოეფიციენტები;

4. $X(f_k)$ მნიშვნელობები უნდა გავამრავლოთ სამაშტაბო კოეფიციენტზე, რათა გამოვრიცხოთ დროითი ფანჯრის მიერ გამოწვეული ცვლილებები (თუ ვიყენებთ პანის ფანჯარას, მაშინ ეს კოეფიციენტი ტოლია $\sqrt{8/3}$ სიდიდისა);

5. (6.5) ფორმულით გვებულობთ ცალმხრივი სპექტრული სიმკვრივის ფუნქციის შეფასებას;

ანალოგიურად შეიძლება ჩამოვაყალიბოთ ურთიერთსპექტრული სიმკვრივის ფუნქციის განსაზღვრის ალგორითმი;

1. მოცემული დისკრეტული სიგნალების $x(n)$, $y(n)$, $n = 1, 2, \dots, N$ რეალიზაციები დავყოთ n_d რაოდენობის ინტერვალებად, რომლებიც შეიცავენ N რაოდენობის ანათვლებს ($N = 2^p$);

2. პანის ფანჯრის საშუალებით თითოეული ინტერვალისათვის მოვახდინოთ დროითი გაგლუვება;

3. გაგლუვებული x_i მნიშვნელობები ჩავწეროთ როგორც ნამდვილი რიცხვები, ხოლო გაგლუვებული y_i მნიშვნელობები – როგორც წარმოსახვითი $z_i = x_i + jy_i$, $i = 0, 1, 2, \dots, N-1$.

4. თითოეული ინტერვალისათვის ფურიეს სწრაფი გარდაქმნით (6.7) ფორმულით განისაზღვრება $Z(f_k)$, $k = 0, 1, 2, \dots, N-1$ მნიშვნელობები;

5. თითოეული ინტერვალისათვის (6.8) ფორმულებით განისაზღვრება $X(f_k), Y(f_k)$, $k = 0, 1, 2, \dots, N/2$ სიდიდეები;

6. $X(k)$ და $Y(k)$ მნიშვნელობები მრავლდება სამაშტაბო კოეპიციენტზე (პანის ფანჯრის შემთხვევაში იგი ტოლია $\sqrt{8/3}$ სიდიდისა);

7. ყოველი წყვილი ინტერვალისათვის განისაზღვრება გაუგლუვებელი ცალმხრივი ურთიერთსპექტრული სიმკვრივეები

$$S_{xy}(f_k) = \frac{2}{\Delta t N} [X^*(f_k)Y(f_k)], \quad k = 0, 1, 2, \dots, N-1.$$

8. გაუგლუვებელი $S_{xy}(f_k)$, $k = 0, 1, 2, \dots, N-1$ მნიშვნელობების საშუალებით მივიღებთ გაგლუვებულ მნიშვნელობებს

$$\tilde{G}_{xy}(f_k), \quad k = 0, 1, 2, \dots, N/2$$

შენიშვნა. ურთიერთსპექტრული სიმკვრივის ფუნქცია შეიძლება განისაზღვროს სხვანაირადაც. კერძოდ, თითოეული დისკრეტული სიგნალისათვის განისაზღვროს სპექტრული სიმკვრივის ფუნქცია და შემდეგ ურთიერთსპექტრული სიმკვრივე შეგვიძლია განვსაზღვროდ (6.4) ფორმულით.

6.8 გადაცემის და კოპერენტული ფუნქციების შეფასებები

გადაცემის ფუნქციის შეფასება. განვიხილოთ მუდმივპარამეტრიანი $h(n)$ იმპულსური მახასიათებლის მქონე წრფივი დისკრეტული სისტემა ერთი შესასვლელით და ერთი გამოსასვლელით. დაუშვათ, შესასვლელზე მიეწოდება ცნობილი ერგოდიკული სტაციონალური შემთხვევითი პროცესის $x(t)$ რეალიზაცია, რომელიც წრფივი სისტემის გამოსავალზე იძლევა $y(t)$ რეალიზაციას. როგორც ცნობილია იმპულსური მახასიათებლის ფურიეს გარდაქმნა გვაძლევს სისტემის გადაცემ $H(f)$ ფუნქციას. ე. ი.

$$H(f) = \sum_{m=0}^{\infty} h(m) e^{-j2\pi fm}.$$

მეორეს მხრივ, გადაცემის ფუნქცია შეიძლება მივიღოთ $x(t)$ და $y(t)$ ფუნქციების სპექტრული სიმკვრივეების $G_{xx}(f), G_{yy}(f)$ და ურთიერთსპექტრული სიმკვრივის ფუნქციების $G_{xy}(f)$ საშუალებით, რომელთა შორის არსებობს შემდეგი დამოკიდებულებები:

$$G_{yy}(f) = |H(f)|^2 G_{xx}(f), \quad G_{xy}(f) = H(f) G_{xx}(f) \quad (6.11)$$

საიდანაც

$$H(f) = \frac{G_{xy}(f)}{G_{xx}(f)} \quad (6.12)$$

გადაცემის $H(f)$ ფუნქცია შეგვიძლია წარმოვადგინოთ პოლარულ კორდინაციებში შემდეგნაირად:

$$\tilde{H}(f) = |\tilde{H}(f)| e^{-j\tilde{\phi}(f)}$$

სადაც $|H(f)|$ – ამპლიტუდური, ხოლო $\phi(f)$ – ფაზური მახასიათებლების შეფასებებია, რომლებიც განსაზღვრულნი არიან

$$f_k = \frac{k}{\Delta t}, \quad k = 0, 1, 2, \dots, \frac{N}{2}$$

სიხშირეებზე და განისაზღვრებიან შემდეგი ფორმულებით:

$$|\tilde{H}(f_k)| = \frac{[\tilde{C}_{xy}(f_k) + \tilde{Q}_{xy}^2(f_k)]^{1/2}}{\tilde{G}_{xx}(f_k)}, \quad \tilde{\phi}(f_k) = \arctg \left[\frac{\tilde{Q}_{xy}(f_k)}{\tilde{C}_{xy}(f_k)} \right],$$

სადაც $\tilde{G}_{xx}(f_k)$ – სპექტრული სიმკვრივის ფუნქციის შეფასებაა, $\tilde{C}_{xy}(f_k)$ და $\tilde{Q}_{xy}(f_k)$ – ურთიერთსპექტრული სიმკვრივის ფუნქციის შეფასების ნამდვილი და წარმოსახვითი ნაწილებია.

გადაცემის ფუნქციის ამპლიტური მახასიათებლის ნორმირებული შემთხვევითი შეცდომა დაახლოებით ტოლია ფაზური მახასიათებლის საშუალო კვადრატული გადახრისა და განისაზღვრება შემდეგი ფორმულით:

$$\varepsilon[\tilde{H}(f)] = \sigma[\tilde{\phi}_{xy}(f)] = \frac{[1 - \gamma_{xy}^2(f)]^{1/2}}{|\gamma_{xy}(f)|\sqrt{2l}},$$

სადაც – $\tilde{\gamma}_{xy}^2(f)$ კოპერენტული ფუნქციის შეფასებაა, l - სპექტრული მახასიათებლების გასაშუალების რაოდენობაა.

კოპერენტული ფუნქციის შეფასება. თუ (6.12) გამოსახულებას ჩავსვამთ (6.11) ფორმულაში, მაშინ მივიღებთ შემდეგ გამოსახულებას:

$$|G_{xy}(f)|^2 = G_{xx}(f)G_{yy}(f),$$

რომელიც საშუალებას გვაძლევს განვსაზღვროთ ნამდვილის სიდიდე:

$$\gamma_{xy}^2(f) = \frac{|G_{xy}(f)|}{G_{xx}(f)G_{yy}(f)}$$

რომელსაც კოპერენტული ფუნქცია ეწოდება. ყოველი f -ისათვის კოპერენტული ფუნქცია აქმაყოფილებს შემდეგ უტოლობას:

$$0 \leq \gamma_{xy}^2(f) \leq 1.$$

უნდა აღინიშნოს, რომ კოპერენტული ფუნქცია კორელაციის კოეფიციენტის გვადრაცის ანალოგიურია. ე.ი. როდესაც სისშირის რაღაც მნიშვნელობისათვის $\gamma_{xy}^2(f) = 0$, მაშინ ამბობენ, რომ $x(t)$ და $y(t)$ ფუნქციები მოცემულ f სისშირეზე არაკოპერენტული ანუ არაკორელირებულნი არიან. თუ $x(t)$ და $y(t)$ ფუნქციები სტატისტიკურად დამოუკიდებელნი არიან ყველა f სისშირის მნიშვნელობისათვის, მაშინ $\gamma_{xy}^2(f) = 0$. როდესაც სისშირის ყველა მნიშვნელობისათვის $\gamma_{xy}^2(f) = 1$, მაშინ ამბობენ, რომ $x(t)$ და $y(t)$ ფუნქციები სრულად კოპერენტული არიან.

ზოგადად, ორი ნებისმიერი $x(t)$ და $y(t)$ რეალიზაციებისათვის ყოველთვის შეიძლება განისაზღვროს კოპერენტული ფუნქციის შეფასება თუ ცნობილია $\tilde{G}_{xx}(f)$, $\tilde{G}_{yy}(f)$ და $\tilde{G}_{xy}(f)$ სპექტრული სიმკვრივეების შეფასებები. ამასთან, კოპერენტული ფუნქციის მნიშვნელობა გვიჩვენებს ერთი რეალიზაციის მეორე რეალიზაციასთან წრფივი სისშირული დამოკიდებულების ხარისხს.

კოპერენტული ფუნქციის შეფასების ნორმირებული შემთხვევითი შეცდომა განისაზღვრება ფორმულით:

$$\varepsilon[\tilde{\gamma}_{xy}^2(f)] = \frac{\sqrt{2}[1 - \gamma_{xy}^2(f)]}{|\gamma_{xy}^2(f)|\sqrt{l}}.$$

როგორც ფორმულიდან ჩანს, $\varepsilon[\gamma_{xy}^2(f)] \rightarrow 0$ როცა $l \rightarrow \infty$ ან $\gamma_{xy}^2(f) \rightarrow 1$. თუ $\gamma_{xy}^2(f)$ -ის მნიშვნელობები ახლოსაა ერთთან, მაშინ ნებისმიერი $n_d > 1$ -ისათვის კოპერენტული ფუნქციის შეფასება შეიძლება აღმოჩნდეს უფრო ზუსტი, ვიდრე მისი განისაზღვრისათვის გამოყენებული სპექტრული სიმკვრივეების შეფასებები.

$l > 1$ შეზღუდვა ნათელია, რადგან, როცა $l = 1$, მაშინ ყველა სისშირისათვის $\gamma_{xy}^2(f) = 1$, ანუ ამ შემთხვევის შესაბამისი კოპერენტული ფუნქციის შეფასება უაზრობაა. მართლაც, თუ

$$G_{xx}(f) = \frac{2}{T} |X(f, T)|^2 = \frac{2}{T} X^*(f, T) X(f, T)$$

$$G_{yy}(f) = \frac{2}{T} Y^*(f, T) Y(f, T), \quad G_{xy}(f) = \frac{2}{T} X^*(f, T) Y(f, T)$$

მაშინ გვექნება:

$$\begin{aligned} \gamma_{xy}^2(f) &= \frac{\left[\frac{2}{T} X^*(f, T) Y(f, T) \right] \left[\frac{2}{T} X^*(f, T) Y(f, T) \right]}{\left[\frac{2}{T} X^*(f, T) X(f, T) \right] \left[\frac{2}{T} Y^*(f, T) Y(f, T) \right]} = \\ &= \frac{X(f, T) Y^*(f, T) X^*(f, T) Y(f, T)}{X^*(f, T) X(f, T) Y^*(f, T) Y(f, T)} = 1 \end{aligned}$$

მუდმივპარამეტრიანი წრფივი იდეალური სისტემისათვის $\gamma_{xy}^2(f) = 1$, ხოლო თუ $x(t)$ და $y(t)$ რეალიზაციები დამოუკიდებელი არიან, მაშინ ყველა f სისტემისათვის $\gamma_{xy}^2(f) = 0$. თუ კოპერენციული ფუნქცია ნულზე მეტია და ერთზე ნაკლები, მაშინ შეიძლება გვქონდეს შემდეგი ოთხი შემთხვევა:

- გაზომვებში მონაწილეობს გარეშე სმაური;
- სპექტრების შეფასებები გადაადგილებადი არიან;
- სისტემა, რომელიც აკავშირებს $x(t)$ და $y(t)$ რეალიზაციებს არაწრფივია;
- სისტემის გამოსავალი $y(t)$ დამოკიდებულია არა მარტო შემავალ $x(t)$ რეალიზაციაზე, არამედ სხვა პროცესზე ან პროცესებზე.

7. ციფრული ფილტრები

7.1 ძირითადი ცნებები და განმარტებები

ბუნებაში არსებულ სიგნალებთან შედარებით ბიოსიგნალების უმეტესობა წარმოადგენს მცირე სიდიდის სიგნალებს. ბიოსიგნალისათვის ნებისმიერი სხვა სიგნალი წარმოადგენს დაბრკოლებას, არტეფაქტს ან უბრალოდ სმაურს. სმაური შეიძლება აღმოჩნდეს ბიოსიგნალზე უფრო მაღალი როგორც ამპლიტუდით, ასევე სისტემით, რაც ზოგჯერ შეუძლებელს ხდის სმაურიდან სასარგებლო სიგნალის გამოყოფას. აქედან გამომდინარე, სიგნალის ფილტრაციისათვის მეტად მნიშვნელოვანია წინასწარ ვიცოდეთ ბიოსიგნალისათვის დამახასიათებელი სმაურის შესახებ.

ზოგადად სმაური შეიძლება დავყოთ შემთხვევით, სტრუქტრულებულ და ფიზიოლოგიურ სმაურებად. **შემთხვევითი სმაური** გამოწვეულია ბიოსიგნალზე გაუთვალისწინებელი ზემოქმედებით, მაგალითად როგორიცაა ელექტრული მოწყობილობის თბური სმაური, რომელსაც იწვევს მოწყობილობის ელემენტების გადახურება; ელექტრომაგნიტური ველით გამოწვეული სმაური და სხვა. როგორც ცნობილია, ბიოსიგნალის საშუალო მნიშვნელობა წარმოადგენს მუდმივ სიდიდეს, საშუალო კვადრატული – საშუალო სიმძლავრეს, ხოლო

ა. ყუბანეიშვილი ბიოსიგნალების ციფრული დამუშავება

კვადრატული ფესვი საშუალო კვადრატული მნიშვნელობიდან გვაძლევს ხმაურის საშუალო ამპლიტუდას ანუ მის დონეს. ეს მაჩვენებლები სასარგებლოა სიგნალი-ხმაურის ფარდობის განსაღზვრისათვის.

სტრუქტურული ხმაური. ქსელის სიხშირე წარმოადგენს სტრუქტურირებულ ხმაურს. მაგალითად, ელექტროკარდიოგრაფიულ სიგნალზე ზოგჯერ ხდება ქსელური სიხშირის (50 ჰც) ზედდება. ამ ხმაურის ტიპიური ფორმა წინასწარ ცნობილია, მაგრამ უნდა აღინიშნოს, რომ ტალღების ფაზები ჩვეულებრივ უცნობია. უფრო მეტიც, ტალღა შეიძლება არ იყოს სინუსოდის ფორმის.

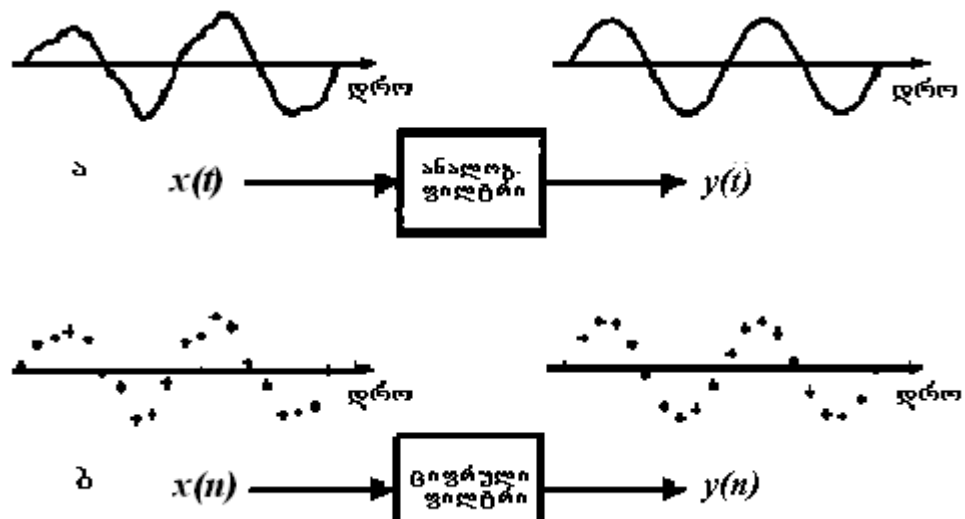
ფიზიოლოგიური ხმაური. როგორც ცნობილია, ადამიანის ორგანიზმი წარმოადგენს ფიზიოლოგიური პროცესების რთულ კოლგომერანტს. ყველა ეს პროცესი წარმოქმნის სხვადასხვა სახის სიგნალებს, რომლებიც გარკვეულ ზემოქმედებას ახდენენ ბიოსიგნალზე და იწვევენ მის დამახინჯებას. ამრიგად, ყველა წარმოქმნილი სიგნალი, გარდა გამოსაკვლევი სიგნალისა, წარმოადგენენ ამ სიგნალის მიმართ არტეფაქტებს. ასე მაგალითად:

- ელექტრომიოგრაფიული სიგნალი წარმოადგენს ელექტრიკარდიოგრაფიული (ეპბ) სიგნალისათვის ხმაურს, რომელიც გამოწვეულია პაციენტის ხველებით, სუნთქვით, დაძაბულობით და სხვა ფაქტორებით;

- დედის მკბ სიგნალი, რომლის ზედდება ხდება ნაყოფის მკბ სიგნალზე;
- ელექტროენცეფალოგრაფიულ სიგნალზე მკბ სიგნალის ზედდება;
- ელექტროენცეფალოგრაფიულ სიგნალზე გამოწვეული პოტენციალების ზედდება და სხვა.

ფიზიოლოგიური ხმაური არ შეიძლება დავახასიათოდ რაიმე სპეციფიური ფორმის ტალღებით ან სპექტრული შემადგენლობით და როგორც წესი, ისინი წარმოადგენენ დინამიურ და არასტაციონარულ პროცესებს. აქედან გამომდინარე, მარტივი წრფივი ფილტრების გამოყენება არ იძლევა ფიზიოლოგიური ხმაურის ეფექტური მოხსნის შესაძლებლობას.

ბიოსიგნალიდან ზემოდ განხილული არტეფაქტების გამოსარიცხავად გამოიყენება ფილტრები. სიტყვა „ფილტრი“ წარმოიშვა ელექტროტექნიკაში, სადაც ფილტრებს იყენებდნენ ელექტრული სიგნალების ერთი ფორმიდან მეორეში გარდაქმნისათვის, ძირითად სხვადასხვა სიხშირეების გამოსარიცხავად. სიტყვა „ფილტრაცია“ წარმოადგენს დროით სფეროში სიგნალების დამუშავების ოპერაციას, რომლის შედეგად იცვლება საწყისი სიგნალის სპექტრული შემადენლობა. შეცვლაში იგულისხმება სიგნალში არსებული არასასურველი სიხშირული კომპონენტების შესუსტება ან ჩახშობა. ფილტრები ატარებენ სიგნალის განსაზღვრულ კომპონენტებს და ამავე დროს ასუსტებენ სხვა კომპონენტებს. ნახ. 7.1 ნაჩვენებია როგორც ანალოგური, ასევე ციფრული ფილტრაციის პროცესის ვერსიები.



ნახ. 7.1

ფილტრები შეიძლება იყოს ანალოგური და ციფრული. ანალოგური ფილტრი არსებობს ორი სახის: პასიური და აქტიური. პასიური ფილტრები შედგება მხოლოდ წინადობის, ინდუქტიობის და ტევადობის ელემენტებისაგან. აქტიური ფილტრები, გარდა ზემოდ ჩამოთვლილი ელემენტებისა, შეიცავენ აქტიურ ელემენტს – ოპერაციულ მაძლიერებელს. უპირატესობას ანიჭებენ აქტიურ ფილტრებს. თუ ანალოგური ფილტრი ამუშავებს უწყვეტ სიგნალებს (ნახ. 7.1ა), მაშინ ციფრული ფილტრები ამუშავებენ დისკრეტული თანმიმდევრობის ანათვლებს (ნახ. 7.1ბ).

ციფრული ფილტრები წარმოადგენენ კომპიუტერულ პროგრამას და ანალოგური ფილტრებისაგან განსხვავებით გააჩნიათ მთელი რიგი უპირატესობები. პირველ რიგში, მათ გააჩნიათ მაღალი მდგრადობა სხვადასხვა შემფორთებების მიმართ. გარდა ამისა, ისინი უფრო ზუსტი არიან, რადგან მათი სიზუსტე დამოკიდებულია არითმეტიკული ოპერაციების შედეგების დამრგვალების სიზუსტეზე.

რაც შეება ანალოგურ ფილტრებს, მათი სიზუსტე დამოკიდებულია ელემენტების დასაშვებ შემფორთებებზე, კერძოდ ძაბვის სტაბილურობაზე, ტემპერატურის ცვლილებაზე, ელემენტების ცვეთაზე (დაძველებაზე), რომლებიც ცვლიან ანალოგური ფილტრის მახასიათებლებს. ყოველი ეს ფაქტორი არ მოქმედებს ციფრულ ფილტრებზე, რადგან ისინი წარმოადგენენ კომპიუტერულ პროგრამას, ამიტომ მათი პარამეტრები მუდმივი სიდიდეებია. ეს ძალზე მნიშვნელოვანია განსაკუთრებით ბიოსიგნალებისათვის მათზე მოქმედი ზემოდ განხილული არტეფაქტების გამო. აქედან გამომდინარე, ჩვენ განვიხილავთ მხოლოდ ციფრულ ფილტრებს.

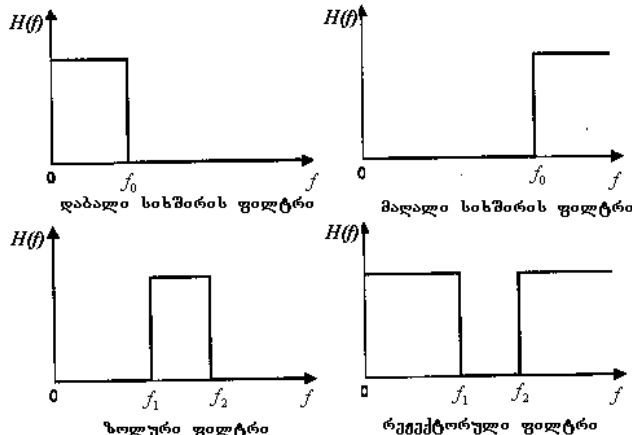
საზოგადოდ, ციფრული ფილტრი არის ნებისმიერი სისტემა, რომელსაც გააჩნია წრფიობის და სტაციონარობის თვისებები. იმისათვის, რომ ფილტრი იყოს არატრივიალური ანუ ფილტრის გადაცემის კოეფიციენტები სხვადასხვა სისშირეზე იყოს სხვადასხვა, ამისათვის ფილტრის გამოსავალი სიგნალი რამდენიმე ანათვლით უნდა იყოს დამოკიდებული შემავალ სიგნალზე. აქედან გამომდინარე, ციფრულ ფილტრს უნდა გააჩნდეს მეხსიერება.

არსებობენ ფილტრები ცვლადი პარამეტრებით, რომლებსაც არ გააჩნიათ სტაციონარობის თვისებები. ასეთ ფილტრებს აღიტიური ფილტრები ეწოდებათ,

ა. ყუბანეიშვილი ბიოსიგნალების ციფრული დამუშავება

რომლებიც თავის პარამეტრებს ცვლიან შემავალი სიგნალის სტატისტიკური თვისებებიდან გამომდინარე. ადიტიურ ფილტრებს ჩვენ არ განვიხილავთ.

ციფრული ფილტრები შეიძლება დავყოთ დაბალსიხშირიან, მაღალსიხშირიან, ზოლურ და გადამღობ (რეჟექტორულ) ფილტრებად. დაბალი სიხშირის იდეალურმა ფილტრმამ უნდა გაატაროს $(0; f_0)$ და ჩაახშოს f_0 სიხშირეზე მაღალი სიხშირეები (ნახ. 7.2). f_0 სიხშირეს მოკვეთის სიხშირე ეწოდება.



ნახ. 7.2

მაღალი სიხშირის იდეალურმა ფილტრმამ, რომელსაც გააჩნია დაბალი სიხშირის ფილტრის საწინააღმდეგო მახასიათებლები, უნდა გაატაროს f_0 სიხშირეზე მაღალი სიხშირეები და უნდა ჩაახშოს $(0; f_0)$ სიხშირეები. ზოლურ ფილტრმამ უნდა გაატაროს $(f_1; f_2)$ შუალედში მყოფი სიხშირეები, ხოლო დანარჩენები უნდა ჩაახშოს. რაც შეეხება რეჟექტორულ ფილტრს მან უდა გაატაროს ყველა სიხშირეები გარდა $(f_1; f_2)$ შუალედში მყოფი სიხშირეები.

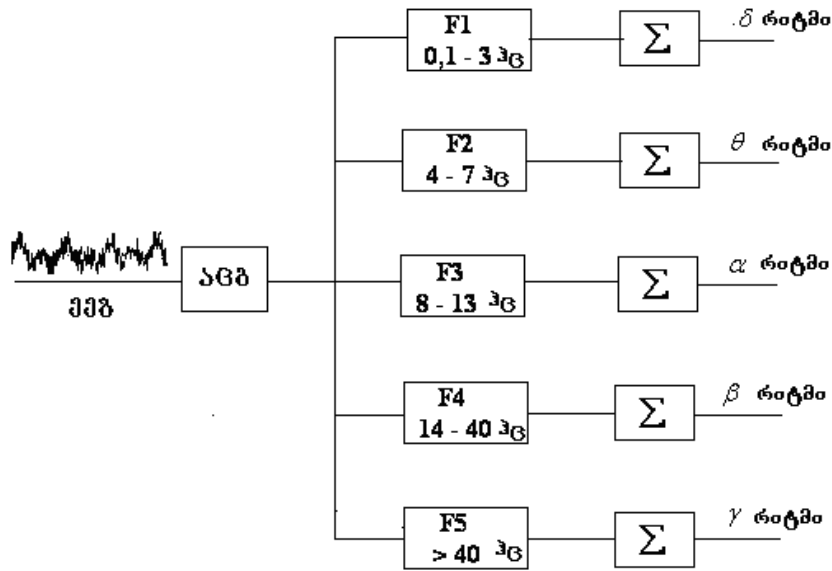
პრაქტიკაში ასეთი იდეალური მახასიათლების ფილტრების მიღება თითქმის შეუძლებელია ორი მიზეზის გამო:

1. ფილტრის იდეალური მახასიათლების მიღება შეუძლებელია, რადგან იგი შედგება სასრულო რაოდენობის წევრებისაგან, ამიტომ ფაქტიურად იყენებენ იდეალური ფილტრის მახასიათებლის აპროქსიმაციას.

2. საწყისი მონაცემების სასრულო რაოდენობიდან გამომდინარე, ყველა სახის ფილტრს გააჩნია გარდამავალი ზონა გასაშვებ სიხშირეებსა და მოკვეთის f_0 სიხშირეს შორის.

მოვიყვანოთ ციფრული ფილტრების გამოყენების მაგალითი ელექტრონულცეფალოგრამის (ეეგ) დამუშავების დროს. როგორც ცნობილია ეეგ წარმოადგენს თავის ტვინის ფუნქციონალური მდგრამარეობის გამოკვლევის მეთოდს, რომელიც ეფუძნება თავის ტვინში მიმდინარე ბიოელექტრულ პროცესებს. ეეგ-ს ერთ-ერთ მნიშვნელოვან მახასიათებელს წარმოადგენს რითმები, რომლებიც გამოიყოფიან ბიოსიგნალიდან და ფართოდ გამოიყენებიან ნევროლოგიაში დიფერენციალური დიაგნოსტიკისათვის. ქვემოდ მოყვანილ ნახაზზე წარმოდგენილია ეეგ-დან რითმების გამოყოფის ბლოკ-სქემა,

ა. ყუბანეიშვილი ბიოსიგნალების ციფრული დამუშავება



სადაც F -ით აღნიშნულია ციფრული ფილტრი.

ლოგარითმული მასშტაბი. სიგნალების ციფრული დაუშავების თეორიაში სიგნალების სპექტრის, ფილტრის ამპლიტუდურ-სიხშირული მახასიათებლის და ფანჯრის ამპლიტიდური სპექტრის სიხშირების გრაფიკული გამოსახულებების გარჩევადობის ხარისხის გაუმჯობესების მიზნით ხშირად იყენებენ ლოგარითმულ მასშტაბს, სადაც ორდინანტთა ლერძი დაგრადუირებულია დეციბელებში.

სიგნალების დონეების შედარება სასურველია მოხდეს სიგნალების სიმძლავრეების საშუალებით. თუ შედარებისათვის გამოვიყენებოთ სიმძლარეების ფარდობის ლოგარითმს, მაშინ ლოგარითმის დადგებითი მნიშვნელობა შეესაბამება სისტემის გაძლიერების კომპონენტებს, ხოლო უარყოფითი ლოგარითმი გვიჩვენებს კომპონენტების შესუსტებას. ყოველივე ამის გათვალისწინებით ორი სიგნალის P_1 და P_2 სიმძლარის განსხვავების დონე იზომება უგანზომილებო საზომ ერთეულში, რომელსაც ბელი ეწოდება. ბელი განისაზღვრება როგორც სიმძლარეების შეფარდების ათობითი ლოგარითმი

$$N_b = \lg\left(\frac{P_1}{P_2}\right) \text{ ბელი.}$$

ბელი აღმოჩნდა საკმაოდ დიდი საზომი ერთეული, რაც იწვევდა გარკვეულ უხერხეულობას მისი გამოყენების დროს. მაგალითად, როცა $P_1/P_2 = 100$, მაშინ $\lg 100 = 2$, თუ $P_1/P_2 = 1000$, მაშინ $\lg 1000 = 3$. ე.ი. ნებისმიერი სიმძლავრეების ფარდობა $[100;1000]$ ინტერვალში გვაძლევს სხვაობას 1 ბელის ფარგლებში, კერძოდ 2 ბელიდან 3 ბელამდე. უფრო მეტი თვალსაჩინოებისათვის ბელი მრავლდება 10^{-3} და მიღებულ სიდიდეს დეციბელი (დბ) ეწოდება. ე.ი. $2\delta=20$ დბ, $4,5\delta=45$ დბ და ა.შ. ამრიგად, დეციბელი არის ბელის მეათედი და განისაზღვრება ფორმულით:

$$N_{db} = 10 \lg\left(\frac{P_1}{P_2}\right) \text{ დბ.}$$

ა. ყუბანეიშვილი ბიოსიგნალების ციფრული დამუშავება

დაუშვათ P_1 სიმძლავრე გახდა საწყისი P_0 სიმძლავრესთან შედარებით ორჯერ მეტი, მაშინ $10\lg(P_1/P_0) = 10\lg(2) \approx 3,01 \approx 3$ დბ. ე.ი. სიმძლავრის ზრდა 3 დბ-ით ნიშნავს მის გაზრდას ორჯერ. თუ P_1 სიმძლავრე გახდა საწყისი P_0 სიმძლავრესთან შედარებით ორჯერ ნაკლები, მაშინ $10\lg(P_1/P_0) = 10\lg(0,5) \approx -3$ დბ. ე.ი. სიმძლავრის დაკლებას 3 დბ-ით ნიშნავს მის დაკლებას ორჯერ.

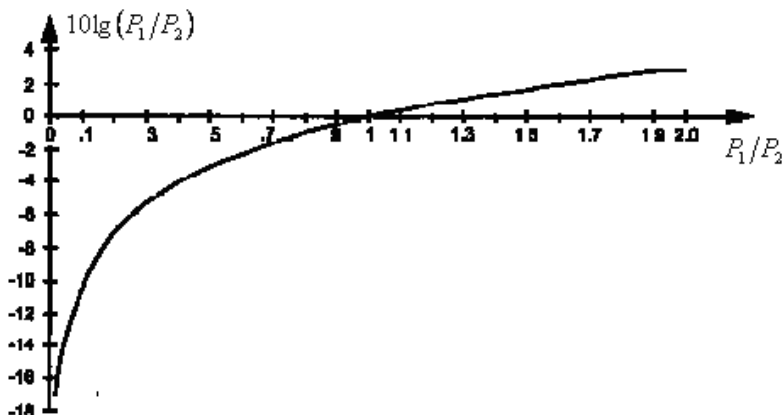
ცნობილია, რომ ლოგარითმის გამოყენება ამარტივებს მათემატიკურ გამოვლებს, კერძოდ გამრავლების და გაყოფის ნაცვლად გამოყენება შეკრების და გამოკლების ოპერაციები. დეციბელზე არითმები კული მოქმედებები არ გნებავდებიან ლოგარითმულისაგან. გავისენოთ ლოგარითმის თვისებები:

$$1. \lg(A \cdot B) = \lg A + \lg B$$

$$2. \lg(A/B) = \lg A - \lg B$$

$$3. \lg(A^m) = m \lg A$$

ლოგარითმული ფუნქცია $10\lg\left(\frac{P_1}{P_2}\right)$, რომლის გრაფიკი წარმოდგენილია ნას. 7.3 –ზე, პირველი შეხედვით არ ჩანს სასარგებლო.



ნას 7.3

მივაქციოთ ყურადღება სიმძლავრეების P_1/P_2 მცირე ფარდობის ლოგარითმული ფუნქციის დიდი სიჩქარით ცვლილებას და უმნიშვნელო ცვლილება სიმძლავრეების ფარდობის დიდი ცვლილებისას. ამ არაწრფიობის შედეგად სიმძლავრეების P_1/P_2 ფარდობის მცირე ცვლილებისას გარჩევადობის უნარი აღმოჩნდა დიდი, რაც იძლევა სიგნალების სპექტრებში სიმძლავრეების დონის უმნიშვნელო სხვაობის გარჩევის საშუალებას.

განვიხილოთ ლოგარითმული მასშტაბის გამოყენება. გავისენოთ, რომ სისშირულ არეში ნებისმიერი $x(n)$ თანმიმდევრობის სიმძლავრე წარმოადგენს ამპლიტუდურ სპექტრს $|X(m)|$, რომელიც პროპორციულია $|X(m)|^2$ სიდიდისა. ე.ი. $|X(m)| = |X(m)|^2$. რადგან $|X(m)|^2$ გამოსახულების ლოგარითმი ტოლია $2\lg(|X(m)|)$, ამიტომ მივიღებთ სიმძლავრის სპექტრს დეციბელებში:

$$X(m) = 20\lg(|X(m)|) \text{ დბ.} \quad (7.1)$$

მიღებული (7.1) გამოსახულების გამოყენება პრაქტიკულად უფო მისაღებია, რადგან არ გვჭირდება სიმძლავრის კვადრატში აყვანა.

ხშირად სასურველია სიმძლავრის ნორმირებულ ლოგარითმულ მასშტაბში წარმოდგენა, სადაც თითოეული $|X(m)|^2$ ანათვალი იყოფა სიმძლავრის პირველ ანათვლაზე $|X(0)|^2$, ე.ო. გვექნება:

$$\text{ნორმირებული } X(m) = 10 \lg \left(\frac{|X(m)|^2}{|X(0)|^2} \right) = 20 \lg \left(\frac{|X(m)|}{|X(0)|} \right) \text{ დბ}$$

ასეთი ნორმირება საშუალებას გვაძლევს ადვილად შევადაროთ ერთმანეთს სხვადასხვა სპექტრების ლოგარითმული გრაფიკები. ამრიგად, ლოგარითმული მასშტაბი ფართოდ გამოიყენება როგორც სიგნალების სპექტრული სიმძლავრეების, ასევე ფილტრების სიხშირული მახასიათებლების გრაფიკული წარმოდგენისათვის.

შენიშვნა. ადამიანს შეუძლია ბგერების აღქმა 10-15 დბ ფარგლებში. 0 დბ დროს – არაფერი ისმის, 5 დბ-თითქმის არ ისმის, 25 დბ-ადამიანს ჩურჩული ესმის 1 მეტრის ფარგლებში, 40 დბ-ჩვეულებრივი მეტყველება კარგად ისმის, თუ ბგერის სიმძლავრე აღწევს 160 დბ-ზე მეტს, მაშინ შესაძლებელია ყურის აბსკის გახვრება, 200 დბ-ზე ზემოდ იწვევს სიკვდილს.

7.2 ციფრული ფილტრის განტოლება

ციფრული ფილტრი შეგვიძლია განვიხილოთ, როგორც წრფივი მუდმივპარამეტრიანი დისკრეტული სისტემა ერთი შემავალი $x(n)$ და ერთი გამომავალი $y(n)$ თანმიმდევრობებით. თუ გამოვიყენებოთ ნებისმიერი სახის დისკრეტული თანმიმდევრობის წარმოდგენის მეთოდს (4.1), მაშინ შეგვიძლია ჩავწეროთ:

$$\sum_{k=0}^{N-1} a(k)x(n-k) = \sum_{k=0}^{M-1} b(k)y(n-k), \quad n \geq 0, \quad (7.2)$$

სადაც $a(k)$ და $b(k)$ კოეფიციენტებია, რომლებიც განსაზღვრავენ სისტემას. იმისათვის, რომ ცხადად წარმოვადგინოთ სისტემის გამოსავალი თანმიმდევრობა შემავალი თანმიმდებრობით, (7.2) ფორმულა წარმოვადგინოთ შემდეგნაირად:

$$y(n) = \sum_{k=0}^{N-1} \frac{a(k)}{b(0)} x(n-k) - \sum_{k=0}^{M-1} \frac{b(k)}{b(0)} y(n-k), \quad b(0) \neq 0$$

რომელსაც ეწოდება სხვაობითი განტოლება. თუ $b(0)=1$, მაშინ მივიღებთ ციფრული ფილტრის განტოლებას:

$$y(n) = \sum_{k=0}^{n-1} a(k)x(n-k) - \sum_{k=0}^{M-1} b(k)y(n-k). \quad (7.3)$$

(7.3) ფორმულით შესაძლებელია გამოსავალი თანმიმდევრობის განსაზღვრა, როცა $n \geq 0$. სხვაობითი განტოლება უშუალოდ განსაზღვრავს დისკრეტული სისტემის კონფიგურაციას.

ციფრული ფილტრის გადაცემის ფუნქციის განტოლების მისაღებად მოვახდინოთ (7.2) განტოლების Z- გარდაქმნა, მაშინ მივიღებთ:

ა- ყუბანეიშვილი ბიოსიგნალების ციფრული დამუშავება

$$\sum_{n=-\infty}^{\infty} \left[\sum_{k=0}^{N-1} a(k) x(n-k) \right] Z^{-n} = \sum_{n=-\infty}^{\infty} \left[\sum_{k=0}^{M-1} b(k) y(n-k) \right] Z^{-n}.$$

თუ აჯამების თანმიმდევრობას შევცვლით, მაშინ

$$\sum_{k=0}^{N-1} a(k) \sum_{n=-\infty}^{\infty} x(n-k) Z^{-n} = \sum_{k=0}^{M-1} b(k) \sum_{n=-\infty}^{\infty} y(n-k) Z^{-n}.$$

აღვნიშოთ $n-k=m$, მაშინ

$$\sum_{k=-\infty}^{\infty} x(n-k) Z^{-k} = \sum_{k=-\infty}^{\infty} x(m) Z^{-(m+k)} = Z^{-k} \sum_{k=-\infty}^{\infty} x(m) Z^{-m} = Z^{-k} X(Z)$$

ანალოგიურად:

$$\sum_{k=-\infty}^{\infty} y(n-k) Z^{-n} = Z^{-k} Y(Z)$$

ე.ო. მივიღეთ:

$$X(Z) \sum_{k=0}^{N-1} a(k) Z^{-k} = Y(Z) \sum_{k=0}^{M-1} b(k) Z^{-k}.$$

აქედან ვღებულობთ: $Y(Z) = H(Z)X(Z)$, სადაც

$$H(Z) = \frac{\sum_{k=0}^{N-1} a(k) Z^{-k}}{\sum_{k=0}^{M-1} b(k) Z^{-k}} = \frac{A(Z)}{B(Z)} \quad (7.4)$$

და მას ფილტრის გადაცემის (სისტემური) ფუნქცია ეწოდება.

განვიხილოთ ორი შემთხვევა, რომლებიც აღწერებ ფილტრების ორ ფუნქციების კლასს. თუ ფილტრის კოეფიციენტები აკმაყოფილებენ შემდეგ პირობებს: $b(0)=1$; $b(k)=0$, როცა $k \neq 0$, მაშინ (7.2) სხვაობითი განტოლება დაიყვანება შემდეგ სახეზე:

$$y(n) = \sum_{k=0}^{N-1} a(k) x(n-k),$$

რომლის გადამცემ ფუნქციას აქვს შემდეგი სახე:

$$H(Z) = \sum_{k=0}^{N-1} a(k) Z^{-k}. \quad (7.5)$$

ასეთი კლასის ფილტრებს არარეგული ან ტრანსვერსალური ფილტრები ეწოდებათ. არარეგული ფილტრის ხშირად უწოდებენ ფილტრს უპუკავშირის გარეშე.

თუ (7.2) განტოლებაში $b(k)$ კოეფიციენტებიდან თუნდაც ერთი (გარდა $b(0)$ -ისა) განსხვავდება ნულისაგან, მაშინ ასეთ ფილტრებს რეგული ფილტრები ეწოდებათ (7.3) განტოლებით და (7.4) გადაცემის ფუნქციით.

თუ (7.4) გამოსახულებაში $A(z)$ და $B(z)$ პოლინომებს არ გააჩნიათ საერთო ფესვები, მაშინ ფილტრის გადაცემის ფუნქციის $H(z)$ ნულები იქნება $A(z)=0$ განტოლების ფესვები, ხოლო პოლინომი $B(z)=0$ განტოლების ფესვები. ზოგადად, ფილტრის გადაცემის ფუნქციის პოლუსთა რიცხვი განსაზღვრავს ციფრული ფილტრის რიგს.

ამრიგად, თუ α_i , $i=1,2,\dots,N$ წარმოადგენენ $H(z)$ გადაცემის ფუნქციის ნულებს, ხოლო β_i , $i=1,2,\dots,M$ პოლუსებს, მაშინ ციფრული ფილტრის გადაცემის ფუნქცია შეიძლება ასე წარმოვადგინოთ:

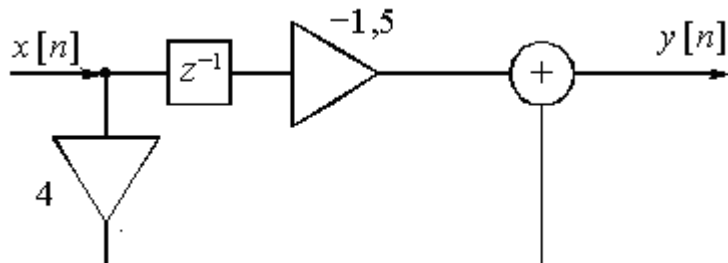
$$H(z) = C \frac{\prod_{i=1}^N (z - \alpha_i)}{\prod_{k=1}^M (z - \beta_k)} = C \frac{\prod_{i=1}^N (1 - \alpha_i z^{-1})}{\prod_{k=1}^M (1 - \beta_k z^{-1})},$$

სადაც C ნამდვილი მუდმივი სიდიდეა. თუ α_i და β_k კოეფიციენტები კომპლექსური არიან, მაშინ ისინი Z სიბრტყეში ქმნიან შეუღლებულ წყვილებს.

გავიხსენოთ, რომ ფილტრის იმპულსური მახასიათებელი არის დროის არეში ფილტრის გამოსავალი თანმიმდევრობა, როცა ფილტრის შესასვლელს მიეწოდება ერთეულოვანი იმპულსი. ფილტრის კოეფიციენტები და იმპულსური მახასიათებლები წარმოადგენენ სინონიმებს, ე.ო. ფილტრის კოეფიციენტები წარმოადგენენ ფილტრის იმპულსურ მახასიათებლებს.

იმპულსური მახასიათებლის მიხედვით ციფრული ფილტრები იყოფიან ორ კლასად: ფილტრები სასრულო იმპულსური მახასიათებლებით, რომლებსაც მიეკუთვნებიან არარეგურსიული ფილტრები და ფილტრები უსასრულო იმპულსური მახასიათებლებით, რომლებსაც მიეკუთვნებიან რეგურსიული ფილტრები. განვიხილოთ რამოდენიმე მაგალითი.

მაგალითი 1. ვიპოვოთ ნახ. 7.4 წარმოდგენილი ციფრული ფილტრის გამოსავალი სიგნალის გამოსახულება, იმპულსური მახასიათებელი და გადაცემის ფუნქცია.



ნახ. 7.4

ფილტრის გამოსავალი სიგნალის გამოსახულება ტოლია: $y(n) = 4x(n) - 1,5x(n-1)$, დისკრეტული იმპულსური მახასიათებლის განსაზღვრისათვის ფილტრის შესასვლელს მივაწოდოთ ერთეულოვანი იმპულსი $\delta(n) = \{1; 0; 0; \dots\}$, მაშინ მივიღებთ:

$$h(0) = 4\delta(0) - 1,5\delta(-1) = 4 - 1,5 \cdot 0 = 4$$

$$h(1) = 4\delta(1) - 1,5\delta(0) = -1,5$$

$$h(2) = 0$$

ე.ო. მივიღეთ: $h(n) = \{4; -1,5\}$, რომელიც ემთხვევა ფილტრის კოეფიციენტებს. გადაცემის $H(z)$ ფუნქციის განსაზღვრისათვის მოვახდინოთ იმპულსური მახასიათებლის Z გარდაქმნა (7.5):

$$H(z) = \sum_{n=0}^{\infty} h(n)Z^{-n} = h(0)Z^0 + h(1)Z^{-1} = 4 - 1,5Z^{-1}.$$

გადაცემის ფურქციის განსაზღვრის მეორე მეთოდი მდგომარეობს ფილტრის გამოსავალი თანმიმდევრობის Z – გარდაქმნაში:

$$Y(z) = 4X(z) - 1,5X(z)Z^{-1} = X(z)(4 - 1,5Z^{-1}) = X(z)H(z), \text{ სადაც } H(z) = 4 - 1,5Z^{-1}.$$

მაგალითი 2. ვიპოვოთ ფილტრის შემავალი $x(n) = \{1; 0; 1; 2\}$ და გამომავალი $y(n) = \{0; 1; 2; 1\}$ სიგნალებით გადაცემის ფუნქცია.

მოვახდინოთ ორივე სიგნალის Z გარდაქმნა

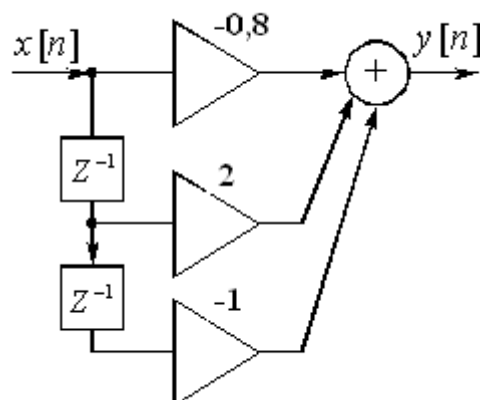
$$X(z) = \sum_{n=0}^{\infty} x(n)Z^{-n} = 1 + Z^{-2} + 2Z^{-3}$$

$$Y(z) = \sum_{n=0}^{\infty} y(n)Z^{-n} = Z^{-1} + 2Z^{-2} + Z^{-3}$$

გადაცემის ფუნქცია ტოლია:

$$H(z) = \frac{Y(z)}{X(z)} = \frac{Z^{-1} + 2Z^{-2} + Z^{-3}}{1 + Z^{-2} + 2Z^{-3}}$$

მაგალითი 3. ვიპოვოთ ნახ. 7.5 წარმოდგენილი არარეალურსიული ფილტრის გამოსავალი სიგნალი და ფილტრის გადაცემის ფუნქცია.



ნახ. 7.5

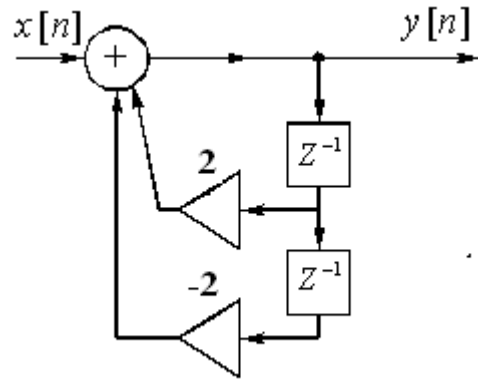
ფილტრის გამოსავალი თანმიმდევრობა ტოლია:

$$y(n) = \sum_{k=0}^{N-1} a(k)x(n-k) = a_0x(n) + a_1x(n-1) + a_2x(n-2) = -0,8x(n) + 2x(n-1) - x(n-2)$$

გადაცემის ფუნქცია ტოლია:

$$H(Z) = \sum_{k=0}^{N-1} a(k)Z^{-k} = a_0 + a_1Z^{-1} + a_2Z^{-2} = -0,8 + 2Z^{-1} - Z^{-2}$$

მაგალითი 4. რეკურსიული ფილტრის სტრუქტურული სქემა მოცემულია ნახ. 7.6. ვიპოვოთ ფილტრის გამოსავალი სიგნალი, გადაცემის ფუნქცია და ფილტრის რეაქცია $x(n) = \{1, -1, 1\}$ შემავალი დისკრეტული თანმიმდევრობისათვის.



ფილტრის გამოსავალი სიგნალის განტოლება ტოლია:

$$y(n) = x(n) + b_1 y(n-1) + b_2 y(n-2) = x(n) + 2y(n-1) - 2y(n-2)$$

გადაცემის ფუნქცია ტოლია:

$$H(Z) = \frac{\sum_{k=0}^{N-1} a(k)Z^{-k}}{\sum_{k=0}^{M-1} b(k)Z^{-k}} = \frac{1}{\sum_{k=0}^{M-1} b(k)Z^{-k}} = \frac{1}{1 - b_1 Z^{-1} - b_2 Z^{-2}} = \frac{1}{1 - 2Z^{-1} + 2Z^{-2}}$$

განსაზღვროთ $y(n)$ მნიშვნელობები

$$y(0) = x(0) = 1$$

$$y(1) = x(1) + 2y(0) = -1 + 2 \cdot 1 = 1$$

$$y(2) = x(2) + 2y(1) - 2y(0) = 1 + 2 \cdot 1 - 2 \cdot 1 = 1$$

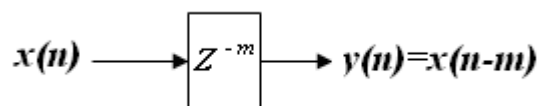
$$y(3) = x(3) + 2y(2) - 2y(1) = 0 + 2 \cdot 1 - 2 \cdot 1 = 0$$

$$y(4) = -2; \quad y(5) = -4; \quad y(6) = -4; \dots$$

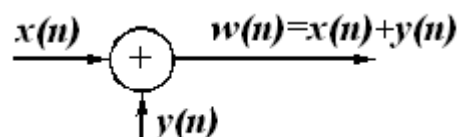
7.3 ციფრული ფილტრების შეერთების სქემები

როგორც ციფრული ფილტრის განტოლებიდან ჩანს ნებისმიერი ფილტრის რეალიზაციისათვის საჭიროა სამი ტიპის ოპერაცია: დაყოვნება (დამახსობრება), აჯამვა და გამრავლება. ფილტრის სტრუქტურული სქემის შედგენისას მხედველობაში უნდა მივიღოთ შემდეგი აღნიშვნები:

დაყოვნება

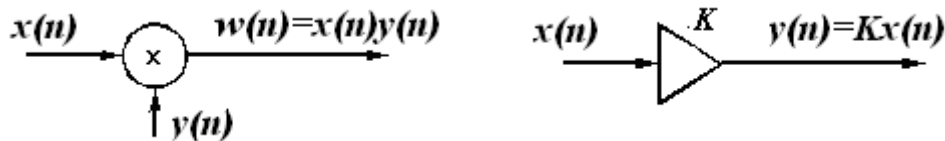


აჯამვა

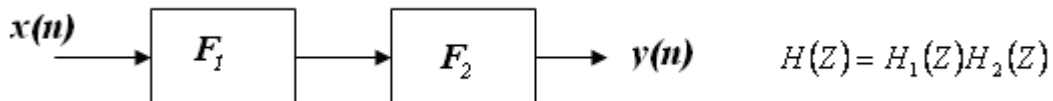


გამრავლება

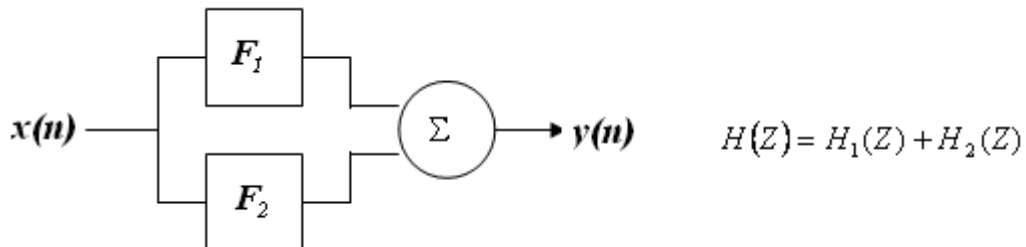
ა- ფუბანეიშვილი ბიოსიგნალების ციფრული დამუშავება



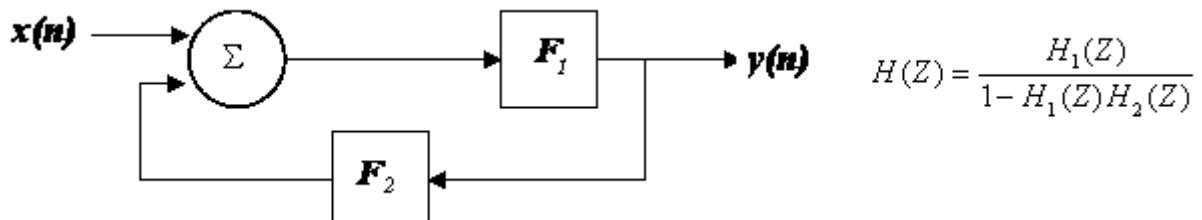
განვიხილოთ ციფრული ფილტრების შეერთების სქემები. ვთქვათ $H_1(z)$ და $H_2(z)$ F_1 და F_2 ფილტრების გადაცემის ფნქციებია. შეერთებას, როდესაც ერთი ფილტრის გამოსავალი მიერთებულია მეორე ფილტრის შესასვლელზე კასკადური (მიმდევრობითი) შეერთება ეწოდება. მაშინ გვექნება:



შეერთებას, როდესაც ფილტრებს გააჩიათ საერთო შესასვლელი, ხოლო გამოსასვლელები მიერთებლნი არიან ერთ სუმატორთან ეწოდებათ პარალელური შეერთება. ე.ო.



თუ ერთ-ერთ ფილტრს ჩავსვამთ მეორე ფილტრის მიმართ უკუკავშირით, მაშინ გვექნება:



მაგალითი. ვთქვათ მოცემლია $H_1(Z) = \frac{1}{1 - 0,3Z^{-1}}$ და $H_2(Z) = 0,2 + Z^{-1} + Z^{-2}$

გადაცემის ფნქციები.

ფილტრების მიმდევრობითი შეერთების დროს გვექნება:

$$H(Z) = \frac{0,2 + Z^{-1} + Z^{-2}}{1 - 0,3Z^{-1}},$$

პარალელური შეერთებისას:

$$H(Z) = \frac{0,2 + 0,72Z^{-1} + 0,7Z^{-2} - 0,3Z^{-3}}{1 - 0,3Z^{-1}},$$

ხოლო უკუკავშირიანი ფილტრისათვის გვექნება:

$$H(Z) = \frac{1 - 0,3Z^{-1}}{(1 - 0,3Z^{-1})(0,8 - 1,3Z^{-1} - Z^{-2})}.$$

7.4 ციფრული ფილტრის მდგრადობა

ციფრული ფილტრების პრაქტიკული გამოყენებისათვის საჭიროა, რომ ისინი იყვნენ მდგრადი. ფილტრს ეწოდება მდგრადი თუ ნებისმიერი საწყისი პირობის და ნებისმიერი შეზღუდვის დროს შემავალი $x(n)$ ხიგნალს შეესაბამება ასევე შეზღუდვილი გამოსავალი $y(n)$ სიგნალი.

არსებობს ფილტრის მდგრადობის შემოწმების ორი ხერხი: იმპულსური მახასიათებლით და გადაცემის ფუნქციით. იმპულსური მახასიათებლით ფილტრის მდგრადობის შეფასება შეიძლება ასე ჩამოვაყალიბოთ: იმისათვის, რომ ციფრული ფილტრი იყოს მდგრადი საკმარისია შესრულდეს იმპულსური მახასიათებლების (ფილტრის კოეფიციენტების) მწკრივის აბსოლუტური კრებადობა, ე.ო.

$$\sum_{n=-\infty}^{\infty} |h(n)| < \infty \quad (7.6)$$

სადაც $h(n)$ – ფილტრის იმპულსური მახასიათებელია. ამ კრიტერიუმის თანახმად, არარეკურსიული ფილტრი ყოველთვის მდგრადია, რადგან ის შეიცავს იმპულსური მახასიათებლის სასრულო რაოდენობას, რასაც ვერ ვიტვით რეკურსიული ფილტრისათვის, რადგან მას გააჩნია უსასრულო რაოდენობის იმპულსური მახასიათებელი.

აქვე უნდა შევნიშნოთ, რომ თუ $h(n) - s$ გააჩნია სასრულო რაოდენობის წევრები, მაშინ (7.6) პირობა ყოველთვის სრულდება. ამიტომ არის, რომ მდგრადობის ეს კრიტერიუმი პრაქტიკაში ნაკლებად გამოიყენება.

განვიხილოთ სხვა კრიტერიუმი. როგორც ვიცით, ციფრული ფილტრის გადაცემის ფუნქციის Z -გარდაქმნას აქვს შემდეგი სახე:

$$H(z) = \frac{A(z)}{B(z)},$$

სადაც $A(z)$ და $B(z)$ z ცვლადის პოლინომებია. ისიც ცნობილია, რომ $H(z)$ შეგვიძლია განვიხილოთ როგორც ორი მიმდევრობით შეერთებული ფილტრი, ე.ო. $H(z) = H_1(z)H_2(z)$, სადაც $H_1(z) = A(z)$, $H_2(z) = 1/B(z)$ და შესაბამისად წარმოადგენენ არარეკურსიული და რეკურსიული ფილტრების გადაცემ ფუნქციებს. არარეკურსიული ფილტრი $H_1(z)$ ყოველთვის მდგრადია, ამიტომ ციფრული ფილტრის მდგრადობა დამოკიდებულია მხოლოდ $H_2(z)$ რეკურსიული ფილტრის მდგრადობაზე.

გადაცემის ფუნქციით რეკურსიული ფილტრის მდგრადობა ჩამოყალიბდება შემდეგნაირად: ციფრული ფილტრი მდგრადია მაშინ და მხოლოდ მაშინ, როცა გადაცემის ფუნქციის ყველა პოლუსი მოთავსებულია Z სიბრტყის ერთეულოვანი წრეწირის შიგნით. პრაქტიკაში სწორედ ეს კრიტერიუმი გამოიყენება უფრო ხშირად.

განვიხილოთ მაგალითები.

$$1. \quad H_1(Z) = \frac{1 - Z^{-1}}{1 - 0,3Z^{-1}}, \quad \text{ვიპოვოთ ფილტრის პოლუსი}$$

$$1 - 0,3Z^{-1} = 0, \quad 0,3Z^{-1} = 1, \quad \frac{0,3}{Z_1^{(1)}} = 1. \quad \text{ე.ო.} \quad Z_1^{(1)} = 0,3 \quad \text{და რადგან} \quad |Z_1^{(1)}| < 1, \quad \text{ამიტომ ფილტრი მდგრადია.}$$

2. $H_2(Z) = \frac{1-Z^{-1}}{1-2Z^{-1}}$, პოლუსი $Z_1^{(2)} = 2$ და რადგან $|Z_1^{(2)}| > 1$, ამიტომ ფილტრი არამდგრადია.

$$3. H_3(Z) = \frac{1-Z^{-2}}{1-1,8Z^{-1}+0,97Z^{-2}}, \quad \text{პოლუსები} \quad Z_1^{(3)} = 0,9 + j0,4 \quad Z_2^{(3)} = 0,9 - j0,4,$$

რადგან $|Z_1^{(3)}| = |Z_2^{(3)}| < 1$, ამიტომ ფილტრი მდგრადია

თუ ფილტრი არამდგრადია და მისი შემავალი სიგნალი შეუზღუდავად იცვლება ხანგრძლივი დროის განმავლობაში, მაშინ ადრე თუ გვიან გამოსავალი სიგნალი დაკარგავს თავის დამოკიდებულებას შემავალ სიგნალთან და ფილტრი გადადის არამუშა მდგომარეობაში.

არამდგრადი ფილტრი მუშა მდგომარეობაშია მხოლოდ იმ შემთხევაში, როცა შემავალი სიგნალი დროში შეუზღუდულია. მაგალითად, ციფრული ინტეგრატორი, რომლის გადაცემის ფუნქციაა

$$H(Z) = \frac{1}{1-Z^{-1}}$$

არამდგრადია, რადგან მას გააჩნია $z = 1$ პოლუსი. მაგრამ იგი ნორმალურად მუშაობს როცა შემავალი სიდიდე $x(n)$ მოქმედებს $0 \leq n \leq N-1$ ინტერვალში, რომლის შემდეგ საჭიროა მისი განულება ანუ საწყისი ნულოვანი მნიშვნელობის აღდგენა.

7.5 ფილტრის სიხშირული მახასიათებელი

თუ გადაცემის ფუნქციაში (7.4) ჩაესვამთ $z = e^{j\omega\Delta t}$, მაშინ მივიღებთ რეაქტული ფილტრის კომპლექსურ - სიხშირულ მახასიათებელს:

$$H(e^{j\omega\Delta t}) = \frac{\sum_{k=0}^{N-1} a_k e^{-jk\omega\Delta t}}{\sum_{k=0}^{M-1} b_k e^{-jk\omega\Delta t}},$$

ხოლო არარეალური ფილტრისათვის გვექნება:

$$H(e^{j\omega\Delta t}) = \sum_{k=0}^{N-1} a_k e^{-jk\omega\Delta t}.$$

კომპლექსურ-სიხშირულ მახასიათებელის მოდულს $A(\omega) = |H(e^{j\omega\Delta t})|$ ეწოდება ფილტრის ამპლიტუდურ - სიხშირული მახასიათებელი ან მოკლედ სიხშირული მახასიათებელი და განსაზღვრავს დამყარებული რეჟიმის დროს მდგრადი ფილტრის გამოსავალი სიგნალის ამპლიტუდას, როცა შემავალი სიგნალია $x(n\Delta t) = e^{jn\omega\Delta t}$.

კომპლექსურ-სიხშირული მახასიათებელის არგუმენტს $\varphi(\omega) = \arg|H(e^{j\omega\Delta t})|$ ეწოდება ფაზურ-სიხშირული ან მოკლედ ფაზური მახასიათებელი და განსაზღვრავს მდგრადი ფილტრის გამოსავალი სიგნალის ფაზას, როცა შემავალი სიგნალია $x(n\Delta t) = e^{jn\omega\Delta t}$.

ცხადია, რომ ნამდვილკოეფიციენტებიანი რეკურსიული ციფრული ფილტრისათვის გვექნება:

$$A(\omega)^2 = \left| H(e^{j\omega\Delta t}) \right|^2 = \frac{\left(\sum_{i=0}^{N-1} a_i \cos i\omega\Delta t \right)^2 + \left(\sum_{i=0}^{N-1} a_i \sin i\omega\Delta t \right)^2}{\left(\sum_{j=0}^{M-1} b_j \cos j\omega\Delta t \right)^2 + \left(\sum_{j=0}^{M-1} b_j \sin j\omega\Delta t \right)^2} = \frac{\sum_{m=0}^{N-1} \sum_{k=0}^{N-1} a_m a_k \cos(m-k)\omega\Delta t}{\sum_{p=0}^{M-1} \sum_{s=0}^{M-1} b_p b_s \cos(p-s)\omega\Delta t}$$

სადაც $b_0 = 1$.

$$\varphi(\omega) = \arg[H(e^{j\omega\Delta t})] = -\arctg \frac{\sum_{i=0}^{N-1} a_i \sin(i\omega\Delta t)}{\sum_{i=0}^{N-1} a_i \cos(i\omega\Delta t)} + \arctg \frac{\sum_{m=0}^{M-1} b_m \sin(j\omega\Delta t)}{\sum_{m=0}^{M-1} b_m \cos(j\omega\Delta t)},$$

ხოლო არარეგული ციფრული ფილტრისათვის გვექნება:

$$A(\omega)^2 = \left| H(e^{j\omega\Delta t}) \right|^2 = \sum_{m=0}^{N-1} \sum_{k=0}^{N-1} a_m a_k \cos(m-k)\omega\Delta t$$

$$\varphi(\omega) = \arg[H(e^{j\omega\Delta t})] = -\arctg \frac{\sum_{i=0}^{N-1} a_i \sin(i\omega\Delta t)}{\sum_{i=0}^{N-1} a_i \cos(i\omega\Delta t)}.$$

მაგალითი 1. მოცემული $H(Z) = 2 + 0,5Z^{-1} - Z^{-2}$ გადაცემის ფუნქციისათვის, განვსაზღვროთ სიხშირული მახასიათებლები. მაშინ გვექნება:

$$H(e^{j\omega\Delta t}) = 2 + 0,5e^{-j\omega\Delta t} - e^{-j2\omega\Delta t}$$

$$A(\omega)^2 = (2 + 0,5\cos(\omega\Delta t) - \cos(2\omega\Delta t))^2 + (0,5\sin(\omega\Delta t) - \sin(2\omega\Delta t))^2$$

$$\varphi(\omega) = -\arctg \left(\frac{0,5\sin(\omega\Delta t) - \sin(2\omega\Delta t)}{2 + 0,5\cos(\omega\Delta t) - \cos(2\omega\Delta t)} \right).$$

მაგალითი 2. მოცემული $H(z) = \frac{1}{1 - 0,5Z^{-1}}$ გადაცემის ფუნქციისათვის გვექნება:

$$H(e^{j\omega\Delta t}) = \frac{1}{1 - 0,5e^{-j\omega\Delta t}}, \quad A(\omega)^2 = \frac{1}{(1 - 0,5\cos(\omega\Delta t))^2 + (0,5\sin(\omega\Delta t))^2},$$

$$\varphi(\omega) = \arctg \frac{0,5\sin(\omega\Delta t)}{1 - 0,5\cos(\omega\Delta t)}.$$

ნამდვილკოეფიციენტებიანი ციფრული ფილტრის სიხშირული მახასიათებლის ძირითადი თვისებებია:

1. ყველა სიხშირული მახასიათებელი წარმოადგენს პერიოდულ ფუნქციას ω კუთხეური სიხშირით და $\omega = 2\pi/\Delta t$ პერიოდით;

2. ω სიხშირის ამპლიტუდურ-სიხშირული მახასიათებელი ლური ფუნქციაა, ხოლო ω სიხშირის ფაზურ-სიხშირული მახასიათებელი $\varphi(\omega)$ კენტი ფუნქციაა.

ა. ყუბანევიშვილი ბიოსიგნალების ციფრული დამუშავება

ამ თვისებებიდან გამომდინარე, მუდმივი Δt დროს სიხშირული მახასიათებლები საჭიროა მოცემული იყოს $[0, \pi/\Delta t]$ ინტერვალზე. სხვადასხვა სიხშირული მახასიათებლების შედარებისათვის მიზანშეწონილია სიხშირის ნორმირება. არსებობს ნორმირების ორი მეთოდი. პირველი მეთოდის დროს ნორმირებული სიხშირე ტოლია: $\tilde{\omega} = \omega \Delta t$, მაშინ $\omega_g = \omega \Delta t = (2\pi/\Delta t) \Delta t = 2\pi$ და სიხშირული მახასიათებელი მოცემულია $[0, \pi]$ ინტერვალზე.

მეორე მეთოდის დროს უშვებენ ნორმირებულ სიხშირეს $\tilde{\omega} = \omega \Delta t / 2\pi$ სიდიდის ტოლად, მაშინ

$$\omega_g = \omega_g \frac{\Delta t}{2\pi} = \frac{2\pi}{\Delta t} \frac{\Delta t}{2\pi} = 1$$

და სიხშირული მახასიათებელი მოცემულია $[0, 0,5]$ ინტერვალში. პრაქტიკაში უფრო ხშირად იყენებნ სიხშირების ნორმირების ამ მეორე მეთოდს.

8 არარეპურსიული ციფრული ფილტრები

8.1 არარეპურსიული ფილტრის მახასიათებლები

ციფრული ფილტრის გამოსავალი სიგნალის მიმდინარე მნიშვნელობის განსაზღვრისათვის არარეპურსიული ფილტრები იყენებენ შემავალი სიგნალის მხოლოდ მიმდინარე და წინა მნიშვნელობებს და არ იყენებენ ფილტრის გამოსავალ ანათვლებს (სწორედ ამიტომ ქვიათ ასეთ ფილტრებს არარეპურსიული). ამას მივყვართ იქამდე, რომ თუ ფილტრის შემავალი თანმიმდებრობა შეიცავს ნულისაგან განსხვავებულ სასრულო რაოდენობის ანათვლებს, მაშინ ასეთი ფილტრის გამოსავალზე გვექნება აგრეთვე ნულისაგან განსხვავებული სასრულო რაოდენობის ანათვალი. სწორედ ამიტომ ასეთ ფილტრებს უწოდებენ სასრულო რაოდენობის იმპულსური მახასიათებლის ფილტრებს

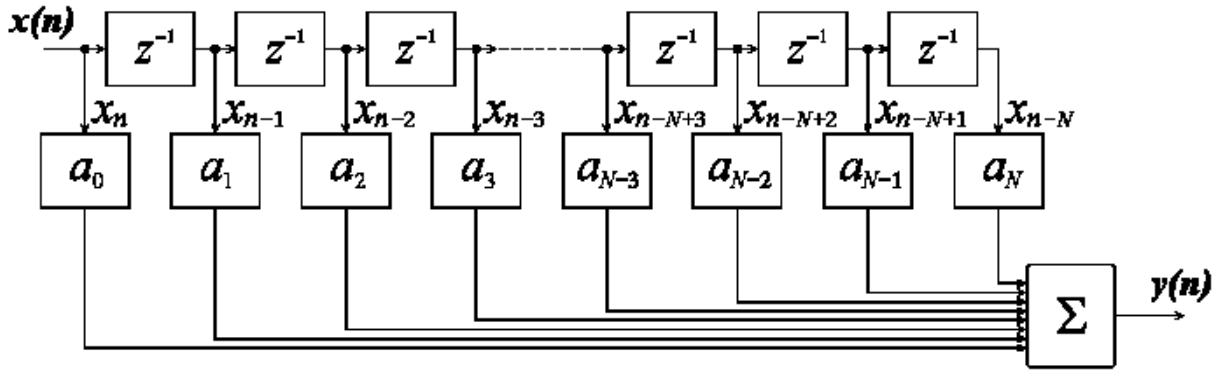
ვთქვათ მოცემულია სასრულო რაოდენობის სიმეტრიული წევრთა არარეპურსული ფილტრი, რომლის განტოლებას აქვს შემდეგი სახე:

$$y(n) = \sum_{k=-N}^N a(k)x(n-k). \quad (8.1)$$

სადაც N – წინა ანათვლების ანუ ფილტრის კოეფიციენტების რაოდენობა, რომელსაც ფილტრის რიგი ეწოდება. (8.1) ფორმულა წარმოადგენს არარეპურსიული ფილტრის სხვაობით განტოლებას, რომელიც წარმოდგენილია დროით არეში.

არარეპურსიული ფილტრის (8.1) პირდაპირი ფორმის სტრუქტურულ სქემას აქვს შემდეგი სახე:

ა- ყუბანეიშვილი ბიოსიგნალების ციფრული დამუშავება



ნახ. 8.1

არარეკურსიული ფილტრის იმპულსური მახასიათებლის მისაღებად ფილტრის შესასვლელს მიგაწოდოთ ერთეულოვანი იმპულსი $x_0(n)$, მაშინ

$$h(n) = \sum_{k=-N}^N a(k)x_0(n-k),$$

მაგრამ ანათვალი $x_0(n-k)$ ყველა n -სთვის ნულის ტოლია, გარდა $n=k$, როცა ის ერთის ტოლია. ამრიგად ვდებულობთ მარტივ შედეგს $h(n)=a_n$ ანუ a_n კოეფიციენტები წარმოადგენენ ფილტრის იმპულსური მახასიათებლის ანათვლებს. ეს შეიძლება თვალნათლივ ავსახოთ ნახ. 8.1 საშუალებით. როცა შესასვლელს მიეწოდება ერთეულოვანი იმპულსი იგი დაყოვნების ზოლზე გადაადგილდება და მრავლდება $a_0, a_1, a_2, a_3, \dots, a_N$ კოეფიციენტებზე და ისე მიეწოდება ფილტრის გამოსავალს.

ცხადია, რომ რეალური ფილტრი შეიცავს დაყოვნების ზოლის სასრულო რაოდენობის ელემენტებს, ამიტომ არარეკურსიული ფილტრის იმპულსური მახასიათებელი სასრულო სიგრძისაა. აქედან გამომდინარე, ასეთ ფილტრებს უწოდებენ სასრულო იმპულსური მახასიათებლის ფილტრებს.

უკუკავშირის არარეცხობის გამო ნებისმიერი არარეკურსიული ფილტრი მდგრადია. მართლაც, როგორიც არ უნდა იყოს საწყისი პირობები, ანუ ანათვლები, რომლებიც ინახება დაყოვნების ზოლში, ფილტრის შესასველში სიგნალის არარეცხობის შემთხვევაში ($x_0(n)=0$), გამოსავალი სიგნალი იქნება ნულისაგან განსხვავებული მხოლოდ არაუმჯობეს N ტაქტისა, რომელიც საჭიროა დაყოვნების ზოლის გასასუფთავლებად.

მეტად მნიშვნელოვანია ის, რომ სასრულო რაოდენობის სიმეტრიული წევრთა არარეკურსულ ფილტრებს გააჩნიათ წრფივი ფაზურ-სისტირული მახასიათებელი, რაც უზრულვებელყოფს ჯგუფური და ფაზური დაყოვნებების მუდმივობას (სისტირეზე დამოუკიდებელი). არსებობს სიმეტრიის ორი ტიპი:

- ლუწი სიმეტრია: $a(n)=a(N-n)$ ყველა $n=0,1,2,\dots,N$ -ისათვის;

- კენტი სიმეტრია: $a(n)=-a(N-n)$ ყველა $n=0,1,2,\dots,N$ -ისათვის.

სიმეტრიული ფილტრისათვის ჯგუფური დაყოვნება არ არის დამოკიდებული სისტირეზე და ტოლია $N/2$ ანათვლებისა.

ლუწი N -ის და კენტი იმპულსური მახასიათებლის სიმეტრიის დროს, მისი საშუალო მნიშვნელობის ანათვალი ნულის ტოლი უნდა იყოს: $a(N/2)=0$.

ა- ყუბანეიშვილი ბიოსიგნალების ციფრული დამუშავება

თუ (8.1) განტოლებაში ჩავსვამთ $x = e^{j\omega n}$, მაშინ მივიღებთ:

$$y(n) = \sum_{k=-N}^N a(k) e^{j\omega(n-k)} = e^{j\omega n} \sum_{k=-N}^N a(k) e^{-j\omega k} = H(\omega) e^{j\omega n},$$

სადაც

$$H(\omega) = \sum_{k=-N}^N a(k) e^{-j\omega k}$$

და იგი წარმოადგენს ფილტრის გადაცემის ფუნქციას. კოეფიციენტების სიმეტრიოულობის გამო $a(k) = a(-k)$ ჩვენ გვაქვს მხოლოდ კოსინუსების ფურიეს მწყრივი $-\pi \leq \omega \leq \pi$ ნაიკვისტის ინტერვალით. ეილერის ცნობილი ფორმულის თანახმად, გადაცემის ფუნქციას ექნება შემდეგი სახე:

$$H(\omega) = \sum_{k=-N}^N a(k) \cos(\omega k) = 2 \sum_{k=0}^N a(k) \cos(\omega k).$$

გადაცემის ფუნქცია პერიოდულია და $\omega = 0, \omega = \pi$ ($f = 1/2$) მიმართ სიმეტრიულია. თუ გამოვიყენებთ ციკლურ სიხშირეს, მაშინ გვექნება:

$$H(f) = 2 \sum_{k=-N}^N a(k) \cos(2\pi fk).$$

სიხშირულ ტერმინებში ნაიკვისტის სიხშირე შეესაბამება $-1/2 \leq f \leq 1/2$ ინტერვალს. მოცემული გადაცემის ფუნქცია სიმეტრიულია $f = 0$ მიმართ. ფურიეს მწყრივის შედეგად მიღებული გრაფიკი წარმოადგენს გადაცემის ფუნქციის გრაფიკს. არსებობს ფილტრის კოეფიციენტების განსაზღვრის რამოდენიმე მეთოდი. განვიხილოთ ზოგიერთი მათგანი.

8.2 გაგლუვების მეთოდი

ციფრული ფილტრების პროექტირებისას გაგლუვების მეთოდი ეფუძნება სწორი ხაზის ან პოლინომიალურ აპროქსიმაციას ანუ ხდება მონაცემთა გაგლუვება, სადაც ფილტრის კოეფიციენტები მოიძებნებიან უმცირეს კვადრატთა მეთოდით. ეს მიღგომა წარმოადგენს კლასიკურს, ადვილად გასაგებია და ფსიქოლოგიურადაც მისაღებია. გარდა ამისა, როგორც პრაქტიკა გვიჩვენებს, გაგლუვების მეთოდი მეტად პოპულარულია და იძლევა კარგ შედეგს. ფილტრების თეორიაში ამ მეთოდს სიხშირულ მეთოდსაც უწოდებენ. განვიხილოთ სრიალა საშუალოს და პოლინომიალური გაგლუვების მეთოდები.

სრიალა საშუალოს მეთოდი. გაგლუვების ერთ-ერთ ყველაზე მარტივ მეთოდს წარმოადგენს სრიალა(მცოცავი) საშუალოს მეთოდი, რომლის არსი შემდეგ ში მდგომარეობს: მოცემული დისკრეტული $x(0), x(\Delta t), x(2\Delta t), \dots, x(k\Delta t)$ თანმიმდევრობიდან, სადაც Δt დისკრეტიზაციის ინტერვალია, აიღება პირველი m წევრი $x(0), x(\Delta t), x(2\Delta t), \dots, x(m\Delta t)$. დაუშვათ, რომ m კენტი რიცხვია. გამოითვლება მათი საშუალო არითმეტიკული და ეს მნიშვნელობა მიეკუთვნება თანმიმდევრობის შუა წევრს, რომლის რიგითი ნომერია $(m+1)/2$. შემდეგ აიღება $x(\Delta t), x(2\Delta t), \dots, x((m+1)\Delta t)$ წევრები, გამოითვლება მათი საშუალო მნიშვნელობა, რომლის სიდიდე მიეკუთვნება ამ თანმიმდევრობის შუა $(m+3)/2$ წევრს და ა.შ. ეს პროცედურა გაგრძელდება თანმიმდევრობის სრულ ამოწურვამდე.

ა. შუბანევიშვილი ბიოსიგნალების ციფრული დამუშავება

ამრიგად, სრიალა საშუალოებით გაგლუვება წარმოადგენს ალგორითმს, რომლითაც ფილტრის გამოსავალი თანმიმდევრობა შეიძლება წარმოვადგინოთ (8.1) ფორმულის საშუალებით.

თუ გამოვიყენებოთ Z - გარდაქნას, მაშინ ვდებულობთ ფილტრის გადაცემ ფუნქციას

$$H(z) = \sum_{k=0}^N a_k z^{-k} = a_0 + a_1 z^{-1} + a_2 z^{-2} + \dots + a_N z^{-N}.$$

სრიალა საშუალოს მარტივ ფილტრს მიეკუთნება ჰემინგის ფილტრი, რომელიც მოცემულია შემდეგი გამოსახულებით:

$$y(n\Delta t) = \frac{1}{4} [x(n\Delta t) + 2x(n\Delta t - \Delta t) + x(n\Delta t - 2\Delta t)]. \quad (8.2)$$

როგორც ვხედავთ, მოცემული განტოლება წარმოადგენს სხვაობით განტოლებას, სადაც ჩანს, რომ გამოსავალი $y(n\Delta t)$ სიდიდე დროის ნებისმიერ მომენტში ტოლია ამ მომენტში შემავალ $x(n\Delta t)$ მნიშვნელობისა, დამატებული გაორკეცებული ჯამი შესავალი მნიშვნელობისა დროის წინა მომენტში $x(n\Delta t - \Delta t)$ და დამატებული $x(n\Delta t - 2\Delta t)$ შესავალი მნიშვნელობა $2\Delta t$ დროის წინ.

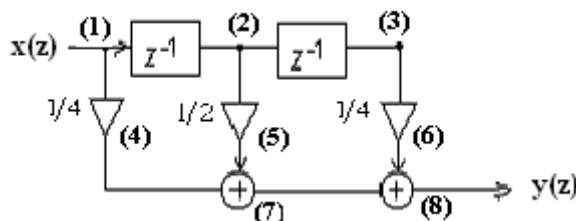
ნებისმიერი შემავალი წერტილისათვის, მაგალითად $n = 5$, გამოსავალი იქნება:

$$y(5\Delta t) = \frac{1}{4} [x(5\Delta t) + 2x(4\Delta t) + x(3\Delta t)].$$

(8.2) გამოსახულების Z - გარდაქმნა ტოლია:

$$y(z) = \frac{1}{4} [X(z) + 2X(z)Z^{-1} + X(z)Z^{-2}]. \quad (8.3)$$

ასეთი ფილტრის გადაცემის ფუნქციის განსაზღვრისათვის განვიხილოთ შესასვლელზე ერთეულოვანი იმპულსის Z -გარდაქმნა და განვსაზღვროთ გადაცემის ფუნქცია. ამისათვის განვიხილოთ (8.3) ფილტრის სტრუქტურული სქემა, რომელსაც აქვს შემდეგი სახე:



ნახ. 8.1

თუ ფილტრის შესავალზე მივაწვდით ერთეულოვან იმპულს, მაშინ მის გამოსავალზე მივიღებთ შემდეგ თანმიმდევრობებს:

$$(1) (1, 0, 0, 0, 0, \dots) \quad (5) (0, 1/2, 0, 0, 0, \dots)$$

$$(2) (0, 1, 0, 0, 0, \dots) \quad (6) (0, 0, 1/4, 0, 0, \dots)$$

$$(3) (0, 0, 1, 0, 0, \dots) \quad (7) (1/4, 1/2, 0, 0, \dots)$$

$$(4) (1/4, 0, 0, 0, \dots) \quad (8) (1/4, 1/2, 1/4, 0, \dots)$$

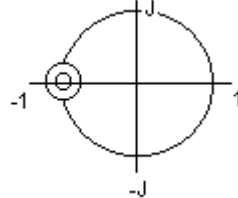
გადაცემის ფუნქციას ექნება შემდეგი სახე:

$$H(z) = \sum_{k=0}^2 a_k z^{-k} = \frac{1}{4} + \frac{1}{2} z^{-1} + \frac{1}{4} z^{-2} = \frac{1}{4} (1 + 2z^{-1} + z^{-2}).$$

ფილტრის ნულების საპოვნელად გადაცემის ფუნქცია გაუტოლოთ ნულს და შემდეგ ამოვხსნათ z -ის მიმართ.

$$\frac{1}{4}(1+2Z^{-1}+Z^{-2}) \quad Z^2 + 2Z + 1 = 0, \quad Z = -1; -1.$$

მივიღეთ ორი ნული და ორივე z -სიბრტყის -1 წერტილში



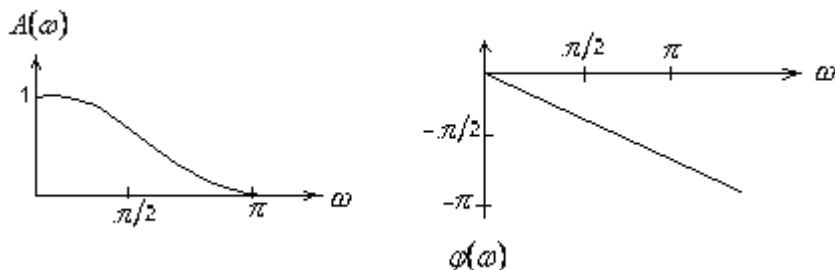
ფილტრის ამპლიტუდური და ფაზური მახასიათებლების განსაზღვრისათვის ფილტრის გადაცემის ფუნქციის გამისახულებაში z -ს მაგივრად ჩავსვათ $e^{j\omega\Delta t}$, მაშინ გვექნება:

$$\begin{aligned} H(e^{j\omega\Delta t}) &= \frac{1}{4}(1+2e^{-j\omega\Delta t}+e^{-j2\omega\Delta t}) = \frac{1}{4}(e^{j\omega\Delta t}+2+e^{-j\omega\Delta t})e^{-j\omega\Delta t} = \\ &= \frac{1}{4}(2+2\cos(\omega\Delta t))e^{-j\omega\Delta t} = \frac{1}{2}(1+\cos(\omega\Delta t))e^{-j\omega\Delta t} \end{aligned}$$

როგორც ცნობილია, ამპლიტუდური მახასიათებელია

$$A(\omega) = |H(e^{j\omega\Delta t})| = \frac{1}{2}(1+\cos(\omega\Delta t)), \quad \text{ხოლო ფაზური:} \quad \varphi(\omega) = J_m[H(e^{j\omega\Delta t})] = -\omega\Delta t.$$

$A(\omega)$ და $\varphi(\omega)$ ფუნქციების გრაფიკები ნაჩვენებია შემდეგ ნახაზზე:



როგორც ნახაზიდან ჩანს, დაბალი სიხშირის ფილტრის ამპლიტუდური მახასიათებელი დამახინჯებული ფორმისაა, იგი ერთის ტოლია მუდმივი დონის სიგნალისათვის და ნულის ტოლია ზედდების სიხშირეზე, ე.ი. როცა $\omega\Delta t = \pi$, რადგან $2\pi\Delta t = \pi$ ან $f = 1/2\Delta t$, ამიტომ ფაზური მახასიათებელი წრფივია, რაც მეტად სასურველია, განსაკუთრებით ბიოსიგნალების დამუშავებისას.

თუ ავიღებთ ხუთწევრიან სრიალა საშუალოს ფილტრს, მაშინ ფილტრის განტოლებას ექნება შემდეგი სახე:

$$y(n\Delta t) = \frac{1}{5}[x(n\Delta t - 2\Delta t) + x(n\Delta t - \Delta t) + x(n\Delta t) + x(n\Delta t + \Delta t) + x(n\Delta t + 2\Delta t)],$$

ხოლო მისი Z -გარდაქმნა იქნება:

$$Y(z) = \frac{1}{5}[X(z) + X(z)Z^{-1} + X(z)Z^{-2} + X(z)Z^{-3} + X(z)Z^{-4}].$$

ერთეულოვანი იმპულსის დროს, როცა $X(z) = 1$, გვექნება შემდეგი გადაცემის ფუნქცია:

ა. ყუბანეიშვილი ბიოსიგნალების ციფრული დამუშავება

$$H(z) = \frac{1}{5} [1 + Z^{-1} + Z^{-2} + Z^{-3} + Z^{-4}].$$

ამპლიტუდური და ფაზური მახასიათებლების მოსაძებნად გადაცემის ფუნქციის განტოლებაში ჩავსგათ $z = e^{j\omega\Delta t}$, მაშინ მივიღებთ:

$$\begin{aligned} H(e^{j\omega\Delta t}) &= \frac{1}{5} [1 + e^{-j\omega\Delta t} + e^{-2j\omega\Delta t} + e^{-3j\omega\Delta t} + e^{-4j\omega\Delta t}] = \frac{1}{5} [e^{2j\omega\Delta t} + e^{j\omega\Delta t} + 1 + e^{-j\omega\Delta t} + e^{-2j\omega\Delta t}] e^{-2j\omega\Delta t} = \\ &= \frac{1}{5} [1 + 2\cos(\omega\Delta t) + 2\cos(2\omega\Delta t)] e^{-j2\omega\Delta t} \end{aligned}$$

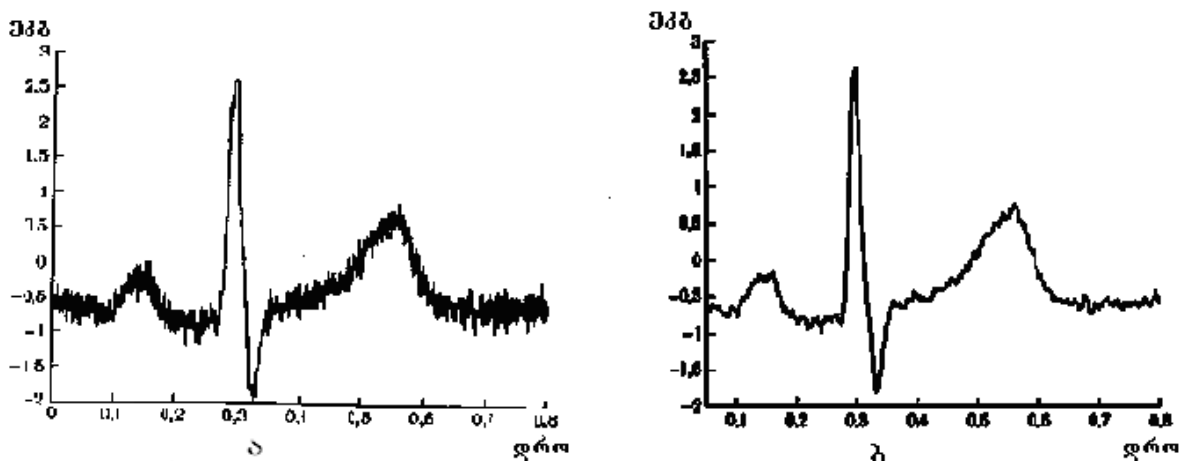
საიდანაც ვღებულობთ:

$$A(\omega) = |H(e^{j\omega\Delta t})| = \frac{1}{2} (1 + \cos(\omega\Delta t) + 2\cos(2\omega\Delta t)); \quad \varphi(\omega) = J_m[H(e^{j\omega\Delta t})] = -2\omega\Delta t.$$

სრიალა საშუალოს ფილტრს გააჩნია შემდეგი დადებითი თვისებები:

- იმპულსურ მახასიათებელს გააჩნია სასრულო რაოდენობის წევრები a_k , $k = 0, 1, 2, \dots, N$;
- ფილტრი შეიძლება რეალიზირებული იყოს უკუკავშირის გარეშე;
- ფილტრის გამოსავალი დამოკიდებულია მხოლოდ შემავალი თანმიმდევრობის მიმდინარე მნიშვნელობებზე და რამოდენიმე ბოლო გამოსავალ ანათვალზე;
- ფილტრი შედგება მხოლოდ წონითი კოეფიციენტების და დაყოვნების ელემენტებისაგან, როგორც ეს ნაჩვენებია ნახ. 8.1-ზე;
- გადაცემის ფუნქციას არ გააჩნია პოლუსები, ამიტომ ფილტრი მდგრადია;
- ფილტრის ფაზური მახასიათებელი წრფივია იმ პირობით, რომ ფილტრის წონითი კოეფიციენტები სიმეტრიულია.

მაგალითისათვის განვიხილოთ ნახ. 8.2-ზე წარმოდგენილი ელექტროკარდიოგრამის (ეპბ) ფრაგმენტი მაღალი სიხშირის ხმაურით.

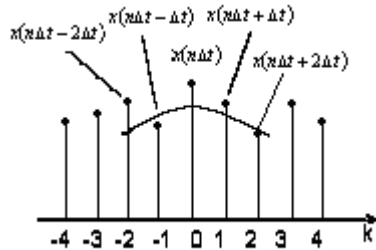


ნახ. 8.2

ნახ. 8.2-ზე ნაჩვენებია იგივე ეპბ ფრაგმენტი ცხრაწერტილიანი სრიალა საშუალოს გაგლუვების ფილტრის გამოყენების შემდეგ.

პარაბოლური გაგლუვების მეთოდი. დაუშვათ გვინდა პარაბოლური გაგლუვების მეთოდით დავაპროექტოთ დაბალი სიხშირის სიმეტრიული

ფილტრი. ავიდოთ თანმიმდევრობის 5 წერტილზე გამავალი პარაბოლა, როგორც ეს ნაჩვენებია შემდეგ ნახაზზე:



პარაბოლას ცენტრალური წერტილია $x(n\Delta t)$. ფილტრის სხვაობით განტოლებას აქვს შემდეგი სახე:

$$y(n\Delta t) = ax(n\Delta t - 2\Delta t) + bx(n\Delta t - \Delta t) + cx(n\Delta t) + bx(n\Delta t + \Delta t) + ax(n\Delta t + 2\Delta t),$$

ხოლო გადაცემის ფუნქცია იქნება:

$$H(z) = a + bZ^{-1} + cZ^{-2} + bZ^{-3} + aZ^{-4}.$$

თუ მოვახდენთ $Z = e^{j\omega\Delta t}$ ჩასმას, მაშინ მივიღებთ:

$$\begin{aligned} H(e^{j\omega\Delta t}) &= [a + be^{-j\omega\Delta t} + ce^{-2j\omega\Delta t} + be^{-3j\omega\Delta t} + ae^{-4j\omega\Delta t}] = [ae^{2j\omega\Delta t} + be^{j\omega\Delta t} + c + be^{-j\omega\Delta t} + ae^{-2j\omega\Delta t}]e^{-2j\omega\Delta t} = \\ &= [c + a2\cos(\omega\Delta t) + b2\cos(2\omega\Delta t)]e^{-j2\omega\Delta t} \end{aligned}$$

ამპლიტუდური მახასიათებელი იქნება:

$$A(\omega) = |H(e^{j\omega\Delta t})| = (c + a\cos(\omega\Delta t) + b\cos(2\omega\Delta t)),$$

$$\text{ხოლო } \text{ფაზური: } \varphi(\omega) = J_m[H(e^{j\omega\Delta t})] = -2\omega\Delta t.$$

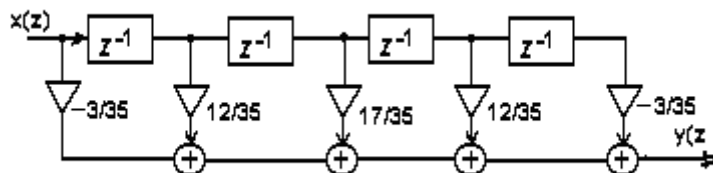
როგორც ვხედავთ, ამოცანა დაიყვანება a , b და c კოეფიციენტების განსაზღვრაზე. მათემატიკური სტრუქტურის გურსიდან ჩვენთვის ცნობილია, რომ პარაბოლას კოეფიციენტების განსაზღვრა შესაძლებელია უმცირეს კვადრატო მეთოდით. მაშინ 5 წერტილიანი პარაბოლისათვის გვექნება შემდეგი კოეფიციენტები:

$$\frac{1}{35}(-3; 12; 17; 12; -3),$$

$$7 \text{ წერტილისათვის: } \frac{1}{21}(-2; 3; 6; 7; 6; 3; -2);$$

$$9 \text{ წერტილისათვის: } \frac{1}{231}(-21; 14; 39; 54; 59; 54; 39; 14; -21) \text{ და ა.შ.}$$

5 წერტილიანი ფილტრის სტრუქტურული სქემა შიმდეგია:



ასეთი ფილტრის გადაცემის ფუნქციას აქვს შემდეგი სახე:

$$H(z) = \frac{1}{35}(-3 + 12Z^{-1} + 17Z^{-2} + 12Z^{-3} - 3Z^{-4}).$$

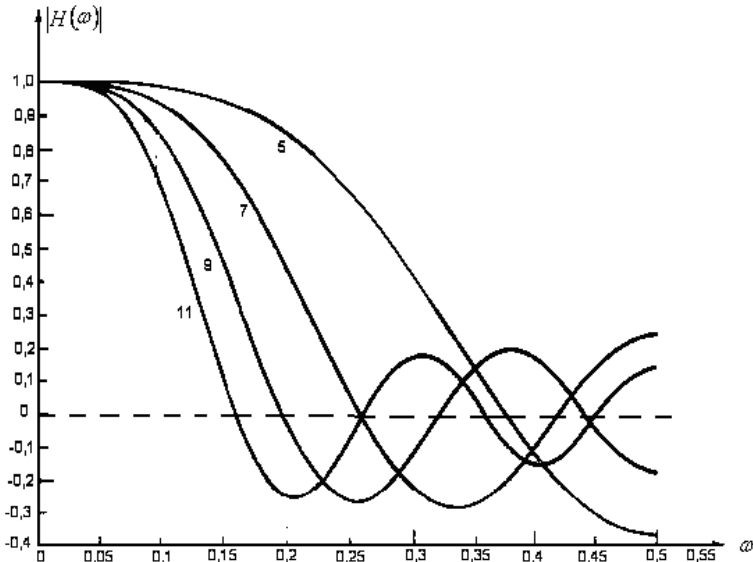
თუ მოვახდენთ $Z = e^{j\omega\Delta t}$ ჩასმას, მაშინ მივიღებთ:

$$\begin{aligned}
 H(e^{j\omega\Delta t}) &= \frac{1}{35}(-3 + 12e^{-j\omega\Delta t} + 17e^{-j2\omega\Delta t} + 12e^{-j3\omega\Delta t} - 3e^{-j4\omega\Delta t}) = \\
 &= \frac{1}{35}(-3e^{j2\omega\Delta t} + 12e^{j\omega\Delta t} + 17 + 12e^{-j\omega\Delta t} - 3e^{-j2\omega\Delta t})e^{-j2\omega\Delta t} = \frac{1}{35}(17 + 24\cos(\omega\Delta t) - 6\cos(2\omega\Delta t))e^{-j2\omega\Delta t}
 \end{aligned}$$

აქედან გვექნება:

$$A(\omega\Delta t) = \frac{1}{35}(17 + 24\cos(\omega\Delta t) - 6\cos(2\omega\Delta t)) \quad \text{და} \quad \varphi(\omega\Delta t) = -2\omega\Delta t.$$

პარაბოლური გაგლუვების ფილტრის გადაცემის ფუნქცია სხვადასხვა რაოდენობის წერტილებისათვის მოცემულია შემდეგ ნახაზზე:



როგორც ნახაზიდან ჩანს, რაც უფრო დიდია წერტილების რაოდენობა, მით უფრო სწრაფად ხდება ამპლიტუდური მახასიათებლის სიხშირულ დერძთან გადაკვეთა.

ზემოდ ჩვენ განვიხილეთ მეორე რიგის პარაბოლური გაგლუვება (მესამე რიგის პარაბოლა იგივე შედეგს იძლევა). თუ გავაგრძელებთ და ავიდებთ მეოთხე რიგის პარაბოლას (მეხუთე რიგის პარაბოლა იგივე შედეგს იძლევა), შემდეგ მეექვსეს და ა.შ., მაშინ ფილტრის ამპლიტუდური მახასიათებლის სიხშირულ დერძთან გადაკვეთა მით უფრო სწრაფად ხდება, რაც უფრო მაღალი რიგისაა პარაბოლა. პრაქტიკაში უფრო ხშირად იყენებენ მეორე და მეოთხე რიგის პარაბოლებს, რადგან უფრო მაღალი რიგის პარაბოლის გამოყენება დაკავშირებულია როგორც გამოთვლებთან.

8.3 არარეგურსიული გადამდობი ფილტრი

შეიძლება დავაპროექტოთ ფილტრი, რომელიც მოკვეთს მხოლოდ ერთ სიხშირეს, თუ გამოვიყენებთ შემდეგ სხვაობით განტოლებას:

$$y(n\Delta t) = \frac{1}{3}[x(n\Delta t) + x(n\Delta t - \Delta t) + x(n\Delta t - 2\Delta t)],$$

რომლის გადაცემის ფუნქციას აქვს შემდეგი სახე:

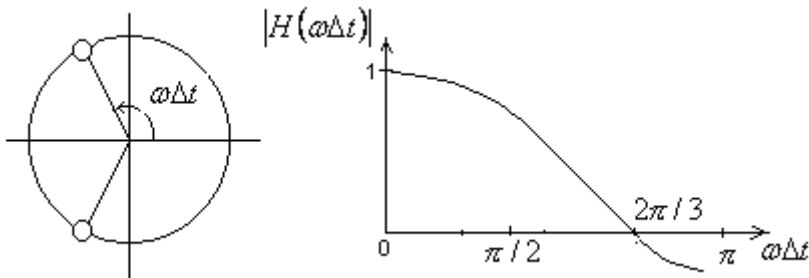
$$H(z) = \frac{1}{3}(1 + Z^{-1} + Z^{-2}).$$

ა. ყუბანეიშვილი ბიოსიგნალების ციფრული დამუშავება

ნულების განსაზღვრისათვის უნდა ამოვხსნათ შემდეგი განტოლება:

$$z^2 + z + 1 = 0, \quad z = -0,5 \pm j0,866.$$

რადგან ორივე ნული მდებარეობს ერთეულოვან წერტილზე (ნახ. 8.3) როცა $\omega\Delta t = \pm 2\pi/3$, ამიტომ ამ წერტილების შესაბამისი სიხშირე მოლიანად ჩაიხშობა.



ნახ. 8.3

დაუშვათ, ჩვენ გვინდა 60 პც სიხშირის ჩახშობა და ამასთან სიგნალის დაქვანტის ანუ დისკრეტიზაციის სიხშირე იყოს 180 პც, მაშინ 180 პც სიხშირეს ერთეულოვან წრეწირზე შეესაბამება

$$\omega\Delta t = \frac{2\pi f}{f_d} = \frac{2\pi 60}{180} = \frac{2\pi}{3}$$

კუთხე ანუ ზუსტად ნულოვანი მდებარეობა. ფილტრის ამპლიტუდურ და ფაზურ მახასიათებლებს ვპოულობთ ჩვეულებრივ გადაცემის ფუნქციაში $z = e^{j\omega\Delta t}$ ჩასმით, ქ. ი.

$$H(e^{j\omega\Delta t}) = \frac{1}{3} [1 - e^{-j\omega\Delta t} + e^{-2j\omega\Delta t}] = \frac{1}{3} [e^{j\omega\Delta t} + 1 + e^{-j\omega\Delta t}] e^{-j\omega\Delta t} = \frac{1}{3} [1 + 2\cos(\omega\Delta t)] e^{-j\omega\Delta t},$$

აქედან გვექნება: $A(\omega\Delta t) = |H(e^{j\omega\Delta t})| = \frac{1}{3}(1 + 2\cos(\omega\Delta t))$, $\varphi(\omega\Delta t) = -\omega\Delta t$.

8.4 ციფრული ფილტრის სინთეზი ფურიეს გარდაქმნის მეთოდით

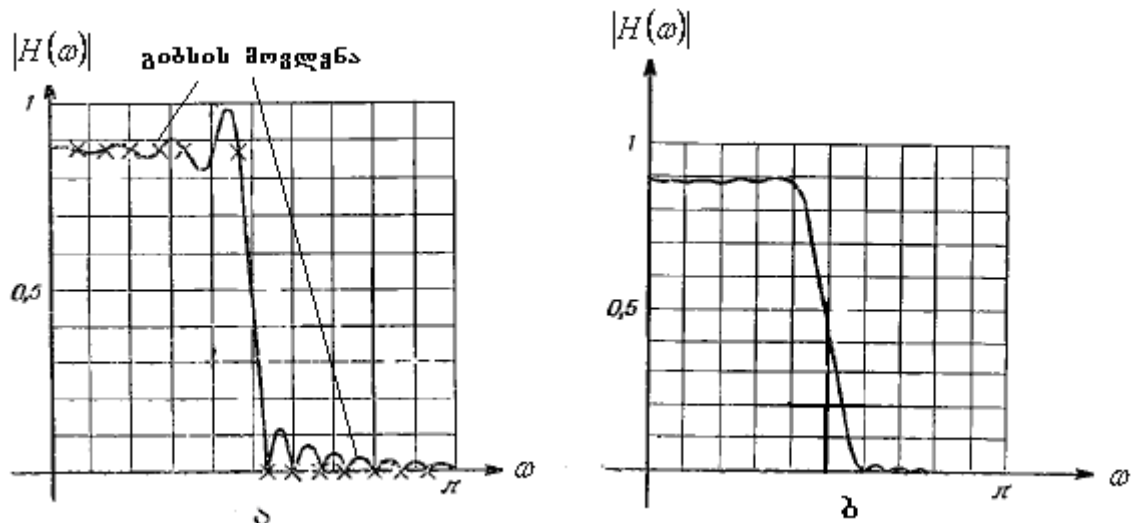
არარეკურსიული ფილტრის პროექტირებისათვის შესაძლებელია გამოყენებული იყოს ფურიეს მწკრივები. თუ მოცემულია ფილტრის სიხშირული მასასიათებელი $H(e^{j\omega})$ ვ პერიოდით, მაშინ ფილტრის გადაცემის ფუნქციის კოეფიციენტები შეგვიძლია მივიღოთ სიხშირული მასასიათებლის ფურიეს მწკრივად გაშლის შედეგად. ამ დროს მთავარი სიძნელე იმაში მდგომარეიბს, რომ ფურიეს მწკრივს გააჩნია უსასრულო წევრთა რაოდენობა, რაც პრაქტიკულად ფილტრს ხდის არარეალიზებადს. აქედან გამომდინარე, საჭიროა ფურიეს მწკრივში დავტოვოთ სასრულო რაოდენობის წევრები, რაც თავის მხრივ ეს იწვევს გადაცემის ფუნქციის არასასურველ რხევებს, რომელიც პირველად შეამჩნია გიბსმამ და ამიტომ ამ მოვლენას გიბსის მოვლენა უწოდეს.

განვიხილოთ მართკუთხა იმპულსი (ნახ. 2.17) და მისი ფურიეს მწკრივი

$$x(t) = \frac{2}{\pi} \sum_{k=0}^{\infty} \frac{\sin(2k+1)t}{2k+1}$$

თუ ავიდებთ სასრულო რაოდენობის წევრებს, მაშინ გვექნება ასეთი სურათი (ნახ. 8.4ა):

ა. ფუბანეიშვილი ბიოსიგნალების ციფრული დამუშავება



ნახ. 8.4

ლანცოშმა შეამჩნია, რომ პულსაციის პერიოდი ემთხვევა ფურიეს მწერივში ან პირველ გადაგდებული წევრის ან ბოლო დატოვებული წევრის პერიოდს. მან აჩვენა, რომ ნებისმიერ შემთხვევაში ამ პერიოდით გასაშუალება იძლევა გიბის მოვლენის ჩასრობას. ამრიგად, თუ სასრულო რაოდენობის ფურიეს მწერივს

$$x(t) = \frac{a_0}{2} + \sum_{k=1}^N [a_k \cos kt + b_k \sin kt]$$

გავასაშუალებო t -ს მიმართ $2\pi/N$ სიგრძის სიმეტრიულ ინტერვალებზე, მივიღებთ:

$$x(t) = \frac{a_0}{2} + \sum_{k=1}^N \sigma(N, k) [a_k \cos kt + b_k \sin kt] ,$$

სადაც

$$\sigma(N, k) = \frac{\sin \frac{\pi k}{N}}{\frac{\pi k}{N}}$$

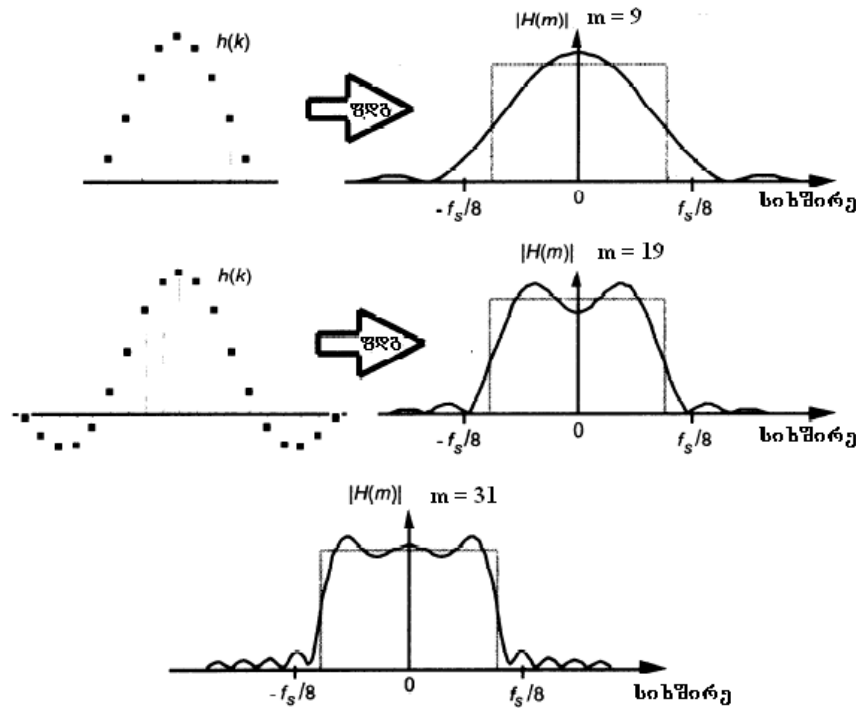
და მას სიგმა-ფაქტორს უწოდებენ. ამრიგად, თუ ფურიეს კოეფიციენტებს გავამრავლებო სიგმა-ფაქტორზე, მაშინ ხდება გიბის მოვლენის ჩასრობა (ნახ. 8.4ბ). სიგმა-ფაქტორს ხშირად ლანცოშის ფანჯარასაც უწოდებენ. გიბის მოვლენის გამოსარიცხავად, გარდა ლანცოშის ფანჯრისა, იყენებენ სხვა ფანჯრებსაც, მაგალითად ჰენინგის, ჰემინგის და სხვა.

არარეკურსიული ფილტრის კოეფიციენტების განსაზღვრისათვის ხშირად იყენებენ მართკუთხა სიგნალის ფურიეს გარდაქმნასაც:

$$X(f) = \frac{\sin(\pi f T)}{\pi f} .$$

ფილტრის კოეფიციენტები მიიღება შემდეგნაირად: ჯერ გამოითვლება მართკუთხა იმპულსის კოეფიციენტები. შემდეგ მიღებული კოეფიციენტები მრავლდება ფანჯრის ფუნქციაზე ისევე როგორც ფურიეს გაშლის მეთოდის დროს.

უნდა აღინიშნოს, რომ რაც უფრო მეტია ფილტრის კოეფიციენტების რაოდენობა მით უფრო ახლოსაა ფილტრის სიხშირული მახასიათებელი იდეალურთან, როგორც ეს ნაჩვენებია ნახ. 8.5-ზე



ნახ. 8.5

განვიხილოთ $(0 - f_s)$ გამშვები ზოლიანი დაბალ სიხშირის ფილტრი, რომლის კოეფიციენტები გამოითვლებიან შემდეგნაირად:

$$a_0 = 2f_s \Delta t; \quad a_k = \frac{\sin(2\pi f_s \Delta t k)}{\pi k}, \quad k = 1, 2, \dots, m,$$

სადაც მაქსიმალური სიხშირე ტოლია: $f_{\max} = 1/(2\Delta t)$.

თუ მიღებულია დაბალი სიხშირის ფილტრის კოეფიციენტები, მაშინ ადვილია მაღალი, ზოლური და გადამდობი ფილტრების სინთეზი. განვიხილოთ ეს შემთხვევები.

მაღალი სიხშირის $(f_s - f_m)$ გამშვები ზოლის ფილტრის სინთეზისათვის ჯერ საჭიროა მივიღოთ დაბალი სიხშირის $(0 - f_s)$ გამშვები ზოლის ფილტრი და შემდეგ მოვახდინოთ ცენტრალური წონითი კოეფიციენტის a_0 -ის გამოკლება ერთიდან, ხოლო დანარჩენ კოეფიციენტებს შეუცვალოთ ნიშანი, ე.ი.

$$a'_0 = 1 - a_0; \quad a'_k = -a_k; \quad k = 1, 2, \dots, m$$

ზოლური ფილტრის მისაღებად, რომლის გამშვები ზოლია $(f_1 - f_2)$, საჭიროა მოვიქცეთ შემდეგნაირად. უნდა მივიღოთ ორი დაბალი სიხშირის ფილტრები $(0 - f_1)$ და $(0 - f_2)$ გამშვები ზოლებით. ზოლური ფილტრის კოეფიციენტების მისაღებად $(0 - f_2)$ სიხშირიან ფილტრის კოეფიციენტებს უნდა გამოვაკლოთ $(0 - f_1)$ სიხშირიანი ფილტრის კოეფიციენტები, მაშინ გვექნება:

$$a_0 = 2\Delta t(f_2 - f_1); \quad a_k = \frac{\sin(2\pi f_2 k \Delta t) - \sin(2\pi f_1 k \Delta t)}{\pi k}, \quad k = 1, 2, \dots, m.$$

გადამდობი ფილტრის მისაღებად, რომელმაც არ უნდა გაუშვას სიგნალი $(f_1 - f_2)$ ინტერვალში, საჭიროა იგივე ორი დაბალი სიხშირის ფილტრის მიღება და მისი საშუალებით გამოითლება ზოლური ფილტრის კოეფიციენტები შედეგი ფორმულებით:

$$a_0 = 1 - 2\Delta t(f_2 - f_1), \quad a_k = \frac{\sin(2\pi f_1 k \Delta t) + \sin(\pi k) - \sin(2\pi f_2 k \Delta t)}{\pi k}, \quad k = 1, 2, \dots, m.$$

ოთხივე ფილტრის ამპლიტუდურ – სიხშირული მახასიათებელი განისაზღვრება ჩეულებრივ, ჩვერთვის უკვე ცნობილი ფორმულით:

$$H(f) = a_0 + 2 \sum_{k=1}^m a_k \cos(2\pi fk \Delta t), \quad f = 0, 1, 2, \dots, \frac{1}{2\Delta t}.$$

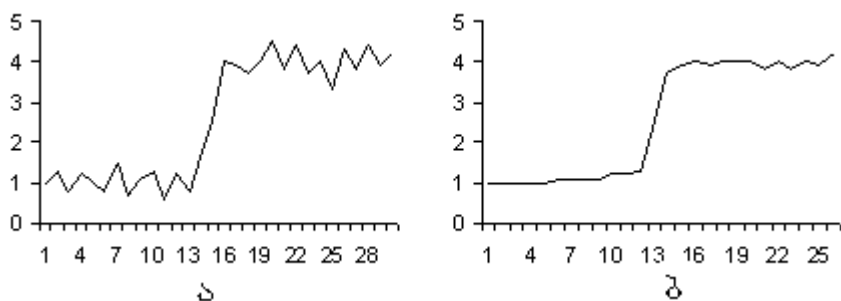
8.5 მედიანური ფილტრი

ზოგადად ხმაური შეიძლება დავყოთ ორ ტიპად სტაციონარულ და იმპულსურად, რომელთა წინადაღდება ბრძოლა განსხვავებულია. ასე მაგალითად, სტაციონარული ხმაური შეგვიძლია მნიშვნელოვნად შევამციროთ წრფივი ციფრული ფილტრებით, ხოლო იმპულსური ხმაურის მოსახსნელად უმჯობესია გამოვიყენოთ არაწრფივი ფილტრები, კერძოდ მედიანური ფილტრი.

მედიანური ფილტრი პირველად ტიუკიმ შემოგვთავაზა 1971წ სიგნალების ციფრული დამუშავებისათვის. განვიხილოთ ერთგანზომილებიანი მედიანური ფილტრი, რომელიც წარმოადგენს ე.წ. „მცოცავ ფანჯარას“ ანუ აპერტურას, სადაც ცენტრალური (შუაში მდგომი) მონაცემის სიდიდე იცვლება აპერტურის მედიანის მნიშვნელობით. მათემატიკური სტატისტიკიდან ცნობილია, რომ მედიანა არის სტრუქტურული საშუალო მნიშვნელობა, რომელიც ტოლია n განზომილებიანი რანჟირებული თანმიმდევრობის შუაში მდგომი მნიშვნელობისა, ე.ი. როცა n ლურჯია $\text{med}\{x(n)\} = 0,5[x(n/2) + x(n/2+1)]$, ხოლო როცა n კენტია, მაშინ $\text{med}\{x(n)\} = x[(n+1)/2]$, სადაც n სიდიდეს განსაზღვრავს ფილტრის აპერტურა. მაგალითად, თუ ფილტრის აპერტურა $n = 5$, მაშინ $\text{med}\{0, 2, 7, 0, 3\} = 2$.

ფილტრის გაგლუვების მეთოდებთან შედარებით მედიანურ ფილტრს, გარკვეულ კონკრეტულ შემთხვევებში, გააჩნია უპირატესობა. განვიხილოთ ასეთი ორი შემთხვევა.

1. მედიანური ფილტრაცია ინარჩუნებს საწყისი სიგნალის მკვეთრ გადასვლებს (ვარდნებს), მაშინ როცა გაგლუვების მეთოდით სიგნალი მახინჯდება. ნახ. 8.6 ნაჩვენებია საწყისი (ა) და მედიანური ფილტრით (ბ) მიღებული შედეგები.



ნახ. 8.6

როგორც ნახ. 3.6ბ-ზე ჩანს მედიანური ფილტრი ინარჩუნებს სიგნალის მკვეთრ გადასვლას.

2. მედიანური ფილტრი საკმაოდ ეფექტურია იმპულსური ხმაურის ჩასახშობად, რაც სხვა ციფრული ფილტრებისათვის თითქმის მიუღწეველია. იმპულსურ ხმაურად ითვლება მაღალი ამპლიტუდის (როგორც დადებითი ასევე უარყოფითი) და ხანმოკლე ხანგრძლიობის იმპულსები, რომლებიც ამახინჯებენ სიგნალს.

მედიანური ფილტრი ხასიათდება შემდეგი თვისებებით:

- $\text{med}\{\text{ax}(k)\} = \text{amed}\{x(k)\};$
- $\text{med}\{a_0 + x(k)\} = a_0 + \text{med}\{x(k)\},$

სადაც a და a_0 მუდმივი სიდიდეებია. აღსანიშნავია, რომ მედიანურ ფილტრს არ გააჩნია სუპერპოზიციის პრინციპი

$$\text{med}\{x_1(k) + x_2(k)\} \neq \text{med}\{x_1(k)\} + \text{med}\{x_2(k)\}$$

და მისი არაწრფიობის გამო შეუძლებელია მკაცრად განვასხვაოთ მედიანური ფილტრის ზეგავლენა სიგნალზე და ხმაურზე (წრფივი ფილტრის შემთხვევაში ასეთი ამოცანა აღვილად იხსნება).

თუ საწყისი მონაცემები თანაბრადაა განაწილებული, მაშინ მედიანას დისპერსია ტოლია:

$$\sigma_{\text{med}}^2 = \frac{3\sigma_x^2}{n+2}$$

სადაც σ_x^2 – საწყისი მონაცემების დისპერსია, n – ფარჯრის აპერტურა. თუ მონაცემები ნორმალურად არის განაწილებული, მაშინ გვექნება:

$$\sigma_{\text{med}}^2 = \frac{\left(\sigma_x^2 \frac{\pi}{2}\right)}{\left(n + \frac{\pi}{2} - 1\right)}, \quad n = 1, 3, 5, \dots$$

რადგან n განზომილებიანი ამონარჩევის საშუალო მნიშვნელობის დისპერსია ტოლია σ_x^2/n სიდიდისა, ამიტომ შეგვიძლია დავასკვნათ, რომ მედიანური ფილტრაციის ეფექტი სრიალა საშუალოს მეთოდთან შედარებით დიდი n -ის დროს დაახლოებით $(\pi/2 - 1) \approx 60\%$ დაბალია. მაგრამ თუ განვიხილავთ ორგანზომილებიან მნიშვნელობებს (მაგალითად, გამოსახულების დამუშავებისას), რომელებიც ნორმალურად არიან განაწილებულნი, მაშინ მედიანის ასიმპტოტური დისპერსია ტოლია:

$$\sigma_{\text{med}}^2 = \frac{0,5\sigma_x^2}{(n-0,5)}$$

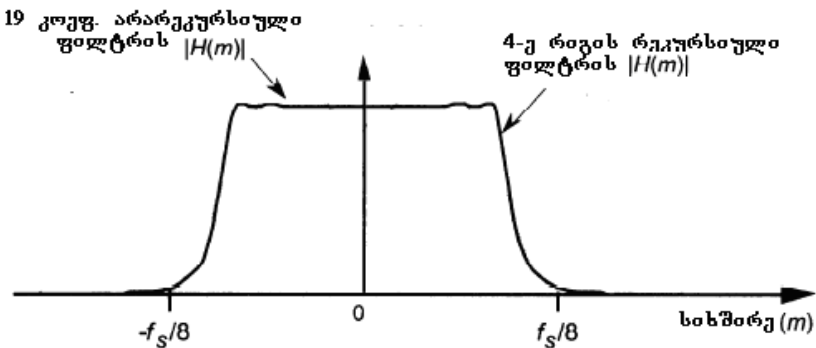
რაც დაახლოებით 50%-ით ნაკლებია, ვიდრე საშუალო არითმეტიკულის დისპერსია. ამრიგად, მედიანა წარმოადგენს საუკეთესო შეფასებას, ვიდრე საშუალო არითმეტიკული და ამასთანავე იგი ოპტიმალურია მინიმალური საშუალო კვადრატული ცდომილების კრიტერიუმით. სწორედ ამტომ არის, რომ მედიანურმა ფილტრმა განსაკუთრებული ადგილი დაიჭირა თრ და სამგანზომილებიანი გამოსახულების ფილტრაციის დროს.

ა. ყუბანეიშვილი ბიოსიგნალების ციფრული დამუშავება

9. რეკურსიული ციფრული ფილტრები

რეკურსიული ფილტრების დახმარებით შეგვიძლია უფრო ციფაბო სიხშირული მახასიათებლების რეალიზაცია ვიდრე არაკურსიული ფილტრებით. ე.ი რეკურსიული ფილტრით მიღწევა ამპლიტუდურ-სიხშირული მახასიათებლის შედარებით უფრო კარგი აპროქსიმაცია, ვიდრე არარეკურსიული ფილტრით.

იმისათვის, რომ ვაჩვენოთ რეკურსიული ფილტრის გამოყენების ეფექტი ნახ. 9.1-ზე ნაჩვენებია 19 კოეფიციენტიანი არარეკურსიული და მეოთხე რიგის რეკურსიული ფილტრების ამპლიტუდურ-სიხშირული მახასიათებლები.



ნახ. 9.1

თუ 19 კოეფიციენტიან არარეკურსიულ ფილტრს ერთი ტაქტის დროს სჭირდება 19 გამრავლების ოპერაცია, მაშინ იგივე ამპლიტუდურ-სიხშირული მახასიათებლის მისაღებად საკმარისია მეოთხე რიგის რეკურსიული ფილტრი, რომელსაც სჭირდება მხოლოდ 9 გამრავლების ოპერაცია.

ამრიგად, რეკურსიულ ფილტრებს შეუძლიათ იგივე რაოდენობის გამრავლების ოპერაციით ფილტრაციის პროცესის უკეთ ჩატარება, ვიდრე არარეკურსიულ ფილტრებს.

რეკურსიული ფილტრის გადაცემის ფუნქცია

$$H(Z) = \frac{\sum_{k=0}^{N-1} a(k)Z^{-k}}{\sum_{k=0}^{M-1} b(k)Z^{-k}}$$

შეიძლება იყოს წარმოდგენილი პოლინომების უსასრულო ჯამით ან მათი შეფარებით. რადგან რეკურსიულ ფილტრებში გვაქვს უპურავშირი, ამიტომ არასწორი შესრულებისას იგი შეიძლება იყოს არამდგრადი. გარდა ამისა, რეკურსიულ ფილტრებს არ გააჩნიათ წრფივი ფაზური მახასითებელი.

რეკურსიული ფილტრების სინთეზის დროს, როდესაც ვიყენებთ ამპლიტუდური მახასიათებლის აპროქსიმაციას, ძირითადად გამოიყენება მხოლოდ ფილტრის ამპლიტუდური მახასითებლის კვადრატი

$$|H(e^{j\omega})|^2 = |H(z)H(z^{-1})|.$$

ამ ფუნქციის პოლუსებს და ნულებს Z სიბრტყეში ერთეულოვანი წრეწილის მიმართ გააჩნიათ სიმეტრიის თვისება. მდგრადი ფილტრებისათვის $H(z)$ ფუნქციის პოლუსები განლაგებულნი არიან ერთეულოვანი წრეწილის შიგნით, ამიტომ ისინი მთლიანად განისაზღვრებან ამპლიტუდური მახასითებლის კვადრატით. უმეტეს შემთხვევაში $H(z)$ ნულებიც განლაგებულნი არიან Z

სიბრტყის ერთეულოვან წრეწირზე ან მის შიგნით. ასეთ ფილტრებს მინიმალურ – ფაზური ფილტრები ეწოდებათ.

რადგან რეპურსიული ფილტრის გადაცემის ფუნქცია ზოგად შემთხვევაში წარმოადგენს ω -ს მიმართ კომპლექსურ ფუნქციას, ამიტომ ამპლიტუდური მახასიათებლის გარდა მიზანშეწონილია მისი ფაზური მახასიათებლის განსაზღვრაც.

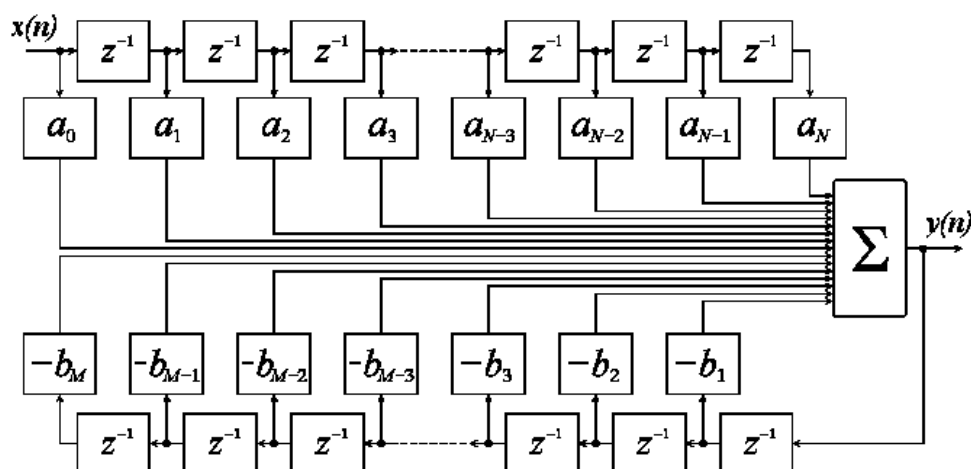
ზოგადად ფილტრის ანგარიში დაიყვანება მისი a_i და b_i კოეფიციენტების განსაზღვრაში, რომლებიც უზრუნველყოფენ ფილტრის მახასიათებლების აპროქსიმაციას.

9.1 რეპურსიული ფილტრის სტრუქტურული სქემები

რეპურსიული ფილტრი, რომელიც აღიწერება

$$y(n) = \sum_{k=0}^N a(k)x(n-k) - \sum_{k=1}^M b(k)y(n-k)$$

განტოლებით, შეიძლება წარმოვადგინოთ შემდეგი სტრუქტურული სქემით:



ნახ. 9.2

რომელსაც პირდაპირი სტრუქტურული ფორმა ეწოდება.

როგორც ნახაზიდან ჩანს, არარეპურსიული ფილტრებისაგან განსხვავებით, რეპურსიული ფილტრის რეალიზაციისათვის საჭიროა დამატებული იყოს მეორე დაყოვნების ხაზი გამოსავალი $y(n-k)$ ანათვლების დასამახსოვრებლად. რადგან გამოთვლების დროს გამოიყენება სიგნალის წინა გამოსავალი მნიშვნელობები, ამიტომ ფილტრის სტრუქტურულ სქემაში გათვალისწინებულია უკუკავშირი. სწორედ ამიტომა, რომ ასეთ ფილტრებს რეპურსიული ფილტრები ეწოდებათ.

რეპურსიული ფილტრის იმპულსური მახასიათებლის განსაზღვრა არც ისეთი ადვილია. განვიხილოთ მხოლოდ რამოდენიმე პირველი ანათვლებისათვის. ფილტრის შესასვლელზე ერთეულოვანი იმპულსისი მიწოდებისას ის მრავლდება a_0 კოეფიციენტზე და გადის ფილტრის გამოსავალზე, ე.ო. $h(0)=a_0$. შემდეგ

შემავალი ერთეულოვანი იმპულსი მოხვდება ფილტრის შემავალი დაყოვნების ხაზზე, ხოლო გამომავალი ანათვალი, რომელიც $a_0 - ის$ ტოლია – გამოსავალ დაყოვნების ხაზზე. ამის შემდეგ იმპულსური მახასიათებლის მეორე ანათვალი ფორმირდება შემდეგნაირად: $h(1) = a_1 + b_1 h(0) = a_1 + a_0 b_1$. თუ ამ პროცედურას გავაგრძელებთ, მაშინ მივიღებთ:

$$h(2) = a_2 + b_2 h(1) = a_2 + a_0 b_2 + b_1 (a_1 + a_0 b_1) = a_2 + a_1 b_1 + a_0 b_2 + a_0 b_1^2$$

ცხადია, რომ გამოსავალი დაყოვნების ხაზის ანათვლებით შევსებისას იმპულსური მახასიათლების ანალიტიკური ფორმულის გამოსახულება მკვეთრად რთულდება.

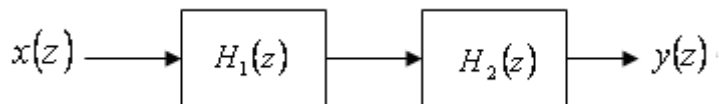
სქემაში არსებული უკუკავშირი საშუალებას იძლევა მივიღოთ უსასრულო იმპულსური მახასიათებელის ფილტრი. უსასრულო იმპულსური მახასიათებელის გამო რეკურსიული ფილტრი შეიძლება არამდგრადი იყოს.

ნახ. 9.2 სქემის უპირატესობა ისაა, რომ მისი სტრუქტურა მარტივია და უშუალოდ არის დაკავშირებული Z -გარდაქმნასთან. მაგრამ, როგორც სქემიდან ჩანს, როცა $M=N$ საჭიროა $2N$ განზომილების ტოლი მეხსიერება და იგივე რაოდენობის აჯამვის და გამრავლების ოპერაციები. გარდა ამისა, ასეთი სტრუქტურული სქემის ფილტრის მახასიათებლები მეტად მგრძნობიარენი არიან კოეფიციენტების ცდომილებების მიმართ. ამიტომ პრაქტიკაში ცდილობენ, რომ ასეთი სქემა არ გამოიყენონ.

თუ ფილტრის გადაცემ ფუნქციას წარმოვადგენთ შემდეგნაირად

$$H(Z) = \frac{Y(Z)}{X(Z)} = \left(\frac{1}{\sum_{i=0}^M b_i Z^{-i}} \right) \left(\sum_{i=0}^N a_i Z^{-i} \right) = H_1(Z) H_2(Z),$$

მაშინ მივიღებთ სხვა სტრუქტურის ციფრულ ფილტრს, რომელიც შედგება თანმიმდევრულად შეერთებული ორი ფილტრისაგან, რომელთა გადაცემის ფუნქციებია $H_1(z)$ და $H_2(z)$. პირველ ფილტრს გააჩნია მხოლოდ პოლუსები, ხოლო მეორეს – მხოლოდ ნულები. თუ $H_1(z)$ და $H_2(z)$ გადაცემ ფუნქციებს წარმოვადგენთ შემდეგნაირად



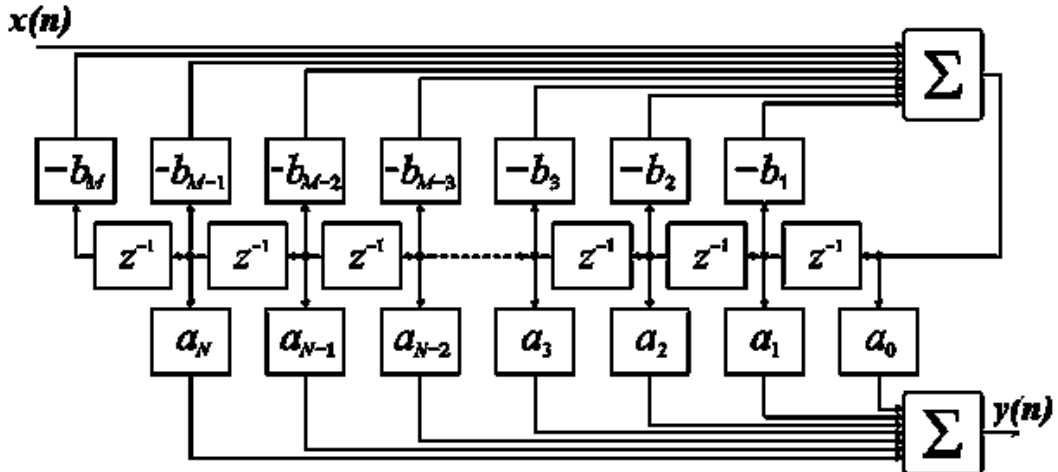
$$H_1(Z) = \frac{W(Z)}{X(Z)} = \frac{1}{\sum_{i=1}^M b_i Z^{-i}}, \quad H_2(Z) = \frac{Y(Z)}{W(Z)} = \sum_{i=0}^N a_i Z^{-i},$$

სადაც $W(Z)$ -ით აღნიშნულია პირველი ფილტრის გამოსავალი სიგნალი, მაშინ მიიღება ორი სხვაობითი განტოლება (იგულისხმება, რომ $b_0=1$).

$$W(n) = x(n) - \sum_{i=1}^M b_i W(n-i), \quad y(n) = \sum_{i=0}^N a_i W(n-i),$$

რომლებიც შეიძლება რეალიზირებული იყოს შემდეგი სტრუქტურული სქემის (ნახ. 9.3) საშუალებით, რომელსაც კანონიკურ სტრუქტურულ სქემას უწოდებენ

და მისი უპირატესობა ისაა, რომ აქ გამოიყენება აჯამვის, გამრავლების და დაყოვნების ოპერაციების მინიმალური რაოდენობა.



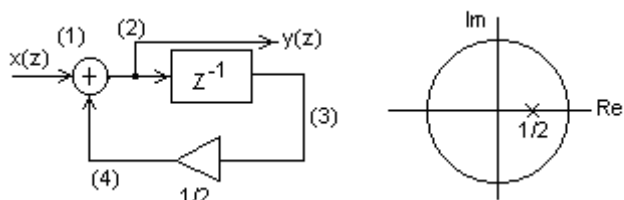
ნახ. 9.3

თეორიულად რეკურსიული ფილტრის ეს ორი სტრუქტურული სქემა ერთგაროვანია, მაგრამ პრაქტიკული რეალიზაციის დროს მხედველობაში უნდა მივიღოთ ამ სქემების მთელი რიგი თავისებურებები. ასე მაგალითად, კანონიკური ფორმის დროს, სადაც გამოიყენება ერთი დაყოვნების ხაზი, საჭიროა მეხსიერების მცირე რაოდენობა და გამოიყენება აჯამვის, გამრავლების და დაყოვნების ოპერაციების მინიმალური რაოდენობა.

არსებობს აგრეთვე რეკურსიული ფილტრების შეერთების კასკადური (მიმდევრობითი), პარალელური და შერეული ფორმის სტრუქტურული სქემები.

9.2 პირველი და მეორე რიგის რეკურსიული ფილტრები

განვიხილოთ დაბალი სიხშირის მარტივი რეკურსიული ფილტრი, რომლის სტრუქტურული სქემა წარმოდგენილია შემდეგ ნახაზზე:



გადაცემის ფუნქციის განსაზღვრისათვის ფილტრის შესასვლელს მივაწოდოთ ერთეულოვანი იმპულსი და განვიხილოთ სიგნალის თამიმდევრობა ფილტრის სხვადასხვა კვანძებში:

- (1) (1, 0, 0, 0,)
- (2) (1, 1/2, 1/4, 1/8, 1/16)
- (3) (0, 1, 1/2, 1/4, 1/8)
- (4) (0, 1/2, 1/4, 1/8, 1/16)

(2) კვანძში ანუ ფილტრის გამოსავალზე გვექნება გადაცემის ფუნქციის შემდეგი თამაში მდევრობა:

ა- ფუბანეიშვილი ბიოსიგნალების ციფრული დამუშავება

$$H(z) = 1 + \frac{1}{2}z^{-1} + \frac{1}{4}z^{-2} + \frac{1}{8}z^{-3} + \dots$$

თუ გამოვიყენებთ პროგრესიის წევრთა ჯამის თეორემას, მაშინ უსასრულო ჯამი შეგვიძლია ჩავწეროთ შემდეგნაირად:

$$H(z) = \frac{Y(z)}{X(z)} = \frac{1}{1 - \frac{1}{2}z^{-1}}$$

ასეთი გადაცემის ფუნქციის მქონდე ფილტრის სხვაობითი განტოლების განსაზღვრისათვის $H(z)$ გამოსახულება გადავწეროთ შემდეგნაირად:

$$X(z) = Y(z) - \frac{1}{2}Y(z)z^{-1}$$

$$\text{ან} \quad x(n\Delta t) = y(n\Delta t) - \frac{1}{2}y(n\Delta t - \Delta t).$$

აქედან მივიღებთ პირველი რიგის რეკურსიული ფილტრის სხვაობით განტოლებას:

$$y(n\Delta t) = x(n\Delta t) + \frac{1}{2}y(n\Delta t - \Delta t).$$

არარეკურსიული ფილტრისაგან განსხვავებით, სადაც მიმდინარე მნიშვნელობა $y(n\Delta t)$ დამოკიდებულია მხოლოდ $x(n\Delta t)$ მიმდინარე და წინა მნიშვნელობებზე, მოცემული რეკურსიული ფილტრისათვის საჭიროა ვიცოდეთ წინამორბედი გამოსავალი მნიშვნელობები $y(n\Delta t - \Delta t)$, რადგან წინამორბედი გამოსავალი მნიშვნელობები გავლენას ახდენენ მომდევნო გამოსავალ მნიშვნელობებზე, რომლებიც თავის მხირვ მოქმედებენ შემდეგ გამოსავალ მნიშვნელობებზე და ა.შ. ამიტომ გარდამავალი პროცესის შემთხვევაში, სანამ ფილტრის გამოსავალზე პროცესი არ დამყარდება, დაგვჭირდება ანათვლების მრავალი მნიშვნელობა. ყოველივე ამისაგან თავისუფალია არარეკურტიული ფილტრი, რაც მიგვანიშნებს მის ერთ-ერთ დადგებით მხარეზე.

განხილულ ფილტრს არ გააჩნია ნულები, რადგან გადაცემის ფუნქციის გამოსახულებაში მრიცხველი არა გვაქვს Z -ის შემცველი წევრებით. პოლუსების მოსაძებნად გაუტოლოთ გადაცემის ფუნქციის მნიშვნელი ნულს

$$1 - 1/2Z^{-1} = 0; \quad Z - 1/2 = 0; \quad z = 1/2$$

რადგან $|Z| < 1$, ამიტომ ფილტრი მდგრადია. თუ Z -ს შეკველით $e^{j\omega}$ მნიშვნელობით შეგვიძლია განვსაზღვროთ ამ ფილტრის აპმლიტუდურ-სიხშირული მახასიერებელი.

თუ გადაცემ ფუნქციაში $1/2$ მუდმივას შეცვლით 2-ით, მაშინ ფლტრი გამოვა არამდგრადი, რადგან $z = 2$ და იგი აღმოჩნდება ერთეულოვანი წრეწირის გარეთ.

მეორე რიგის რეკურსიული ციფრული ფილტრის გადაცემის ფუნქციას აქვს შემდეგი სახე:

$$H(z) = \frac{1 + a_1z + a_2z^2}{1 + b_1z + b_2z^2}$$

ნულები გვექნება $1/2 \left(-a_1 \pm \sqrt{(a_1^2 - 4a_2)^{1/2}} \right)$ წერტილებში, ხოლო პოლუსები $1/2 \left(b_1 \pm \sqrt{(b_1^2 - 4b_2)^{1/2}} \right)$ წერტილებში. ერთეულოვან წრეწირზე პოლუსების

$$\text{განლაგების } \theta \text{ კუთხე } \text{განისაზღვრება } \text{ფორმულით: } \theta = \frac{2\pi f_s}{f_d}, \text{ სადაც}$$

f_d სიგნალის დაქვანტის სიხშირეა, f_s ფილტრის ჩამოჭრის სიხშირეა, რომელიც წარმოადგენს დაბალსიხშირული და მაღალსიხშირული ფილტრების ზღვრულ სიხშირეს.

შემდეგ განისაზღვრება პოლუსების წრეწირის ცენტრიდან დაშორების r რადიუსი, რომელიც ამავე დროს წარმოადგენს დემფირების ფაქტორს და განისაზღვრება ფორმულით: $r = e^{-\alpha t}$. აქედან ჩანს, რომ თუ პოლუსები უახლოვდებიან ერთეულოვან წრეწირს, ფილტრის ამპლიტუდური მახასიათებლის რხევების ამპლიტუდა მატულობს ($r \rightarrow 1, a \rightarrow 0$). თუ $a \rightarrow \infty$ ე.ი. $r \rightarrow 0$, მაშინ აღგილი აქვს გადადემფირებას (დემფირების გაჯერებას). ასეთი ფილტრებისათვის კრიტიკულ დემფირებას აღგილი აქვს მხოლოდ მაში, როცა $r = 1/2$ და $\theta = \pi/8$.

ისევე როგორც სხვა დროს, ამპლიტუდურ-სიხშირული და ფაზურ-სიხშირული მახასიათებლების მისაღებად საკმარისია $z = e^{j\omega t}$ გამოსახულებით.

9.3. ბიწრფივი გარდაქმნის მეთოდი

ციფრული ფილტრების დაპროექტებას ძალიან შეუწყო ხელი ანალოგური ფილტრების არსებობამ. კერძოდ, ანალოგური ფილტრის გადაცემის ფუნქციის სპეციალური გარდაქმნის საშუალებით ვლებულობთ ციფრული ფილტრის გადაცემ ფუნქციას. ასეთ გარდაქმნას ბიწრფივი (უბან-უბან წრფივი) გარდაქმნა ეწოდება.

ბიწრფივი გარდაქმნა მდგომარეობს ანალოგური ფილტრის $H(s)$ გადაცემ ფუნქციაში s კომპლექსური ცვლადის მაგივრად

$$s = k \frac{1 - Z^{-1}}{1 + Z^{-1}} \quad (9.1)$$

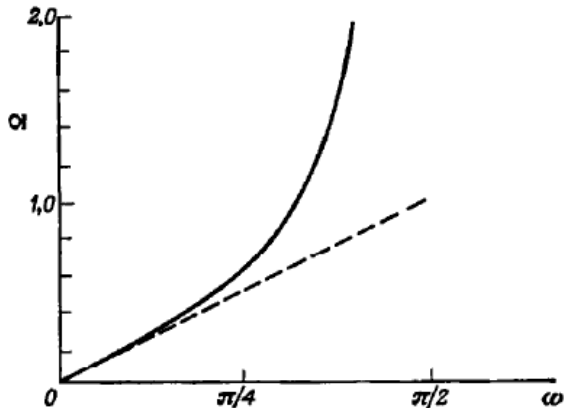
გამოსახულების პირდაპირ ჩასმაში, რომელიც იწვევს S სიბრტყის არაწრფივ გარდაქმნას Z სიბრტყეში. აქ k ნამდვილი მუდმივი სიდიდეები, რომელიც არ ცვლის გარდაქმნის ფორმას. ანალოგური ფილტრის Ω სიხშირის დერძი (9.1) გარდაიქმნის შედეგად გარდაიქმნება ერთეულოვან წრეწირად $Z^{-1} = e^{j\omega t}$ ისე რომ

$$\Omega = k \operatorname{tg} \left(\frac{\omega \Delta t}{2} \right)$$

და ამიტომ ანალოგური ფილტრის ამპლიტუდურ – სიხშირული მახასიათებლის მოკვეთის Ω_s სიხშირე შეესაბამება ციფრული ფილტრის ამპლიტუდურ-სიხშირული მახასითებლის მოკვეთის ω_s სიხშირეს. ე.ი.

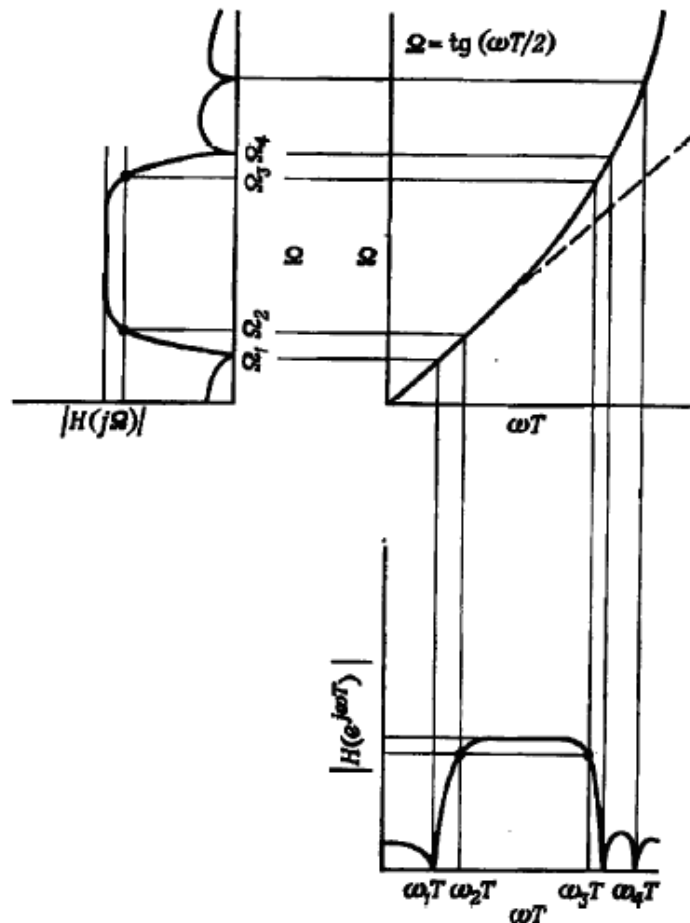
$$\Omega_s = k \operatorname{tg} \left(\frac{\omega_s \Delta t}{2} \right). \quad (9.2)$$

ამრიგად, თუ ცნობილია ორივე მოკვეთის სიხშირე, მაშინ (9.2) გამოსახულებიდან განისაზღვრება k სიდიდე. (9.2) გამოსახულების დამოკიდებულება ω -ზე, როცა $k=1$, ნაჩვენებია ნახ. 9.4-ზე



ნახ. 9.4

როგორც ნახაზიან ჩანს ω მცირე სიდიდემდე გარდაიქმნა თითქმის წრფივია, მაგრამ ω ზრდისას იგი სწრაფად გადადის არაწრფივობაში. ამიტომ ბიწრფივი გარდაქმნის გამოყენება ყოველთვის მიზანშეუწონელია. მაგრამ არსებობენ ფილტრების საკმაოდ დიდი რაოდენობა სადაც შესაძლებელია ბიწრფივი გარდაქმის გამოყენება. ასეთია დაბალი სიხშირის, მაღალი სიხშირის ზოლური და გამდობი (რეჟიმტორული) ფილტრები, სადაც შესაძლებელია არაწრფიობის კომპენსირება. ამისათვის განვიხილოთ ბიწრფივი გარდაქმნის გრაფიკული მეთოდი, რომელიც ადვილებს გარდაქმნის მექანიზმის შესწავლას.



ნახ. 9.5

თუ მოცემულია ციფრული ფილტრების მოკვეთის სიხშირეები $\omega_1, \omega_2, \omega_3$ და ω_4 , რომლებიც ნაჩვენებია ნახ. 9.5-ის ქვემოთ და გამოვიყენებთ (9.2) არაწრფივ გარდაქმნას, მაშინ მივიღებთ ანალოგური ფილტრის შესაბამის $\Omega_1, \Omega_2, \Omega_3$ და Ω_4 სიხშირეებს, რომლებიც ნაჩვენებია ნახაზის ზედა ნაწილში. ამის შემდეგ უნდა მოვახდინოთ ანალოგური ფილტრის ანგარიში ისე, რომ ყველა სიხშირეები დაემთხვეს ციფრული ფილტრის სიხშირეებს. ასეთი ანალოგური ფილტრის ამპლიტუდური მახასიათებელი ნაჩვენებია ნახ. 9.5 ზემოდ მარცხნივ. ეხლა თუ მოვახდენთ ასეთი ფილტრის ბიწრფივ გარდაქმნას, მაშინ მივიღებთ ციფრულ ფილტრს, რომლის ყველა მოკვეთის სიხშირეები დაემთხვევიან მოცემულ სიხშირეებს.

ამრიგად, ბიწრფივი გარდაქმნა უზრუნველყოფს ანალოგურ და ციფრულ ფილტრებს შორის მარტივ ასახავს და წარმოადგენს ალგებრულ გარდაქმნას, რომლის დროსაც $j\Omega$ დერძი მთლიანად აისახება Z სიბრტყის ერთეულოვან წრეწირზე. გარდა ამისა, მას გააჩნია თვისება, რომლის თანახმად ფიზიკურად რეალიზებადი მდგრადი ანალოგური ფილტრი გარდაიქმნება ასევე მდგრად ციფრულ ფილტრად.

ნორმალიზებული დაბალი სიხშირის ანალოგურ ფილტრისათვის, როცა $\Omega_s = 1$, გვექნება:

$$k = \operatorname{ctg} \left(\frac{\omega_s \Delta t}{2} \right)$$

ა. ყუბანეიშვილი ბიოსიგნალების ციფრული დამუშავება

და (9.2) გარდაქმნა მიიღებს შემდეგ სახეს:

$$s = \Omega_s \operatorname{ctg} \left(\frac{\omega_s \Delta t}{2} \right) \frac{1 - Z^{-1}}{1 + Z^{-1}}, \quad (9.3)$$

ხოლო, როცა $\Omega_s = 1$ გვექნება:

$$s = \operatorname{ctg} \left(\frac{\omega_s \Delta t}{2} \right) \frac{1 - Z^{-1}}{1 + Z^{-1}}$$

ამრიგად (9.3) გარდაქმნა გვაძლევს საშუალებას გამოვთვალოთ დაბალი სიხშირის ციფრულ ფილტრი მოცემული ω_s მოკვეთის სიხშირით, შესაბამისი ანალოგური ფილტრის მონაცემებით.

მაგალითისათვის განვიხილოთ ბატერვორტის დაბალი სიხშირის ანალოგური ფილტრი რომლის გადაცემის ფუნქციაა:

$$|H(\Omega)|^2 = \frac{1}{\left(\frac{\Omega}{\Omega_s} \right)^{2n}}, \quad n = 1, 2, 3, \dots,$$

სადაც Ω_s მოკვეთის სიხშირეა, რომელიც $1/\sqrt{2}$ სიდიდის ტოლია (ლოგარითმულ მასშტაბში – 3 დბ), n – ფილტრის რიგია. ასეთი ფილტრის სიხშირული მახასიათებელი მონოტონური ფუნქციაა. როცა n კენტია მას პოლუსები გააჩნია 0 და π კუთხეების დროს, როცა n ლუწია, მაშინ პოლუსებს გააჩნიათ $\frac{\pi}{2}n$ კუთხე. თუ განვიხილავთ ნორმირებულ ფილტრს როცა $\Omega_s = 1$,

მაშინ $|H(\Omega)|^2 = \frac{1}{1 + (-\Omega^2)^n}$, ხოლო ლაპლასის გარდაქმნის გამოყენებისას გვექნება:

$$|H(s)|^2 = \frac{1}{1 + (-s^2)^n}. \quad (9.4)$$

ბატერვორტის დაბალი სიხშირის ფილტრს გააჩნია შემდეგი თვისებები:

1. ბატერვორტის ფილტრებს გააჩნიათ მხოლოდ პოლუსები (გადაცემის ფუნქციის ნულები მოთავსებულია უსასრულობაში);

2. $\Omega = 1$ სიხშირის დროს ფილტრის გადაცემის ფუნქციის მნიშვნელობა $1/\sqrt{2}$ სიდიდის ტოლია (ე.ი. მოკვეთის სიხშირეზე ფილტრის ამპლიტუდური მახასიათებელი ეცემა 3 დბ სიდიდით);

3. ფილტრის n რიგი მთლიანად განსაზღვრავს ფილტრს. (9.4) გამოსახულების ბირჟფივი გარდაქმნის გამოყენებით მივიღებთ:

$$|H(z)|^2 = \frac{1}{1 + \left[- \left(k \frac{1 - Z^{-1}}{1 + Z^{-1}} \right)^2 \right]^n}.$$

თუ ჩავსვამთ $Z^{-1} = e^{-j\omega}$ მივიღებთ:

$$|H(e^{j\omega})|^2 = \frac{1}{1 + \left[k^2 \operatorname{tg}^2 \left(\frac{\omega}{2} \right) \right]^n} \quad (9.5)$$

ა. ფუბანეიშვილი ბიოსიგნალების ციფრული დამუშავება

სადაც k მუდმივა მოიძებნება შემდეგი პირობების გათვალისწინებით: როცა $\omega = \omega_s$ ამპლიტუდურ-სიხშირული მახასითებლის ამპლიტუდა უნდა იყოს $1/\sqrt{2}$ სიდიდის ტოლი. ე.ი.

$$k^2 \operatorname{tg}^2\left(\frac{\omega_s}{2}\right) = 1. \quad \text{აქედან} \quad k^2 = \frac{1}{\operatorname{tg}^2\left(\frac{\omega_s}{2}\right)}.$$

თუ ამ გამოსახულებას ჩავსვამო (9.5) გამოსახულებაში მივიღებთ:

$$\left|H(e^{j\omega})\right|^2 = \frac{1}{1 + \left[\left(\frac{\operatorname{tg}(\omega/2)}{\operatorname{tg}(\omega_s/2)}\right)\right]^{2n}}.$$

ე.ი მივიღებთ ბატერგორტის დაბალი სიხშირის ფილტრის ამპლიტუდურ-სიხშირული მახასითებლის კვადრატის ზოგადი სახე.

ანალოგიურად შეგვიძლია მივიღოთ ჩებიშევის დაბალი სიხშირის ფილტრის ამპლიტუდურ-სიხშირული მახასითებლის კვადრატის მნიშვნელობა.

$$\left|H(e^{j\omega})\right|^2 = \frac{1}{1 + \varepsilon^2 T_n^2 \left[\left(\frac{\operatorname{tg}(\omega/2)}{\operatorname{tg}(\omega_s/2)}\right)\right]}.$$

თუ გვინდა მაღალი სიხშირის ზოლური და გადამდობი ციფრული ფილტრების სინთეზი, საჭიროა მოვახდინოთ ნორმალიზებული დაბალი სიხშირის ანალოგური ფილტრის გარდაქმნა. მაგალითად, თუ გვინდა მაღალი სიხშირის ციფრული ფილტრის სინთეზი საჭიროა დაბალი სიხშირის ანალოგური ფილტრის გადაცემ ფუნქციაში s შეცვალოთ $(1+Z^{-1})/(1-Z^{-1})$ სიდიდი და მივიღებთ მაღალი სიხშირის ციფრულ ფილტრს.

ამრიგად, ბიწრფივი Z გარდაქმნიას გააჩნია ორი უპირატესობა

1. ანალოგური ფილტრის ამპლიტუდურ-სიხშირული მახასიათებელი გადადის ციფრული ფილტრის მახასიათებელში სიხშირული სკალის დეფორმაციის გათვალისწინებით.

2. რადგან ბიწრფივი გარდაქმნა წარმოადგენს ალგებრულს, ამიტომ მისი გამოყენება შესაძლებელია როგორც რაციონალური, ასევე პოლინომიალური და ნამრავლის ფორმის გადაცემის ფუნქციებისათვის.

ბიწრფივი გარდაქმნის გარდა რეკურსიული ფილტრების პროექტირება შესაძლებელია გარდაქმნების ცსრილის დახმარებით, სადაც შესაბამისი დროითი ფუნქციებისათვის მოცემულია ლაპლასის და Z - გარდაქმნები.

9.3 ციფრული ფილტრების პირდაპირი სინთეზი

ციფრული ფილტრების პირდაპირი სინთეზის ამოცანა შეიძლება დაგენერიროვანი ეტაპად:

1. დაბალი სიხშირის ციფრული ფილტრის პირდაპირი სინთეზი;
2. დაბალი სიხშირის ციფრული ფილტრის გადაცემის ფუნქციით მაღალი სიხშირის, ზოლური და გადამდობი ფილტრების სინთეზი.

ა. ყუბანეიშვილი ბიოსიგნალების ციფრული დამუშავება

ასეთი სახით დაყოფა მნიშვნელოვნად აადვილებს რეკურსიული ფილტრების სინთეზს, რადგან თუ დაბალი სიხშირის ფილტრის გადაცემის ფუნქციით მიიღება მაღალი სიხშირის, ზოლური და გადამდობი ფილტრები, მაშინ საკმარისია განვიხილოთ მხოლოდ დაბალი სიხშირის ფილტრის სინთეზის ამოცანა.

როგორც ვიცით, დაბალი სიხშირის იდალური ფილტრის ამპლიტუდურ მახასიათებელს გააჩნია მართკუთხედის ფორმა. აქედან გამომდინარე, სინთეზის ამოცანაა მოიძებნოს ისეთი ფუნქცია, რომელიც მოახდენს ამპლიტუდური მახასიათებლის იდეალურ აპროქსიმაციას.

ციფრული ფილტრის სინთეზის პირველი ნაბიჯი მდგომარეობს იმაში, რომ ვაჩვენოთ მოცემული ფილტრის ამპლიტუდური მახასიათებლით როგორ ავაგოთ ფილტრის გადაცემის ფუნქცია. როგორც ვიცით, რეკურსიული ფილტრის გადაცემ ფუნქციას აქვს შემდეგი სახე:

$$H(z) = \frac{\sum_{k=0}^{N-1} a(k)z^{-k}}{\sum_{k=0}^{M-1} b(k)z^{-k}}$$

ამპლიტუდური მახასიათებლის კვადრატი ადვილად მოიძებნება შემდეგი გამოსახულებიდან:

$$\begin{aligned} |H(e^{j\omega\Delta t})|^2 &= H(z)H(z^{-1}) = \frac{\sum_{i=0}^{N-1} a_i e^{-j\omega\Delta t} \sum_{k=0}^{N-1} a_k e^{j\omega\Delta t k}}{\sum_{i=0}^{M-1} b_i e^{-j\omega\Delta t i} \sum_{k=0}^{M-1} b_k e^{j\omega\Delta t k}} \\ \text{ან} \quad |H(e^{j\omega\Delta t})|^2 &= \frac{\sum_{i=0}^{N-1} c_i \cos(\omega\Delta t i)}{\sum_{i=0}^{M-1} d_i \cos(\omega\Delta t i)} \end{aligned} \quad (9.6)$$

c_i და d_i კოეფიციენტები დაკავშირებულნი არიან a_i და b_i კოეფიციენტებთან.

(9.6) გამოსახულება შეიძლება ასე ჩაგრეროთ:

$$|H(e^{j\omega\Delta t})|^2 = \frac{\sum_{i=0}^{N-1} e_i \cos^2(\omega\Delta t i / 2)}{\sum_{i=0}^{M-1} f_i \cos^2(\omega\Delta t i / 2)} \quad (9.7)$$

ამრიგად, ამპლიტუდური მახასიათებლის კვადრატი ყოველთვის შეიძლება წარმოვადგინოთ როგორც ორი ტრიგონომეტრიული ფუნქციის ფარდობა. ხშირად (9.7) გამოსახულებას ასე წარმოადგენებ:

$$|H(\omega\Delta t)|^2 = \frac{\sum_{i=0}^{N-1} \alpha_i \operatorname{tg}^{2i}(\omega\Delta t / 2)}{\sum_{i=0}^{M-1} \beta_i \operatorname{tg}^{2i}(\omega\Delta t / 2)}, \quad (9.8)$$

სადაც α_i და β_i ნამდვილი მუდმივი კოეფიციენტებია. (9.8) გამოსახულება ზოგადი სახით შეიძლება ასე ჩაიწეროს:

$$|H(\omega\Delta t)|^2 = \frac{1}{1 + \varepsilon^2 P^2(\omega)} , \quad (9.9)$$

სადაც ε - ნამდვილი მუდმივი სიდიდეა, რომელიც ასახავს ფილტრის პულსაციას გამშვენ ზოლში. $P^2(\omega)$ წარმოადგენს $\operatorname{tg}^2(\omega\Delta t/2)$ გამოსახულების ნამდვილ რაციონალურ ფუნქციას. ამრიგად (9.9) გამოსახულებაში $P^2(\omega)$ ზოგადი სახით შეიძლება ასე წარმოვადგინოთ:

$$P^2(\omega) = \sum_{k=0}^N a_k \operatorname{tg}^{2k} \left(\frac{\omega\Delta t}{2} \right)$$

და მაშინ (9.4) გამოსახულება შეიძლება ჩაიწეროს გამარტივებული სახით:

$$|H(\omega\Delta t)|^2 = \frac{1}{1 + P_n^2(\omega)}$$

სადაც $P_n^2(\omega)$ წარმოადგენს n რიგის რაციონალური ტრიგონომეტრიული ფუნქციის პოლინორმს. $P_n^2(\omega)$ ფუნქციის შერჩევით ვლებულობთ ციფრული ფილტრის სხვადასხვა ტიპს, მაგალითად, ბატერვორტის ფილტრისათვის გვექნება:

$$P_n^2(\omega) = \frac{\operatorname{tg}^{2n}(\omega\Delta t/2)}{\operatorname{tg}^{2n}(\omega_s\Delta t/2)} ,$$

ხოლო ჩებიშევის ფილტრისათვის გვექნება: $P_n^2(\omega) = \varepsilon^2 T_n^2 \left[\frac{\operatorname{tg}(\omega\Delta t/2)}{\operatorname{tg}(\omega_s\Delta t/2)} \right]$,

სადაც $T_n(x)$ n რიგის ჩებიშევის პოლინომია. ფილტრის იდეალური მახასიათებლის აპროქსიმაციის სიზუსტე დამოკიდებულია პოლინომის რიგზე და რაც უფრო მეტია მისი სიდიდე მით უკეთ ხდება ფილტრის მასახიათებლის აპროქსიმაცია.

9.4 ბატერვორტის ციფრული ფილტრები

ღოგორც ცნობილია, იდეალური დაბალი სიხშირის ფილტრის გადაცემის ფუნქციის აპროქსიმაციისათვის საჭიროა მაღალი რიგის პოლინომი. ერთ-ერთ ასეთ სასარგებლო აპროქსიმაციას იძლევა დაბალი სიხშირის ბატერვორტის სინუსოიდალური ფილტრი, რომლის გადაცემის ფუნქციის მოდულის კვადრატი ტოლია:

$$|H(\omega\Delta t)|^2 = \frac{1}{1 + \left[\frac{\sin(\omega\Delta t/2)}{\sin(\omega_s\Delta t/2)} \right]^{2n}} \quad (9.10)$$

და იგი აკმაყოფილებს შემდეგ პირობებს:

$$|H(0)|^2 = 1; \quad |H(\omega_s)|^2 = 1/2; \quad |H(\pi/\Delta t)|^2 = 0. \quad (9.11)$$

რაც უფრო დიდია n მნიშვნელობა, მით უფრო ზუსტია აპროქსიმაცია ე.ი უფრო უახლოვდება იდეალური ფილტრის მახასიათებელს. ფილტრს არ გააჩნია ნულები, ხოლო პოლუსების რაოდენობა n -ის ტოლია და მათი განსაზღვრისათვის საჭიროა ამოიხსნას შემდეგი განტოლება:

ა. ყუბანევიშვილი ბიოსიგნალების ციფრული დამუშავება

$$1 + [\sin(\omega \Delta t / 2) / \sin(\omega_s \Delta t / 2)]^{2n} = 0 .$$

გარდა (9.10) გამოსახულებისა პრაქტიკაში ფართოდ გამოყენება ბატერვორტის დაბალი სიხშირის ტანგენსური ფილტრი, რომლის გადაცემის ფუნქციის ამპლიტუდური მახასიათებლის კვადრატს აქვს შემდეგი სახე:

$$|H(\omega \Delta t)|^2 = \frac{1}{1 + \left[\frac{\operatorname{tg}(\omega \Delta t / 2)}{\operatorname{tg}(\omega_s \Delta t / 2)} \right]^{2n}} .$$

ამ გამოსახულებისთვისაც ჭეშმარიტია (9.11) პირობები. $\sin(\omega \Delta t / 2)$ და $\operatorname{tg}(\omega \Delta t / 2)$ ფუნქციების გამოყენება იმითაა გამართლებული, რომ ორივე ეს ფუნქცია თითქმის ისევე იცვლება $\omega \Delta t / 2$ სიდიდე $[0; \omega]$ ინტერვალში.

გარდა ამისა ტანგენსური ფილტრის მახასიათებლები ფილტრის დაყოვნების ზოლში უფრო უკეთესია, ვიდრე სინუსური ფილტრისა, კერძოდ, გადაცემის ფუნქცია გაცილებით დაბალია ვიდრე სინუსური ფილტრის გადაცემის ფუნქცია.

ციფრული ფილტრის სინთეზისათვის მოცემული ამპლიტუდური მახასიათებლით საჭიროა განისაზღვროს პოლუსების განლაგება Z^{-1} სიბრუნვე. ბატერვორტის დაბალი სიხშირის ტანგენსური ფილტრის პოლუსების კოორდინატები განისაზღვრებიან შემდეგი ფორმულით:

$$x_k = \frac{1 - \operatorname{tg}^2(\omega_s \Delta t / 2)}{1 - 2\operatorname{tg}(\omega_s \Delta t / 2)\cos((2k+1)/2n)\pi + \operatorname{tg}^2(\omega_s \Delta t / 2)} ,$$

$$y_k = \frac{2\operatorname{tg}(\omega_s \Delta t / 2)\sin((2k+1)/2n)\pi}{1 - 2\operatorname{tg}(\omega_s \Delta t / 2)\cos((2k+1)/2n)\pi + \operatorname{tg}^2(\omega_s \Delta t / 2)} \quad k = 0, 1, 2, \dots, (2n-1) .$$

ეს გამოსახულება სამართლიანია როცა n ლუწია. თუ n კენტია, მაშინ $(2k+1)/2n$ სიდიდე უნდა შეიცვალოს k/n სიდიდით და მხედველობაში უნდა მივიღოთ, რომ k ლებულობს $0, 1, 2, \dots, (n-1)$ მნიშვლელებებს.

ბატერვორტის მაღალი სიხშირის ფილტრის გადაცემ ფუნქციას აქვს შემდეგი სახე:

$$|H(\omega \Delta t)|^2 = \frac{1}{1 + \left[\frac{\sin(\omega \Delta t / 2 + \pi/2)}{\sin(\omega_s \Delta t / 2)} \right]^{2n}}$$

ან

$$|H(\omega \Delta t)|^2 = \frac{1}{1 + \left[\frac{\operatorname{ctg}(\omega \Delta t / 2)}{\operatorname{tg}(\omega_s \Delta t / 2)} \right]^{2n}} .$$

ზოლური ფილტრისათვის გვექნება:

$$|H(\omega \Delta t)|^2 = \frac{1}{1 + \left[\frac{\cos(\omega \Delta t) - c}{s} \right]^n} ,$$

სადაც $c = \cos(\omega_s \Delta t) \cos(\omega_s \Delta t / 2)$; $s = \sin(\omega_s \Delta t) \sin(\omega_s \Delta t / 2)$,
ან

$$|H(\omega\Delta t)|^2 = 1 - \frac{1}{1 + \left[\frac{\cos(\omega\Delta t) - D}{E \sin(\omega\Delta t)} \right]^n} = \frac{\left[\frac{\cos(\omega\Delta t) - c}{s} \right]^n}{\left[1 + \left(\frac{\cos(\omega\Delta t) - c}{s} \right)^n \right]} ,$$

სადაც

$$D = \frac{\cos(\omega_s \Delta t)}{\cos(\omega_s \Delta t / 2)}; \quad E = \operatorname{tg}(\omega_s \Delta t / 2) ,$$

ხოლო გადამდობი ფილტრისათვის გვექნება:

$$|H(\omega\Delta t)|^2 = 1 - \frac{1}{1 + \left[\frac{\cos(\omega\Delta t) - c}{s} \right]^n} = \frac{\left[\frac{\cos(\omega\Delta t) - c}{s} \right]^n}{\left[1 + \left(\frac{\cos(\omega\Delta t) - c}{s} \right)^n \right]}$$

ას

$$|H(\omega\Delta t)|^2 = \frac{[\cos(\omega\Delta t) - D]^n}{[E \sin(\omega\Delta t)]^n + [\cos(\omega\Delta t) - D]^n}$$

სადაც c, s, D, E იგივე სიდიდეებია რაც ზოლური ფილტრის დროს.

ამრიგად ფილტრის სინთეზი მდგომარეობს შემდეგი ეტაპების შესრულებაში:

1. მოცემული მახასიათებლით განისაზღვროს ფილტრის რიგი;
2. მოიძებნოს ნულების მდებარეობა Z^{-1} სიბრტყეზე და ამოირჩიოს ის წყვილები, რომლებიც მოხვდებიან ერთეულოვანი წრეწირის შიგნით;
3. მოცემული პოლუსების საშუალებით ფორმირდება ციფრული ფილტრის გადაცემის ფუნქცია.

10. დაზვანების ეფექტი ციფრულ სისტემებში

აქამდე განხილულ მასალაში იგულისხმებოდა, რომ დისკრეტული სიგნალების ანათვლები და ციფრული ფილტრების კოეფიციენტები წარმოდგენილნი იყვნენ ზუსტად, ცდომილების გარეშე. აქედან გამომდინარე, ფაქტიურად ჩვენ ვიხილავდით მხოლოდ დისკრეტულ ანათვლებს და არა ციფრულს.

საზოგადოდ, სიგნალის ანათვლების და გამოთვლის შედეგად მიღებული შედეგების წარმოსადგენად გამოიყენება მეხსიერების ელემენტები (რეგისტრები, მეხსიერების უჯრედები), რომელთაც გააჩნიათ თანრიგების სასრულო რაოდენობა. ეფექტები, რომლებიც გამოწვეული არიან რიცხვების სასრულო რაოდენობის თანრიგებში წარმოდგენით, შეიძლება დავუოთ შემდეგ კატეგორიებად:

- აცბ გამოწვეული დაქვანტის ცდომილება (ანუ ხმაური);
- ციფრული ფილტრის კოეფიციენტების დაქვანტვით გამოწვეული ფილტრის მახასიათებლების დამახინჯება;
- გამოთვლით პროცესებში თანრიგების გადავსება;

ა. ყუბანეიშვილი ბიოსიგნალების ციფრული დამუშავება

– შეალედური გამოთვლილი მნიშვნელობების დამრგვალება.
ყოველივე აქედან გამომდინარე, გამოთვლით მიღებული შედეგები
წარმოდგენილი იქნებიან შეზღუდული სიზუსტით.

10.1 რიცხვების წარმოდგენის ფორმები

სიგნალების ციფრული დამუშავებისას ანათვლების კომპიუტერში წარმოსადგენად ძირითადად გამოიყენება ორი: ფიქსირებული და მცოცავი მძიმის ფორმატები.

ფიქსირებული მძიმის ფორმატი. ამ შემთხვევაში ორობითი რიცხვის მთელ და წილად ნაწილებისათვის გამოყოფილია თანრიგების ფიქსირებული რაოდენობა. სხვა სიტყვებით, რიცხვის ორობით სისტემაში წარმოდგენისას მძიმე, რომელიც გამოყოფს რიცხვის მთელ და წილად ნაწილს, რეგისტრში ფიქსირდება მისი აღგილდებარეობა. ხშირად ფიქსირებული მძიმის ფორმატს აღნიშნავენ ორი მთელი რიცხვით: $M.N$, სადაც M -ით აღნიშნულია რიცხვის მთელი ნაწილის (ნიშნის ჩათვლით) თანრიგების რაოდენობა, ხოლო N – წილადი ნაწილის თანრიგების რაოდენობა. მთელი ნაწილის უფროსი თანრიგი გამოიყენება ნიშნისათვის.

ფიქსირებული მძიმის ფორმატის დადებით თვისებას წარმოადგენს რიცხვების თანაბარი დაქვანტვა და არითმეტიკული ოპერაციების რეალიზების სიმარტივე. მთავარ ნაკლას წარმოადგენს დინამიური დიაპაზონის შეზღუდვა. დინამიური დიაპაზონი ეწოდება რიცხვის უველაზე დიდი მნიშვნელობის ყველაზე მცირე მნიშვნელობასთან (ნული არ ითვლება) ფარდობის მოდულს. ფიქსირებული მძიმის ფორმატისათვის დინამიური დიაპაზონი $2^{n-1} - 1$ -ს ტოლია.

მცოცავი მძიმის ფორმატი. მცოცავი მძიმის ფორმატში (ზოგჯერ მას ექსპონენციალურ ფორმატსაც უწოდებენ) A რიცხვი შეიძლება წარმოვადგინოთ შემდეგნაირად: $A = m \cdot q^n$, სადაც m – მანტისაა, q – თვლის სისტემის ფუძე, n – რიგი. ჩვეულებრივ მანტისა წარმოდგენილია ფიქსირებული მძიმის ფორმატით, ხოლო რიგი წარმოადგენს მთელ რიცხვს თავისი ნიშნით. რაღაც ექსპონენციალურ ფორმატში წარმოდგენის დროს რიცხვის ჩანაწერში არსებობს ორი პარამეტრი, ამიტომ ასეთი წარმოდგენა იწვევს არაერთგვაროვნებას. მოვიყვანოთ მარტივი მაგალითი. რიცხვი 2 შეიძლება ასე წარმოვადგინოთ:

$$2 = 2 \cdot 2^0 = 1 \cdot 2^1 = \frac{1}{2} \cdot 2^2 = \frac{1}{4} \cdot 2^3 = \dots$$

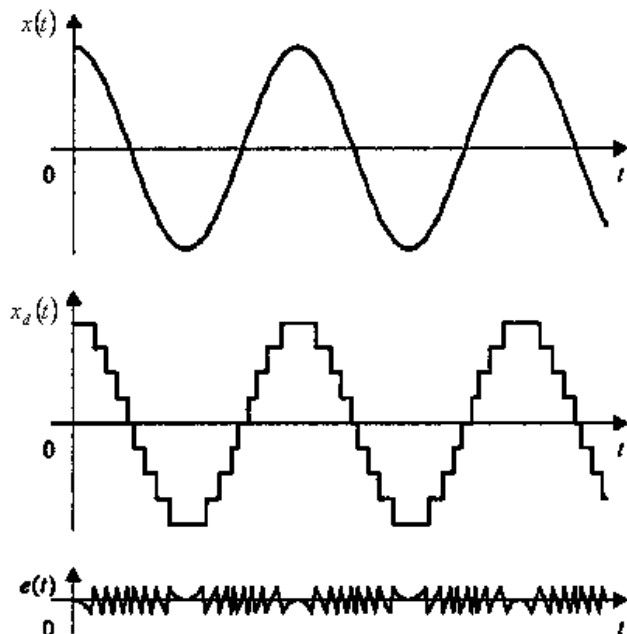
არაერთგვაროვნების აღმოსაფხვრელად მიღებულია მანტისის დიაპაზონის შეზღუდვა, მაგალითად ასე : $0,5 \leq m \leq 1$ ან $1 \leq m < 2$. (ეს უკანასკნელი უფრო გამოიყენება).

პრაქტიკაში გამოიყენება რიცხვების წარმოდგენის ნორმალიზირებული ფორმა, სადაც მანტისის მთელი ნაწილი ნულის ტოლია, ხოლო წილადი ნაწილის პირველი სარწმუნო ციფრი განსხვავდება ნულისაგან. მაგალითად, მოცემული $A_{(10)} = 5,125$ რიცხვი შეიძლება ასე ჩაიწეროს $A_{(10)} = 0,5125 \cdot 10^1$. ორობით თვლის სისტემაში გვექნება : $A_{(2)} = 101,001$, ხოლო ნორმალიზებულ ფორმატი : $A_{(2)} = 0,101001 \cdot 2^{11}$.

10.2 ანალოგურ-ციფრული გარდაქმნელით გამოწვეული დაქვანტვის ცდომილება

ციფრულ სისტემებში აცბ საშუალებით ხდება შემავალი ანალოგური სიგნალის დისკრეტიზაცია და დაქვანტვა. ამ დროს წარმოქმნილი შემავალი სიგნალის დაქვანტვის ცდომილებას $e(n)$ ეწოდება აცბ ხმაური. ზოგადად დაქვანტვის პროცესი არაწრფივია, მაგრამ შემავალი სიგნალის არაწრფივი დაქვანტვის პროცესის მიახლოებითი ანალიზისათვის გამოიყენება წრფივი დაქვანტვის პროცესი.

დაქვანტვის პროცესი. გავიხსენოთ, რომ დაქვანტვა ეწოდება სიგნალის ანათვლების ორობითი თვლის რიცხვებში გარდაქმნის პროცესს. ორობითი თვლის სისტემაში წარმოდგენილ რიცხვებს გააჩნიათ შეზღუდული თანრიგების რაოდენობა, რაც თავის მხრივ იწვევს ეწ. დაქვანტვის ცდომილების წარმოქმნას, რომელიც გამოწვეულია შედეგების დამრგვალებით. ნახ. 10.1 წარმოდგენილია პარმონიული $x(t)$ სიგნალის დაქვანტის პროცესი, დაქვანტვის შედეგი $x_d(t)$ და დაქვანტვის შედეგად წარმოქმნილი $e(t) = x(t) - x_d(t)$ ცდომილება.



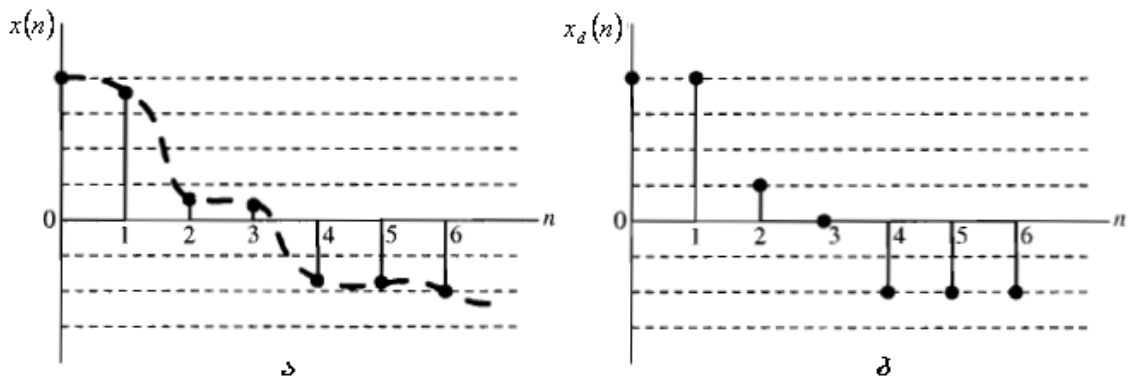
ნახ. 10.1

ცხადია, რომ დაქვანტვის ცდომილების სიდიდე იცვლება შემდეგ დიაპაზონში:

$$-\frac{\Delta}{2} \leq e(t) \leq \frac{\Delta}{2},$$

სადაც Δ – მეზობელ დაქვანტვის დონეებს შორის მანძილი (ანუ ბიჯი). ჩავთვალოთ, რომ დაქვანტვის ბიჯი მუდმივი სიდიდეა, ე.ი. $\Delta = \text{Const}$. დაქვანტვის ბიჯი განისაზღვრება უმცირესი ნიშნადი თანრიგის წონით: $\Delta = 2^{-b}$.

დაქვანტვის თვალსაჩინო მაგალითი ნაჩვენებია ნახ.



ნახ. 10.2

ნახ. 10.2ა წყვეტილი ხაზით ნაჩვენებია ანალოგური სიგნალი, საიდანაც მიიღება დისკრეტული თანმიმდევრული ანათვლები. ანალოგურ სიგნალზე დისკრეტული ანათვლები აღნიშნულია წერტილების სახით. ნახ. 10.2ბ გამოსახულია დაქვანტული სიგნალი, რომლის მნიშვნელობები დაქვანტვის დონეზეა განლაგებული.

მაგალითისათვის განვიხილოთ პარმონიული დაქვანტვული სიგნალის ფარდობა ხმაუროან SNR (signal-to-noise ratio). თუ პარმონიული სიგნალის A ამპლიტუდას შევაფარდებთ დაქვანტვის ცდომილების საშუალო კვადრატულ გადახრასთან, მაშინ გვექნება:

$$SNR = \frac{A}{\sqrt{\Delta^2/12}} = \frac{2A\sqrt{3}}{\Delta} = N\sqrt{3}, \text{ სადაც } N = \frac{2A}{\Delta} - \text{ დაქვანტვის დონის რაოდენობა.}$$

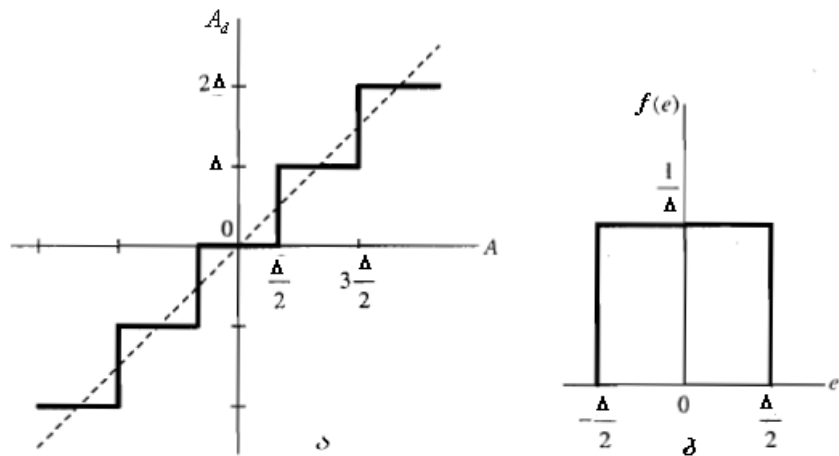
აცდ, რომელსაც გააჩნია q რაოდენობის ორობითი თანრიგი, უზრუნველყოფს $N = 2^q$ დაქვანტვის დონეს. თუ სიგნალის ცვალებადობა შეესაბამება აცდ მუშა დიაპაზონს, მაშინ $SNR = 2^q\sqrt{3}$. თუ ამ სიდიდეს გამოვსახავთ დბ-ში, მაშინ მივიღებთ მარტივ ფორმულას, რომელიც გვიჩვენებს კავშირს ორობით თანრიგებსა და ამ შემთხვევაში SNR მაქსიმალურ მნიშვნელობას შორის:

$$SNR = 20\lg(2^q\sqrt{3}) = 20q\lg 2 + 10\lg 3 \approx 6q + 4,77 \text{ დბ.}$$

დაქვანტვის ცდომილება. დაქვანტვა შეიძლება ორი მეთოდით: დამრგვალებით და ჩამოჭრით. დამრგვალების დროს საწყისი k თანრიგიანი რიცხვი ($k > b$) შეიცვლება უახლოესი b თანრიგიანი რიცხვით. დაქვანტვის ცდომილება დამრგვალების დროს ტოლია:

$$\max_n |\Delta(n)| = \frac{\Delta}{2} = 2^{-b-1} \quad (10.1)$$

ნახ. 10.3ა წარმოდგენილია დაქვანტვის პროცედურა.



ნახ/ 10.3

როგორც ნახ. 10.3ა ჩანს, თუ A რიცხვის მოდული ნაკლებია $\Delta/2$ - ზე, მაშინ ის შეესაბამება $A_d = 0$. რიცხვები, რომლებიც მოთავსებულნი არიან $[\Delta/2; 3\Delta/2]$ ინტერვალში, მაშინ $A_d = \Delta$ და ა.შ.

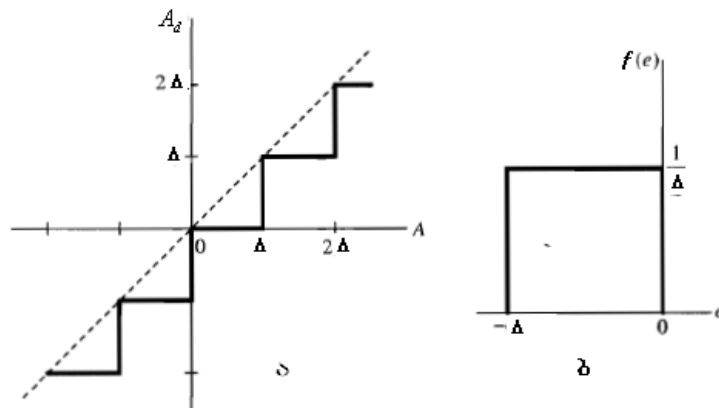
ზოგადად ხდება შემდეგი დაშვება. კერძოდ, ყველა შესაძლო ცდომილება (0.1) დიაპაზონში თანაბარი ალბათობისაა, ე.ი. დაქვანტვის ცდომილებები წარმოადგენენ შემთხვევით სიდიდეს, რომელთაც გააჩნიათ თანაბარი განაწილება. დაქვანტვის ცდომილების განაწილების სიმკვრივის ფუნქცია წარმოდგენილია ნახ. 10.3ბ.

უნდა აღინიშნოს, რომ უახლოეს მნიშვნელობამდე დამრგვალების დროს ის რიცხვები, რომლებიც უახლოეს ორ მეზობელ მნიშვნელობებს შორის მოხვდებიან საზღვარზე, მათი დამრგვალება ყოველთვის ხდება გაზრდილ მნიშვნელობამდე. დიდი მოცულობის მონაცემების დამუშავებისას ამას მივყენათ ერთი მიმართულებით გადაადგილების ეფექტან.

k თანრიგიანი რიცხვის ჩამოჭრა b ნიშნადი თანრიგებამდე ($k > b$), იწვევს საწყისი რიცხვის უმცირესი ($k-b$) თანრიგების ჩამოჭრას. ჩამოჭრისას დაქვანტვის ცდომილება e აკმაყოფილებს შემდეგ უტოლობებს:

- დადებითი რიცხვების დროს $-2^{-b} \leq e \leq 0$;
- უარყოფითი რიცხვების დროს $0 \leq e < 2^{-b}$.

ქვემოდ მოყვანილ ნახ. 10.4ა წარმოდგენილია ჩამოჭრის პროცედურა



ნახ. 10.4

ხოლო ნახ. 10.4ბ ნაჩვენებია ჩამოჭრის დაქვანტვის ცდომილების განაწილების სიმკვრივის გრაფიკული გამოსახულება.

უმეტეს შემთხვევაში შეიძლება ჩაითვალოს, რომ $e(t)$ წარმოადგენს შემთხვევით პროცესს, რომელსაც მოცემულ საზღვრებში გააჩნია თანაბარი განაწილების კანონი. ასეთი შემთხვევითი პროცესის საშუალო

მნიშვნელობა $m_A = 0$, ხოლო დისპერსია $\sigma_A^2 = \frac{\Delta^2}{12}$. დისკრეტიზაციის შემდეგ დაქვანტვის ცდომილება წარმოადგენს $e(nT)$ შემთხვევით დისკრეტულ თანმიმდევრობას. უმეტეს შემთხვევაში ამ თანმიმდევრიბის ანათვლები შეიძლება ჩაითვალოს არაკორელირებული.

ნახ. 10.1 იგულისხმება, რომ დაქვანტვა ხდება სიგნალის დონის დამრგვალებით. რეალურ აცბ შეიძლება გამოყენებული იყოს ჩამოჯრა ანუ დამრგვალება დაბალი მნიშვნელობისაკენ. ამ შემთხვევაში დაქვანტვის ცდომილება $[0; -\Delta]$ ინტერვალშია მოქცეული, რომლის საშუალო მნიშვნელობა

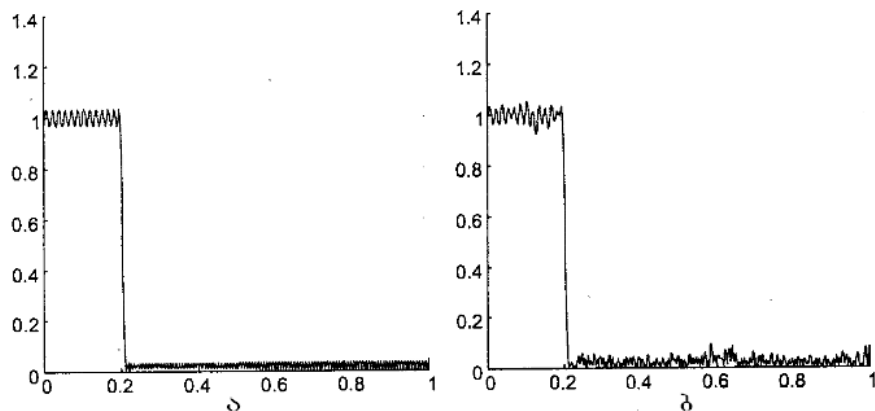
ტოლია: $m_A = -\frac{\Delta}{2}$, ხოლო დისპერსია $\sigma_A^2 = \frac{\Delta^2}{12}$.

10.3 დაქვანტვის ეფექტი ციფრულ ფილტრებში

სიგნალების ციფრული დამუშავებისას დაქვანტვის ცდომილება არ წარმოადგენს ერთადერთ პრობლემას. ზოგადად, ციფრულ სისტემებში არითმეტიკული ოპერაციების შედეგად მიღებული როგორც შუალედური, ასევე ფილტრის კოეფიციენტების მნიშვნელობების დამრგვალებები წარმოქმნიან დამატებით ცდომილებებს, რომლებიც დაქვანტვის ცდომილებასთან ერთად იწვევენ ფილტრის სასურველი მახასიათებლების დამახინჯებას. განვიხილოთ ეს ცდომილებები.

ციფრული ფილტრის კოეფიციენტების დამრგვალება. აქამდე ციფრული ფილტრის კოეფიციენტები განიხილებოდნენ როგორც ზუსტი მნიშვნელობები, ცდომილების გარეშე. პრაქტიკულად, ფილტრის რეალიზაციისას თითქმის ყოველთვის სისტემა კოეფიციენტების მნიშვნელობების დამრგვალება. თავის მხრივ, კოეფიციენტების დამრგვალება იწვევს ციფრული ფილტრის პარამეტრების და მახასიათებლების სასურველ მნიშვნელობებიდან გადახრას. გარდა ამისა, შუალედური შედეგების დამრგვალებას მივყევართ გამოთვლითი ცდომილების დაგროვებასთან.

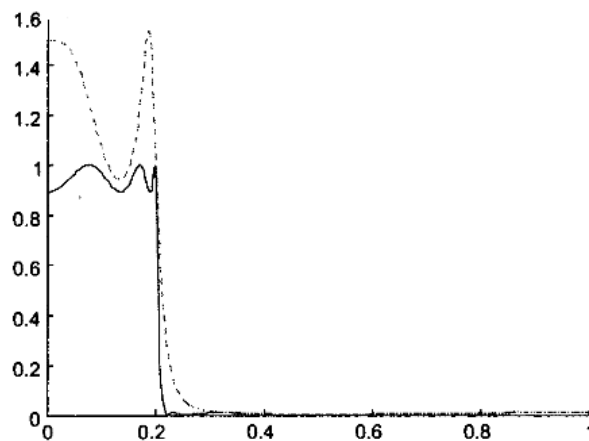
არარეჟურსიული ციფრული ფილტრის კოეფიციენტები, როგორც ცნობილია, იმპულსური მახასიათებლების ანათვლების ტოლია და წრფივად არიან დაკავშირებული გადაცემის ფუნქციის კომპლექსურ კოეფიციენტებთან. ამიტომ კოეფიციენტების მცირე დამახინჯება იწვევს ფილტრის სისტემული მახასიათებლის მცირე დამახინჯებას, რის გამოც კოეფიციენტების დამრგვალების ეფექტი გამოვლინდება იშვიათად. ნახ. 10.5 ნაჩვენებია არარეჟურსიული დაბალი სისტემის ფილტრის ამპლიტუდურ-სისტემული მახასიათებლი კოეფიციენტების დამრგვალებამდე (ნახ. 10.5ა) და დამრგვალების შემდეგ (ნახ. 10.5ბ).



ნახ. 10.5

როგორც ნახაზიდან ჩანს, კოეფიციენტების დამრგვალება იწვევს სიხშირული მახასიათებლის მცირე ამპლიტუდურ პულსაციას, რაც ამ შემთხვევაში არავითარ საშიშროებას არ წარმოადგენს. მაგრამ, თუ ფილტრს უნდა გააჩნდეს ამპლიტუდურ-სიხშირული მახასიათებელი მკვთრად გამოხატული დამრეცით, მაშინ კოეფიციენტების დამრგვალებამ შეიძლება გამოიწვევს სიხშირული მახასიათებლის დამახინჯება.

რაც შეეხება რეგურსიულ ციფრულ ფილტრებს აქ საქმე უფრო რთულადაა. ფილტრის კოეფიციენტების დამრგვალების ეფექტი მნიშვნელოვნად მოქმედებს ფილტრის ამპლიტუდურ-სიხშირულ მახასიათებელზე, რადგან გადაცემის ფუნქციის გამოსახულების მნიშვნელში არსებული კოეფიციენტები ფილტრის იმპულსურ და სიხშირულ მახასიათებლებთან არაწრფივ კავშირშია. მაგალითისათვის ნახ. 10.6 წარმოდგენილია დაბალი სიხშირის რეგურსიული ფილტრის ამპლიტუდურ-სიხშირული მახასიათებელი კოეფიციენტების დამრგვალებამდე და დამრგვალების შემდეგ (წყვეტილი მრუდი).



ნახ. 10.6

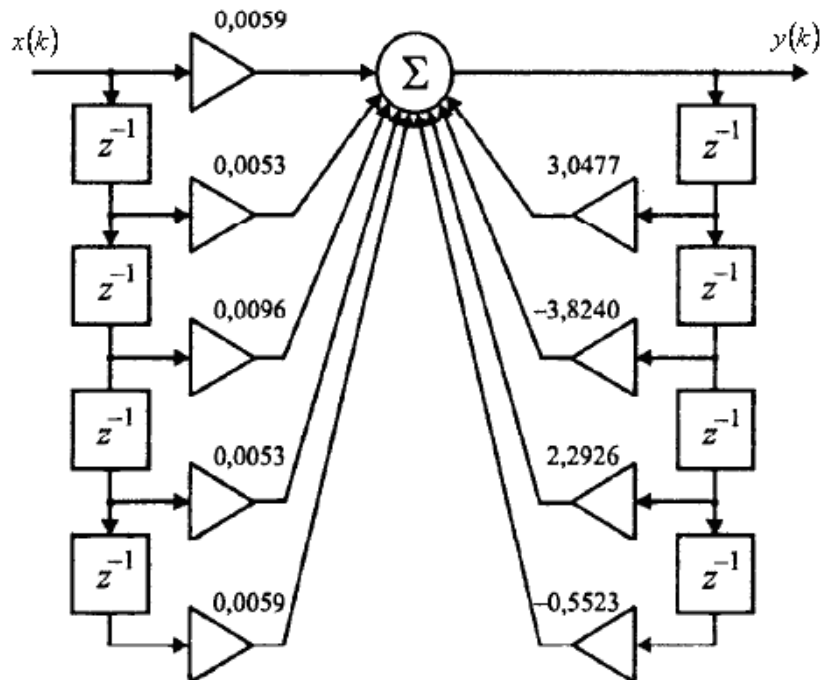
როგორც ნახაზიდან ჩანს, ფილტრის კოეფიციენტების დამრგვალება იწვევს სიხშირული მახასიათებლის მნიშვნელოვან დამახინჯებას.

დაქანტვული კოეფიციენტებიანი ფილტრის სინთეზისათვის არსებობს ორი მიღება: შეიძლება განვიხილოთ კოეფიციერტების ცდომილებები როგორც შემთხვევითი სიდიდეები. მაშინ შესაძლებელია ამ ცდომილებების სტატისტიკური დამუშავება, კერძოდ შევაფასოდ ფილტრის დაქანტვული სიხშირული მახასიათებლის მოცემულ სიხშირულ მახასიათებლიდან გადახრის საშუალო კვადრატული ცდომილება. მეორე მიღება მდგომარეობს

ა- ყუბანეიშვილი ბიოსიგნალების ციფრული დამუშავება

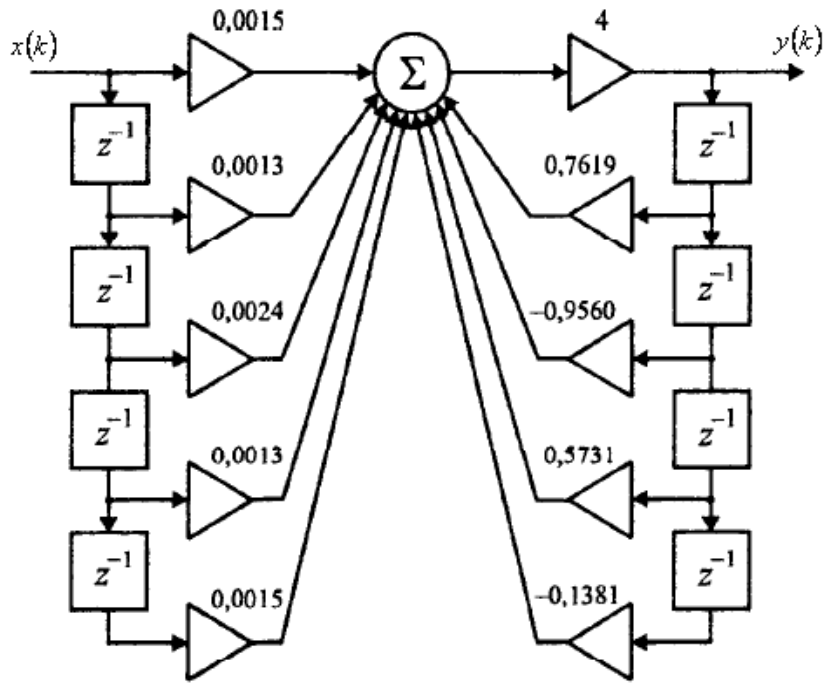
დაქვანტვული კოეფიციენტების პირდაპირ ოპტიმიზაციაში, რათა მიღწეული იყოს მოცემული სის შირული მახასიათებლიდან მინიმალური გადახრა.

ციფრული ფილტრის კოეფიციენტების მასშტაბირება. გამოთვლების დაქვარების მიზნით ხშირად იყენებენ მონაცემების წარმოდგენას ფიქსირებული მძიმის ფორმატში. ამ შემთხვევაში შეიძლება აღმოჩნდეს, რომ ფილტრის ზოგიერთი კოეფიციენტის მნიშვნელობამ შეიძლება გადააჭარბოს შერჩეული ფორმატის დიაპაზონს. ამ პრობლემის გადაწყვეტა შესაძლებელია ფილტრის კოეფიციენტების მაშტაბირებით, რის შედეგადაც კოეფიციენტების მნიშვნელობები აღმოჩნდებიან $[-1, 1]$ დიაპაზონში. მასშტაბირების კოეფიციენტად შეიძლება ავიდოთ ფილტრის უდიდესი მნიშვნელობის კოეფიციენტის აბსოლუტური სიდიდე, რომელზედაც გაიყოფა ციფრული ფილტრის ყველა კოეფიციენტი, ხოლო ფილტრის გამოსავალი მნიშვნელობა უნდა გამრავლდეს ამ სამასშტაბო კოეფიციენტზე. მასშტაბირების კოეფიციენტი მოსახერხებელია, თუ მას შევარჩევთ 2^n -ის ტოლად. მაგალითად ქვემოთ მოყვანილ ნახაზზე წარმოდგენილია რეკურსიული ფილტრის კოეფიციენტების მნიშვნელობები მასშტაბირებამდე (ნახ. 10.7) და მასშტაბირების შემდეგ (ნახ. 10.8).



ნახ. 10.7

როგორც ნახაზიდან ჩანს, სამასშტაბო კოეფიციენტად შეიძლება ავიდოთ 4. მასშტაბირების შემდეგ გვექნება:



ნახ. 10.8

10.4 მონაცემების გადავსება.

სიგნალების ციფრული დამუშავების პროცესში გამოიყენება მრავალი შეკრების და გამრავლების ოპერაცია. ამ დროს გამოთვლის შედეგად მიღებულმა შუალედურმა მნიშვნელობებმა შეიძლება მნიშვნელოვნად გადააჭარბოს დასამახსოვრებელი რეგისტრის თანრიგების რაოდენობას. ყოველივე ამან შეიძლება გამოიწვიოს მნიშვნელოვანი პრობლემა, რომელსაც მონაცემების გადავსება ეწოდება. გადავსების შედეგი წარმოქმნის ცდომილებას, რომელიც გამოწვეულია შედეგების უმცირესი თანრიგების დაკარგვით. გადავსების ეფექტით გამოწვეული ცდომილება მით უფრო დიდია, რაც უფრო მეტია არითმეტიკული ოპერაციების რაოდენობა.

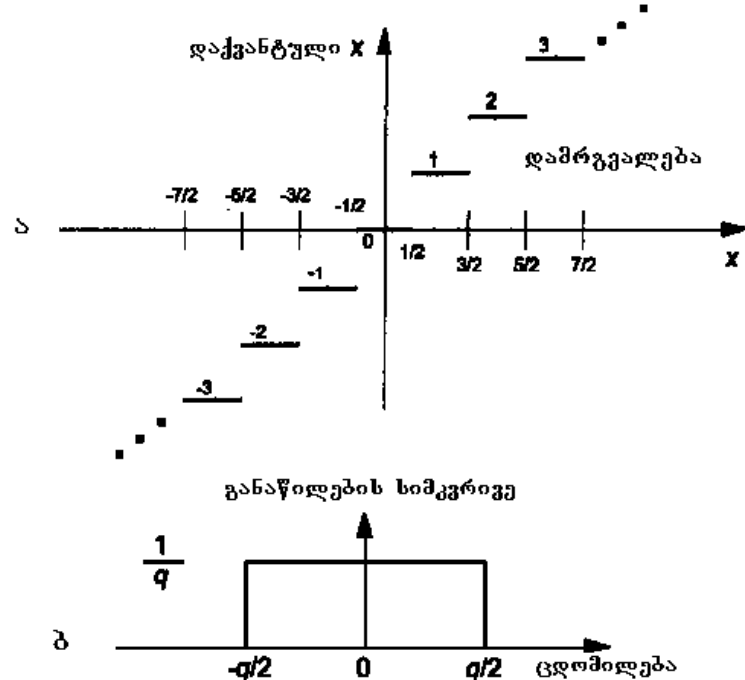
მონაცემების გადავსების ეფექტის შემცირება შესაძლებელია ორი მეთოდით: დამრგვალებით ან ჩამოჭრით, სადაც ყოველი მათგანი წარმოქმნის თავის დაქვანტვის ცდომილებას.

მონაცემების დამრგვალება. როგორც უბევ აღვნიშნეთ, ციფრული სიგნალების დამუშავების ალგორითმების რეალიზაციისას გამოთვლით პროცესში ფორმირდება მრავალი შუალედური შედეგი. ამ შედეგების შენახვის ფორმატიდან გამომდინარე საჭირო ხდება მონაცემების დამრგვალება, რაც თავის მხრივ იწვევს დამატებით ცდომილების წარმოქმნას.

დამრგვალების დროს მონაცემები დებულობენ უახლოესი დაქვანტვის დონეს ან ხდება მათი დამრგვალება ამ დონემდე. ასე მაგალითად, თუ დაქვანტვის დონე წარმოდგენილია მთელი რიცხვებით, მაშინ, მაგალითად, 1,2 სიდიდე დაქვანტვის შედეგად დებულობს 1-ის ტოლ სიდიდეს, ხოლო 1,6 კი 2-ს. ყოველივე ეს წარმოდგენილია ნახ. 10.9ა, სადაც x რიცხვის ყველა მნიშვნელობა $-0,5 \leq x < 0,5$ დიაპაზონში დამრგვალების შედეგად დებულობენ ნულოვან

ა. ყუბანეიშვილი ბიოსიგნალების ციფრული დამუშავება

მნიშვნელობებს, ხოლო $0,5 \leq x < 1,5$ დიაპიზონში 1-ს ტოლ სიდიდეს. $1,5 \leq x < 2,5$ დიაპაზონში დებულობებ 2 და ა.შ.



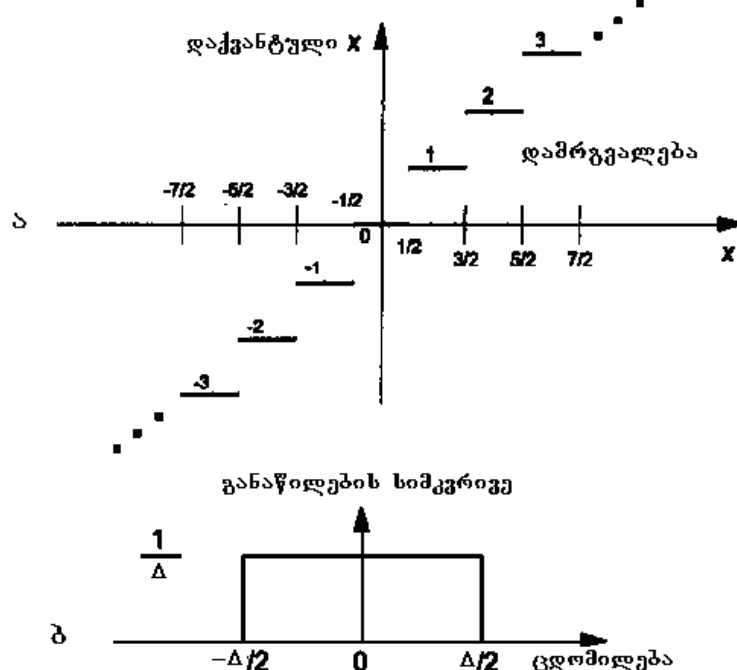
ნახ. 10.9

დამრგვალების ცდომილების განაწილების სიმკვრივის ფუნქცია წარმოდგენილია ნახ. 10.9ბ-ზე.

თუ გამოიყენება მონაცემების წარმოდგენის ფიქსირებული მძიმის ფორმატი, მაშინ შეკრების და გამოკლების არითმეტიკული ოპერაციების დროს დამრგვალების ეფექტი გამორიცხულია. ამ შემთხვევაში მოსალოდნელია მხოლოდ რეგისტრის თანრიგების გადავსება. რაც შეეხება ფიქსირებული მძიმით წარმოდგენილი რიცხვების გამრავლების ოპერაციამ შესაძლებელია გამოიწვიოს შედეგების დამრგვალების აუცილებლობა.

თუ მონაცემების წარმოსადგენად გამოიყენება მცოცავი მძიმის ფორმატი, მაშინ შეკრების ოპერაციამ შეიძლება გამოიწვიოს სიზუსტის დაკარგვა. რაც შეეხება გამრავლების ოპერაციას, ისევე როგორც ფიქსირებული მძიმის ფორმატისა, აქაც შეიძლება საჭირო გახდეს შედეგების დამრგვალება.

მონაცემების ჩამოჭრა. ჩამოჭრა წარმოადგენს პროცესს, რომლის შედეგადაც მონაცემების მნიშვნელობები წარმოდგინდებიან დაქვანტვის უმცირესი დონით. მაგალითად, თუ დაქვანტვის დონე აღინიშნება მთელი რიცხვებით, მაშინ ნამდვილი მნიშვნელობა 1,2-ს ჩამოჭრა ხდება 1-მდე. მთელ მნიშვნელობამდე ჩამოჭრის პროცედურა წარმოდგენილია ნახ. 10.10ა-ზე, სადაც $0 \leq x < 1$ დიაპაზონის ყველა x ჩამოჭრის შემდეგ დებულობს ნულოვან მნიშვნელობას, ხოლო $1 \leq x < 2$ დიაპაზონში x დებულობს 1-ის ტოლ მნიშვნელობას. $2 \leq x < 3$ დიაპაზონში x დებულობს 2-ის ტოლ მნიშვნელობას და ა.შ.



ნახ. 10.10

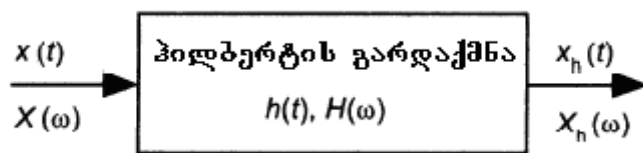
ჩამოჭრის ცდომილების განაწილების სიმკრივის ფუნქცია
წარმოდგენილია ნახ. 10.10ბ-ზე.

ჩამოჭრის ცდომილება დამოკიდებულია სამ ფაქტორზე: 1) ჩამოჭრის თანრიგების რაოდენობაზე, 2) ჩამოჭრილი ბიტების მნიშვნელობებზე (ანუ იყვნენ თუ არა ეს ბიტები ნულის ან ერთის ტოლი) და 3) ჩამოჭრის შედეგად დარჩენილი ორობითი რიცხვის მოდული. ცხადია, რომ ჩამოჭრის მაქსიმალური მნიშვნელობა მიიღება, როცა ყველა ჩამოჭრილი ბიტი ერთის ტოლია.

11. პილბერტის დისკრეტული გარდაშვნა

11.1 პილბერტის გარდაქმნის არსი

პილბერტის დისკრეტული გარდაქმნა წარმოადგენს პროცედურას, რომელიც გამოიყენება ნამდვილი სიგნალიდან კომპლექსური სიგნალის მიღებისათვის. ნამდვილი სიგნალების მაგივრად კომპლექსური სიგნალების გამოყენება ხშირად ამარტივებს სიგნალების დამუშავების მრავალ ოპერაციას და ზრდის დამუშავების ეფექტიანობას.



ნახ. 11.1

ა. ყუბანეიშვილი ბიოსიგნალების ციფრული დამუშავება

როგორც ნახ. 11.1 –დან ჩანს, ჰილბერტის გარდაქმნა წარმოადგენს მათემატიკურ ოპერაციას ნამდვილი $x(t)$ სიგნალის მიმართ, რომლისგანაც ვდებულობთ ახალ $x_h(t)$ ნამდვილ სიგნალს. ჩვენი მიზანია $x_h(t)$ სიგნალი იყოს $\pi/2$ ფაზით წანაცვლებული (დაძრული) $x(t)$ სიგნალის მიმართ.

დაუშვათ გვაქვს $x(t)$ სიგნალი. $x(t)$ სიგნალის ორთოგონალური დანამატი ეწოდება ისეთ $x_i(t)$ სიგნალს, როდესაც სრულდება შემდეგი პირობა:

$$\int_{-\infty}^{\infty} x(t)x_i(t)dt = 0.$$

ამ დროს იგულისხმება, რომ $x_i(t)$ სიგნალი იგივეობრივად არ არის ნულის ტოლი. აღმოჩნდა, რომ მოცემული ნამდვილი $x(t)$ სიგნალი და მისი ორთოგონალური დანამატი $x_i(t)$ შეგვიძლია დაგაკავშიროთ კომპლექსურ $x_c(t)$ სიგნალთან შემდეგნაირად:

$$x_c(t) = x(t) + jx_i(t). \quad (11.1)$$

კომპლექსურ $x_c(t)$ სიგნალს ეწოდება ანალიტიკური სიგნალი (იმიტომ, რომ ის არ შეიცავს სიხშირეების უარყოფით სპექტრულ კომპონენტებს), რომლის ნამდვილი ნაწილი საწყისი $x(t)$ სიგნალის ტოლია, ხოლო მისი წარმოსახვითი $x_i(t)$ მდგენელი დაკავშირებულია საწყის $x(t)$ სიგნალთან შემდეგი გარდაქმნით:

$$x_i(t) = \frac{1}{\pi} \int_{-\infty}^{\infty} \frac{x(\tau)}{t - \tau} d\tau,$$

რომელსაც პილბერტის გარდაქმნა ეწოდება. როგორც ამ გამოსახულებიდან ჩანს, ჰილბერტის გარდაქმნის შედეგი წარმოადგენს $x(t)$ სიგნალის და

$h(t) = \frac{1}{\pi t}$ ფუნქციის ნაკეცს. $h(t)$ ფუნქციას უწოდებენ ჰილბერტის გარდაქმნის ბირთვს ანუ იმპულსურ მახასიათებელს. განვსაზღვროთ პილბერტის გარდაქმნის სიხშირული მახასიათებელი

$$H(\omega) = \int_{-\infty}^{\infty} h(t) e^{-j\omega t} dt = \int_{-\infty}^{\infty} \frac{1}{\pi t} e^{-j\omega t} dt = \int_{-\infty}^{\infty} \frac{1}{\pi t} \cos(\omega t) dt - j \int_{-\infty}^{\infty} \frac{1}{\pi t} \sin(\omega t) dt$$

ამ გამოსახულების პირველი ინტეგრალი ნულის ტოლია, რადგან $h(t)$ პერიოდულია და თანაც ინტეგრირება ხდება დროის მთელ ღერძზე. ე.ო. გვექნება:

$$H(\omega) = -\frac{j}{\pi} \int_{-\infty}^{\infty} \frac{\sin \omega t}{t} dt .$$

რადგან $\int_{-\infty}^{\infty} \frac{\sin \omega t}{t} dt = \pi \cdot sign(\omega)$ ამიტომ $H(\omega) = -\frac{j}{\pi} \pi sign(\omega) = -j sign(\omega)$, სადაც

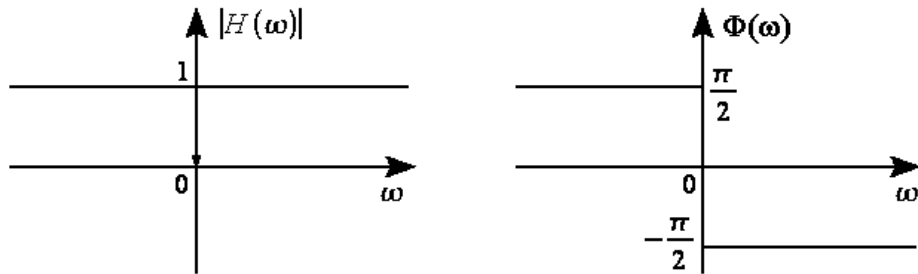
$$-j sign(\omega) = \begin{cases} j, & \omega < 0 \\ 0, & \omega = 0 \\ -j, & \omega > 0 \end{cases}$$

ამრიგად, ჰილბერტის გარდაქმნის სიხშირული მახასიათებელი ტოლია:

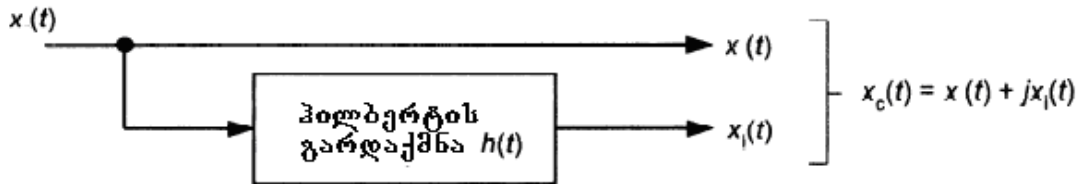
ა. ეუბანეიშვილი ბიოსიგნალების ციფრული დამუშავება

$$H(\omega) = \begin{cases} j, & \omega < 0 \\ 0, & \omega = 0 \\ -j, & \omega > 0 \end{cases} \quad (11.2)$$

პილბერტის გარდაქმნის ამპლიტუდური და სიხშირული მახასიათებლები წარმოდგენილნი არიან შემდეგ ნახაზზე:



როგორც ვხედავთ, პილბერტის გარდაქმნა წარმოადგენს იდეალურ ფართოზოლიან ფაზამაბრუნებელს. უნდა აღინიშნოს, რომ ფაზის მობრუნებასთან ერთად პილბერტის გარდაქმნა აღმოფხვრის სიგნალის მუდმივ მდგენელს. აქედან გამომდინარე, პილბერტის გარდაქმნის შედეგად ნამდვილი $x(t)$ სიგნალი და ანალიტიკური $x_c(t)$ სიგნალები ფაზებით განსხვავდებიან ერთმანეთისაგან $\pi/2$ სიდიდით. ამასთან $x(t)$ და $x_c(t)$ სიგნალებს უწოდებენ პილბერტით შეუდლებულებს. აქედან გამომდინარე $\cos(\omega t)$ და $\sin(\omega t)$ წარმოადგენენ პილბერტით შეუდლებულებს. ანალიტიკური სიგნალის მიღების ბლოკ-სქემას აქვს შემდეგი სახე:



ნაკეცის თვისებიდან გამომდინარე სიხშირულ არეში პილბერტის გარდაქმნა შეიძლება ასე ჩაიწეროს: $X_i(\omega) = H(\omega)X(\omega)$.

არსებობს პილბერტის უპა გარდაქმნაც

$$x(t) = -\frac{1}{\pi} \int_{-\infty}^{\infty} \frac{x_i(\tau)}{t - \tau} d\tau. \quad (11.3)$$

ამისათვის განვიხილოთ სიგნალის ორთოგონალური დანამატის პილბერტის გარდაქმნა, რომელიც წარმოდგენილია ნაკეცის სახით $x(t) = h(t) \oplus x_i(t)$. სიხშირულ არესათვის გვექნება: $X(\omega) = H(\omega)X_i(\omega)$. მოვახდინოთ ფურიეს უპა გარდაქმნა (11.2) ფორმულის გათვალისწინებით

$$\int_{-\infty}^{\infty} \frac{x_i(\tau)}{\pi(t - \tau)} d\tau = F^{-1}[H(\omega) \cdot X_i(\omega)] = F^{-1}[H(\omega)H(\omega)X(\omega)] = F^{-1}[-X(\omega)] = -x(t),$$

სადაც $H(\omega)H(\omega) = j^2 = -1$. ე.ი. მივიღეთ (11.3) ფორმულა.

განვიხილოთ ანალიტიკური სიგნალის სპექტრი

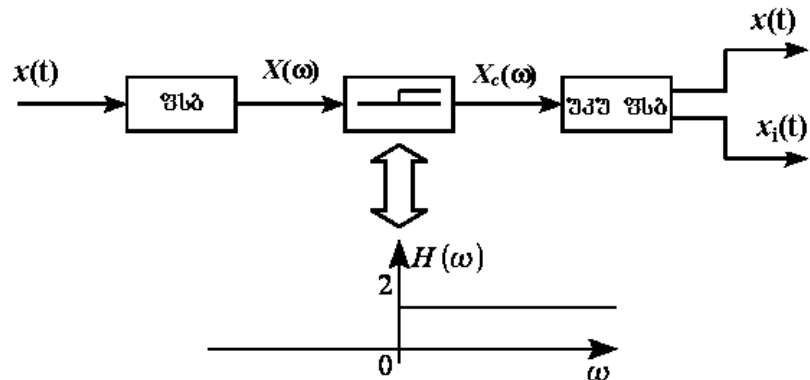
$$X_c(\omega) = X(\omega) + jX_i(\omega) = X(\omega) + j \cdot H(\omega)X(\omega)$$

თუ გავითვალისწინებო (11.2) ფორმულას მაშინ

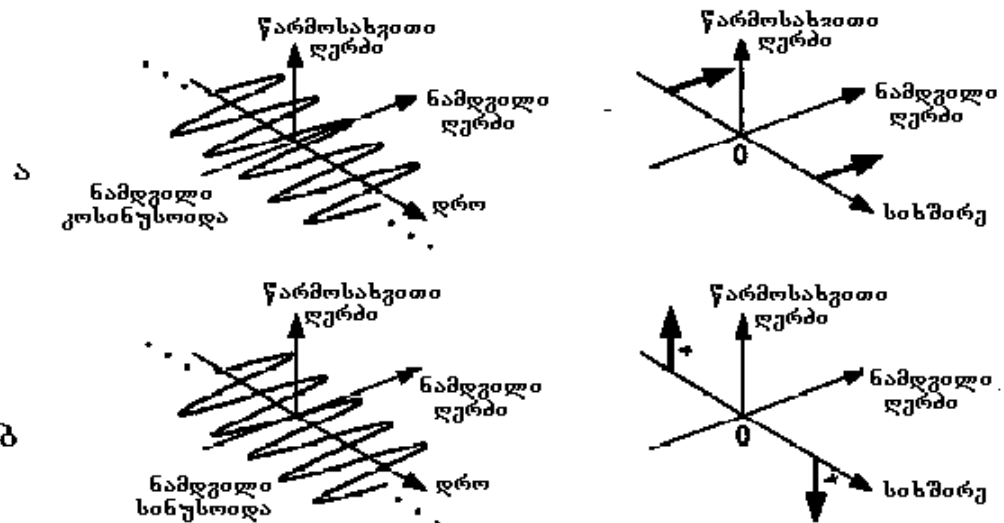
$$X_c(\omega) = \begin{cases} X(\omega) + j \cdot j X(\omega), & \omega < 0 \\ X(0), & \omega = 0 \\ X(\omega) - j \cdot j X(\omega), & \omega > 0 \end{cases} = \begin{cases} 0, & \omega < 0 \\ X(0), & \omega = 0 \\ 2X(\omega), & \omega > 0 \end{cases}$$

ამრიგად, ანალიტიკური სიგნალის სპექტრი ნულისაგან განსხვავდება მხოლოდ დადებით სიხშირეთა არეში, ხოლო უარყოფითი სიხშირეების დროს ის ნულის ტოლია. ანალიტიკური სიგნალის ეს თვისება ფართოდ გამოიყენება ერთპოლუსიანი მოდულაციის სიგნალის ფორმირებისათვის.

გარდა ამისა, ანალიტიკური სიგნალი შეიძლება გამოვიყენოთ ორთოგონალური დანამატის მისაღებად. ამისათვის უნდა მოვახდინოთ საწყისი $x(t)$ სიგნალის ფურიეს გარდაქმნა, გავანულოთ მიღებული სპექტრის მნიშვნელობები უარყოფითი სიხშირულ არეში და დადებით სიხშირის არეში სპექტრი გავაორმავოდ. ამის შემდეგ მოვახდინოთ მიღებული სპექტრის ფურიეს უკუ გარდაქმნა და მივიღებთ ანალიტიკურ სიგნალს, რომლის საშუალებითაც მიიღება საწყისი სიგნალი და მისი ორთოგონალური დანამატი. ასეთი პროცესის რეალიზაცია წარმოდგენილია შემდეგ ნახაზზე:



იმისათვის, რომ მოვიყვანოთ პილბერგის გარდაქმნის მარტივი მაგალითი, ამისათვის ნახ. 11.2ა-ზე წარმოდგენილია სამგანზომილებიან სივრცეში ნამდვილი კოსინუსოიდალური სიგნალი $\cos(\omega t)$ როგორც დროით, ასევე სიხშირულ არეში.



ნახ. 11.2

ნახ. 11.2ბ გვიჩვენებს, რომ $\cos(\omega t)$ სიგნალის პილბერტის გარდაქმნა გვაძლევს სინუსოიდალურ $\sin(\omega t)$ სიგნალს. ნახ. 11.2ბ-ს მარჯვენა მხარეს წარმოდგენილი კომპლექსური სპექტრი გვიჩვენებს პილბერტის გარდაქმნა როგორ აბრუნებს კოსინუსოიდალურ სიგნალის დადებითი სიხშირის კომპონენტებს $-j$ -თი, ხოლო უარყოფით სიხშირის კომპონენტებს $+j$ -თი. ამრიგად, $+j$ -ზე გამრავლების ოპერაცია სპექტრულ კომპონენტებს აბრუნებს სიხშირული ღერძის ირგვლივ $+90^\circ$ -ით საათის ისრის საწინაღმდეგო მიმართულებით.

ანალიტიკურ სიგნალს გააჩნია შემდეგი თვისებები:

1. ანალიტიკურ სიგნალის სპექტრი $X_c(\omega)$ შეიცავს მხოლოდ დადებით სიხშირეებს

$$X_c(\omega) = \begin{cases} 2X(\omega), & \omega \geq 0 \\ 0, & \omega < 0 \end{cases}$$

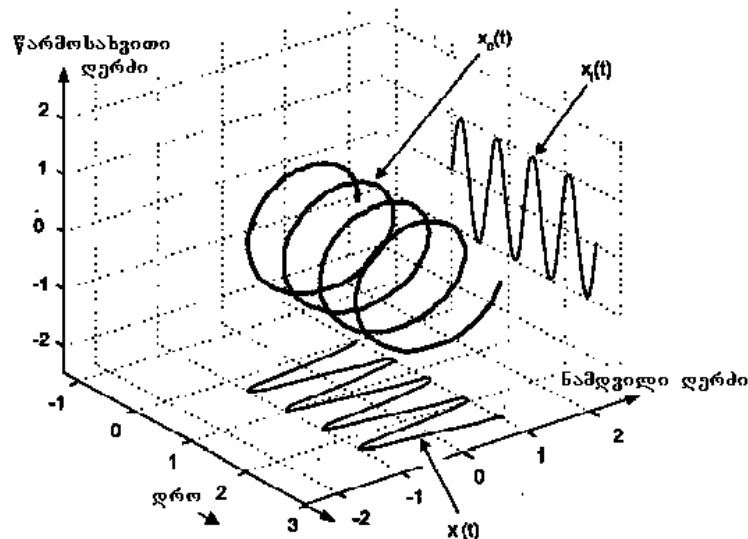
2. ანალიტიკური სიგნალის $x_c(t) = x(t) + jx_i(t)$ ნამრავლი მის შეუდლებულ $x_c^*(t) = x(t) - jx_i(t)$ სიგნალთან ტოლია საწყისი $x(t)$ სიგნალის მომვლების გვადრატისა. ეს იმას ნიშნავს, რომ ანალიტიკური სიგნალის მოდული $x(t)$ სიგნალის მომვლების ტოლია.

3. ანალიტიკური სიგნალის ენერგია საწყისი სიგნალის გაორმაგებული ენერგიის ტოლია.

სწორედ ამ თვისებების გამო ანალიტიკური სიგნალის გამოყენება სიგნალების ციფრული დამუშავებისას საკმაოდ სასარგებლოა, განსაკუთრებით რთული სიგნალების ანალიზისას.

მივცეთ $x_c(t)$ სიგნალს გარკვეული ფიზიკური არსი. განვიხილოთ ნამდვილი სიგნალი $x(t) = \cos(\omega_0 t)$ და მისი პილბერტის გარდაქმნა $x_i(t)$, რომელიც წარმოადგენს სინუსოიდალურ სიგნალს (ნახ. 11.3), სადაც ანალიტიკური სიგნალი გამოსახულია სპირალის სახით.

ა- ყუბანეიშვილი ბიოსიგნალების ციფრული დამუშავება

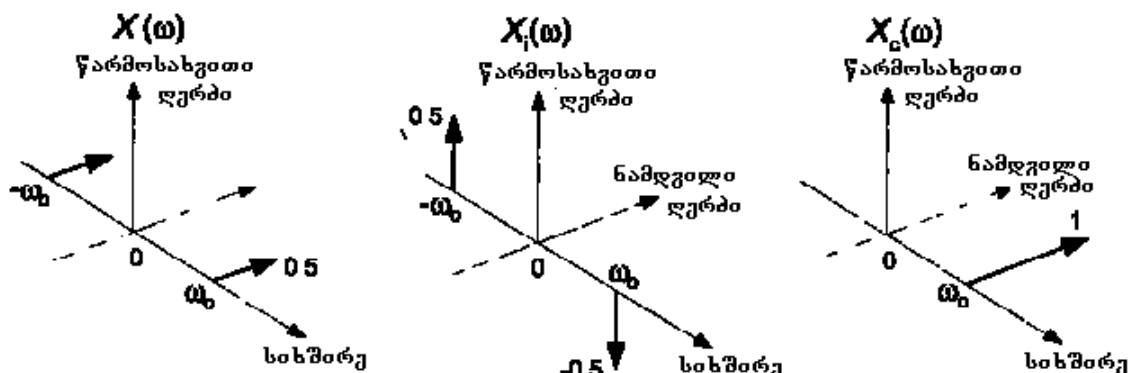


ნახ. 11.3

ეილერის ფორმულის თანახმად ანალიტიკური სიგნალი შეგვიძლია წარმოვადგინოთ კომპლექსური ექსპონენციალის საშუალებით:

$$x_c(t) = x(t) + jx_i(t) = \cos(\omega_0 t) + j \sin(\omega_0 t) = e^{j\omega_0 t}. \quad (11.4)$$

ამ სიგნალის სპექტრები წარმოდგენილი არიან ნახ. 11.4.



ნახ. 11.4

როგორც ვხედავთ, (11.4) ფორმულის თანახმად თუ ჩვენ $X_i(\omega)$ მოვაბრუნებთ $+90^\circ$ -ით საათის ისრის მოძრაობის საწინაღმდეგოთ ($+j$) და დაუმატებთ $X(\omega)$, მაშინ მივიღებთ:

$$X_c(\omega) = X(\omega) + jX_i(\omega).$$

როგორც ვხედავთ, $X_c(\omega)$ მოდული ტოლია გაორმაგებული $X(\omega)$ მოდულისა, ე.ი. $|X_c(\omega)| = 2|X(\omega)|$. გარდა ამისა, $X_c(\omega)$ ნულის ტოლია ყველა უარყოფითი სიხშირეებისათვის. სწორედ ამის გამო, როცა უარყოფითი სიხშირეები არ არსებობენ, $x_c(t)$ სიგნალს უწოდებენ ანალიტიკურ სიგნალს.

11.2 პილბერტის გარდაქმნის ძირითადი თვისებები

განვიხილოთ პილბერტის გარდაქმნის ძირითადი თვისებები. დაუშვათ $x(t)$ და $y(t)$ სიგნალებს გააჩნიათ პილბერტის გარდაქმნა შესაბამისად $x_i(t)$ და $y_i(t)$. მაშინ შესაძლებელია ჩამოვაყალიბოთ შემდეგი თვისებები:

1. **წრფიობა.** მოცემული $c(t) = ax(t) + by(t)$ სიგნალის, სადაც a და b მუდმივი სიდიდეებია, პილბერტის გარდაქმნა ტოლია:

$$\begin{aligned} c_i(t) &= \int_{-\infty}^{\infty} \frac{ax(\tau) + by(\tau)}{\pi(t-\tau)} d\tau = \int_{-\infty}^{\infty} \frac{ax(\tau)}{\pi(t-\tau)} d\tau + \int_{-\infty}^{\infty} \frac{by(\tau)}{\pi(t-\tau)} d\tau = \\ &= a \int_{-\infty}^{\infty} \frac{x(\tau)}{\pi(t-\tau)} d\tau + b \int_{-\infty}^{\infty} \frac{y(\tau)}{\pi(t-\tau)} d\tau = ax_i(t) + by_i(t) \end{aligned}$$

ამრიგად, ორი სიგნალის ჯამის პილბერტის გარდაქმნა ტოლია თითოეული სიგნალის პილბერტის გარდაქმნის ჯამისა. ე.ი. წრფიობის პირობა სრულდება.

2. **მასშტაბირება.** თუ $y(t)$ სიგნალს გააჩნია $y_i(t)$ პილბერტის გარდაქმნა, მაშინ $y(at)$ სიგნალის, სადაც a მუდმივი სიდიდეა, პილბერტის გარდაქმნა იქნება:

$$\int_{-\infty}^{\infty} \frac{y(a\tau)}{\pi(t-\tau)} d\tau.$$

შემოვიტანოთ $a\tau = x$ აღნიშვნა, მაშინ $\tau = x/a$, $d\tau = dx/a$ და მივიღებთ:

$$\int_{-\infty}^{\infty} \frac{y(a\tau)}{\pi(t-\tau)} d\tau = \frac{1}{a} \int_{-\infty}^{\infty} \frac{y(x)}{\pi(t-x/a)} dx = \frac{1}{a} \int_{-\infty}^{\infty} \frac{y(x)}{\pi(at-x)} dx = \int_{-\infty}^{\infty} \frac{y(x)}{\pi(at-x)} dx = y_i(at)$$

ე.ი. სიგნალის მასშტაბირებას (შეკუმშვა-გაჭიმვას) მიცემართ მისი პილბერტის გარდაქმნის იგივე მასშტაბირებაზე.

3. **დროით დაძვრა.** თუ $y(t)$ სიგნალს გააჩნია $y_i(t)$ პილბერტის გარდაქმნა, მაშინ $y(t-a)$ სიგნალს, სადაც a მუდმივია, გააჩნია პილბერტის გარდაქმნა:

$$\int_{-\infty}^{\infty} \frac{y(\tau-a)}{\pi(t-\tau)} d\tau = \int_{-\infty}^{\infty} \frac{y(x)}{\pi(t-a-x)} dx = y_i(t-a),$$

სადაც $\tau-a=x$, $\tau=x+a$, $d\tau=dx$. ამრიგად, სიგნალის დროით დაძვრა იწვევს მისი პილბერტის გარდაქმნის იგივე სიდიდით დაძვრას.

4. **ნაკეცი.** დაუშვათ $x(t)$ და $y(t)$ სიგნალებს შესაბამისად გააჩნიათ პილბერტის გარდაქმნა $x_i(t)$ და $y_i(t)$. განვიხილოთ ამ სიგნალების ნაკეცის $c(t) = x(t) \otimes y(t)$ პილბერტის გარდაქმნა. ამისათვის გადავიდეთ სიხშირულ არეში, მაშინ გვექნება:

$$C_i(\omega) = H(\omega) \cdot C(\omega) = H(\omega) [X(\omega) \cdot Y(\omega)] = [H(\omega) X(\omega)] Y(\omega) = [H(\omega) Y(\omega)] X(\omega)$$

გადავიდეთ დროით არეში. რადგან

$$[H(\omega) X(\omega)] Y(\omega) = [H(\omega) Y(\omega)] X(\omega) = x_i(t) \otimes y(t) = y_i(t) \otimes x(t),$$

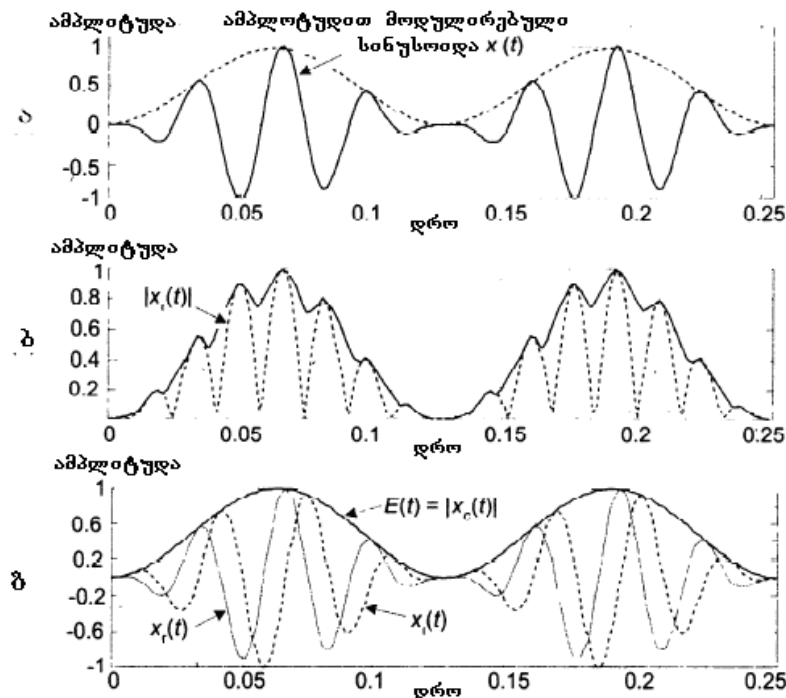
ამიტომ მივიღებთ: $c_i(t) = x_i(t) \otimes y(t) = y_i(t) \otimes x(t)$

11.3 პილბერტის გარდაქმნის გამოყენების მაგალითები

ანალიტიკური სიგნალის საშუალებით შესაძლებელია დროის მოცემულ მომეტისათვის სიგნალის მყისიერი პარამეტრების განსაზღვრა, როგორიცაა ამპლიტუდა, ფაზა ან სიხშირე. დაუშვათ გვაქვს ამპლიტუდით მოდულირებული ნამდვილი სიგნალი, რომლის მომვლებს გააჩნია რაიმე ინფორმაცია, მაშინ $E(t)$ მომვლების მყისიერი ამპლიტუდა ტოლია:

$$E(t) = |x_c(t)| = \sqrt{x(t)^2 + x_i(t)^2} \quad (11.5)$$

და სიგნალის მომვლები დაემთხვევა $x_c(t)$ სიგნალის მოდულს., როგორც ეს ნაჩვენებია ნახ. 11.5.



ნახ. 11.5

ნახ. 11.5ა ნაჩვენებია ამლიტუდით მოდულირებული სიგნალის დემოდულაცია, სადაც სინუსოიდალური სიგნალი მოდულირებულია ამპლიტუდით დაბალსიხშირიანი სინუსოიდით (წყვეტილი მრუდი). სამოდულაციო სიგნალის ტრანსიული სქემით აღსადგენად საჭიროა მოდულირებული სიგნალის გამართვა და შემდეგ მისი გატარება დაბალი სიხშირის ფილტრში. ფილტრის გამოსავალი სიგნალი ნაჩვენებია ნახ. 11.5ბ (მთლიანი მრუდი), რომელიც წარმოადგენს სამოდულაციო სიგნალს. ამ პროცედურის მაგივრად თუ განვსაზღვრავთ $x(t)$ სიგნალის პილბერტის გარდაქმნას, მივიღებთ $x_i(t)$ სიგნალს, რომლის საშუალებით ფორმირდება ანალიტიკური სიგნალი $x_c(t) = x(t) + jx_i(t)$. ბოლოს სამოდულაციო სიგნალის გამოსაყოფად, რომელიც ნაჩვენებია ნახ. 11.5გ (მსხვილი მრუდი), (11.5) ფორმულით ვდებულობთ $x_c(t)$ სიგნალს მოდულს, რომელიც ზუსტად წარმოადგენს სამოდულაციო სიგნალს.

მეორეს მხრივ, დაუშვათ, რომ ნამდვილი სინუსოიდალური $x(t)$ სიგნალი ფაზით არის მოდულირებული. ჩვენ შეგვიძლია $x_c(t)$ სიგნალის $\phi(t)$ მყისიერი ფაზის განსაზღვრა შემდეგი გამოსახულებით:

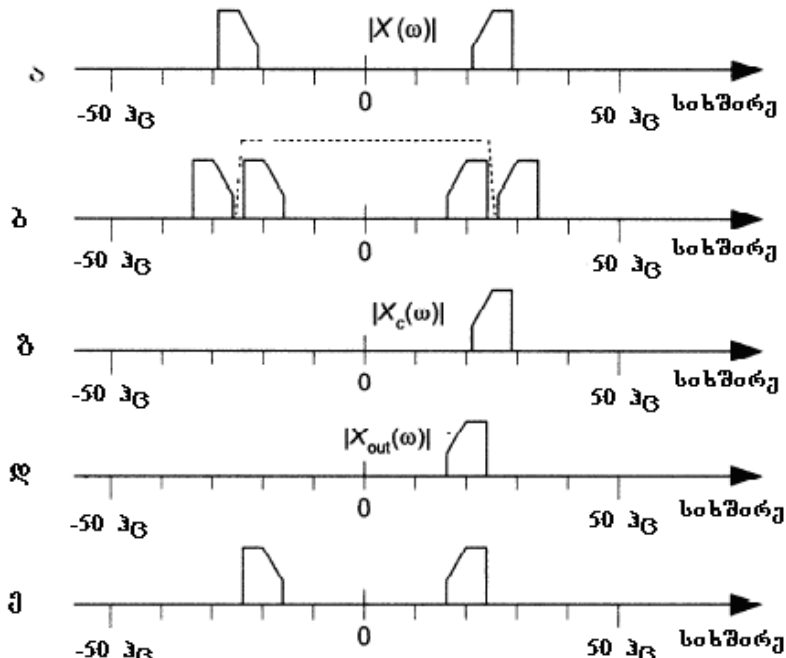
$$\phi(t) = \arctg \left[\frac{x_i(t)}{x(t)} \right].$$

$\phi(t)$ ფაზის განსაზღვრა ექვივალენტურია $x(t)$ სიგნალის ფაზური დემდულაციისა. ანალოგიურად, თუ ნამდვილი სინუსოიდალური სიგნალი მოდულირებულია სიხშირით, მაშინ შეგვიძლია მისი მყისიერი სიხშირის განსაზღვრა მყისიერი ფაზის გაწარმოებით:

$$F(t) = \frac{d(\phi(t))}{dt} = \frac{d \left[\arctg \frac{x_i(t)}{x(t)} \right]}{dt}.$$

$F(t)$ განსაზღვრა ექვივალენტურია $x(t)$ სიგნალის სიხშირული დემდულაციის. თუ $\phi(t)$ იზომება რადიანებში, მაშინ $F(t)$ საზომი ერთეულია რადიანი/წამში. თუ $F(t)$ გავყოფთ 2π -ზე, მივიღებთ სიხშირეს ჰერცებში.

განვიხილოთ პილბერტის გარდაქმნის გამოყენების კიდევ ერთი მაგალითი. ვთქვათ, ნამდვილი $x(t)$ სიგნალის სპექტრის მოდული $|X(\omega)|$ განთავსებულია 25 ჰც ცენტრალური სიხშირის მიმართ (ნახ. 11.6ა).



ნახ. 11.6

დაუშვათ, ჩვენ გვინდა ამ სპექტრის გადატანა 20 ჰც ცენტრალურ სიხშირეზე. ამისათვის საჭიროა $x(t)$ სიგნალი გავამრავლოთ $\cos(2\pi 50t)$ სიდიდეზე, რათა მივიღოთ ნამდვილი სიგნალი, რომლის სპექტრი თავმოყრილია 20 ჰც ცენტრალურ სიხშირის გარშემო (ნახ. 11.6ბ). ასეთი მეოთხის პრობლემა მდგომარეობს იმაში, რომ მაღალი სიხშირეების ჩასახშობად გვჭირდება

ა. ყუბანეიშვილი ბიოსიგნალების ციფრული დამუშავება

ფილტრი პრაქტიკულად არარეალიზებადი სიხშირული მახასიათებლით, რომელიც ნახ. 11.6ბ წარმოდგენილია წყვეტილი ოთხკუთხედის სახით.

მეორეს მხრივ, თუ განვსაზღვრავთ $x(t)$ სიგნალიი პილბერტის გარდაქმნას და მივიღებთ $x_i(t)$ სიგნალს, მაშინ ამ ორი სიგნალით მივიღებთ ანალიტიკურ სიგნალს (11.1), რომლის ცალმსრივი სპექტრი ნაჩვენებია ნახ. 11.6გ. შემდეგ, $x_c(t)$ სიგნალს გავამრავლებთ კომპლექსურ $e^{-j2\pi 50t}$ ექსპონენტაზე და ვდებულობთ სიხშირით დაძრულ $x_{out}(t)$ კომპლექსურ სიგნალს, რომლის სპექტრი ნაჩვენებია ნახ. 11.6დ. თუ ამ სპექტრიდან ავიღებთ ნამდვილ ნაწილს მივიღებთ საჭირო სიხშირის ნამდვილ სიგნალს, რომლის ცენტრალური სიხშირე 20ჰც ტოლია (ნახ. 11.6ე).

11.4 პილბერტის ციფრული ფილტრი

როგორც უმავი აღვნიშეთ პილბერტის გარდაქმნა შეიძლება წარმოვადგინოთ როგორც საწყისი სიგნალის და პილბერტის გარდაქმნის ბირთვის ნაკეცი $x_i(t) = h(t) \otimes x(t)$, სადაც $h(t)$ წარმოადგენს პილბერტის გარდაქმნის ბირთვს ანუ იმპულსურ მახასიათებელს, რომელიც ფაქტობრივად წარმოადგენს წრფივი ფილტრის იმპულსურ მახასიათებელს. აქედან გამომდინარე, ასეთ ფილტრს პილბერტის ფილტრი ეწოდება.

განვიხილოთ პილბერტის ციფრული ფილტრი. დაუშვათ, მოცემულია N განზომილებიანი დისკრეტული თანმიმდევრობა $x(n\Delta t)$, სადაც Δt დისკრეტიზაციის ინტერვალია. თუ დისკრეტული სიგნალის სპექტრი პერიოდულია $T = 2\pi/\Delta t$ პერიოდით, მაშინ პილბერტის ციფრული ფილტრის კოეფიციენტები შეიძლება განისაზღვროს პილბერტის ფილტრის სიხშირული მახასიათებლის ფურიეს უკუ გარდაქმნით

$$h(n \cdot \Delta t) = \frac{1}{2\pi} \int_{-\pi/2}^{\pi/2} H(\omega) e^{j\omega n \Delta t} d\omega, \quad n = 0, 1, 2, 3, \dots$$

დაუშვათ, რომ $\Delta t = 1$, მაშინ

$$h(n) = \frac{1}{2\pi} \int_{-\pi}^{\pi} H(\omega) e^{j\omega n} d\omega, \quad n = 0, 1, 2, 3, \dots$$

თუ გავითვალისწინებთ პილბერტის ფილტრის სიხშირულ მახასიათებლს

$$H(\omega) = \begin{cases} j, & \omega < 0 \\ 0, & \omega = 0 \\ -j, & \omega > 0 \end{cases}$$

და ინტეგრირების მთელი ინტერვალს დაგყობთ დადებით და უარყოფით არეებად, მაშინ მივიღებთ:

$$h(n) = \frac{1}{2\pi} \int_{-\pi}^0 j e^{j\omega n} d\omega + \frac{1}{2\pi} \int_0^\pi (-j) e^{j\omega n} d\omega = \frac{j}{2\pi} \left[\int_{-\pi}^0 e^{j\omega n} d\omega + \int_0^\pi e^{j\omega n} d\omega \right].$$

ინტეგრალების ამოხსნის შედეგად მივიღებთ:

$$\begin{aligned}
 h(n) &= \frac{j}{j2\pi n} [1 - e^{-j\pi n} - e^{j\pi n} + 1] = \frac{1}{2\pi n} [2 - (e^{-j\pi n} + e^{j\pi n})] = \frac{2}{2\pi n} \left[1 - \frac{e^{-j\pi n} + e^{j\pi n}}{2} \right] = \\
 &= \frac{1}{\pi n} [1 - \cos(\pi n)]
 \end{aligned}$$

ამრიგად მივიღეთ პილბერტის ციფრული ფილტრის იმპულსური მახასიათებელი, რომელიც განისაზღვრება შემდეგი გამოსახულებით:

$$h(n) = \frac{1}{\pi n} [1 - \cos(\pi n)].$$

როგორც ამ გამოსახულებიდან ჩანს, ლურჯი $n = 0, 2, 4, 6, \dots$ დროს პილბერტის ციფრული ფილტრის იმპულსური მახასიათებელი ნულის ტოლია, ხოლო როცა n კენტია $n = 1, 3, 5, \dots$ მაშინ $h(n) = 2/(\pi n)$.

შეიძლება დავასკვნათ, რომ პილბერტის ციფრული ფილტრი წარმოადგენს იდეალურ ფართოზოლიან ფაზამაბრუნებელს და როგორც ყველა იდეალური ფილტრი ფიზიკურად არარეალიზებადია. უნდა აღინიშნოს, რომ ფაზის მობრუნებასთან ერთად პილბერტის ფილტრი აღმოფხვრის სიგნალის მუდმივ მდგენელს.

რადგან პრაქტიკაში უსასრულო რიგის პილბერტის ციფრული ფილტრის გამოყენება შეუძლებელია, ამიტომ სასრულო რიგის პილბერტის ციფრული ფილტრი, იდეალურ ფილტრთან შედარებით, იწვევს ფილტრის სიხშირული მახასიათებლის დამახინჯებას, რაც გამოიხატება უარყოფით არეში ანალიტიკური სიგნალის სპექტრის არასრულ ჩახშობაში.

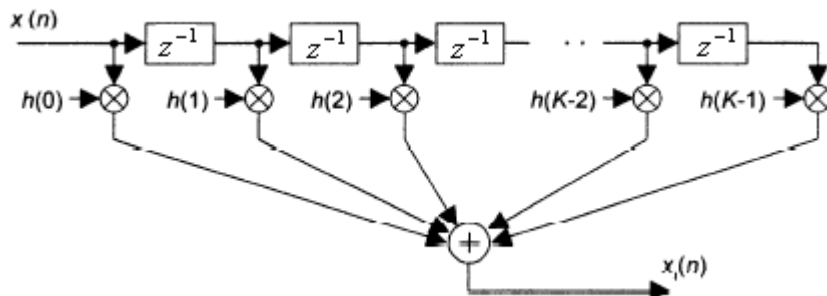
11.5 დისკრეტული პილბერტის გარდაქმნის პროექტირება

დისკრეტული პილბერტის გარდაქმნა შეიძლება რეალიზირებული იყოს როგორც დროით ასევე სიხშირულ არებში. განვიხილოთ ორივე მათგანი.

1. პილბერტის გარდაქმნა დროით არეში. გავიხსენოთ, რომ $x_i(n)$ დისკრეტული სიგნალი შეიძლება მივიღოთ $x(n)$ და $h(k)$ სიგნალების ნაკეცით. ანალიტიკურად ეს გამოისახება შემდეგნაირად:

$$x_i(n) = \sum_{k=-\infty}^{\infty} h(k)x(n-k).$$

ეს იმას ნიშნავს, რომ პილბერტის გარდაქმნა შეიძლება რეალიზირებული იყოს დისკრეტული არარეალურსიული ფილტრის საშუალებით, რომელიც წარმოდგენილია შემდეგ ნასაზე:



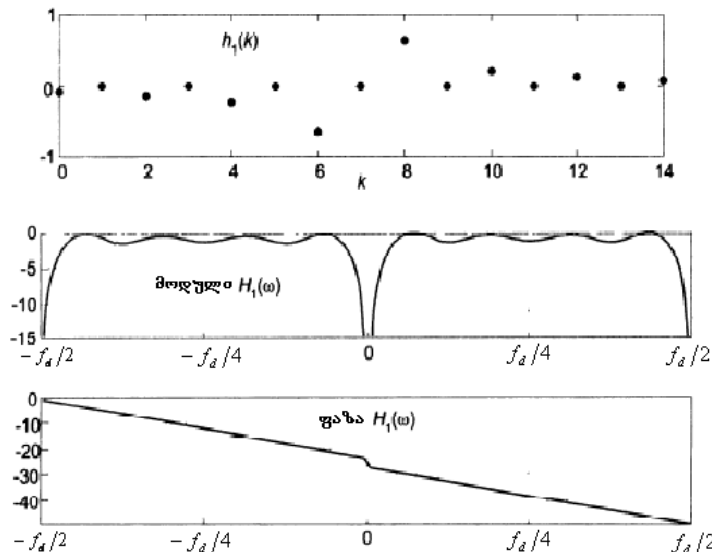
ნახ. 11.7

როგორც ვხედავთ პილბერტის გარდაქმნა დაიყვანება მისი იმპულსური $h(k)$ მახასიათებლის განსაზღვრაში, რომლის საშუალებითაც შესაძლებელია ნახ. 11.1-ზე მოყვანილი სქემის რეალიზირება.

დასაწყისათვის უნდა გადავწყვიტოთ $h(k)$ კენტი თუ ლუწი სიგრძისა უნდა იყოს. უნდა გვახსოვდეს, რომ არარეკურსიული ფილტრების რეალიზაციას გააჩნიათ კენტი ან ლუწი სიგრძის ანტისიმეტრიული კოეფიციენტები (შესაბამისად III და IV ტიპის ფილტრები). კენტი სიგრძის დროს $|H(0)|=0$ და $|H(\omega_d/2)|=0$. ლუწი სიგრძის დროს გვექნება: $|H(0)|=0$ და $|H(\omega_d/2)|$ -ს შეზღუდვა არ გააჩნია.

ყოველივე ეს გვიჩვენებს, რომ პილბერტის გარდაქმნის ამპლიტუდერ-სის შირული მახასიათებელი კენტი სიგრძის დროს ნულის ტოლია როგორც ნულოვან სის შირეზე, ასევე დისკრეტიზაციის სის შირის ნახევარზე. რაც შევხება ლუწი რაოდენობის განშტოების მქონე პილბერტის გარდაქმნას მისი ამპლიტუდერ-სის შირული მახასიათებელი ნულოვან სის შირეზე ყოველთვის ნულის ტოლია. განვიხილოთ რამოდენიმე მაგალითი.

ნახ. 11.8-ზე ნაჩვენებია პილბერტის გარდაქმნის ამპლიტუდერ-სის შირული მახასიათებელის თანმიმდევრობა ($n=15$), რომელთა კოეფიციენტები აღნიშნულია $h_1(k)$ სიმბოლოთი.



ნახ. 11.8

ნახ. 11.8-დან გამომდინარე შეგვიძლია გავაკეთოდ შემდეგი დასკვნები:

1. კენტი სასრულო რაოდენობის იმპულსური მახასიათებლის რეალიზაციას გააჩნია ნულოვანი მნიშვნელობის ამპლიტუდერ-სის შირული მახასიათებელი ნულოვან და $\pm f_d/2$ პც სის შირეებზე. ეს იმას ნიშნავს, რომ კენტი რაოდენობის იმპულსური მახასიათებლები (III ტიპის ფილტრი) მოქმედებენ ისე, როგორც ზოლოვანი ფილტრი.

2. $H_1(\omega)$ გაშვების ზოლში გააჩნია პულსაცია. ეს მოსალოდნებლია, რადგან ჩვენ არ შეგვიძლია $h_1(k)$ უსასრულო თანმიმდევრობის გამოყენება და ამიტომ დროის არეში იმპულსური მახასიათებლის წაკვეთა იწვევს სის შირულ არეში პულსაციას (გიბსის მოვლენა). როგორც ვიცით პულსაციის ჩაქრობა შესაძლებელია თუ $h_1(k)$ თანმიმდევრობას გავამრავლებთ ფანჯარაზე, თუმცა ეს

ა. ყუბანეიშვილი ბიოსიგნალების ციფრული დამუშავება

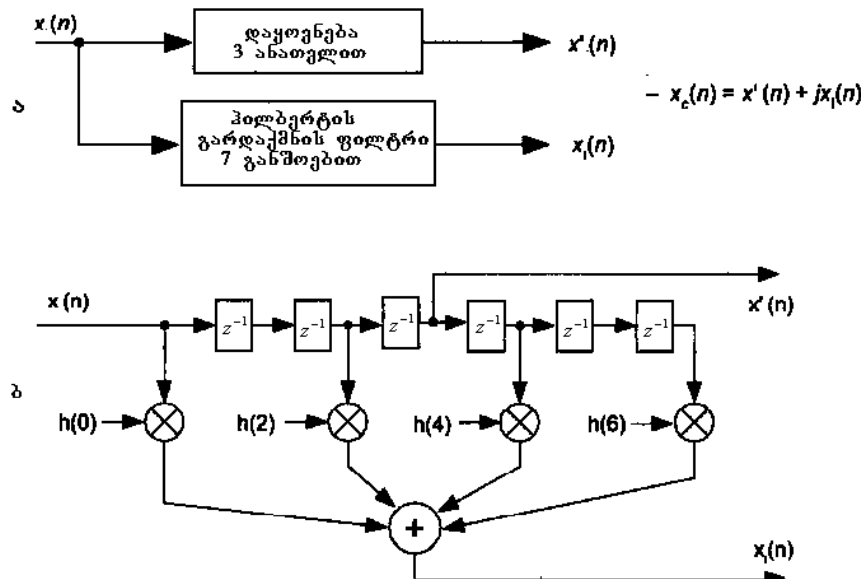
მოვლენა იწვევს $H_1(\omega)$ -ს გატარების ზოლის შემცირებას და ამიტომ საჭირო ხდება კოეფიციენტების რაოდენობის გაზრდა.

3. ძალზე ძნელია პილბერტის გარდაქმნის გამოყენება დაბალსიხშირიანი სიგნალისათვის. ჩვენ შეგვიძლია გატარების ზოლის რამდენადმე გაზრდა და შევამციროთ $H_1(\omega)$ -ს გარდამავალი ზოლის სიგანე, მაგრამ ყოველივე ეს მოითხოვს ფილტრის სიგრძის მნიშვნელოვან გაზრდას.

4. ფაზურ-სიხშირული $H_1(\omega)$ მახასიათებელი წრფივია (იმპულსური მახასიათებლის სიმერტიულობის გამო), რომლის დახრილობა პროპორციულია დაყოვნებაზე, რომელსაც განიცდის სიგნალი არარეექურსიულ ფილტრში გავლის დროს. ფაზურ-სიხშირული $H_1(\omega)$ მახასიათებელის წყვეტა 0 პრ დროს შეესაბამება π რადიანს.

ანალიტიკური სიგნალის წარმოქმნისას საჭიროა $H_1(\omega)$ არსებული წრფივი ფაზური წანაცვლების (ძვრის) კომპესაცია. კერძოდ, დროში მუდმივი დაყოვნება, რომელიც ფილტრის ჯგუფურ დაყოვნების ტოლია. ეს შეიძლება გაკეთდეს საწყისი $x(t)$ სიგნალის დროში დაყოვნებით, რომელიც $h_l(k)$ იმპულსური მახასიათებლის მქონე პილბერტის გარდაქმნის ჯგუფურ დაყოვნების ტოლია.

ნახ. 11.9 წარმოდგენილია არარეექურსიული ფილტრის საშუალებით კომპლექსური $x_c(n)$ თანმიმდებრობის წარმოქმნის სქემა, რომელსაც გაანია 7 განშტოება.

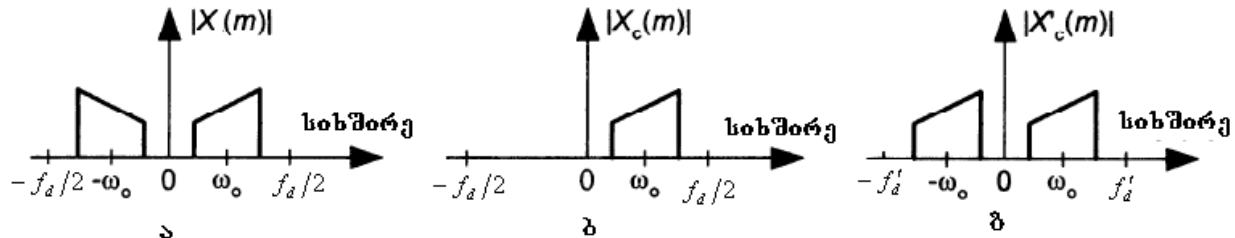


ნახ. 11.9

რეპურსიული ფილტრისათვის ჯგუფური დაყოვნება განისაზღვრება ფორმულით: $G = (k-1)/2$, სადაც k – ფილტრის განშტოების რაოდენობაა. ნახ. 11.9-ზე ნაჩვენებია კომპლექსური $x_c(n)$ თანმიმდებრობის წარმოქმნის ბლოკ-სქემა, სადაც ხდება $x(n)$ დაყოვნება $G = (7-1)/2 = 3$ ანათვლით, რომლის შედეგადაც ვდებულობთ დაყოვნებულ $x'(n)$ თანმიმდევრობას.

თუ ჩვენ ვახდენთ ნახ. 11.9-ს სქემის პროგრამულად მოდულირებას, მაშინ დაყოვნებული $x'(n)$ თანმიმდევრობის მიღება შესაძლებელია 3 ნულოვანი ანათვლის შეტანით $x(n)$ თანმიმდევრობის დასაწყისში.

2. პილბერტის გარდაქმნა სიხშირულ არეში. პილბერტის გარდაქმნა სიხშირულ არეში მდგომარეობს შემდეგში. N სიგრძის დისკრეტული $x(n)$ ანალიტიკური თანმიმდევრობიდან დებულობენ $X(\omega)$ სპექტრს, რომელიც ნაჩვენებია ნახ. 11.10ა-ზე.



ნახ. 11.10

შემდეგ ვქმნით ახალ სპექტრს $X_c(\omega) = 2X(\omega)$, რომლის უარყოფით სიხშირეებსანულებენ, რის შედეგადაც ვდებულობთ ცალმხრივ $X_c(\omega)$ სპექტრს (ნახ. 11.10ბ). მიღებულ $X_c(\omega)$ სპექტრის მნიშვნელობებს ვყოფთ $X_c(0)$ მუდმივ მდგენელზე და $X_c(N/2)$ სიდიდეს 2 რიცხვზე. საბოლაოდ $X_c(\omega)$ სპექტრიდან დროით არეში ფურიეს უკუგარდაქმნით ვდებულობთ ანალიტიკურ $x_c(n)$ თანმიმდევრობას. $x_c(n)$ თანმიმდევრობის ნამდვილი ნაწილი წარმოადგენს საწყის $x(n)$ თანმიმდევრობას, ხოლო წარმოსახვითი $x_c(n)$ წარმოადგენს $x(n)$ თანმიმდევრობის პილბერტის გარდაქმნას.

სიხშირულ არეში ანალიტიკური სიგნალის მიღების პირდაპირი მეთოდით გამოყენებისას მსედველობაში უნდა მივიღოთ შემდეგი:

1. სასურველია $x(n)$ თანმიმდევრობის განხომილება ორის ხარისხის ტოლი იყოს, რათა ეფექტურად იყოს ფურიეს სწრაფი გარდაქმნის გამოყენება.

2. $X_c(\omega)$ სპექტრის თანმიმდევრობის სიგრძე ტოლი უნდა იყოს საწყისი $X(\omega)$ სპექტრს თანმიმდევრობის სიგრძისა. უნდა გვახსოვდეს, რომ უარყოფითი სიხშირეების განულებები არ ნიშნავს მათ გამორიცხვას მასივიდან.

3. $X_c(\omega) = 2X(\omega)$ ტოლობაში მარავლი 2 ამპლიტუდის ორჯერ დაჭვეითობასა აკომპესირებს, რაც გამოწვეულია უარყოფით სიხშირეებზე სპექტრის ენერგიის დანაკარგებით.

4. სიგნალების ციფრული დამუშავების სწრაფი მიკროსქემების და ფურიეს სწრაფი დისკრეტული გარდაქმნის კონვეირული მეთოდების გამოჩენამ ანალიტიკური სიგნალის მიღების ზემოდ განხილულ სქემა მისი პრაქტიკაში გამოყენებისათვის შეიძლება აღმოჩნდეს სიცოცხლისუნარიანი.

შენიშვნა. პილბერტის გარდაქმნის ტრადიციული მეთოდები განკუთვნილია წრფივი სტაციონარული სიგნალებისა და სისტემებისათვის. მხოლოდ ბოლო ათეულ წლებში მიმდინარეობს ინტესიური მუშაობა არასტაციონარული პროცესებისათვის პილბერტის გარდაქმნის დამუშავება, რომელსაც პილბერტ-ჰუნის გარდაქმნა ეწოდება. ეს მეთოდი 1995წ აშშ შემოგვთავაზა ნ. ჰუნმა ტაიფუნების ზედაპირული ტალღების შესასწავლად. დღეისათვის მიმდინარეობს გარდაქმნის მათემატიკური თეორიის დამუშავება.

12. მოდულაცია და დემოდულაცია

ბიოსიგნალების უშუალოდ გადაცემა კავშირის არხების საშუალებით არ შეიძლება. საქმე იმაში კი არაა, რომ ეს სიგნალები დაბალი ამპლიტუდებისაა, არამედ იმაში, რომ ისინი შედარებით დაბალსისშირიანი სიგნალები არიან. გარდა ამისა, ხშირად კავშირის ერთი და იმავე არხით საჭიროა ერთდროულად რამოდენიმე სხვადასხვა სისტემის სიგნალის გადაცემა. ამ პრობლემის გადაწყვეტის ერთ-ერთ მეთოდს წარმოადგენს არხების სისტემული დაყოფა, რომლის დროსაც სხვადასხვა სიგნალებს უკავიათ გადაუკვეთავი სისტემული ზოლები. იმისათვის, რომ მოვახდინოთ სიგნალების ეფექტური გადაცემა, საჭიროა ამ სიგნალების სპექტრი დაბალი სისტემის არედან გარდავქმნათ საკმაოდ მაღალსისტემულ არეში. ამ პროცედურას მოდულაცია ეწოდება.

მოდულაცის არსი შემდეგში მდგომარეობს. ფორმირდება გარკვეული მაღალსისტემული რხევა (ძირითად პარმონიული), რომელსაც გადამტანი რხევა (სიგნალი), ანუ უბრალოდ გადამტანი ეწოდება, რომლის რომელიმე პარამეტრი დროში იცვლება საწყისი სიგნალის პროპორციულად. გადამტან სიგნალად შეიძლება გამოვიყენოთ:

- პარმონიული სიგნალი. ამ შემთხვევაში მოდულაციას ეწოდება ანალოგური ან უწყვეტი;
- პერიოდული იმპულსების თანმიმდევრობა. ამ შემთხვევაში მოდულაციას ეწოდება იმპულსური მოდულაცია.

1. ანალოგური მოდულაციის სახეები:
 - ამპლიტუდური მოდულაცია, როცა გადამტანის ამპლიტუდა იცვლება;
 - სისტემული მოდულაცია, როცა გადამტანის სისტემე იცვლება;
 - ფაზური მოდულაცია, როცა გადამტანის ფაზა იცვლება.
2. იმპულსური მოდულაციის სახეები:
 - ამპლიტუდურ-იმპულსური მოდულაცია, როცა გადამტანის იმპულსების ამპლიტუდა იცვლება ;
 - სისტემულ-იმპულსური მოდულაცია, როცა გადამტანის იმპულსების სახშირე იცვლება;
 - ფაზურ-იმპულსური მოდულაცია, როცა გადამტანის იმპულსების ფაზა იცვლება;
 - განივ-იმპულსური მოდულაცია, როცა გადამტანის იმპულსების ხანგრძლივობა იცვლება.

საწყის სიგნალს სამოდულაციო სიგნალი ეწოდება, ხოლო მიღებულ დროში ცვალებად პარამეტრებიან რხევას ეწოდება მოდულირებული სიგნალი. უკუპროცესს – მოდულირებული სიგნალიდან სამოდულაციო სიგნალის მიღებას ეწოდება დემოდულაცია.

მოდულირებული სიგნალიდან საწყისი სიგნალის მისაღებად გამოიყენება გადამტანი სიგნალის რომელიმე განმასხვავებელი ნიშანი. ასეთ ნიშანდ ხშირად იყენებენ გადამტანი სიგნალის სისტემეს. ასეთ შემთხვევაში ადგილი აქვს სიგნალის სისტემულ გაყოფას. სიგნალის სისტემული გაყოფისათვის იყენებენ სისტემულ ფილტრებს, რომლებიც ატარებენ გადამტანი სიგნალის სისტემეს.

დაუშვათ კავშირის არხით გვინდა გადავცეთ დაბალი სისტემის $x(t)$ სიგნალი. ჩავწეროთ ზოგადი სახის მაღალსისტემიანი პარმონიული რხევა

$x(t) = A \cos(\omega_0 t + \varphi_0)$, რომელსაც გააჩნია სამი პარამეტრი: ამპლიტუდა A , სიხშირე ω_0 და საწყისი ფაზა φ_0 . თითოეულ მათგანს შეუძლია დაკავშირებული იყოს სამოდულაციო სიგნალთან, რის გამოც მიიღება მოდულაციის სამი სახე: ამპლიტუდური, სიხშირული და ფაზური. სიხშირული და ფაზური მოდულაციები ძლიერ არიან ურთიერთდაკავშირებულნი, რადგან ორივე მოქმედებს კოსინუს ფუნქციაზე. ამიტომ ამ ორი ტიპის მოდულაციას გააჩნიათ საერთო დასახელება – ჯუთხური მოდულაცია.

თანამედროვე ციფრულ გადამცემ სისტემებში გავრცელებულია კვადრატული მოდულაცია, რომლის დროსაც ერთდროულად იცვლებიან სიგნალის ამპლიტუდა და ფაზა. ჩვენ განვიხილავთ ანალოგურ მოდულაციას, კერძოდ ამპლიტუდურ, სიხშირულ და ფაზურ მოდულაციებს.

12.1 ამპლიტუდური მოდულაცია

ამპლიტუდური მოდულაციის დროს იცვლება გადამტანის რხევის ამპლიტუდა:

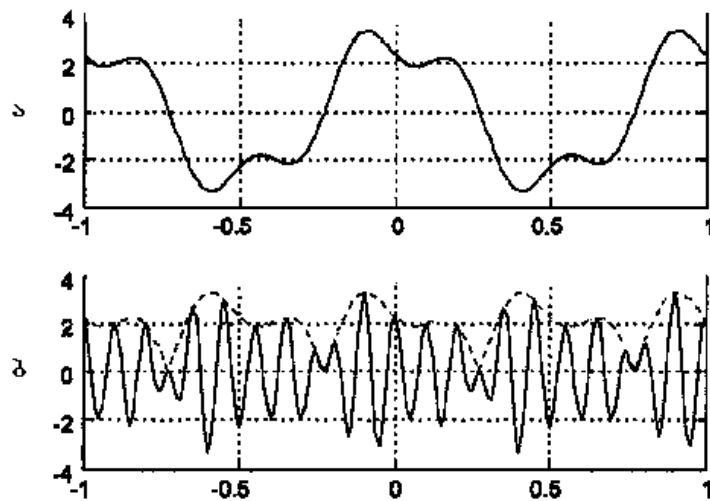
$$x_M(t) = A(t) \cos(\omega_0 t + \varphi_0).$$

ამპლიდუდით მოდულირებული $x_{AM}(t)$ სიგნალი წარმოადგენს სამოდულაციო სიგნალის მომვლების $A(t)$ და გადამტანის პარმონიული $\cos(\omega_0 t + \varphi_0)$ რხევის შევსების ნამრავლს. ამპლიტუდური მოდულაციის დროს კავშირი $A(t)$ მომვლებსა და სამოდულაციო $x(t)$ სიგნალს შორის განისაზღვრება შემდეგნაირად:

$$A(t) = A_m [1 + m x(t)],$$

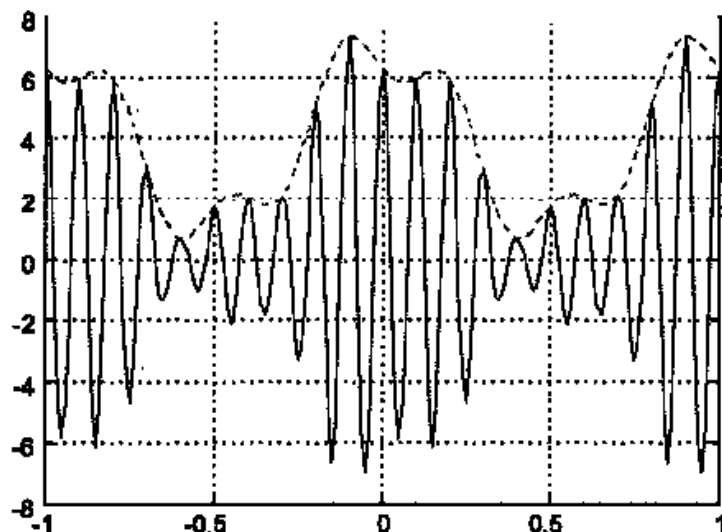
სადაც A_m – მუდმივი კოეფიციენტია, რომელიც ტოლია გადამტანი სიგნალის ამპლიტუდისა, m – ამპლიტუდური მოდულაციის კოეფიციენტია (12.3).

თუ $x_{AM}(t)$ სიგნალის $A(t)$ ამპლიტუდას გავხდით სამოდულაციო $x(t)$ სიგნალის პროპორციულს, მაშინ შეიძლება წარმოიშვას შემდეგი პრობლემა. როგორც წესი, სამოდულაციო სიგნალი ნიშანვლადი სიგნალია. განვიხილოთ ასეთი სიგნალი $x(t) = 3 \cos(2\pi) - \sin(6\pi + \pi/4)$ (ნახ. 12.1 ა)



ნახ. 12.1

ნახ. 12.1 ბ – დან ჩანს, რომ დემოდულაციის დროს გამოყოფილი ამპლიტუდის მოვლები (წყვეტილი ხაზები) აღმოჩნდება არასწორი – იგი შეესაბამება საწყისი სიგნალის მოდულს. ამიტომ სიგნალის ამლიტუდური მოდულაციის დროს სამოდულაციო $x(t)$ სიგნალს უნდა დაუმატოთ მუდმივი მდგრენელი, რათა იგი გახდეს ერთნიშნიანი. $A(t) = A_0 + kx(t)$. ნახ. 12.2-ზე წარმოდგენილ სიგნალისათვის საკმარისია $k = 4$.



ნახ. 12.2

ეხლა მოვლების ფორმა შეესაბამება სამოდულაციო სიგნალს ზუსტად მუდმივი მდგრენელამდე. რაც შეეხება მუდმივ მდგრენელს იგი დემოდულაციის შემდეგ ადვილად შეიძლება გამოვრიცხოთ სიგნალიდან. ამრიგად, სიგნალის ამპლიტუდური მოდულაცია საბოლაოდ შეგვიძლია ჩავწეროთ შემდეგნაირად:

$$x_{AM}(t) = [A_0 + kx(t)] \cos(\omega_0 t + \varphi_0). \quad (12.1)$$

ერთტონალური ამპლიტუდური მოდულაცია. ამპლიტუდური მოდულაციის და მისი სპექტრული სტრუქტურის არსის გასაგებად სასარგებლოა განვიხილოთ მარტივი შემთხვევა, როცა სამოდულაციო სიგნალს წარმოადგენს პარმონიული რხევა Ω სიხშირით და Φ_0 ფაზით,

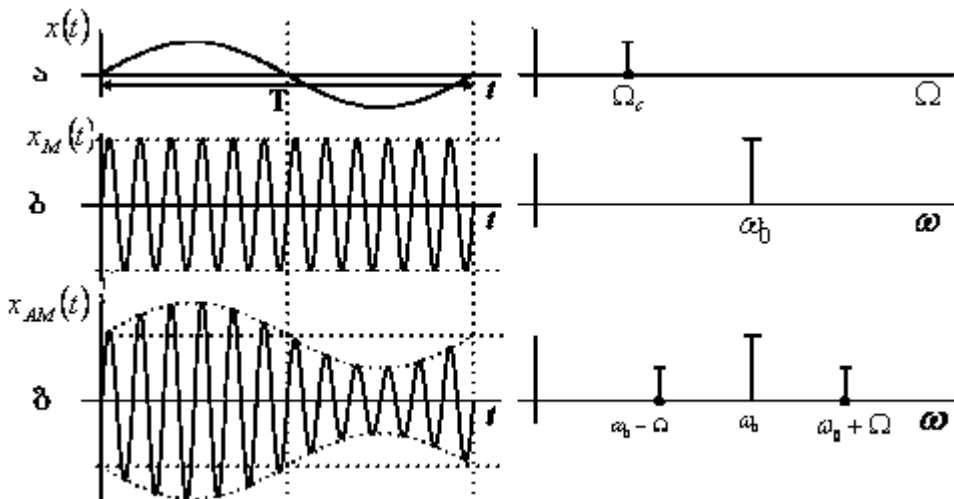
ა- ყუბანეიშვილი ბიოსიგნალების ციფრული დამუშავება

$$x(t) = A_M \cos(\Omega t + \Phi_0),$$

ხოლო გადამტან სიგნალს გააჩნია ერთი ღია სიხშირე φ_0 – ფაზით. მაშინ (12.1) ფორმულა ჩაიწერება შემდეგნაირად:

$$x_{AM}(t) = [A_0 + A_M \cos(\Omega t + \Phi_0)] \cos(\omega_0 t + \varphi_0), \quad (12.2)$$

სადაც $\Omega \ll \omega_0$. იმ შემთხვევაში, როცა სამოდულაციო სიგნალს წარმოადგენს ჰარმონიული რხევა, ვდებულობთ ე.წ. ერთტონალურ ამპლიტუდურ მოდულაციას, რომელიც წარმოდგენილია შემდეგ ნახაზზე :



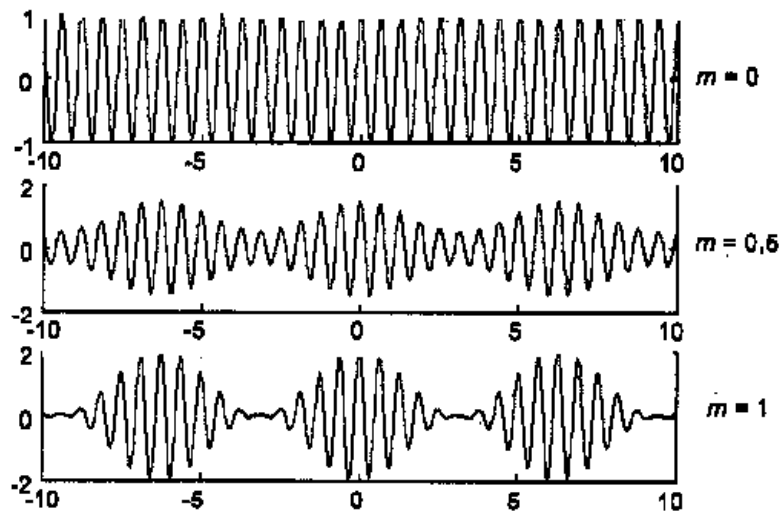
სამოდულაციო სიგნალის ამპლიტუდის A_M ფარდობა გადამტანი სიგნალის A_0 ამპლიტუდასთან

$$m = \frac{A_M}{A_0} \quad (12.3)$$

ეწოდება მოდულაციის კოეფიციენტი ან მოდულაციის სიღრმე. (12.3)
გამოსახულების გათვალისწინებით მივიღებთ:

$$x_{AM}(t) = A_0 [1 + m \cos(\Omega t + \Phi_0)] \cos(\omega_0 t + \varphi_0). \quad (12.4)$$

ნახ. 12.3 ნაჩვენებია სიგნალის ამპლიტუდური მოდულაცია სხვადასხვა მოდულაციის კოეფიციენტისათვის.

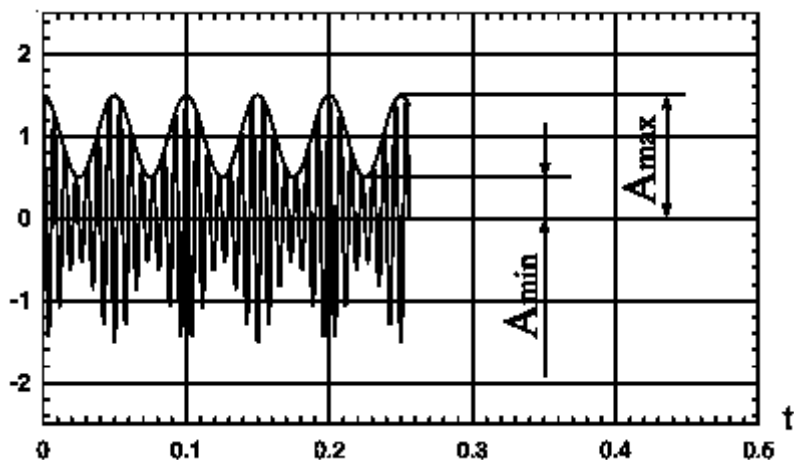


ნახ. 12.3

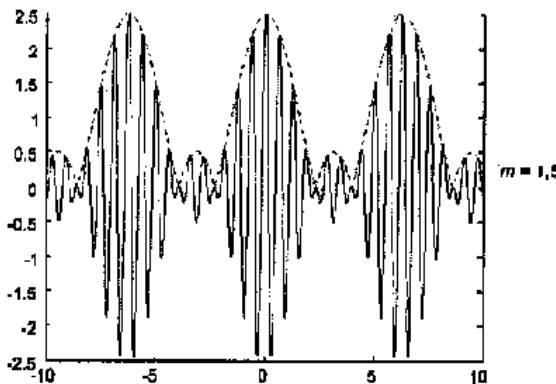
ცხადია, რომ ამპლიტუდით მოდულირებული სიგნალის მოვლების მაქსიმალური მნიშვნელობა მიიღწევა, როცა ორივე კოსინუსი ერთის ტოლია. ე.ი. $A_{\max} = A(1+m)$. მომვლების მინიმალური მნიშვნელობა შეესაბამება იმ მომენტებს, როცა მოდულირებული სიგნალის კოსინუსი -1 ტოლია. ე.ი. $A_{\min} = A(1-m)$. აქედან გამომდინარეობს მოდულაციის კოეფიციენტის განსაზღვრის ფორმულა:

$$m = \frac{A_{\max} - A_{\min}}{A_{\max} + A_{\min}}.$$

ისე როგორც ეს ნაჩვენებია შემდეგ ნახაზზე ($m = 0,5$):



საზოგადოდ მოდულაციის კოეფიციენტი იცვლება $[0;1]$ დიაპაზონში. როცა $m > 1$, მაშინ საქმე გვაქვს გადაჭარბებულ მოდულაციაზე (ნახ. 12.4)



ნახ. 12.4

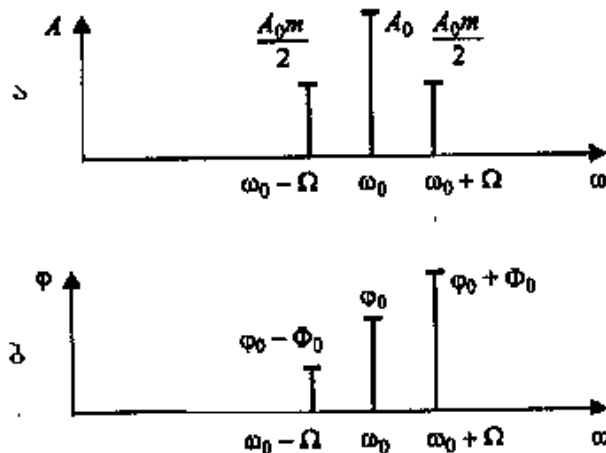
როგორც ამ ნახაზიდან ჩანს ამპლიტუდის მოვლები დამახინჯებულია.

განვიხილოთ ერთტონალური მოდულაციის სპექტრული ანალიზი. ამისათვის (12.4) ფორმულაში თუ გავხსნით ფრჩხილებს და გამოვიყენებო ცნობილ ტრიგონოგეოგრიულ ფორმულას $\cos x \cos y = 1/2[\cos(x+y) + \cos(x-y)]$, მაშინ მივიღებთ:

$$\begin{aligned} x_{AM}(t) &= A_0 \cos(\omega_0 t + \varphi_0) + A_0 m \cos(\Omega t + \Phi_0) \cos(\omega_0 t + \varphi_0) = \\ &= A_0 \cos(\omega_0 t + \varphi_0) + A_0 m / 2 \cos[(\omega_0 + \Omega)t + \varphi_0 + \Phi_0] + A_0 m / 2 \cos[(\omega_0 - \Omega)t + \varphi_0 - \Phi_0] \end{aligned} \quad (12.5)$$

მიღებული შედეგი გვიჩვენებს, რომ სიგნალის ამპლიტუდური მოდულაცია შედგება სამი ჰარმონიული მდგრელისაგან. ერთი მათგანი წარმოადგენს გადამტანის რხევას ω_0 სიხშირით, ხოლო დანარჩენი ორი, რომლებსაც გვერდითი სიხშირეები ეწოდებათ, ჩამორჩებიან ω_0 სიხშირეს ზევით და ქვევით Ω სიხშირით. გადამტანის რხევის ამპლიტუდა A_0 -ის ტოლია და იგი არ არის დამოკიდებული მოდულირებული სიგნალის დონეზე. გვერდითი სიხშირეების ამპლიტუდები $A_0 m / 2$ მოდულაციის კოეფიციენტის პროპორციულია.

გვერდითი მაღალი სიხშირეებისათვის ხდება გადამტანის და მოდულირებული სიგნალების საწყისი ფაზების აჯამვა $(\omega_0 + \Omega)$, ხოლო დაბალი სიხშირეებისათვის – გამოკლება $(\omega_0 - \Omega)$. მოდულირებული სიგნალის ამპლიტუდური და ფაზური სპექტრები მოყვანილია ნახ. 12.5

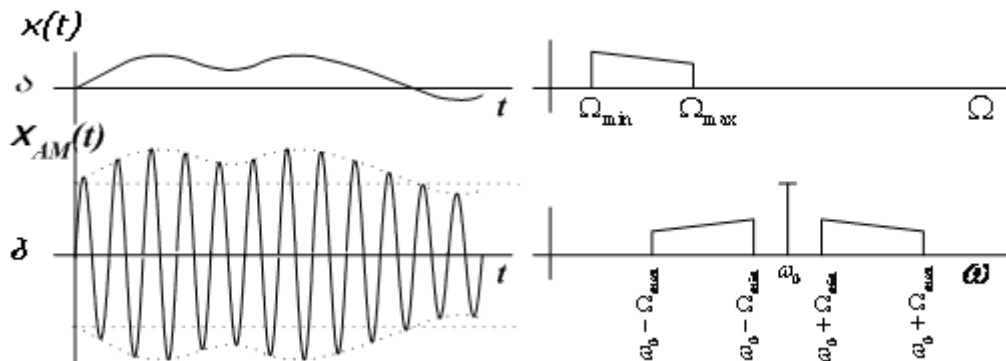


ნახ. 12.5

სადაც δ – ამპლიტუდური და δ – ფაზური სპექტრებია. ჩანს, რომ ამპლიტუდით მოდულირებული სიგნალის სპექტრის სიგანე ორჯერ მეტია სამოდულაციო სიგნალის სიხშირეზე: $\Delta\omega = 2\Omega$.

ერთტონალური ამპლიტუდური მოდულაცია პრაქტიკაში იშვიათად გვხდება. უმეტეს შემთხვევაში სამოდულაციო სიგნალი $x(t)$ წარმოადგენს დროზე დამოკიდებულ რთულ ფუნქციას. ცნობილია, რომ თუ გამოვიყენებთ ფურიეს მწყრივს ან ფურიეს გარდაქმნას, მაშინ ნებისმიერი რთული ფუნქცია შეიძლება წარმოვადგინოთ სასრულო ან უსასრულო პარმონიული რხევების ჯამის სახით. $x(t)$ სიგნალის ყოველი Ω_i სიხშირის პარმონიული მდგრენელი ამპლიტუდური მოდულაციის დროს ქმნის $\omega_0 \pm \Omega_i$ სიხშირის ორ გვერდით მდგრენელს.

Ω_i , $i = 1, 2, \dots, N$ სიხშირეების მრავლობითი პარმონიკები შესაბამისად წარმოქმნიან $\omega_0 \pm \Omega_i$, $i = 1, 2, \dots, N$ გვერდით სიხშირეებს. თვალსაჩინოებისათვის სპექტრის ასეთი გარდაქმნა ამპლიტუდური მოდულაციის დროს ნაჩვენებია შემდეგ ნახაზზე:



როგორც ნახაზიდან ჩანს, ამპლიტუდით მოდულირებული სიგნალის სპექტრი გარდა გადამტანის ω_0 სიხშირისა შეიცავს გვერდით ზედა და ქვედა არეებს. ამ შემთხვევაში ზედა გვერდითი სიხშირის არე წარმოადგენს სამოდულაციო $x(t)$ სიგნალის კოპირებულ სპექტრს, რომელიც დაძრულია ზედა სიხშირეების არეში ω_0 სიდიდით. ქვედა სიხშირული არე იმუორებს $x(t)$ სიგნალის სპექტრულ დიაგრამას, სადაც სიხშირეები განლაგებულნი არიან სარკისებრად გადამტანის ω_0 სიხშირის მიმართ.

ერთტონალური ამპლიტუდური მოდულაციის სიმძლავრე. განვიხილოთ სიგნალის ერთტონალური ამპლიტუდური მოდულაციის (12.5) გამოსახულება. გავიხსენოთ, რომ A ამპლიტუდის მქონე პარმონიული რხევის სიმძლავრე ტოლია $A^2/2$ სიდიდისა. გარდა ამისა, რადგან სხვადასხვა სიხშირის პარმონიული რხევები არაკორელირებულნი არიან, ამიტომ მათი სიმძლავრეები იჯამება. აქედან გამომდინარე, (12.5) გამოსახულების საშუალო სიმძლავრე ტოლია:

$$\bar{P} = \frac{A_0^2}{2} + \frac{A_0^2 m^2}{4}. \quad (12.6)$$

როგორც ვხედავთ, მიღებულ (12.6) გამოსახულების პირველი მდგრენელი არ არის დამოკიდებული მოდულაციის კოეფიციენტზე და ამიტომ ის წარმოადგენს არამოდულირებული გადამტანის სიმძლავრეს. სასარგებლო სიმძლავრე

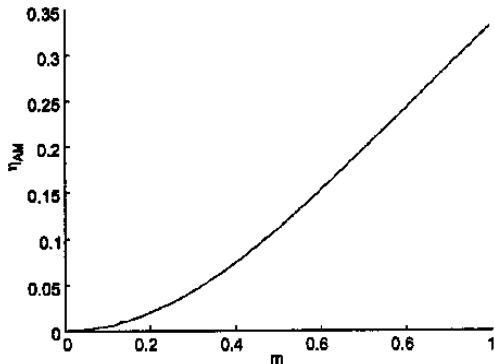
ა- ყუბანეიშვილი ბიოსიგნალების ციფრული დამუშავება

თაგმოყრილია მხოლოდ მოდულირებული სიგნალის გვერდით სიხშირეებზე (12.6 ფორმულის მეორე მდგენელი).

შემოვიტანოთ ამპლიტუდური მოდულაცის მარგი ქმედების კოეფიციენტის ცნება, რომელიც განისაზღვრება გვერდითი სიხშირეების სიმძლავრის ფარდობით სიგნალის საერთო სიმძლავრესთან:

$$\eta_{Am} = \frac{A_0^2 \frac{m^2}{4}}{A_0^2 \left(\frac{1}{2} + \frac{m^2}{4} \right)} = \frac{m^2}{m^2 + 2}.$$

ნახ. 12.6 – ზე წარმოდგენილია η_{Am} - ს დამოკიდებულება m – ზე.



ნახ. 12.6

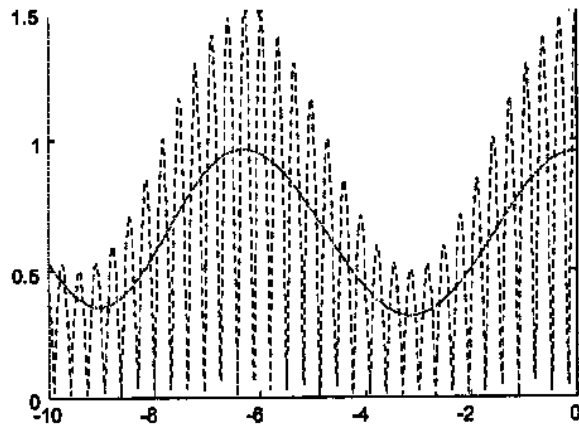
როგორც ნახაზიდან ჩანს, მოდულაციის კოეფიციენტის მაქსიმალური მნიშვნელობის დროს ($m = 1$) მარგი ქმედების კოეფიციენტი მხოლოდ 33%-ია. ე.ი. სიმძლავერის $2/3$ იხარჯება ინფორმაციის თვალსაზრისით უსარგებლო გადამტანი რხევის გადაცემაზე.

სწოდედ ამიტომ, დაბალი მარგი ქმედების კოეფიციენტის და სპექტრის დიდი სიგანის გამო, რომელიც ორჯერ აღემატება სამოდულაციო სიგნალის სპექტრის სიგანეს, ამპლიტუდური მოდულაცია ნაკლებად გამოიყენება პრაქტიკაში. დღეისათვის ამპლიტუდური მოდულაცია გამოიყენება შედარებით დაბალი სიხშირის რადიოსიგნალების და სატელევიზიო გამოსახულებების გადასაცემად.

12.2 ამპლიტუდური მოდულაციის დემოდულაცია

ამპლიტუდურად მოდულირებული სიგნალის დემოდულაცია შეიძლება რამდენიმე მეთოდით. უმარტივესი მეთოდის არსი შემდეგში მდგომარეობს. განისაზღვრება მოდულირებული სიგნალის მოდული და შემდეგ გაგლუვების მეთოდის გამოყენებით მიღება ერთნიშნიანი კოსინუსოიდალური იმპულსები და შემდეგ ხდება მათი გაგლუვება დაბალი სიხშირის ფილტრის საშუალებით. (ნახ. 12.7)

ა. ყუბანეიშვილი ბიოსიგნალების ციფრული დამუშავება



ნახ. 12.7

ცხადია, რომ ეს მეთოდი არ იმუშავებს გადაჭარბებული მოდულაციის დროს. დემოდულაციის შემდეგ მეთოდს სინქრონული დეტექტირება ეწოდება, რომლის არსი მდგომარეობს სიგნალის სიხშირის გადამტანი სიხშირის მქონე საყრდენი რხევის ნამრავლზე:

$$y(t) = x_{AM}(t)\cos(\omega_0 t + \varphi_0) = A(t)\cos^2(\omega_0 t + \varphi_0) = \frac{1}{2}A(t) + \frac{1}{2}A(t)\cos(2\omega_0 t + 2\varphi_0)$$

გამრავლების შედეგი შეიცავს ორ მდგენელს. პირველი არის საძებნი ამპლიტუდური ფუნქცია, ხოლო მეორე – გადამტანის 2-ია სიხშირის მოდულირებული სიგნალი. ეს მაღალი სიხშირის სიგნალი ადვილად შეიძლება ჩაიხშოს, თუ სიგნალს გავატარებთ დაბალი სიხშირის ფილტრში (ნახ. 12.7).

ამ შემთხვევაში მეტად მნიშვნელოვანია საწყისი ფაზის, საყრდენი რხევის სიხშირის და მოდულირებული სიგნალის გადამტანის სიხშირის ზუსტი თანხვედრა. თუ ხდება სიხშირების თანხვედრა, მაგრამ საწყისი ფაზები განსხვავდებიან, მაშინ დაბალსიხშირიანი სიგნალი აღმოჩნდება გამრავლებული ფაზური ცდომილების კოსინუსზე, რაც იწვევს რეგულატორის გამოსავალზე სასარგებლო სიგნალის დონის დაწევას, ხოლო თუ ფაზთაშორისო ცდომილება აღწევს 90° , მაშინ სიგნალი ნულის ტოლი ხდება.

როდესაც ხდება სიხშირული ძვრა გადამტან სიგნალსა და საყრდენ სიგნალს შორის სიტუაცია კიდევ უფრო მძიმდება, კერძოდ გამოსავალი დაბალსიხშირიანი სიგნალი აღმოჩნდება გამრავლებული პარმონიულ რხევაზე, რომლის სიხშირეა სიხშირეთა სხვაობა. ეს საბოლაოდ იწვევს გამოსავალი სიგნალის პულსირებას Δ და სიხშირით. ამ მოვლენას დარტყმები ეწოდება, ხოლო სიხშირეების Δ და სხვაობას – დარტყმის სიხშირე.

გადამტანსა და საყრდენ რხევას შორის სიხშირული და ფაზური სინქრონიზაციის შენარჩუნებისათვის გამოიყენება სპეციალური სისტემები, კერძოდ სიხშირის ფაზური ავტორეგულირების სისტემა.

სინქრონული დეტექტირების დირსებას წარმოადგენს ის, რომ იგი სწორად ახდენს სიგნალის დემოდულაციას მაშინაც კი, როცა ხდება მოდულაციის გადარჭარბება.

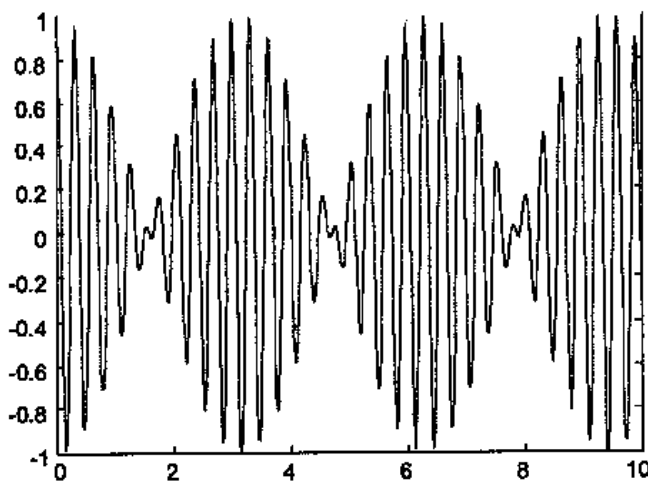
12.3 ამპლიტუდური მოდულაციის ნაირსახეობა

ამპლიტუდური მოდულაციის მახასიათებლების გაუმჯობესებისათვის დამუშავდა რამოდენიმე მოდიფიკაცია. განვიხილოთ ზოგიერთი მათგანი.

1. გადამტანის ჩახშობა. ამპლიტუდური მოდულაციის მარგი ქმედების კოეფიციენტის გაზრდისათვის შეიძლება უარი ვთქვათ გამოუსადეგარ გადამტან რხევაზე, უარი ვთქვათ სამოდულაციო სიგნალზე მუდმივი მდგრენელის დამატებაზე. ასეთ მეთოდს ეწოდება ამპლიტუდური მოდელაცია გადამტანის ჩახშობით:

$$x(t) = x_M(t) \cos(\omega_0 t + \phi_0),$$

რომლის გრაფიკული გამოსახულება წარმოდგენილია ნახ. 12.8



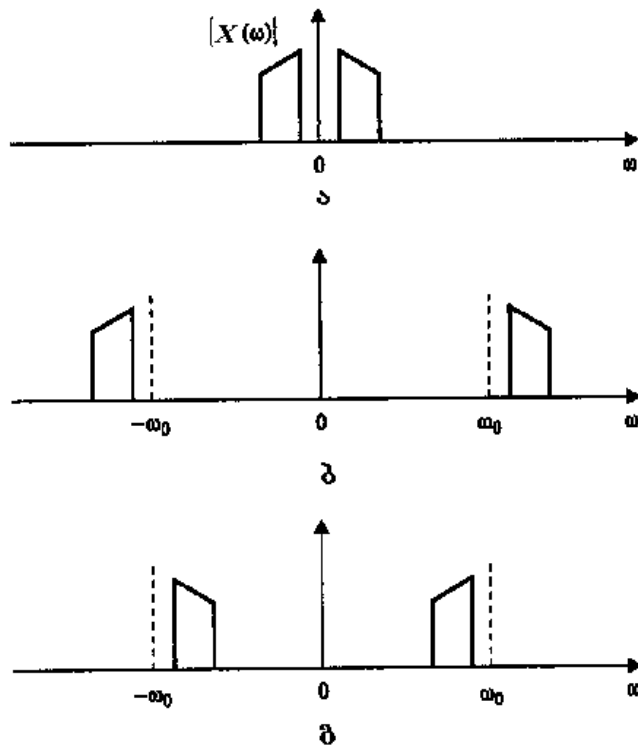
ნახ. 12.8

ენერგეტიკული მოგება საკმაოდ დიდია (მარგი ქმედების კოეფიციენტი 100% ტოლია). მაგრამ, მოდულირებული სიგნალის სპექტრის სიგანე იგივე რჩება, რადგან ხდება გადამტანის საშუალო სიხშირის ჩახშობა, ხოლო გვერდითი სიხშირეები ადგილზე რჩებიან.

ამრიგად, ამპლიტუდური მოდელაციას გადამტანის ჩახშობით, ჩვეულებრივი ამპლიტუდურ მოდელაციასთან შედარებით გააჩნია გარკვეული უპირატესობები. მაგრამ, ამ მეთოდმა პრაქტიკაში ვერ პოვა ფართო გამოყენება იმის გამო, რომ დემოდულაციის დროს წარმოიქმნება გარკვეული პრობლემები. კერძოდ, დემოდულაციის დროს საჭიროა გადამტანის სიხშირის და ფაზის ზუსტი შესაბამისობა საყრდენ რხევასთან.

2. ერთპოლუსიანი მოდულაცია. ზემოდ განხილული ამპლიტუდური მოდულაციის სპექტრის გვერდითი სიხშირეები ერთმანეთის მიმართ სარკისებრად არიან განლაგებული და გააჩნიათ ერთი და იგივე ინფორმაცია. ამიტომ ერთ-ერთი გვერდითი სიხშირე შეგვიძლია გამოვრიცხოთ. ასეთ მოდულაციას ერთპოლუსიანს უწოდებენ.

იმის მიხედვით, თუ რომელი გვერდითი სიხშირე რჩება, ვდებულობთ ერთპოლუსიან მოდულაციას ზედა ან ქვედა გვერდითი სიხშირის ზოლით. ერთპოლუსიანი სიგნალის ფორმირებისათვის განვიხილოთ რამოდენიმე სპექტრული გრაფიკი (ნახ. 12.9)



ნახ. 12.9

სადაც α – სამოდულაციო სიგნალის სპექტრია, δ – ერთმოდულიანი სიგნალის სპექტრი ზედა გვერდითი სიხშირის ზოლით, ϑ – იგივე ქვედა გვერდითი სიხშირის ზოლით.

ამრიგად, ერთპოლუსიან მოდულაციის დროს ხდება სიგნალის სპექტრის დაძვრა გადამტანის არეში. ამლიტუდური მოდულაციასთან შედარებით ხდება ყოველი „ნახევარი“ სპექტრის წანაცვლება თავის მიმართულებით: დადებითი სიხშირეების არეში თე-კენ ან უარყოფითი სიხშირეების არეში $-$ თე-კენ.

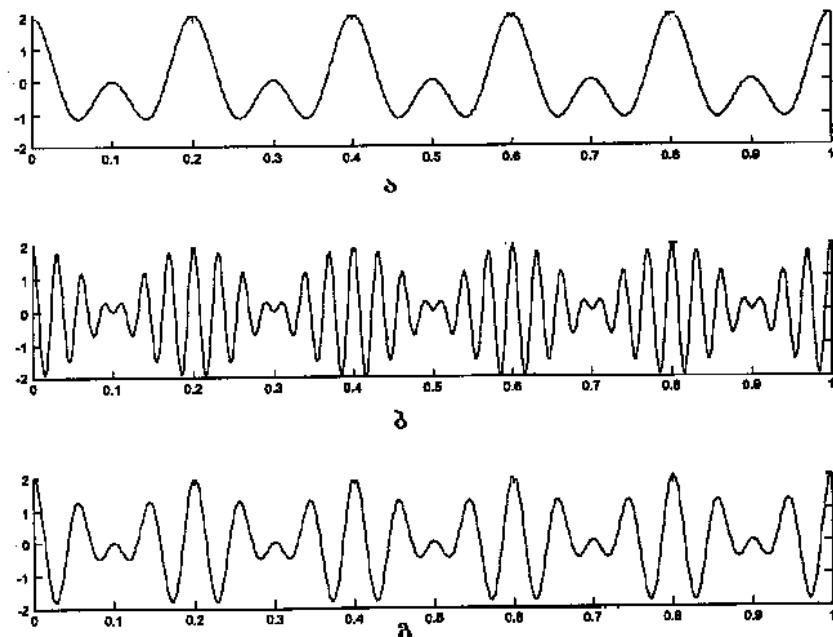
ცხადია, რომ ერთპოლუსიანი სიგნალის სპექტრის სიგანე სამოდულაციო სიგნალის სპექტრის სიგანის ტოლია. ე.ო. ერთპოლუსიანი სიგნალის სპექტრი ორჯერ უფრო ვიწროა ვიდრე ჩვეულებრივი ამპლიტუდური მოდულაციის დროს.

ერთპოლუსიანი მოდულაციის განსახორციელებლად უნდა გამოვიყენოთ პილბერტის გარდაქმნა. პირველ რიგში საჭიროა სამოდულაციო სიგნალიდან მივიღოთ ანალიტიკური სიგნალი, რომელსაც გააჩნია ცალმხრივი სპექტრი. თუ ამ სიგნალს გავამრავლებთ $e^{j\omega t}$ კომპლექსურ სიდიდეზე, მაშინ ხდება ცალმხრივი სპექტრის დაძვრა თე სიხშირით მარჯვნივ, რის შედეგად ფორმირდება ერთპოლუსიანი სიგნალის ცალმხრივი სპექტრი ზედა გვერდითი სიხშირის ზოლით. იმისათვის, რომ ანალიტიკური სიგნალიდან გადავიდეთ ნამდვილ სიგნალზე, საჭიროა ავიღოთ ანალიტიკური სიგნალის ნამდვილი ნაწილი. ანალოგიურად ხდება ქვედა გვერდითი სიხშირის დროს იმ განსხვავებით, რომ ანალიტიკური სიგნალი უნდა გავამრავლოთ $e^{-j\omega t}$ სიდიდეზე (მაშინ სპექტრი გადაადგილდება მარცხნივ უარყოფითი სიხშირეების არეში).

ამრიგად, ერთპოლუსიანი სიგნალი შეიძლება წარმოვადგინოთ როგორც ორი ამპლიტუდით მოდულირებული სიგნალების ჯამი, რომელთა გადამტანის რხევებს გააჩნიათ ერთი და იგივე სიხშირე, ოდონდ ურთიერთმიმართ ფაზით დაძრულნი არიან 90° -ით. იმისდამიხედვით ხდება ამ ორი სიგნალის აჯამვა თუ

გამოკლება ფორმირდება სიგნალი ზედა ან ქვედა გვერდითი სიხშირული ზოლებით.

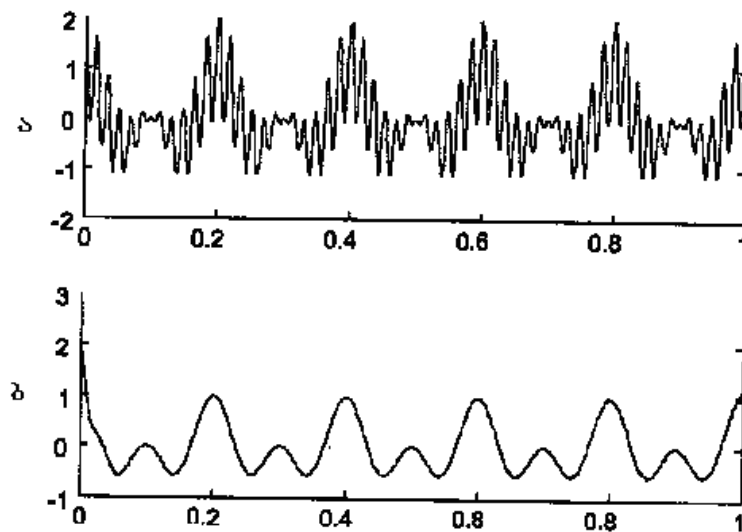
უნდა აღინიშნოს, რომ ერთპოლუსიანი სიგნალის ამპლიტუდების მომვლები განსხვავდება დაბალსიხშირიანი სამოდულაციო სიგნალისაგან. ნახ. 12.10 წარმოდგენილია ორი ჰარმონიკის მქონე სამოდულაციო სიგნალი (ნახ. 12.10 ა)



ნახ. 12.10

ნახ. 12.10ბ ნაჩვენებია სიგნალი ზედა გვერდითი სიხშირით, ხოლო გ – სიგნალი ქვედა გვერდითი სიხშირით.

ერთპოლუსიანი სიგნალის დემოდულაცია. მიუხედავად იმისა, რომ ვიზუალურად ერთპოლუსიანი სიგნალი განსხვავდება ჩვეულებრივი ამპლიტუდით მოდულირებული სიგნალიდან, დემოდულაცია შესაძლებელია იგივე სინქრონული დეტექტირების მეთოდით, კერძოდ სიგნალის საყრდენ რხევაზე გამრავლებით. ნამრავლის შედეგი (ნახ. 12.11ა) შედგება ორი მდგენელისაგან: პირველი არის სამოდულაციო სიგნალი, ხოლო მეორე – ერთპოლუსიანი 2-იანი სიხშირის გადამტანი სიგნალი.



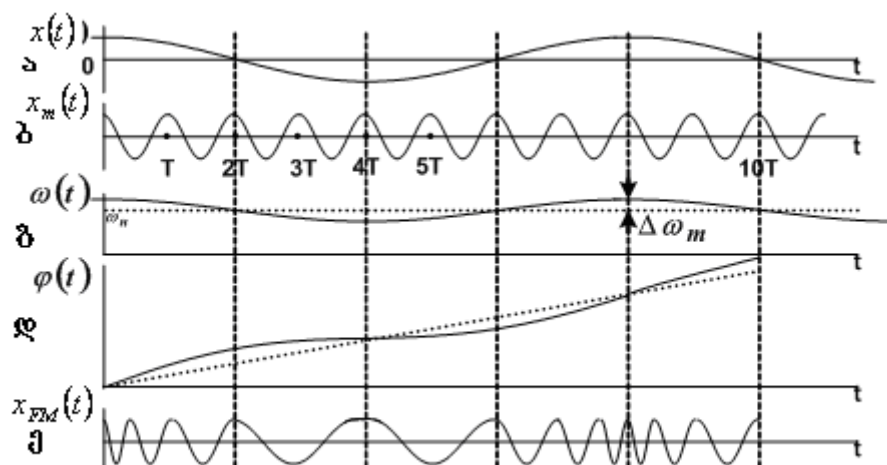
ნახ. 12.11

რჩება მხოლოდ მოდულირებული სიგნალის გამოყოფა დაბალი სიხშირის ფილტრით (ნახ. 12.11ბ).

12.4 სიხშირული და ფაზური მოდულაცია

სიხშირული მოდულაცია. სიხშირული მოდულაციის დროს გადამტანის ამპლიტუდა მუდმივი რჩება, ხოლო მყისიერი სიხშირე $\omega(t)$ იცვლება სამოდულაციო სიგნალის ცვლილებასთან ერთად: $\omega(t) = \omega_0 + kx(t)$, სადაც k -პროპორციულობის კოეფიციენტია, რომელიც დაკავშირებულია $\omega(t)$ სიხშირის გადახრასთან თავის ნომინალური ω_0 სიხშირიდან და სამოდულაციო $x(t)$ სიგნალიდან, რომელიც იწვევს ამ გადახრას.

განვიხილოთ ყველაზე მარტივი შემთხვევა, კერძოდ ერთტონალური სიხშირული მოდულაცია. ნახ. 12.12 წარმოდგენილია ერთტონალური სიხშირული მოდულაციის მყისიერი სიხშირისა და ფაზის ცვლილებების დროითი დიაგრამები.



ნახ. 12.12

ა. ყუბანეიშვილი ბიოსიგნალების ციფრული დამუშავება

ერთტონალური სამოდულაციო სიგნალის $x(t) = A_M \cos \Omega t$ (ნახ. 12.12ა) მოდულაცია ხდება $x_m(t)$ გადამტანით (ნახ. 12.12ბ). ამავე დროს გადამტანის სიხშირე $\omega(t) = \omega_0 + kA_M \cos \Omega t$ იმურებს სამოდულაციო სიგნალის ცვლილების კანონზომიერებას (ნახ. 12.12გ). გადამტანის სიხშირის მაქსიმალურ გადახრას ω_0 საშუალო სიხშირიდან ეწოდება **სიხშირის დევიაცია:**

$$\Delta\omega_m = |\omega(t) - \omega_0|_{\max}$$

სიხშირის დევიაციის ფარდობას სამოდულაციო სიგნალის Ω სიხშირესთან ეწოდება სიხშირული მოდულაციის ინდექსი:

$$m_{FM} = \frac{\Delta\omega_m}{\Omega}.$$

$t = 0$ და $t = 8T$ დროის მომენტებში მყისიერი სიჩქარე მაქსიმალურია, ხოლო $t = 4T$ დროს – მინიმალური. გადამტანის მყისიერი $\varphi(t)$ ფაზის ცვლილების კანონზომიერება (ნახ. 12.12დ) განისაზღვრება შემდეგი გამოსახულებით:

$$\varphi(t) = \int_0^t \omega(t) dt, \quad \varphi(t) = \omega_0 t + m \sin \Omega t$$

თუ გავითვალისწინებთ კავშირს სიხშირესა და ფაზას შორის, მაშინ:

$$x_{FM}(t) = A_0 \cos \left[\int_0^t \omega(t) dt \right] = A_0 \cos \left[\omega_0 t + k \int_0^t x(t) dt \right].$$

აქედან გამომდინარე, ერთტონალური სიხშირული მოდულაცია შეიძლება ასე წარმოვადგინოთ:

$$x_{FM}(t) = A_0 \cos(\omega_0 t + m \sin \Omega t).$$

ფაზური მოდულაცია. ფაზური მოდულაცია წარმოადგენს გადამტანის მყისიერი $\varphi(t)$ ფაზის ცვლილების პროცესს, რომელიც პროპორციულია სამოდულაციო სიგნალის ცვლილებისა:

$$\varphi(t) = \omega_0 t + \Delta\varphi(t) = \omega_0 t + m_{\Phi M} x(t). \quad (12.7)$$

ამრიგად გვექნება:

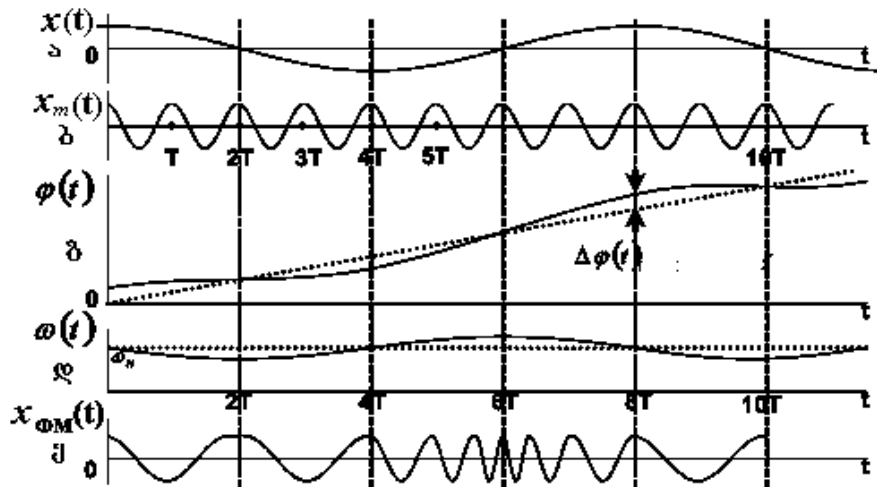
$$x_{\Phi M}(t) = A_0 \cos[\omega_0 t + m_{\Phi M} x(t)],$$

სადაც $m_{\Phi M}$ – ფაზური მოდულაციის ინდექსია.

თუ გვაქვს ერთტონალური ფაზური მოდულაცია: $x(t) = A_M \cos \Omega t$, მაშინ მივიღებთ:

$$x_{\Phi M}(t) = A_0 \cos[\omega_0 t + m_{\Phi M} \cos \Omega t].$$

ნახ. 12.13 ნაჩვენებია ტონალური ფაზური მოდულაციის დროს როგორ იცვლება მყისიერი სიხშირე და ფაზა.



ნახ. 12.13

ერთტონალური $x(t)$ სიგნალის (ნახ. 12.13ა) მოდულირება ხდება $x_m(t)$ გადამტანით (ნახ. 12.13ბ). ამ დროს გადამტანის მყისიერი ფაზის ცვლილების კანონზომიერება (12.7) იმუროვებს $x(t)$ სიგნალის ცვლილების კანონს (ნახ. 12.13გ), ანუ წრფივად ცვალებად ფაზაზე (ნახაზზე წყვეტილები) ხდება ცვლადი $\Delta\phi(t) = \phi(t) - \omega_0 t$ ნაზრდის ზედდება. გადამტანის მყისიერი $\omega(t)$ სიხშირის ცვალებადობის კანონი განისაზღვრება შემდეგი ფორმული:

$$\omega(t) = \frac{d\phi(t)}{dt} = \frac{d}{dt}(\omega_0 t + m_{\Phi M} \cos \Omega t) = \omega_0 - m_{\Phi M} \sin \Omega t.$$

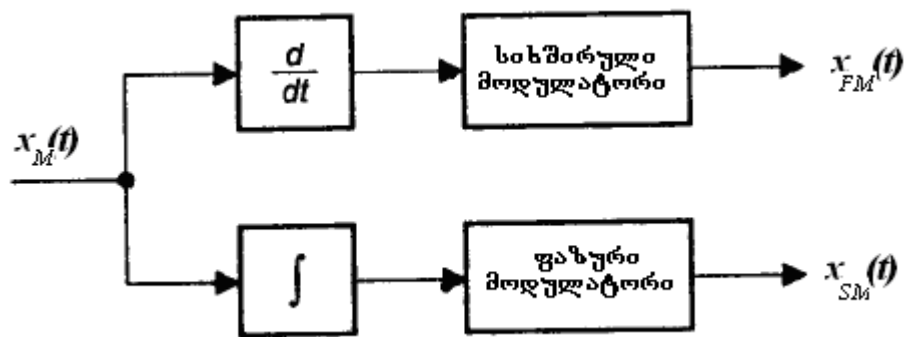
ფაზით მოდულირებული რხევა (ნახ. 12.13გ) აგებულია $\omega(t)$ ფუნქციის გრაფიკის საფუძველზე. $t=2T$ და $t=10T$ დროის მომენტებში ფაზით მოდულირებულ სიგნალს $x_{\Phi M}(t)$ სიგნალს გააჩნია მინიმალური, ხოლო $t=6T$ დროის მომენტში მაქსიმალური მყისიერი სიხშირე.

ამრიგად, სიხშირული და ფაზური მოდულაციები ურთიერთკავშირში არიან, კერძოდ თუ რხევის საწყისი ფაზა იცვლება, მაშინ იცვლება აგრეთვე მისი მყისიერი სიხშირე და პირიქით. ამ მიზეზების გამო მოდულირების ეს ორი სახე გაერთიანებულია „კუთხური მოდულაციის“ საერთო დასახელებით.

ნათქვამიდან გამოდინარე, შეიძლება გავაკეოდ შემდეგი დასკვნები:

1. კუთხური მოდულაციის ფორმის მიხედვით შეუძლებელია განისაზღვროს ფაზური მოდულაცია ეს თუ სიხშირული. ამისათვის საჭიროა ვიცოდეთ სამოდულაციო სიგნალი.

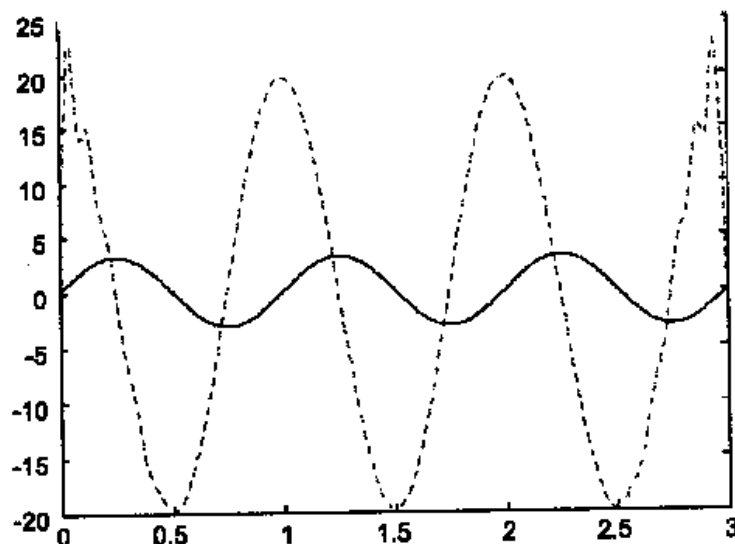
2. თუ სამოდულაციო სიგნალს გავატარებთ იდიალურ დიფერენცირების მოწყობილობაში, ხოლო შემდეგ მივაწვდით მას სიხშირულ მოდულიატორს, მაშინ მივიღებთ ფაზურ მოდულაციას (ნახ. 12.14 ზედა შტო).



ნახ. 12.14

3. თუ სამოდულაციო სიგნალს გავატარებთ იდიალურ მაინტეგრირებელ მოწყობილობაში, ხოლო შემდეგ მას მივაწვდით ფაზურ მოდულატორს, მაშინ მიღება სიხშირული მოდულაცია (ნახ. 12.14 ქვედა შტო).

დემოდულაცია. ისევე როგორც ამპლიტუდური მოდულაციის დროს, კუთხური მოდულაციის დემოდულაცია შეიძლება შევასრულოთ მრავალი მეოთხით. ყველახე უფრო რადიკალური მიღომაა ანალიტიკური სიგნალის განსაზღვრა და შემდეგ მისგან გამოვყოთ ფაზური ფუნქცია. შემდეგი მოქმედება დამოკიდებულია იმაზე თუ რა სახის მოდულაციასთან გვაქვს საქმე. კერძოდ, ფაზური მოდულაციის დროს ფაზური ფუნქციიდან განისაზღვრება $\dot{\varphi}_0 t$ მდგრენელი, რომელიც შეესაბამება არამოდულირებულ გადამტანს. თუ სიხშირული მოდულაციაა, მაშინ ფაზური ფუნქცია გაწარმოებდება და მიღებულ შედეგიდან განისაზღვრება $\omega_0 \cdot \dot{\varphi}_0 t$ მუდმივა (ნახ. 12.15)



ნახ. 12.15

ნახ. 12.15 წარმოდგენილია სიგნალის ფაზური (უწყვეტი მრუდი) და სიხშირული (წყვეტილი მრუდი) დემოდულაციის შედეგები.

ლიტერატურა

1. Сергиенко А.Б. Цифровая обработка сигналов. СПб: Питер, 2002.
2. Р.Лайонс. Цифровая обработка сигналов., М.Бином-Пресс, 2006.
3. Э.Айфичер, Б.Джервис. Цифровая обработка сигналов: практический подход. М.Б., Вильямс, 2004.
4. Юкио Сато. Без паники. Цифровая обработка сигналов. Додэка-XXI, 2010.
5. А. Оппенгейм, Р.Шафер. Цифровая обработка сигналов. М., Техносфер, 2006.
6. Рангайян Р.Н. Анализ биомедицинских сигналов.Практический подход. М., Физматлит, 2007.
7. Баскаков С.И. Радиотехнические цепи и сигналы. М., Высшая школа, 2000.
8. Микрокомпьютерные медицинские системы. Проектирование и применения. Под ред. У.Томпкинса,Дж.Уэбстера. М., Мир, 1983.
9. Проектирование систем цифровой и смешанной обработки сигналов. Под рад. У.Кестера, М., Техносфера, 2010.
10. Солонина А.И., Улахович Д.А. Линейные дискретные системы. Учебное пособие, СПбГУТ. СПб, 2005.